



## Introducere, obiectul lucrării

Congresul al XIII-lea al P.C.R. a stabilit și aprobat direcțiile dezvoltării economico-sociale a României până în anul 2000. În cadrul acestor direcții un rol prioritar se acordă dezvoltării energeticii, cu accentul pe rolul cercetării științifice și tehnologice care să ducă la valorificarea superioară a resurselor energice și să dezvolte tehnica necesară descoperirii de noi resurse sau exploatarea celor care nu au fost exploatate de loc sau au fost exploatate într-o măsură mai mică până la ora actuală.

Pe această linie se încadrează și cercetările captării și utilizării energiei vântului, cercetări inițiate de C.N.S.T. și în cadrul cărora I.P. "Traian Vuia" Timișoara, sub conducerea tov. Acad. I. Anton, se ocupă de aerocentrale cu ax orizontal. În cadrul acestei teme sînt integrate mai multe catedre din Institutul politehnic printre care și Catedra de construcții metalice. Catedra de construcții metalice s-a ocupat, în cadrul acestei teme, de calculul și alcătuirea paletelor pentru aerogeneratoarele cu ax orizontal.

Prin tematica abordată teza de doctorat se înscrie pe linia realizării echipamentelor energetice românești și crearea de prototipuri care să elimine importul de tehnologie în acest domeniu. Realizarea acestui obiectiv, pe baza unor contribuții originale ale autorului, prezentate în lucrare și care au fost elaborate în teză de doctorat și în lucrările de cercetare științifică realizate în cadrul contractelor cu CNST-ul au dus la realizarea paletelor pentru aerogeneratoare cu ax orizontal (prezentate în capitole III), palete de gîndire și concepție românească. Lucrarea mai aduce contribuții și la stabilirea modului de acționare a unor încărcări, la stabilirea ipotezelor de calcul, la abordarea și efectuarea calculului static și de rezistență, precum și la analiza comportării structurii și a cercetării experimentale a paletelor.

Structura lucrării - Teza de doctorat este împărțită în 7 capitole.

Capitolul 1 cuprinde unele aspecte generale cu privire la captarea energiei eoliene și este o succintă sinteză bibliografică.

Capitolul 2 se referă la acțiunile care solicită paleta, cu excepția presiunii aerodinamice care constituie obiectul studiilor efectuate de Catedra de mașini hidraulice.

În cadrul acestui capitol se stabilesc unele aspecte referitoare la acțiunea în timp a încărcărilor și la solicitările pe care acestea le produc în structura paletei. După analiza încărcărilor se stabilesc ipotezele de încărcare și rezistențele limită și de comparație.

Capitolul 3 cuprinde aspecte legate de realizarea paletelor pentru aerogeneratoare de putere mică, medie și mare.

Capitolul 4 prezintă principii și metode de calcul a paletelor pentru aerogeneratoare cu ax orizontal plecând de la teoriile clasice ale Rezistenței materialelor și apăsând la metoda elementului finit. Pe parcursul acestui capitol se prezintă contribuțiile autorului privind adaptarea unor relații clasice de calcul la tipul secțiunii transversale (la tipul de structură); alegerea modelului fizic și studiul cu element finit.

Capitolul 5 se referă la încărcările experimentale efectuate pe structurile reale și compararea rezultatelor măsurătorilor experimentale cu rezultatele investigațiilor teoretice cu element finit, pe baza modelului fizic descris în capitolul 4. În urma încercărilor experimentale și a investigațiilor teoretice se aduc unele îmbunătățiri la structurile de rezistență concepute și prezentate în capitolul 3 și se stabilesc tehnologii și modalități de execuție pentru elementele componente ale structurii paletei OPS- $\lambda=7$ - $D=30m/300$  kW.

Capitolul 6 pune în evidență posibilitățile de experimentare pe modele folosind principiile similitudinii. În acest sens se face o verificare a rezultatelor teoretice obținute pe paleta SK3- $\lambda=7$ - $D=30m/300$  kW prin rezultatele experimentale obținute pe o paletă model, realizată din alte materiale (MPAFS), plecând de la legile similitudinii.

Capitolul 7 scoate în evidență principalele concluzii și contribuții aduse de autor. Fiecare capitol din lucrare se încheie cu concluzii, în cadrul acestora relevându-se contribuțiile autorului. Teza de doctorat se ocupă, așa cum reiese din cele de mai sus de aspecte privind alcătuirea, calculul și încercarea paletelor pentru aerogeneratoare cu ax orizontal. Autorul a urmărit de asemenea în detaliu și executarea (uzinarea) paletelor: SK1-ARAD,  $D=10m/30$  kW, SK1-CM,  $D=10$  m/30 kW, OPS- $\lambda=7$ - $D=30m/300$  kW și OPS- $\lambda=7$ - $D=10m/30$  kW. Prin tot ceea ce s-a amintit mai sus, autorul în cadrul colectivului de la Catedra de construcții metalice și-a adus contribuția la realizarea paletelor pentru aerogeneratoare cu ax orizontal și deci la realizarea de aerocentrale cu ax orizontal de concepție românească.

## CAPITOLUL 1. CONSIDERATII GENERALE CU PRIVIRE LA CAPTAREA ENERGIEI EOLIENE

### 1.1. Generalități

Energia eoliană, una dintre cele mai vechi resurse energetice, a fost redescoperită în mai multe țări ale globului începând cu țările cele mai dezvoltate cum ar fi S.U.A., U.S.S.R., R.F.G., Anglia, Franța, Danemarca, Suedia, Olanda, Canada, etc., și terminând cu țări mai puțin dezvoltate sau în curs de dezvoltare cum ar fi România, Ungaria, Jugoslavia, Bulgaria, etc. Captarea acestei energii se face cu ajutorul centralelor electrice de vânt sau aerogeneratoarelor. După modul lor de construcție acestea pot să fie cu ax orizontal și cu ax vertical.

În prezenta lucrare se tratează numai centralele electrice de vânt cu ax orizontal. Numeroase țări studiază posibilitatea realizării unor aerogeneratoare de mare randament, deoarece dintre toate sursele de energie de mâine, puterea cinetică a vântului are cea mai veche tradiție. Încă înainte de a capta energia apei, omul își încredința ambarcațiunile cu vele puterii vânturilor pentru a traversa oceanele. În sec.VII în Persia

existau deja mori de vânt care pompau apa în gârșurile de irigație. Se știe că Genghis-Han, după cucerirea Persiei, la începutul secolului XIII, a trimis constructori de mori ca prizonieri în China unde erau puși să alimenteze vasta rețea de irigație a agriculturii cu energie eoliană ieftină. Dar moara de vânt cunoaște epoca ei de glorie în Europa Centrală și de Sud înainte de primul război mondial. Numai în jurul anului 1900 de-a lungul litoralului Mării Nordului, între Olanda și Danemarca

erau în funcțiune aproape 100.000 mori de vânt care măcinau cereale, pompau apă, acționau ferestraie, prese de ulei, manufacturi de hârtie și condensare. Morile de vânt aveau un randament prea mic deoarece erau tributare capriciilor atmosferice și reclamau cheltuieli de întreținere ridicate. Mașinile termice aveau să ducă la dispariția acestor **mașini de vânt** nepoluante. Și de aceea pînă în prezent energia curenților de aer a fost utilizată numai parțial la tocătul nutrețurilor deoarece variațiile de intensitate ale vântului nu garantează o mi-



binare omogenă și fină a cerealelor. Puținele mori de vânt care s-au mai păstrat și care punctează peisajul unor țări nu sînt decît nostalgice relicve ale trecutului, unele ocrotite de lege, servind ca muzee sau localuri turistice.

Experții în sectorul energiei și-au amintit de romanticele mori de vînt mai cu seamă de cînd omenirea conștientă de faptul că principalele surse de energie, țîțeiul și cărbunii vor fi într-o bună zi epuizate. Cercetătorii în domeniul energetic și-au îndreptat căutările în direcția descoperirii și identificării unor noi resurse energetice. Utilizarea energiei nucleare este încă controversată, iar energia solară, a cărei valorificare nu mai constituie o problemă din punct de vedere teoretic, ridică o serie de dificultăți pe plan tehnologic care încă nu au putut fi rezolvate pînă în prezent. De aceea vechea energie eoliană își face revenirea în era energiei moderne. Folosirea forței eoliene ca sursă de electricitate datează din 1890, iar în primele decenii ale secolului actual, generatoarele eoliene erau folosite pe scară largă ca mijloace de electrificare a fermelor. La ora actuală numeroase țări de pe glob dispun de experiență în acest sens. Astfel în R.F.G., la Universitatea din Stuttgart, Institutul de construcții de avioane activează de mai mulți ani și a construit un aerogenerator al cărui rotor are diametrul de 34 m și furnizează 100 KW. Acest aerogenerator a servit ca model pentru proiectul "Growian" al aerogeneratorului de 1 MW.

Tot în R.F.G. firma Solingen a experimentat cu succes o instalație mai mică decît "growianul" instalată pe insula Sylt din Marea Nordului. Această minicentrală se compune dintr-un generator special pe care sînt montate două rotoare cu diametrul de unsprezece metri care se rotesc în contrasens. În condiții de vînt favorabile, generatorul produce 150.000 kW-oră/an.

Nu numai în R.F.G. ci și în alte țări cum ar fi S.U.A., Canada, Danemarca, Olanda, Uniunea Sovietică, Suedia, și Marea Britanie, inginerii specializați în aeronautică au proiectat instalații eoliene gigant cu paletele rotoarelor de mărimea aripilor unui jumbo jet capabile să genereze pînă la 5000 de kilowați, ceea ce reprezintă necesarul de electricitate al unui număr de 1000 de locuințe moderne. Numai în Statele Unite au fost instalate opt asemenea aerogeneratoare gigant, iar altele au fost experimentate în Canada, Danemarca, Olanda, U.R.S.S., Suedia,

Marea Britanie și R.F.G. Aceste experimente nu s-au soldat întotdeauna cu succesul scontat. Unele instalații s-au dărâmat, în alte cazuri, generatoarele s-au ars etc. Eforturile actuale urmăresc perfecționarea centralelor eoliene și sporirea rezistenței lor în condițiile reducerii costului de producție. Construcția specială și aparatura electronică de comandă cu care sînt înzestrate aceste centrale eoliene cer o înaltă competență tehnică. Perfecționarea acestei tehnologii necesită chiar pe plan mondial încă o perioadă de cîțiva ani.

Interesul economic față de energia eoliană a crescut considerabil în numeroase țări, chiar foarte dezvoltate cum ar fi S.U.A etc. Prima fermă eoliană comercială din lume situată în statul New Hampshire, generează electricitate din 1981, iar la Livingston statul Montana în 1982 a fost dată în folosință altă fermă eoliană municipală. Interesul culminează cu realizările californiene. California este pe plan mondial, cea mai avansată regiune în acest domeniu energetic.

O bună parte a efortului de exploatare a forței eoliene este depusă în California de mici antreprize înființate în acest scop. La începutul anului 1984, un număr de 4600 de turbine eoliene erau deja instalate în California, iar altele 5000 au fost instalate pînă la sfîrșitul anului 1984. Sînt prognoze care prezic că pînă în anul 2000 fermele eoliene vor putea livra 20 la sută din necesarul de electricitate al statului California.

Prețul de cost pe kW h este încă destul de ridicat dar odată cu perfecționarea instalațiilor eoliene se va reduce și prețul de cost pe kW h la nivelul celui suportat de centralele convenționale. Deși noile turbine eoliene sînt înregistrate cu cele mai moderne sisteme de transmisie și control electronic și sînt fabricate din cele mai noi materiale sintetice, totuși se întîmpină o serie de dificultăți tehnice. Multe turbine au trebuit scoase din funcțiune pentru efectuarea unor reparații, iar numeroase alte probleme își așteaptă încă rezolvarea. Pînă în prezent vehiculează ideea că, "maginile eoliene" simple și robuste par să fie cele mai adecvate, motiv pentru care o serie de instalații eoliene complexe și eficiente au fost abandonate.

Cu toate aceste dificultăți și inerente verdictul economic în cazul fermelor eoliene a fost dat.

Astfel în regiunile bîntuite de vînturi, turbinele eoliene bine construite produc curent electric la prețul de cost de 10

cenți pentru un kilovatt oră.

Prognozele arată că pentru diferitele regiuni din California, vestul mijlociu al Statelor Unite, nordul Europei și multe alte țări unde viteza medie a vântului este de 19 kilometri pe oră și electricitatea este generată în bună parte de termocentrale pe bază de petrol, fermele eoliene încep să devină o soluție viabilă din punct de vedere economic. În acest context se preconizează că generațiile următoare de turbine eoliene produse în serie vor fi capabile să genereze curent electric la un preț de cost între 3 și 7 cenți pe kilowatt oră. În multe părți ale lumii, fermele eoliene, vor putea deveni, mai eficiente decât termocentralele care folosesc cărbune sau centralele nucleare.

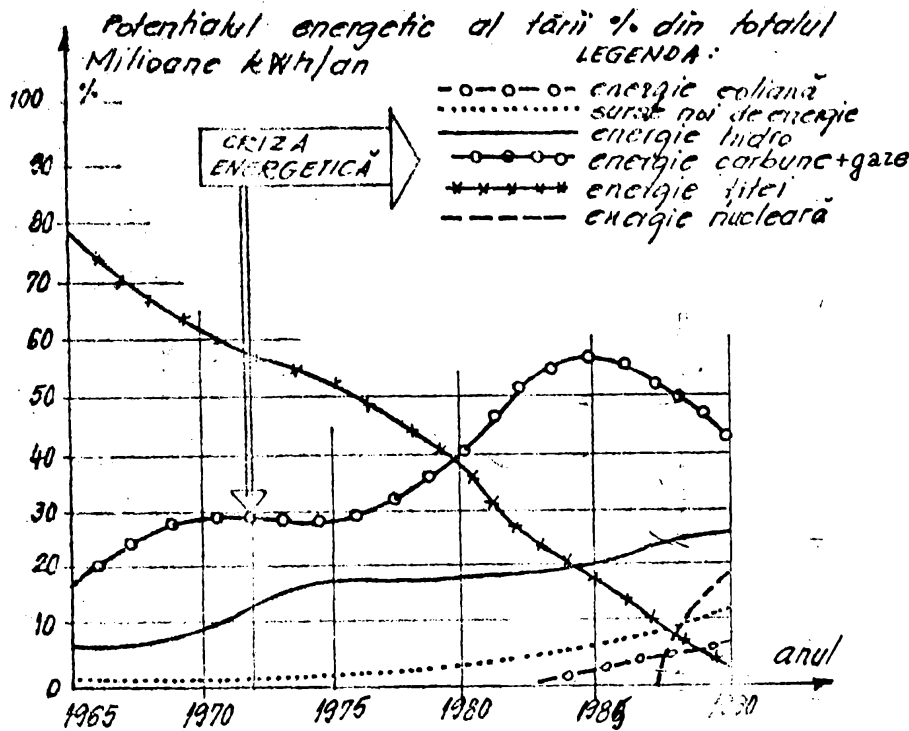
În țara noastră, energia eoliană, a fost utilizată din secolul XIII cu caracter izolat. Începând din secolul XV mai cu seamă în Dobrogea, morile de vânt au luat o amploare deosebită. La începutul acestui secol în Tulcea funcționau 437 mori de vânt iar în toată Dobrogea peste 900 de astfel de unități, iar în Moldova au fost semnalate circa 300. Un număr ridicat de mori de vânt sînt atestate documentar și în celelalte regiuni ale țării: Banat, Oltenia, Muntenia și vestul Transilvaniei.

După cel de al XIII-lea Congres al P.C.R. în țara noastră a luat un avînt deosebit cercetarea în domeniul resurselor neconvenționale. Programul de punere în valoare a energiei vîntului a luat o amploare deosebită mai cu seamă datorită cercetărilor efectuate de numeroase institute de învățămînt, cercetare, proiectare și institutii productive sub coordonarea directă a C.I.N.C.T.

În realizarea programului energetic de captare a energiei eoliene sînt antrenate unități de cercetare și proiectare, unități de învățămînt superior, unități economice, etc., dintre care amărem: INCREST, I.P. "Traian Vuia" TIMISOARA, Universitatea din Brașov, I.P. București, Întreprinderea de Construcții Aeronautice Chimbov, ICEENERG, U.C.M. Bocșa, U.V. Arad, CCSITEH Timișoara.

IPSCAIA, ISPEH-București, Institutul de Hidrometeorologie, ș.a. La ora actuală în țară sînt realizate mai multe aerogeneratoare dintre care amintim: Aerogeneratorul electric cu ax vertical de 20 kW realizat de Universitatea din Brașov, Aerogeneratorul electric cu ax vertical de 10 kW realizat de INCREST, Aerogeneratorul cu ax orizontal de 30 kW (AAETC-1<sub>1</sub>/30 kW) realizat de I.P. "Traian Vuia" TIMISOARA, Agregatul aeroelectric cu ax orizontal de 30 kW - realizat la CCSITEH - TIMISOARA, Agregatul

aeroelectric cu ax orizontal de 300 kW -MD2/300 kW în curs de



Ponderarea surselor energetice în producerea de energie electrică în R.S.R.

FIG. 1.1.

realizare de către:

I.P. "Traian Vuia"  
Timișoara,  
CCSITEN TIMIȘOARA,  
U.C.M. Docșa I.

- Beneficiar C.N.S.T.  
Avînd în vedere programul de captare a energiei eoliene și ponderea surselor energetice ale țării, în (fig.1.1) se dau estimativ, Sursele energetice și ponderea lor în producerea ener-

giei electrice din țara noastră [6]

## 1.2. Aspecte generale ale captării și utilizării energiei eoliene (Date extrase din [2, 35, 43, 44])

După cum se știe pămîntul este înconjurat de un strat de aer de cîteva mii de metri grosime, a carui densitate variază în special la altitudini peste 1000 m. Datorită radiațiilor solare apar mase de aer cu temperaturi diferite, /ca urmare de densități diferite ce dau naștere la mișcări importante de egalizare. Vîntul, denumire generică a acestor mișcări, poate fi calculat, ca viteză și direcție, din gradientul de presiune orizontal respectiv din accelerația CORRIOLIS determinată de mișcarea de rotație a pămîntului și poartă denumirea de vînt geotrop. Direcția sa este tangentă la liniile izobare: Sub influența frecării pe suprafața accidentată a pămîntului vîntul este "frînat" schimbîndu-și neconținut caracteristicile ca mărime a vitezei și direcției. Influența importantă asupra acestor caracteristici sînt determinate de rugozitatea suprafeței

terestre; desigur pe suprafața apei, în special a oceanelor și mărilor, aceste pierderi prin frecare sînt minime, condiționînd vîntul de intensitate mai mare.

Se știe că din energia radiației solare dirijate spre pămînt doar 2,5% apare sub formă cinetică eoliană. Aceasta reprezentînd circa  $4,3 \cdot 10^{12}$  kW [6],[7]. Comparativ cu această energie se poate atîta că de exemplu în anul 1973 puterea totală instalată în centralele electrice se cifra la circa  $10^{10}$  kW.

Vînturile de intensitate mare care domină regiunile acoperite de mări și oceane se păstrează în vecinătatea coastelor, ca apoi să scadă substanțial în regiunile continentale datorită rugozității sporite a terenului. În urma unor investigații meteo pot fi construite pentru diferite regiuni hărți geografice cu izvoarte (linii de egală viteză a vîntului). Aceste hărți nu dau decât o apreciere globală destul de grosolană asupra potențialului energetic eolian, în funcție de răspîndirea și numărul stațiilor meteo teritoriale unde se fac măsurătorile în cauză.

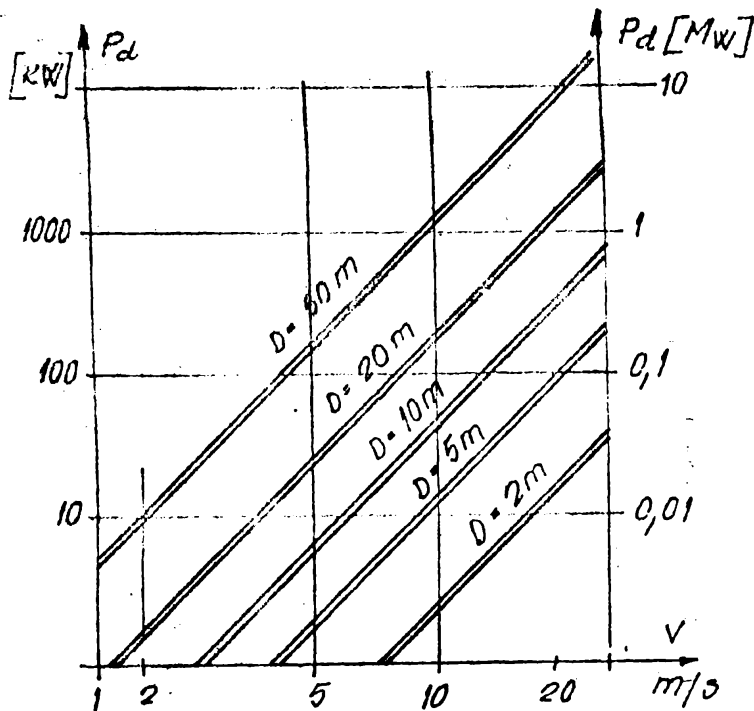
În țara noastră, energia eoliană este considerată una din sursele neconvenționale de importanță majoră, (programul dezvoltării energetice a țării noastre prevede pe seama surselor secundare 10% din producția totală de energie electrică [1]), datele publicate pînă în prezent privitor la acest potențial variază, ce-drept, în limite destul de largi: (95 + 157) TWh/an [6], [8]. Iar energia eoliană superficială medie anuală se apreciază la circa  $400 \text{ kWh/km}^2$  și care în cel puțin jumătate din suprafața țării este valorificabilă în condițiile în care vînturile cu o viteză de peste 3m/s depășesc 3500 ore/an. Pentru a se ieși din impasul determinat de aceste evaluări cu caracter general este imperios necesar să se localizeze punctele unde sub raport aerenergetic devine util să se construiască centrale sau agregatele ae-roelectrice. În aceste puncte sînt necesare și stații meteo pentru determinarea caracteristicilor energo-eoliene, caracteristice care se determină pe baza măsurătorilor sistematice, cu precizie mare și a prelucrării statistice a acestui volum de date.

### 1.2.1. Parametri energiei eoliene

Mărimile caracteristice ale fenomenului eolian sînt, sub raport energetic, viteza vîntului  $v$  (m/s) și masa specifică a aerului care participă în acest proces  $\rho$  ( $\text{kg/m}^3$ ), definiții pentru puterea cinetică disponibilă ce poate fi captată în instalații

energetice eoliene. Puterea cinematică disponibilă este dată de relația

$$P_d = \frac{\rho}{2} \cdot S \cdot v^3 \quad (1.1)$$



Puterile disponibile ce pot fi captate în funcție de diametrul rotorului  $D$  și viteza vântului  $v$  în scară logaritmică

FIG. 1.2.

unde cu  $S = \frac{\pi D^2}{4}$

s-a notat suprafața măturată de rotorul eolian iar  $v$  viteza vântului.

În diagrama din (Fig.1.2) sînt date orientativ puterile disponibile în funcție de diametrul rotorului și viteza vântului. Pentru calcul este util a se calcula puterea cinematică disponibilă pe unitatea de suprafață a rotorului care este:

$$\bar{P}_d = \frac{P_d}{S} = \frac{\rho}{2} v^3 \quad (1.1')$$

### 1.2.1.1. Viteza vântului

Măsurarea vitezei vântului, avînd implicații multiple în diferite domenii, se desfășoară în condiții organizate și sistematice, în baza unor norme. De obicei măsurătorile se efectuează la 10 m deasupra solului sau sînt raportate la această cote. Ele se efectuează simultan pentru viteza vântului și direcția acestuia, făcîndu-se înregistrări orare ale valorilor medii pe (2 minute) obținute prin aprecierea vizuală a indicațiilor mijlocii date de instrumentul de măsurat (girueta).

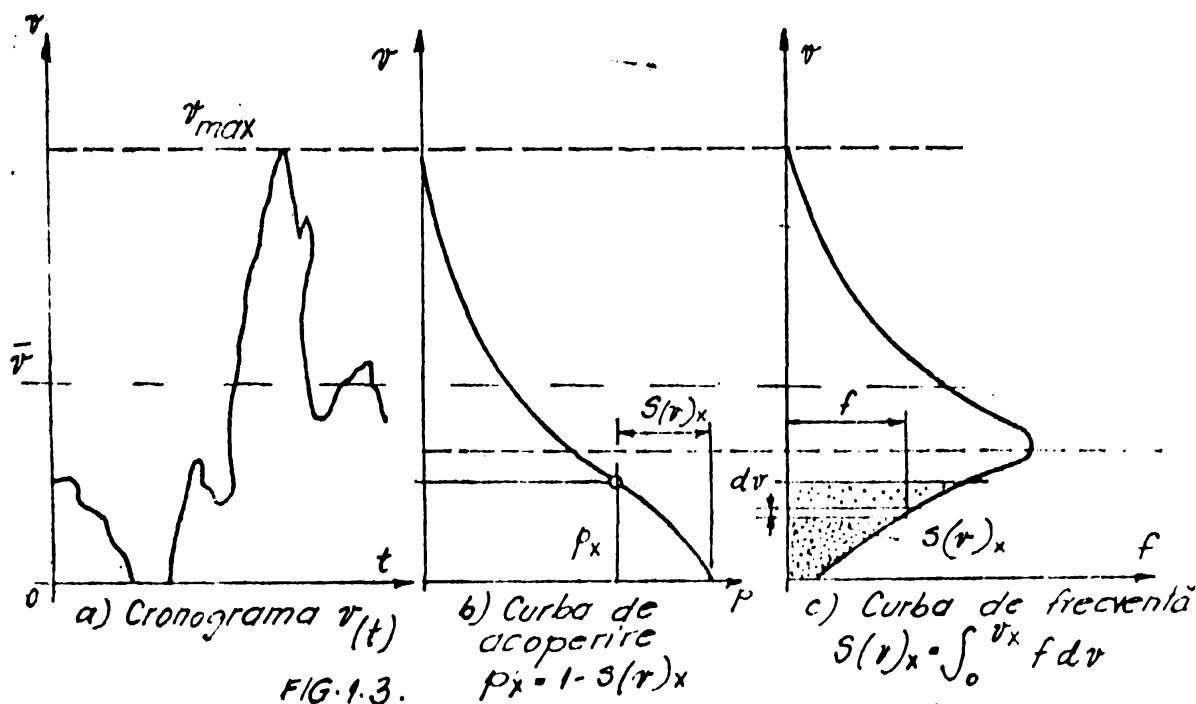
Variația cronologică a vitezei vântului poate fi analizată, asimilînd metodele din hidroenergetică, prin intermediul diagramei de acoperire și de frecvență [9] ca în (fig. 1.3).



Acoperirea ( $p_x$ ) exprimă în fond suma posibilităților ca în intervalul studiat (un an calendaristic cu o anumită frecvență de repetiție) valorile vitezei vîntului să fie cel puțin egale cu ( $v_x$ ) dacă nu mai mari. Curba de acoperire este, interpretat statistic, funcția de repartiție a vitezei vîntului în intervalul studiat.

Frecvența  $f_x$  exprimă gradul de repetiție a vitezei vîntului  $v_x$  în intervalul studiat:  $f_x = n_x/N$  unde  $n_x$  (frecvența absolută) reprezintă numărul de înregistrări din totalul de valori  $N$ , în care viteza vîntului a avut valoarea ( $v_x$ ). Curba de frecvență reprezintă statistic densitatea de repartiție.

$$p_x = 1 - S(v)_x; \quad S(v)_x = \int_0^{v_x} f \cdot dv \quad (1.2)$$



Dacă viteza vîntului are caracteristicile din (fig.1.3.b) puterea disponibilă care este proporțională cu cubul vitezei poate fi analizată prin intermediul unui grafic de analiză energetică ca în (fig.1.4.b).

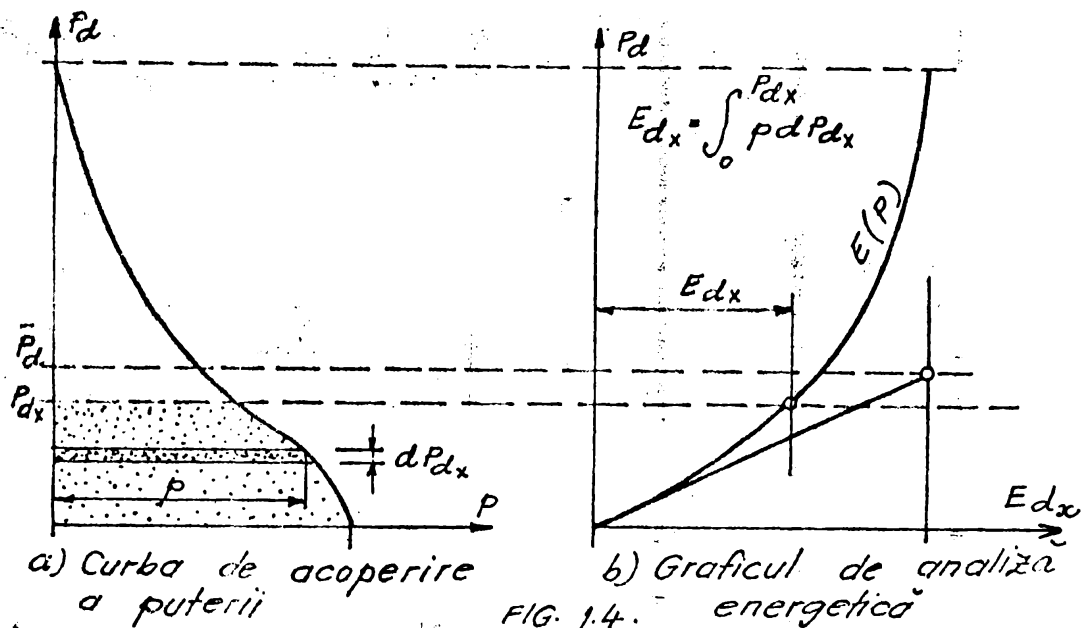
Puterea disponibilă  $P_{d_x}$  asociată vitezei vîntului  $v_x$  conform [7] va avea aceeași acoperire, iar energia disponibilă aferentă (care reprezintă suprafața de sub curba de acoperire din fig. 14.a pînă la nivelul  $P_{d_x}$ ) poate fi calculată prin:

$$E_{d_x} = \int_0^{P_{d_x}} p \cdot dP_{d_x} \quad (1.3)$$

Graficul de analiză energetică (fig.1.4.b) arată evoluția



energiei disponibile în funcție de putere, respectiv de viteza vântului.



Dacă se ține cont că nu întreaga disponibilitate energetică poate fi preluată de rotorul eolian, ci numai o parte ( $k'$ ) a acesteia și de faptul că în procesul transmiterii energetice au loc pierderi exprimate global prin randamentul mediu ponderat ( $\eta_{mp}$ ) rezultă energia utilă produsă:

$$E_{upr} = k' \cdot \eta_{mp} \cdot E_d = k \cdot E_d \quad (1.4)$$

unde  $k$  - este factorul de producție al unității eoliene

În literatura de specialitate se vorbește curent de factorul de putere al centralelor eoliene. Factorul de putere este raportul dintre puterea utilă ( $P_u$ ) și puterea totală ( $P_{tot}$ ) disponibilă a curentului care trece prin rotorul eolian. În condiții ideale, cu ipoteze simplificatoare, A. Bertz a stabilit raportul dintre puterea ideală convertibilă ( $P_{id}$ ) și puterea totală disponibilă a curentului de aer ( $P_{tot} = P_d$ ). Acest raport ( $P_{id}/P_{tot}$ ) este denumit coeficient ideal de putere, notat cu ( $C_{pi}$ ) și care este în funcție de raportul vitezelor vântului înainte ( $v_1$ ) și după rotor ( $v_2$ ). Valoarea maximă a acestui coeficient, ( $C_{pi \max} = 0,593$ ) are loc când raportul ( $v_1/v_2 \approx 1/3$ ).

Pe lângă coeficientul de putere se consideră adesea și un randament ( $\eta$ ), care este raportul dintre puterea utilă  $P_u$  și cea care poate fi obținută în condiții ideale  $P_{id}$ .

$$\eta = \frac{P_u}{P_{id}} = \frac{P_u}{C_{p_i} \cdot \left(\frac{\rho}{2}\right) \cdot v^3 \cdot S} \quad (1.5)$$

Randamentul ține seama de diferențele pierderi: pierderi mecanice, pierderile aerodinamice pe palete etc.

Factorul de putere în sensul definiției date de raportul  $P_u/P_{tot}$  se notează cu  $(\tilde{\eta})$  și este produsul dintre  $C_{p_i}$  și  $\eta$ . În literatură raportul  $P_u/P_{tot}$  se consideră uneori ca fiind randamentul conversiei, ceea ce nu este corect, pentru că se raportează față de o energie care nu este recuperabilă în întregime.

În cazul că, fiecărui regim de vînt ( $v_x$ ) i se asociază un regim de funcționare al centralei caracterizat prin randamentul ( $\eta_x$ ), iar frecvența de repetiție a regimului vîntului este  $f_x$ , atunci randamentul mediu ponderat, pentru perioada de exploatare analizată, poate fi exprimat prin:

$$\eta_{mp} = \frac{\sum_{x=1}^n f_x \eta_x}{\sum_{x=1}^n f_x} \quad (1.6)$$

Aprecierea valorii factorului de producție ( $k$ ) este anevoioasă în condițiile actuale ale dezvoltării unităților energetice eoliene, cînd în literatură nu sînt desconsiderate prea multe date asupra performanțelor acestora.

Din cele analizate mai sus rezultă că viteza vîntului este mărimea principală care determină performanțele energetice, ale unei centrale de vînt. În literatura de specialitate de cele mai multe ori nu se precizează valoarea de calcul a vitezei vîntului; se admite însă că viteza de calcul este cea existentă la înălțimea axului rotorului.

În tabelul 1.1 se dă o sinteză statistică privind viteza de calcul admisă la centralele electrice din literatura de specialitate studiată.

Tabelul 1.1.

Viteza de calcul [m/s]	7 - 8	9 - 11	12-12,5	13-15	16-17
Numărul centralelor electrice de vînt.	7	8	5	5	4
% din totalul de 29 C.E.V. studiate.	24%	27%	17%	17%	14%

Valoarea vitezei de calcul a vântului se alege în baza regimului de vânturi din zona instalării aerogeneratorului și ținând seama de considerente energetice. Interes deosebit prezintă pentru calcule viteza vântului de demarare a aerogeneratorului și viteza maximă de funcționare, la care instalația se oprește. Pe lângă aceste viteze, din punctul de vedere al calculului de rezistență și mecanic a paletelor, se mai iau în considerare și vitezele extreme: rafalele anuale care apar anual și rafalele centenare care apar odată la 100 de ani.

Pentru calculul solicitărilor dinamice în condiții extreme se admite și variația maximă a vitezei vântului pentru rafalele anuale și centenare.

### 1.2.1.2. Masa specifică a aerului

Acest parametru influențează în bună măsură puterea cinetică disponibilă ce poate fi captată de rotorul eolian. Masa specifică a aerului variază cu presiunea  $p(P_a)$ , temperatura  $T(^{\circ}K)$ , umiditatea  $\varphi$  respectiv presiunea de saturație a vaporilor din aerul umed  $p_s(P_a)$  și poate fi calculată cu relația:

$$\rho = \frac{1,61 \cdot p - 0,61 \varphi \cdot p_s}{462 T} \quad (1.7)$$

sau separând influența umidității, respectiv transcriind presiunile în [m.bar] și temperatura în [ $^{\circ}C$ ], rezultă

$$\rho = 0,3484 \frac{p \text{ [m.bar]}}{273+t \text{ [}^{\circ}C\text{]}} - 0,132 \frac{\varphi \cdot p_s \text{ [m.bar]}}{273+t \text{ [}^{\circ}C\text{]}} \quad (1.8)$$

Pentru temperaturi extreme între  $-20^{\circ}C$  și  $+20^{\circ}C$  termenul al doilea al relației (1.8) are o pondere neînsemnată și poate fi neglijat. În schimb de influența presiunii ( $p$ ) și a temperaturii aerului va trebui să se țină seama, ele conducând la o variație apreciabilă a valorii masei specifice a aerului. De exemplu pentru presiunea ( $p=860$  m.bar) la temperaturile de  $-20^{\circ}C$  și  $+20^{\circ}C$ ,  $\rho$  va avea valorile:  $\rho_{(-20^{\circ})} = 1,198$  respectiv  $\rho_{(+20^{\circ})} = 1,022$ . Deci este necesară o investigație sezonieră a acestor factori în raport cu valorile lor medii pentru a analiza efectul lor asupra presiunii vântului pe rotorul eolian și respectiv asupra puterii cinetice disponibile a instalațiilor eoliene.

Pentru stația experimentală Timișoara, în urma prelucrării datelor meteo s-au găsit următoarele valori ale masei specifi-

ce a aerului:  $\rho_{\min} = 1,14 \text{ kg/m}^3$ ;  $\rho_{\max} = 1,35 \text{ kg/m}^3$ ;  $\rho_{\text{med}} = 1,23 \text{ kg/m}^3$ . Pentru obținerea unor date suplimentare se va consulta [2]

### 1.2.1.3. Diametrul rotorului instalației aeroelectrice

Această dimensiune formează a doua mărime importantă pentru calculul puterii centralei eoliene prin suprafața măsurată de rotor. Diametrul rotorului intră în relațiile de calcul a puterii la puterea a doua. Din totalul centralelor eoliene studiate din literatura de specialitate parcursă circa 58 % au diametrul rotorului mai mic de 30 m și numai la circa 40 % dimensiunile rotorului depășesc diametrul de 30m. În tabelul 1.2 se dă numărul centralelor aeroelectrice studiate în funcție de diametrul rotorului.

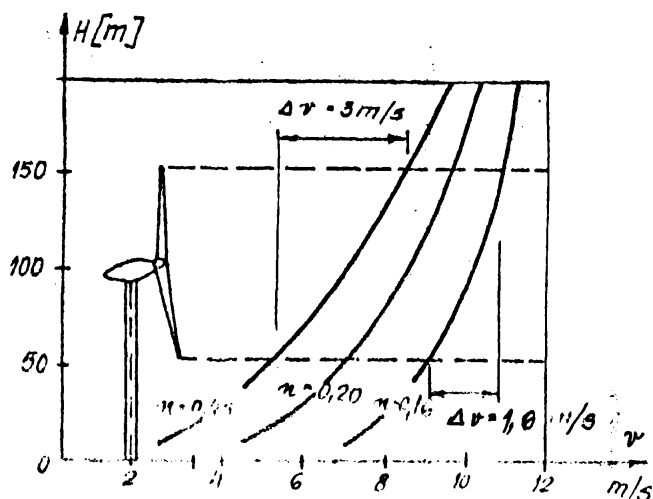
Tabelul 1.2

Diametrul D [m] rotorului	10	10-20	21-30	31-54	54
Nr. centralelor aeroelec- trice	5	9	4	7	6
% din tota- lul de 31 centrale analizate	16%	29%	13	22,5	19,5

În privința diametrului se precizează că în calculul suprafeței bătute de vânt nu se ia în considerare înclinația palelor față de planul de rotație al rotorului, iar viteza vântului cu care se calculează este componenta paralelă cu axa rotorului, considerată ca fiind uniform repartizată pe diametrul rotorului. În realitate, datorită faptului că diametrul rotorului este mare, evoluția stratului limită la variația rugozității solului conduce la diferențe de viteză ale vântului pe verticală, diferențe ce apar și în zona rotorului eolian vezi (fig.1.5).

Pentru transpunerea vitezei vântului, de la cotele de 10 m date de meteorologie, la cotele de referință ale instalației eoliene se folosește o relație de formă:

$$\frac{v}{v_0} = \left( \frac{H}{H_0} \right)^n \quad (1.9)$$



*Evoluția șablonului limitei la vanata rugăzității solului și influența acestuia asupra diferențelor de viteză în zona rotorului.*  
fig. 1.5

unde ( $V_0$ ) este viteza măsurată la cota ( $H_0=10$  m), iar exponentul  $n$ , mult discutat poate lua valori între (0,1) și (0,4) funcție de zonă și regimurile de vânturi. Valoarea  $n=0,1$  corespunde regiunilor vîntoase iar  $n=0,4$  regiunilor cu regimuri de vînt radice.

Avînd în vedere importanța deosebită pe care o are rotorul oelnic în pertinența

și economicitatea unei instalații eoliene s-au făcut studii detaliate și încercări experimentale pe paletele rotorului de diametru 10m și de diametru 30m. Obiectul acestor studii va fi prezentat pe larg în capitolele următoare.

#### 1.2.1.4. Factorul de putere al instalației eoliene

Calculul valorii acestui factor se face după precizările de la punctul 1.2.1.1. Valorile factorului de putere date în literatura tehnică trebuie considerate ca orientative, deoarece modul de determinare depinde de condițiile de vînt în timpul măsurărilor și care nu sînt precizate.

Diferențele factorului de putere pot atinge valori foarte mari din cauza variațiilor vîntului în intervalul în care s-au măsurat. În tabelul 1.3 sînt date valorile factorului de putere la puterea nominală a centralelor aeroelectrice studiate, iar în tabelul 1.4 valorile maxime ale acestui factor.

Tabelul 1.3

Factorul de putere la $P_{nom}$ .	0,20	0,21+0,25	0,251+0,3	0,31-0,35	0,351+0,4	0,4 <sup>10-100</sup>
Nr.C.E.V. ce corespund	3	3	4	4	7	2 23
$f_n$ [%]	13%	13%	17%	17%	31%	9% 100%

Tabelul 1.4

Factorul de putere maxim	0,25-0,30	0,31+ 0,35	0,35-0,4	0,4	Total
Nr. C.E.V.	1	4	3	5	13
% de centrale aeroelectrice	8%	31%	23%	38%	100%

1.2.1.5. Rapiditatea  $u/v$  a rotorului. Formează o mărime admisă ca bază de clasificare pentru instalațiile de vânt de diferite tipuri constructive și are valori cuprinse în intervalul (0-18). Centralele aeroelectrice realizează conversia în condiții bune, deci la valori mari ale factorului de putere în intervalul de rapiditate de la 5,5 până la 17. Factorul de putere este în limite favorabile pentru  $u/v = 7$  și mai mari.

#### 1.2.1.6. Viteza periferică a rotorului

Raportul ( $u/v$ ) cuprinde două mărimi importante cu privire la calculul și exploatarea centralelor electrice de vânt și anume: rotația ( $n$ ) prin viteza unghiulară ( $\omega$ ) care este un element hotărâtor în calculul aerodinamic al rotorului și viteza periferică  $u$  - element hotărâtor din punct de vedere tehnologic, limitat din considerente de rezistență mecanică a materialului folosit pentru confecționarea paletelor. Statistica din tabelul 1.5 arată numărul centralelor electrice de vânt realizate în funcție de viteza periferică ( $u$ ).

Tabelul 1.5 Viteze periferice

Viteza periferică a rotorului $u=R\omega$	70	71-90	91-112	Viteze periferice mari, peste 90 m/s s-au putut adăuga numai după
Nr. centralelor electrice de vânt	16	9	5	
[%]	54%	30%	16%	

preluarea tehnologiei aplicate în tehnica realizărilor aerospațiale din ultimii 10-15 ani.

#### 1.2.1.7. Numărul de palete ale rotorului aeroelectrice

În toate centralele electrice de vânt cu ax orizontal (din documentația studiată) numărul paletelor este de două sau trei. Reducerea numărului de palete este legată de micșorarea pierderilor la rotor. În acest caz aerodinamica s-a acumulat în

ultimul timp cunoștințe teoretice și rezultate experimentale valoroase.

### 1.2.1.8. Înălțimea butucului rotorului de la sol

Cota față de teren la care este montat rotorul aerocentralelor este stabilită pe baza condițiilor locale de vânt și de înălțimea minimă a vârfului palei inferioare în poziția verticală. Printre factorii care influențează: înălțimea butucului rotorului față de teren amintim: - condițiile locale de vânt, în primul rând variația pe verticală a vitezei în locul de montaj care depinde de relief și de felul și natura obstacolelor din apropiere [30]. În cazul centralelor studiate înălțimea de la sol a butucului, exprimată în mărimea relativă  $H/D$  (unde  $H$  este înălțimea butucului de la sol, iar  $D$  este diametrul rotorului) care are valori între 0,66 și 1,7. Situația statistică a centralelor aeroelectrice fiind dată în tabelul 1.6.

Tabelul 1.6

Raportul H/D	0,6+ 0,9	0,9+ 1,2	1,2
Nr. centralelor aeroelectrice	11	11	6
[%]	40 %	40 %	20 %

Din aceste date se poate vedea că în majoritatea cazurilor axa butucului se montează la o înălțime egală cu de

două ori raza rotorului.

### 1.2.1.9. Baze specifice ale elementelor componente ale centralelor electrice

Pentru aprecierea constructivă a instalațiilor de conversie a energiei vântului se compară două mrimi specifice: 1) masa caei maginelor inclusiv rotorul, raportată la suprafața rotorului mărimea de vânt în  $kg/m^2$ , și 2) energia masii a caei maginelor inclusiv rotorul raportată la puterea nominală a centralei în  $kg/kW$ . Valorile statistice orientative pentru centralele aeroelectrice studiate sînt prezentate în tabelul 1.7 și respectiv tabelul 1.8.

În tabelule prezentate pentru date statistice numărul total de centrale electrice de vînt studiate diferă deoarece în literatura tehnică lipsesc date referite la aceste caracteristici

527445  
2471



ale aeroconentralelor studiate.

Tabelul 1.7

Masa casei mă- șinilor inclusiv ro- torul pe suprafața rotorului G/S [kg/m <sup>2</sup> ]	15	15-25	25,1+5	50,1-75	75,1+105	105
Nr. centralelor e- lectrice de vânt	4	4	10	1	2	1
[%]	18%	18%	40%	4,5%	5%	4,5%

Tabelul 1.8

Masa casei mă- șinilor inclusiv a rotorului ra- portată la putere W/p [kg/kW]	50+75	75+100	100+150	100
Nr. centralelor aereo- electrice	5	3	9	4
[%]	24%	14%	43%	19%

Centralele electrice de vânt cu ax orizontal cunoscută din li-  
teratura de specialitate, prezintă o mare diversitate din punctul  
de vedere al mărimilor de calcul și al datelor constructive. Sis-  
tematizarea datelor și studiul statistic prezentat tabelar oferă  
o privire generală a evoluției problemei și permite alegerea și  
compararea mărimilor de calcul în cursul proiectării.

#### 1.2.1.10. Concluzii

Datele prezentate în literatura de specialitate trebuie pri-  
vite ca fiind orientative. Această rezervă în privința datelor se  
bazează pe precizia insuficientă a definiției mărimilor de cal-  
cul în condițiile de variație aleatoare a vântului și a lipsei  
din literatură a unor date necesare pentru determinarea acestor  
mărimi, după [2] și [3].

Ținând seamă de importanța deosebită a rotorului centralei  
aeroelectrice în scopurile următoare se prezintă detaliat date  
referitoare la construcția, calculul și încercarea paletelor me-  
talice pentru aerogeneratoare cu ax orizontal.

De aici datele din literatura de specialitate lipsesc în pro-  
porție cu desăvârșire. Datele găsite în literatură sînt numeroase și  
obicei nu se referă la calculul și realizarea structurilor pa-  
letelor. Unele dintre ele din [2] și [5] sînt prezentate cu caracter  
de exemplu în figura 1.10 și 1.11.

## CAP.2. ACTIUNI, GRUPARI DE ACTIUNI SI MATERIALE AVUTE IN VEDERE LA STUDIUL PALETTELOR.

### 2.1. Generalități

Acțiunile ce apar asupra turbinelor de vânt, depind în primul rând de datele aeroenergetice ale amplasamentului, caracterizate prin raportul dintre viteza de instalare ( $v_i$ ) și viteza medie multianuală a amplasamentului ( $v_m$ ) considerate la o altitudine standard (10 m) sau la altitudinea axei turbinei (H).

Viteza vântului la care se realizează puterea maximă (de instalare) a agregatelor este o mărime importantă de care depinde dimensiunea turbinei și costul agregatului [34].

Caracteristicile aeroenergetice ale plasam. TIMISOARA pentru agregatele AAEIO - L1/30 kW și EOL-TIM 1/30 kW și SEMENIC ( pentru agregatele EOL-TIM 3 sau MD 2/300 kW sînt prezentate pe larg în [2, 35] și au servit la stabilirea datelor energetice ale agregatelor, după teoriile dezvoltate în [34, 35, 36, 37, 38, 39, 40, 41, 42].

Pentru exemplificare, caracteristicile aeroenergetice ale amplasamentului Semenic la cota axei turbinei (30 m) convenite ca date de calcul pentru agregatul MD 2/300 kW sînt:

- Viteza medie a vîntului  $v_m = 8$  m/s
- Viteza maximă a vîntului la un an  $v_{M(1 \text{ an})} = 50$  m/s
- Viteza maximă a vîntului la 10 ani  $v_{M(10 \text{ ani})} = 64$  m/s
- Viteza maximă a vîntului la 100 ani  $v_{M(100 \text{ ani})} = 80$  m/s
- Densitatea de calcul a aerului  $\rho_0 = 1,2$  kg/m<sup>3</sup>

Obs. Orientativ orele de funcționare în diferite intervale de viteze sînt:

- în intervalul 8...25 m/s circa 3800 ore/an
- în intervalul 25...35 m/s circa 20 ore/an

Datele energetice ale agregatelor AAEIO - L 1/30 kW și EOL-TIM 1/30 kW, amplasate la Timisoara sînt:

- Diametrul rotorului (D)  $D = 10$  m
- Putere instalată la arborele turbinei ( $v_i = 9,57$  m/s) 19,82 kW
- Puterea brută absorbită de paletaj ( în regim de durată) 23,32 kW
- Puterea excepțională ( pe durata rafalei) 34 kW
- Turația nominală (n) (123±19)rot/min

- Viteza vântului ( maximă de exploatare)\* 20 m/s (28 m/s)
- Sens de rotație dreapta
- Număr de palete 3 buc (2 buc)

Pentru agregatele EOL-TIM 3/300 kW sau ED 2/300kW amplasate pe .

Semenele datele energetice sînt:

- Diametrul rotorului (D) D = 30 m
- Puterea de instalare la arbore ( $v_i=13,5\text{m/s}$ ) 350 kW
- Puterea brută absorbită de paletaj (3 palete) ( în regim de durată) 410 kW
- Puterea excepțională ( pe durata unei rafale) 600 kW
- Turație înaltă (50± 7,5) rot/min
- Viteza nominală a vântului 12,3 m/s
- Viteza maximă de exploatare\*\* 32,0 m/s
- Sens de rotație dreapta
- Număr de palete 3 buc

Alegerea tipului de turbină implică forma curbei caracteristice, valoarea maximă a coeficientului de putere și dimensiunile paletei ( geometria paletei) la o putere dată. Tipul de palete este determinat de viteza de instalare și turația turbinei. Numărul caracteristic ( $\lambda$ ), utilizat în domeniul turbinelor de vînt pentru caracterizarea tipului de turbină, este un raport între viteza periferică a capătului paletei și viteza de calcul a vîntului ( $v_N$ ), numită viteză nominală.

$$v_R = \omega \cdot R \quad (2.1)$$

unde: R este raza extremității paletei

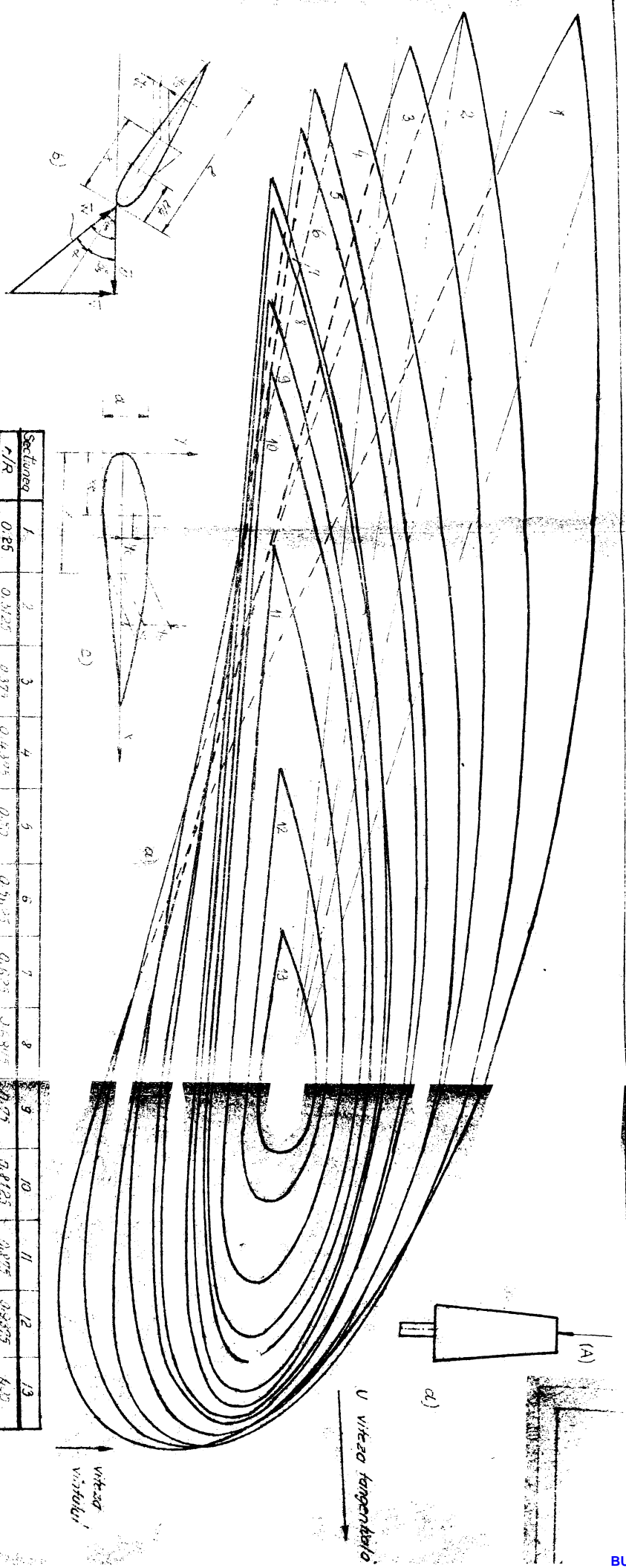
$\omega$  este viteza unghiulară a paletei

$$\lambda_R = \frac{v_R}{v_N} \quad (2.2)$$

Numărul caracteristic ( $\lambda$ ) este o formă particulară a funcției caracteristice utilizată în domeniul mașinilor hidraulice și este prezentat pe larg în [34, 35] ÷ [42]

---

\* La viteza vîntului de 20 m/s ( 28 m/s) paleta se pune în drapel  
\*\*La viteza vîntului de 32 m/s paleta se așează în drapel liber



Section	1	2	3	4	5	6	7	8	9	10	11	12	13	14	15	16	17	18
r/R	0.25	0.325	0.375	0.4375	0.5	0.5625	0.625	0.6875	0.75	0.8125	0.875	0.9375	1.0	1.0625	1.125	1.1875	1.25	1.3125
Rm	1.20	1.5625	1.975	2.4375	2.95	3.5125	4.125	4.7875	5.5	6.2625	7.0375	7.8375	8.6625	9.5125	10.3875	11.2875	12.2125	13.1625
Profile	44.84	44.24	44.21	44.21	44.21	44.21	44.21	44.21	44.21	44.21	44.21	44.21	44.21	44.21	44.21	44.21	44.21	44.21
Ø	19.35	19.35	19.35	19.35	19.35	19.35	19.35	19.35	19.35	19.35	19.35	19.35	19.35	19.35	19.35	19.35	19.35	19.35
lmm	240	204	108	192.5	126.6	180.8	117.7	165.7	149	135	122.5	110	97.5	85	72.5	60	47.5	35
l/m	240	204	108	192.5	126.6	180.8	117.7	165.7	149	135	122.5	110	97.5	85	72.5	60	47.5	35
α°	3.3333	4.1306	5.0246	6.0246	7.1393	8.3698	9.7193	11.1898	12.7813	14.4938	16.3283	18.2858	20.3683	22.5768	24.9113	28.3758	32.9813	38.7368

Section	Nr	1	2	3	4	5	6	7	8	9	10	11	12	13	14	15	16	17	18	
1 (butuc)	r=1.25m	0	4.432	12.902	31.77	51.642	72.33	114.861	188.409	292.832	436.961	620.89	844.62	1108.15	1411.68	1755.21	2138.74	2562.27	3025.8	
	x <sub>c</sub> =210mm	0	33.297	47.467	66.912	81.064	92.620	109.378	127.094	148.440	173.440	192.99	216.281	243.41	273.41	306.41	343.41	384.41	429.41	
	y <sub>c</sub> =295mm	0	16.346	29.097	32.294	34.344	35.687	37.087	37.992	38.487	38.687	38.687	38.687	38.687	38.687	38.687	38.687	38.687	38.687	38.687
2	r=1.5223m	0	4.327	12.942	30.954	52.222	63.100	68.619	70.694	71.632	69.199	63.880	56.883	48.200	38.200	26.200	13.902	2.091	0	0
	x <sub>c</sub> =204.15mm	0	32.370	49.923	64.034	74.810	82.923	88.923	92.923	95.923	97.923	98.923	99.923	100.923	101.923	102.923	103.923	104.923	105.923	106.923
	y <sub>c</sub> =286mm	0	16.067	28.287	30.833	32.244	32.922	33.144	33.144	33.144	33.144	33.144	33.144	33.144	33.144	33.144	33.144	33.144	33.144	33.144
		0	29.352	38.020	49.534	66.588	81.342	86.708	88.923	89.884	89.884	89.884	89.884	89.884	89.884	89.884	89.884	89.884	89.884	89.884

FIG. 21

Viteza nominală de calcul a turbinei este apropiată de viteza de instalare, dar mai mică decât ea, din cauza unor considerente de tip tehnologic. Alegerea vitezei

$$v_N \approx 0,9 v_i \quad (2.3)$$

periferice cu aceeași în considerare a restricțiilor de rezistență mecanică se stabilește în funcție de criteriul de optim: minimalizarea masei și optimizarea randamentelor.

Alegerea tipului de turbină [paletaj lent sau paletaj rapid:  $f(\lambda)$ ] și garantarea caracteristicilor ei sînt deosebit de importante în realizarea eficienței economice a agregatului și a centralei.

În [34] și [35] sînt analizate pe larg aceste aspecte și s-au stabilit pentru agregatele aeroelectrice menționate și avute în vedere tipul de paletaj și geometria paletelor.

Geometria paletelor, pentru paleta aerogeneratorului A4410-L 1/30 kW, cu diametrul de 10 m are caracteristica  $\lambda = 6,7$  variantă SK 1 fig.2.1. Date referitoare la aerodinamica paletelor și calculul forțelor care o soliciță sînt prezentate în [40],[41],[43],[44],[45] etc. Pentru paleta aerogeneratorului EOL-II 3/ kW sau MD 2/300 kW geometria paletelor este prezentată în desenele din fig.2.2. *Rotorul* pentru acest aerogenerator are diametrul de 30 m și caracteristica  $\lambda = 7$ . Cotele ce definesc profilele aerodinamice din fig. 2.1 și fig.2.2 reprezintă cote de gabarit exterior pentru paletă și deci întreaga structură de rezistență se dezvoltă în interior. Paleta are o zonă profilată în vecinătatea butucului utilizată pentru îmbunătățirea rezistenței produsului și o zonă neprofilată la vîrfurile paletelor, utilizată pentru îmbunătățirea esteticii paletelor.

Obs. Pentru agregatele menționate, datele aerodinamice referitoare la geometria paletelor și forțele aerodinamice pe paletă au fost furnizate de către Catedra de Mașini Hidraulice a Facultății de Mecanică de la I.I. "Traian Vuia" din Timișoara.

Experiența construcției de aeroagregate, cu puteri instalate mari, este încă foarte restrînsă, datele publicate în literatura de specialitate fiind și ele ca atare, destul de puține. Soluțiile tehnice folosite pentru structura de rezistență și celelalte elemente constructive ale echipamentelor aeroenergetice sînt încă de domeniul inovației și nu se conturează linii directoare certe referitoare la alcătuirea și calculul acestor

elemente. Natura încălzirilor și acțiunilor care solicită centralele aeroelectrice este insuficient cunoscută. În prezent sunt în literatura de specialitate parcursă nu sînt preacriptii și norme pentru stabilirea încălzirilor și modului lor de grupare, ci doar recomandări sau reglementări interne ale firmelor producătoare [4, 43, 44, 45].

Cunoașterea acțiunilor și a efectului lor asupra centralelor aeroelectrice și a elementelor lor componente este foarte importantă. Stabilirea lor stabilite și grupare depinde fiabilității agregatului și a părților componente.

## 2.2. Acțiunile și stabilirea efectului lor asupra paletelor

Acțiunile pe paletă provin din masa paletii și din încălzirile externe, înclăzirea tehnologică, zăpadă, ploaie, grindină, gheață pe paletă, temperatură, presiune și încălziri de avarie.

### 2.2.1. Acțiuni din masa proprie

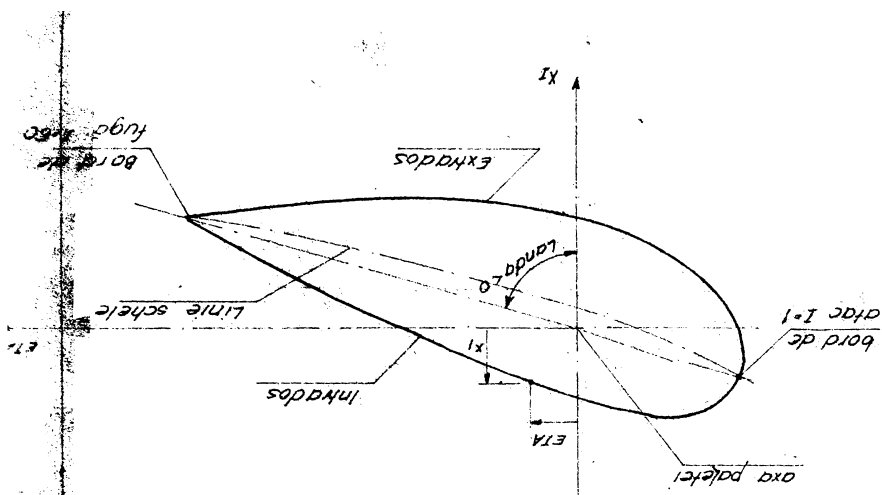
Acțiunile din masa proprie ale elementelor componente ale centralei sînt clasificate în trei categorii: acțiuni gravitaționale, acțiuni centrifugale și acțiuni giroscopice. Pe paletă vom avea acțiuni provenite din greutatea proprie a paletii, acțiuni centrifugale distribuite în conformitate cu distribuția maselor structurii de rezistență și acțiuni giroscopice calculate în funcție de viteza unghiulară ( $\omega$ ) a rotorului și viteza unghiulară ( $\Omega$ ) a casei mașinilor (viteza de orientare în vînt).

#### 2.2.1.1. Acțiuni gravitaționale

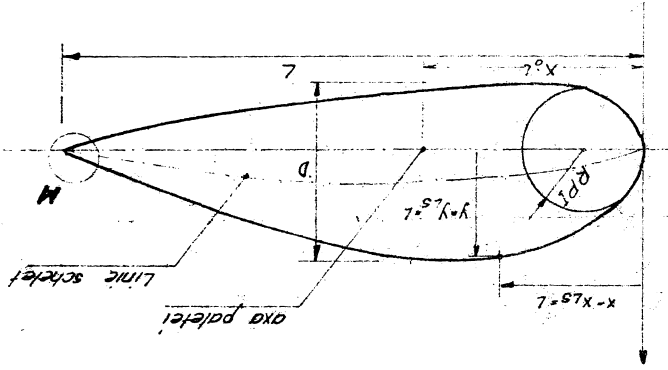
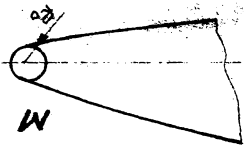
Paletelor rotorului agregatelor aeroelectrice, aflate în mișcare de rotație, datorită înclăzirea gravitațională proprie din masa paletii sînt primite un caracter ciclic alternativ asimetric. Înclăzirea gravitațională ciclică trebuie luată în considerare la analiza oboselii în exploatarea paletii. Orice rotație completă a rotorului creează într-o paletă un ciclu de încălzire complet, care constă din: eforturi axiale de întindere și compresiune, eforturi de încovoiere și eforturi de tăiere alternanțe. Durata de cicluri pentru o paletă de rotor a unei centrale aeroelectrice se poate determina cu relația

$$t_n = 0,8 \cdot t_n \cdot 60 \cdot 24 \cdot 360 \cdot n_g \quad (2.4)$$

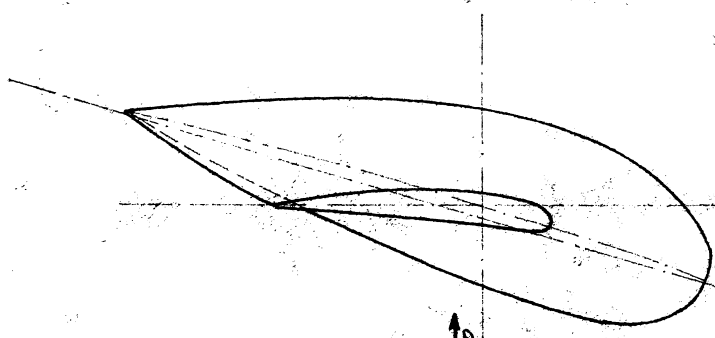




SECȚIUNI DE TIP "L"

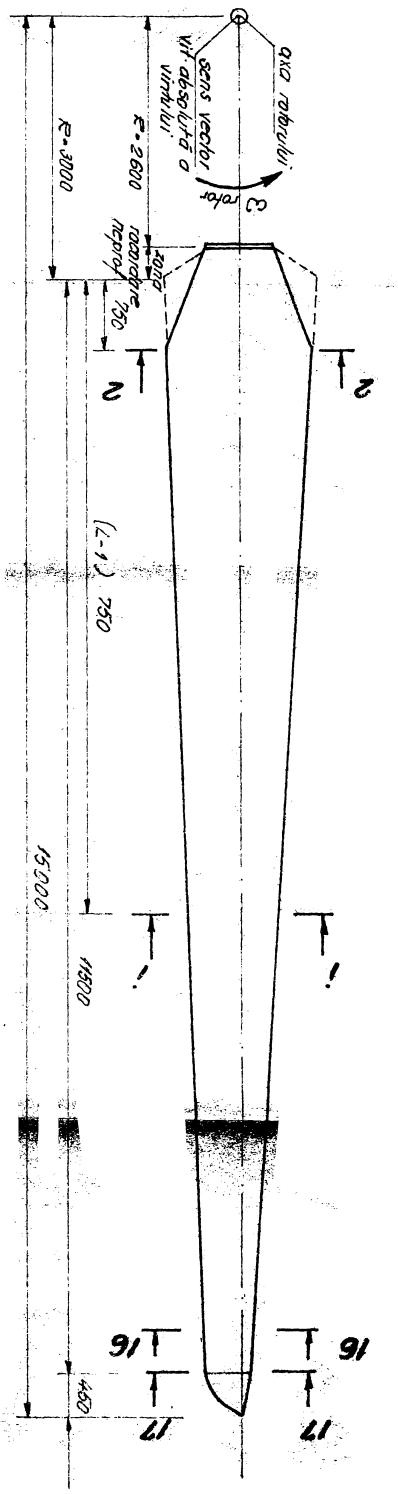


SCURTA PENTRU CITEREA LISTINGUILORE



scara 1:80

amonic





unde:  $0,8$  - reprezintă coeficientul de fiabilitate

$t_n$  - reprezintă turația nominală a turbinei (a rotorului) ( rotații pe minut).

$n_a$  - numărul de ani de funcționare a paletii

De exemplu, pentru paleta rotorului aerogeneratorului AAETC-L 1/30 kW cu diametrul de 10 m, care are o turație nominală de  $(128 \pm 19)$  rot/min la o durată de funcționare de 10 ani numărul de cicluri de încărcare din acțiunea gravitațională a masei este:

$$n_c = 0,8 \cdot 128 \cdot 60 \cdot 24 \cdot 360 \cdot 10 = 5,3 \cdot 10^8 \text{ cicluri.}$$

iar la o durată de funcționare de 30 ani ( $n_c$ ) are valoarea:

$$n_c = 0,8 \cdot 128 \cdot 60 \cdot 24 \cdot 360 \cdot 30 = 1,6 \cdot 10^9 \text{ cicluri}$$

Având în vedere posibilitatea apariției fisurilor prin oboseală, pentru fiecare paletă, se stabilește durata de exploatare în funcție de materialul din care este alcătuită. În [42] se precizează că numărul maxim de cicluri pentru o paletă nu va depăși valoarea de  $9 \cdot 10^7$ .

Pentru paleta aerogeneratorului EOL-TIM 3/300 kW, cu diametrul de 30 m, care are o turație nominală de  $(50 \pm 7,5)$  rot/min numărul de cicluri pentru o durată de exploatare de 10 ani este:

$$n_c = 0,8 \cdot 50 \cdot 60 \cdot 24 \cdot 360 \cdot 10 = 2,07 \cdot 10^8 \text{ cicluri}$$

Masa aproximativă a unei paleti depinde de materialul din care este confecționată și poate fi stabilită în baza unui calcul de predimensionare. Pentru paleta rotorului cu diametrul  $D = 10$  m, realizată din oțel, masa stabilită la predimensionare este  $m \leq 200$  kg, iar pentru paleta rotorului cu diametrul  $D = 30$  m, confecționată tot din oțel, masa paletii, stabilită tot la predimensionare, este  $m \leq 2000$  kg.

Relația de determinare a masei ( $m$ ) este:

$$m = \int_V \rho \cdot dV = \rho \int_0^l \int_{A(z)} dA \cdot dz = \rho \sum_{i=1}^{n(z)-1} A(z) \cdot \frac{l}{n(z)-1} = \sum_{i=1}^{n(z)-1} m_i \quad (2.5)$$

unde:

$\rho$  - este densitatea materialului din care este confecționată paleta

$A(z)$  - este aria secțiunii transversale a paletii din secțiunea  $(z)$  corespunzătoare celor  $n(z)$  secțiuni definite în lungul paletii. În aria  $A(z)$  intră aria tuturor secțiunilor transversale

a elementelor ce compun paleta în secțiunea respectivă.

$l$  - este lungimea totală a paletăi

$n(z)^{-1}$  - reprezintă numărul tronșoanelor din paletă de orice cunoscută și constantă pe lungimea unui tronșon ( $\frac{l}{n(z)^{-1}}$ )

$m_i$  - este masa tronșonului ( $i$ ) din paletă.

Iar greutatea paletăi ( $q$ ) rezultă dintr-o relație similară

$$q = m \cdot g = \rho \cdot g \int_0^l A(z) dz = \rho \cdot g \sum_{i=1}^{n(z)^{-1}} A_i \cdot \frac{l}{n(z)^{-1}} = g \sum_{i=1}^{n(z)^{-1}} m_i \quad (2.6)$$

unde:  $g$  - este accelerația gravitațională.

În [42] se arată că masa aproximativă a unei paletăi cu raza de 40 m variază între 2000 și 3000 kg și depinde de tipul materialelor folosite pentru construcția ei.

### 2.2.1.2. Forțe centrifugale

Forțele centrifugale care acționează la nivelul rotorului turbinei tind să desprindă paletetele din axa (butucul) rotorului. Forța centrifugă care ia naștere în paletă, în timpul funcționării, datorită mișcării de rotație a rotorului cu viteză unghiulară ( $\omega$ ) este dată de relația (2.7).

$$F = r \cdot \pi^2 \cdot m \cdot r \cdot f^2 = m \cdot r \cdot \omega^2 \quad (2.7)$$

unde:

$f$  - este frecvența de rotație în [1/s] =  $\frac{\omega}{2\pi}$

$m$  - este masa paletetei în [kg]

$r$  - raza de la axa de rotație ( $r_G$ ) până în centrul de greutate al paletetei.

De exemplu, pentru un rotor cu diametrul  $d = 80$  [m]:

- masa unei paletete este  $m \approx (1,5 + 2,0) \cdot 10^3$  [kg]

- raza pînă la centrul masei  $r_G = 0,35 \cdot 15 = 5,25$  [m]

[Centrul de greutate al paletetei este (de obicei) cuprins între 30% și 40% din raza rotorului].

frecvența  $f = 50 \text{ rot/minut} : 60 = 0,834$  [rot/s]

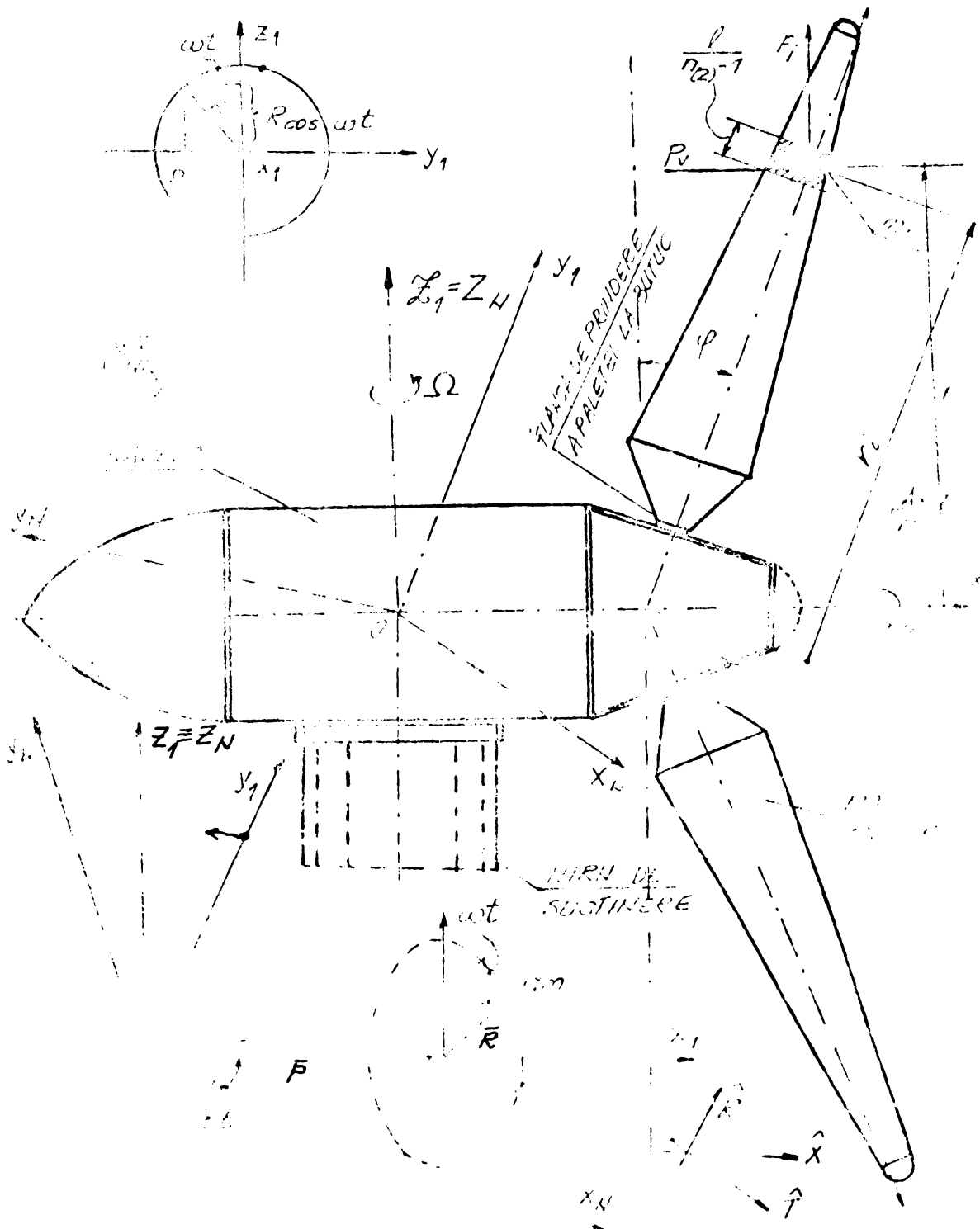
rezultă:

$$F = (216133,5 + 288124,2) \text{ [N]}$$

peste paletete care prezintă înclinație față de planul de referință al rotorului ( fig.2.3) forța centrifugă dată de masa ( $m_i$ ) este:

$$F_i = m_i \cdot r_i \cdot \cos \varphi \cdot \omega^2 \quad (2.6)$$

unde:  $\varphi$  - este unghiul de conicitate al rotorului



Forța de inerție produce în paletă un moment de încovoiere (pentru o centrală eoliană cu rotorul în aval de sens contrar cu sensul produs de presiunea vântului).

$$M_{F_i} = (m_i \cdot \omega^2 \cdot r_i \cdot \cos \varphi) \cdot r_i \cdot \sin \varphi = m_i \cdot r_i^2 \cdot \omega^2 \cdot \sin \varphi \cos \varphi \quad (2.9)$$

Pentru centralele eoliene cu rotorul în amonte, momentul dat de forța de inerție **este tot de sens contrar cu cel dat de presiunea vântului**

### 2.2.1.3. Acțiuni giroscopice

Acțiunile giroscopice care apar asupra unei instalații eoliene în funcțiune pot fi grupate în două categorii: acțiuni cauzate de mișcarea de rotație a nacellei în jurul axei proprii ( $\bar{\Omega}$ ), și acțiuni cauzate de mișcarea de rotație a pământului ( $\Omega_p$ ) care poate fi neglijată, deoarece viteza unghiulară de rotație a pământului ( $\Omega_p \approx 10^{-4} \text{ s}^{-1}$ ) este mult mai mică decât viteza unghiulară de rotație a nacellei ( $\bar{\Omega} \approx 10^{-2} \text{ s}^{-1}$ ). În aceste cazuri acțiunile pe paletă trebuie exprimate convenabil, ținând seama de orientarea paletă a rotorului în jurul axului sau de rotație.

Rotorul unei instalații eoliene în funcțiune este solicitat de forțe giroscopice dacă nacela se orientează simultan în direcția vântului. În cazul unui rotor cu două palete forțele giroscopice variază sinusoidal pentru fiecare jumătate de rotație a paletelor.

În continuare, se ilustrează caracteristicile îndreptărilor induse din efectul giroscopic de rotație a nacellei pentru orientare în vânt. Rotorul este considerat rigid și în centrul nacellei, după fixarea a axului, este considerat punctul fix al sistemului. Analiza acțiunilor giroscopice este considerată ca o aplicație a transformărilor de coordonate din sistemul fix (N) în sistemul rotit (1). Originea sistemului rotit (1) fiind identică cu originea sistemului fix.

Accelerarea în sistemul inerțial fix trebuie exprimată în funcție de cea din sistemul rotit după următoarea expresie:

$$\begin{aligned} \frac{\partial^2 \bar{r}}{\partial t^2} (N) &= \left( \frac{\partial^2 r}{\partial t^2} \right) (1) + \left( \frac{\partial \bar{\Omega}}{\partial t} \right) (1) \times r + 2\bar{\Omega} \times \left( \frac{\partial \bar{r}}{\partial t} \right) (1) + \\ &+ \bar{\Omega} \times (\bar{\Omega} \times \bar{r}) \end{aligned} \quad (2.10)$$

unde:

$\vec{r}$  - este vectorul de poziție pentru mișcarea de accelerație a particulei (dm).

$\vec{\Omega}$  - este viteza unghiulară a sistemului de rotație față de sistemul fix.

Coordonatele sistemului de axe sînt definite în (fig.2.3)

unde:

$\Omega t$  - caracterizează mișcarea giroscopică a nacelei

$\omega t$  - caracterizează mișcarea de rotație a rotorului

$R$  - este distanța de la axul de rotație al rotorului pînă la particula de masă (dm).

$P$  - este distanța de la axul de rotație al nacelei la planul de rotație al rotorului care este perpendicular pe axa de rotație.

$\hat{X}$  - este vectorul unitar paralel cu axa de rotație a rotorului [ $\hat{X} = (1, 0, 0)$ ]

$\hat{R}$  - este vectorul unitar paralel cu planul de rotație al rotorului [ $\hat{R} = (0, -\sin\omega t, \cos\omega t)$ ]

$$\hat{i} = \hat{P} \times \hat{R} = (0, -\cos\omega t, -\sin\omega t)$$

$\vec{r}$  - este vectorul de poziție și are expresia:

$$\vec{r} = \vec{P} + \vec{R}; \text{ unde } \vec{P} = (P, 0, 0) \text{ și } \vec{R} = (0, -R\sin\omega t, R\cos\omega t);$$

$$\text{deci } \vec{r} = (P, -R\sin\omega t, R\cos\omega t)$$

Cu aceste date se pot calcula termenii din ecuația (2.10)

Primul termen este:

$$\left( \frac{\partial \vec{r}}{\partial t} \right)_{(1)} = (0, -R\omega \cos\omega t, -R\omega \sin\omega t)$$

$$\left( \frac{\partial^2 \vec{r}}{\partial t^2} \right)_{(1)} = (0, R\omega^2 \sin\omega t, -R\omega^2 \cos\omega t)$$

Al doilea termen are forma:

$$\frac{d\vec{\Omega}}{dt} = (0, 0, \dot{\Omega})$$

$$\left( \frac{\partial \vec{\Omega}}{\partial t} \right)_{(2)} \times \vec{r} = \begin{vmatrix} \hat{i} & \hat{j} & \hat{k} \\ 0 & 0 & \dot{\Omega} \\ P, -R\sin\omega t & R\cos\omega t & 0 \end{vmatrix} = (R\dot{\Omega} \sin\omega t, P\dot{\Omega}, 0)$$

Înlocuind termenii în ecuația (2.10) devine:

$$2 \bar{\Omega} \times \left( \frac{\partial \bar{F}}{\partial t} \right)_1 = 2 \begin{vmatrix} i & j & k \\ 0 & 0 & \Omega \\ 0 & -R \cos \omega t & -R \sin \omega t \end{vmatrix} = (2R\Omega\omega \cos \omega t, 0, 0)$$

și ultimul termen este:

$$\bar{\Omega} \times \bar{r} = \begin{vmatrix} i & j & k \\ 0 & 0 & \Omega \\ P & -R \sin \omega t & R \cos \omega t \end{vmatrix} = (R\Omega \sin \omega t, P\Omega, 0)$$

$$\bar{\Omega} \times (\bar{\Omega} \times r) = \begin{vmatrix} i & j & k \\ 0 & 0 & \Omega \\ R\Omega \sin \omega t & P\Omega & 0 \end{vmatrix} = (-P\Omega^2, R\Omega^2 \sin \omega t, 0)$$

rezultă:

$$\frac{d\bar{F}}{dm} = \left( \frac{\partial^2 \bar{r}}{\partial t^2} \right)_{(N)} = \begin{pmatrix} -P\Omega^2 + 2R\Omega\omega \cos \omega t + R\dot{\Omega} \sin \omega t \\ R\Omega^2 \sin \omega t + R\omega^2 \sin \omega t + P\dot{\Omega} \\ -R\omega^2 \cos \omega t \end{pmatrix} \quad (2.11)$$

unde:  $d\bar{F}$  - este forța ce acționează asupra elementului diferențial de masă ( $dm$ ) din paletă

Pentru cazul în care viteza unghiulară ( $\Omega$ ) este constantă (adică  $\dot{\Omega} = 0$ ) avem:

$$\frac{d\bar{F}}{dm} = \begin{pmatrix} -P\Omega^2 + 2R\Omega\omega \cos \omega t \\ R(\Omega^2 + \omega^2) \sin \omega t \\ -\omega^2 R \cos \omega t \end{pmatrix} \quad (2.12)$$

Pe baza celor de mai sus încărcarea pe paletă și în flanșa din butucul rotorului exprimată în sistemul de axe rotit  $(x_1^0, y_1, z_1)$  prin vectorii de forțe  $(\hat{X}, \hat{R}, \hat{T})$ ,  $(\hat{T} = \hat{X} \cdot \hat{R})$  are următoarele componente:

. componenta din planul de rotație al rotorului care-i accelerează sau încetinește mișcarea;

$$\frac{dF(T)}{dm} = \frac{d\bar{F}}{dm} \cdot \hat{T} = -\frac{R}{2} \Omega^2 \sin \omega t \quad (2.13)$$

. componenta radială din planul de rotație al rotorului

$$\frac{dF(R)}{dm} = \frac{d\bar{F}}{dm} \cdot \hat{R} = -R(\omega^2 + \Omega^2 \sin^2 \omega t) \quad (2.14)$$

. componenta după axa ( $x_1$ ) normală la planul de rotație al rotorului.

$$\frac{dF_{x_1}}{dm} = \frac{d\bar{F}}{dm} \cdot \hat{X} = -P\Omega^2 + 2R\Omega\omega \cos \omega t \quad (2.15)$$

Aportul elementului de masă ( $dm$ ) la momentele încovoietoare din paletă și din flanșa de fixare la butuc a acesteia se obține din relațiile (2.13) și (2.15) multiplicată cu raza  $R$ :

. momentul din componenta din planul de rotație al rotorului care-i accelerează sau încetinește mișcarea este dirijat după vectorul ( $\hat{X}$ ).

$$dM_{\hat{X}} = R \frac{dF_T}{dm} = -\frac{R^2}{2} \Omega^2 \sin 2\omega t \quad (2.16)$$

iar momentul în flanșa de fixare rezultă prin integrare

$$\int dM_{\hat{X}} = \int_0^R -\frac{R^2}{2} \Omega^2 \sin 2\omega t \cdot dm$$

de unde:

$$M_{\hat{X}} = -\frac{I}{2} \Omega^2 \sin 2\omega t \quad (2.17)$$

în relația (2.17)(I) este egal cu:

$$I = \int_0^R R^2 dm \quad (2.18)$$

și are forma momentului de inerție față de axa de rotație ( $X_1$ )

. momentul din componenta perpendiculară pe planul de rotație al rotorului (adică paralela cu  $X_1$ ) este:

$$dM_{\hat{T}} = R \frac{dF_X}{dm} = -RP\Omega^2 + 2R^2\Omega\omega \cos \omega t \quad (2.19)$$

iar momentul din flanșa de fixare se obține integrând pe lungimea paletii:

$$\int dM_{\hat{T}} = \int_0^R (-RP\Omega^2 + 2R^2\Omega\omega \cos \omega t) dm \quad (2.20)$$



de unde:

$$M_T^{\wedge} = -S P \Omega^2 + 2 I \Omega \omega \cos \omega t \quad (2.21)$$

în relația (2.21) S este egal cu:

$$S = \int_0^R R dm \quad (2.22)$$

și are forma momentului static față de o axă ( $\hat{T}$ ) din planul de rotație al rotorului.

Exemplu:

Pentru aerocentrala AAETO - L 1/30 kW avem următoarele date:

- $P = 2,2$  [m] - lungimea din axul de rotație al nacelei pînă la butucul rotorului (sau planul rotorului);
- $m = 200$  kg - masa paletii
- $R_{p_0} = 3,75$  [m] - lungimea efectivă a paletii pînă la butucul rotorului.

$$S = \int_0^{R_{p_0}} \rho R dR = \sum \rho \Delta m_i \cdot R_{p_i} = 0,35 \cdot R_{p_0} \cdot m = 0,35 \cdot 3,75 \cdot 200 = 262,5 \text{ [kgm]}$$

$$I = \int_0^{R_{p_0}} R^2 dR = (0,35 R_{p_0})^2 m = (0,35 \cdot 3,75)^2 \cdot 200 = 344,5 \text{ [kg.m}^2\text{]}$$

$$\omega = 1200 \text{ rot/min} \cdot \frac{2\pi}{60} = \frac{1200 \cdot 2 \cdot \pi}{60} = 30,4 \text{ [s}^{-1}\text{]}$$

$$\Omega = 1,05 \cdot 10^{-2} \text{ [s}^{-1}\text{]}$$

Momentele la nivelul flanșei paletii (la fața butucului) sînt:

$$M_T^{\wedge} = -S \cdot P \cdot \Omega^2 + 2 I \Omega \omega \cos \omega t = -262,5 \cdot 2,2 \cdot (0,0105)^2 \pm$$

$$2 \cdot 344,5 \cdot 0,0105 \cdot 13,4 = (-97,00 \div + 96,87) \text{ [Nm]}$$

$$-97,0 \leq M_T^{\wedge} \leq 96,87 \text{ [N.m]}$$

$$M_X^{\wedge} = -\frac{1}{2} S \Omega^2 \sin 2\omega t = -\frac{262,5}{2} \cdot (0,0105)^2 = -0,01899 \text{ sin} \omega t$$

$$0,01899 \leq M_X^{\wedge} \leq 0,01899 \text{ [Nm]}$$

Pentru agregatul MD 2/300 kW avem următoarele date:

- $P = 3,20$  [m] - lungimea din axul de rotație al nacelei pînă la planul de rotație al rotorului;
- $n = 1500$  [kg] - masa unei paletii;

$R_{p_0} = 12,400 [m]$  - efectivă a  
la flansa ei.

$$S = \int_0^{R_{p_0}} R dR = \left( \frac{1}{2} R_{p_0}^2 \right) \cdot 1500 = 6510 [Nm]$$

$$I = \int_0^{R_{p_0}} R^2 dR = \left( \frac{1}{3} R_{p_0}^3 \right) \cdot 1500 = 28253 [kg \cdot m^2]$$

$$\omega = 50 \cdot \frac{2\pi}{60} = 5,23 [s^{-1}]$$

$$\Omega = 1, \dots -2 \dots$$

... aceste ... momentul la ni

$$M_T^A = - \Omega^2 \cdot 2I\omega \cos \omega t = -6510 \cdot 3,2 \cdot$$

$$2 \cdot 28 \cdot 253 \cdot 5 \cdot 5,23 \cdot \cos \omega t$$

$$-3105,3 < M_T^A < + 3100,7 [Nm]$$

$$M_x^A = - \frac{I}{2} \Omega^2 \sin 2\omega t = - \frac{28 \cdot 253}{2} \cdot 0,0105^2 \cdot \sin 2\omega t$$

$$-1,60 < M_x^A < + 1,60 [N \cdot m]$$

### Acțiuni provenite din vînt

te din vînt asupra  
orizontal im

aerodinamică pe modele în

acestor studii cercetări experimentale acțiuni  
asupra paletelor aerogeneratoarelor cu ax orizont

și sub formă

caracteristicilor

servește verificările mec

ale ale paletelor fi redăte

curbe ca în [40, 41, 43, 44, 46, 47] în funcție de  
profile utilizate Pentru aerogeneratoarele AA

MD<sub>2</sub>/300 kw seria de profile utilizate face parte

NACA

În ceea ce privește evaluarea încărcărilor din vînt pe  
elementele unei centrale aeroelectrice și în special pe roto-  
rul instalației nu există norme sau reglementări care să ser-  
vească proiectantului.

Pentru evaluarea încălzirii [47], publicată în Editura [48] pentru calculul constructiv [2, 35, 48].

Inexactitatea calculului din datele meteorologice este foarte mare în timp, în cazul încălzirii.

În aerodinamica fluidelor, distribuția presiunilor pe profilul aerodinamic depinde de unghiul de incidență (fig. 2.4) și (fig. 2.5) se vede că pe profilul aerodinamic există diferite valori



FIG. 2.4.

Distribuția presiunilor pe profilul aerodinamic la unghiul de incidență  $\alpha_{max}$

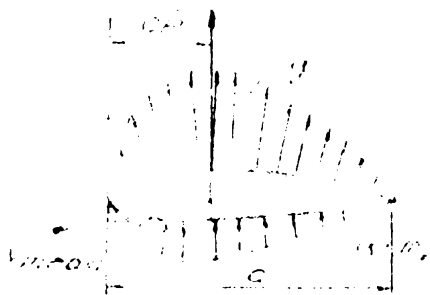


FIG. 2.5.

Distribuția presiunilor pe profilul aerodinamic la unghiul de incidență  $\alpha_{min}$ . Într-un caz se poate observa că există o variație a presiunilor în funcție de unghiul de incidență și de viteza vântului.

Analiza presiunilor din vânt...

se poate folosi lucrarea [49] și [50] foloșind și lucrările specializate.

Presiunile din vânt provine fie în regimul vânturilor și de determinare sau calcul...

Distribuția presiunilor pe profilul aerodinamic (fig. 2.1.b). În (fig. 2.4), se vede schematic distribuția teoretică a presiunilor în funcție de caracteristicile de funcționare și de caracteristicile de incidență ( $\alpha$ ).

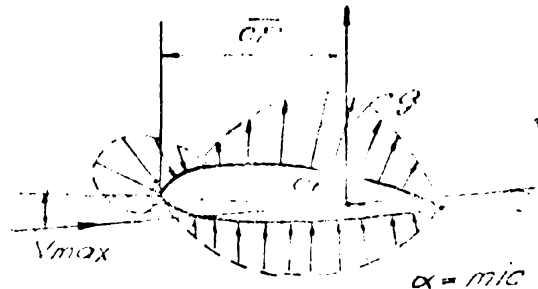


FIG. 2.5.

Distribuția presiunilor pe profilul aerodinamic la unghiul de incidență  $\alpha_{min}$

Presiunile teoretice prezente...

Figurile 2.4, 2.5 și 2.6 corespund numai unei situații de funcționare a paletei, dar în cazul în care se observă ca paletele acestor...

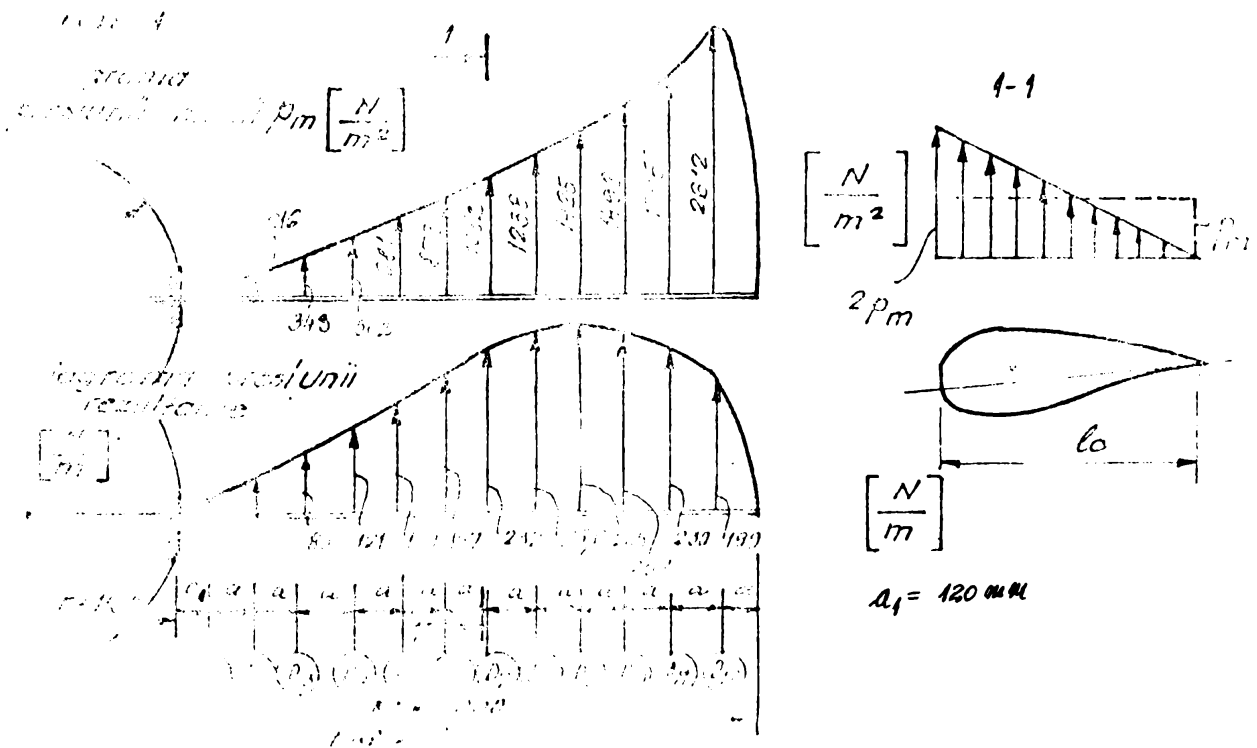
observa ca paletele acestor paletearelor cu ax orizontal sunt dispuse după o lege similară (l) și o altă lege în funcție de unghiul de incidență ( $\alpha$ ) și deci fiecare palete are o distribuție...

Analiza distribuției presiunilor din vânt...

Per aerocentralele AAETC -L<sub>1</sub>/30 kw și MD<sub>2</sub>/300 kw a constituit secțiunile lucrărilor [44, 45, 46, 47, 48, 49 și 40]. În cadrul acestor lucrări sînt date valorile presiunilor care corespund (1-60) sau de la (1-100) de puncte de-a lungul coardei rotorului și respectiv de-a lungul coardei extradosului profilului. Valorile sînt precizate pentru profilele transverse ale, cînd se ia în calcul paleta, la intervale de 250 mm.

Variatia presiunii în lungul paletii pentru intervale de 250 mm este vădită în fig. 2.7 și se acceptă ca fiind liniară.

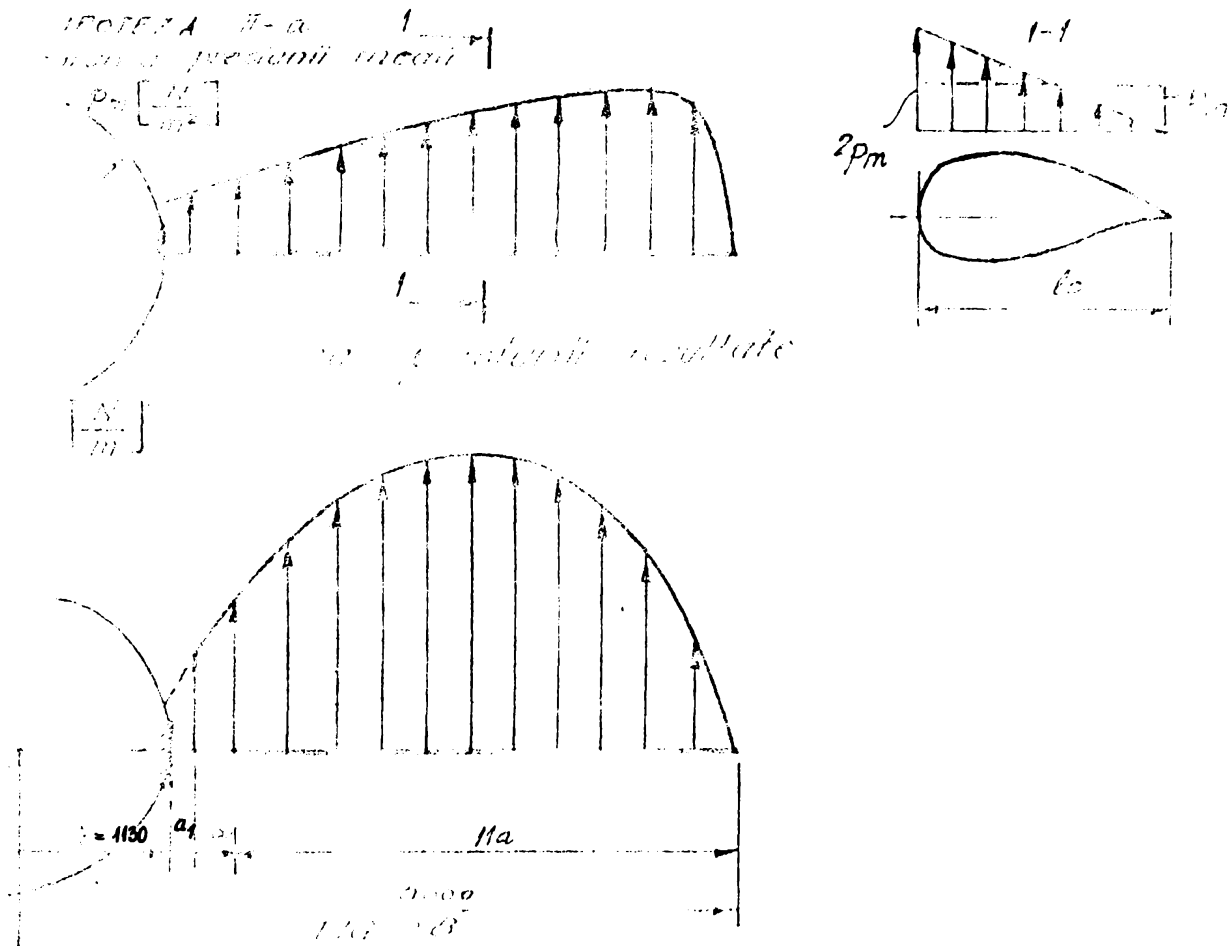
Pentru paletile rotorului, aerogeneratorului AAETC-L<sub>1</sub>/30 și pentru distribuțiile a presiunii vîntului sînt prezentate în fig. 2.7, fig. 2.8 și fig. 2.9, iar valorile presiunii medii sînt date în tabelul 2.1.



În fig. 2.7 este prezentată diagrama presiunilor medii și rezultante pe paleta rotorului aerogeneratorului AAETC-L<sub>1</sub>/30 kw, obținută pentru viteze ale vîntului cuprinse între 6 și 20 m/s în regim de exploatare normal. Valorile prezentate sînt maxime corespunzătoare regimului de exploatare normal.

Pe fig. 2.8 și 2.9 sînt prezentate diagramele presiunilor medii rezultante pe paleta rotorului aerogeneratorului AAETC-L<sub>1</sub>

kw, obținute pentru viteze ale vântului cuprinse între 28 și 100 m/s în regim de funcționare accidentală. Valorile prezentate sunt cele maxime corundătoare nominalului de exploatare, cu paleta în poziție de funcționare, pe o durată de câteva secunde.



În fig.2.9. este prezentată diagrama distribuției presiunilor pe aceeași paletă a aerogeneratorului AAMTO-L<sub>1</sub>/30 kw în viteze ale vântului cuprinse între 28 și 100 m/s, în regim de staționare, cu paleta în drapel și același vânt cu direcție schimbătoare brusc și mecanismul de orientare în vânt a nacellei blocat.

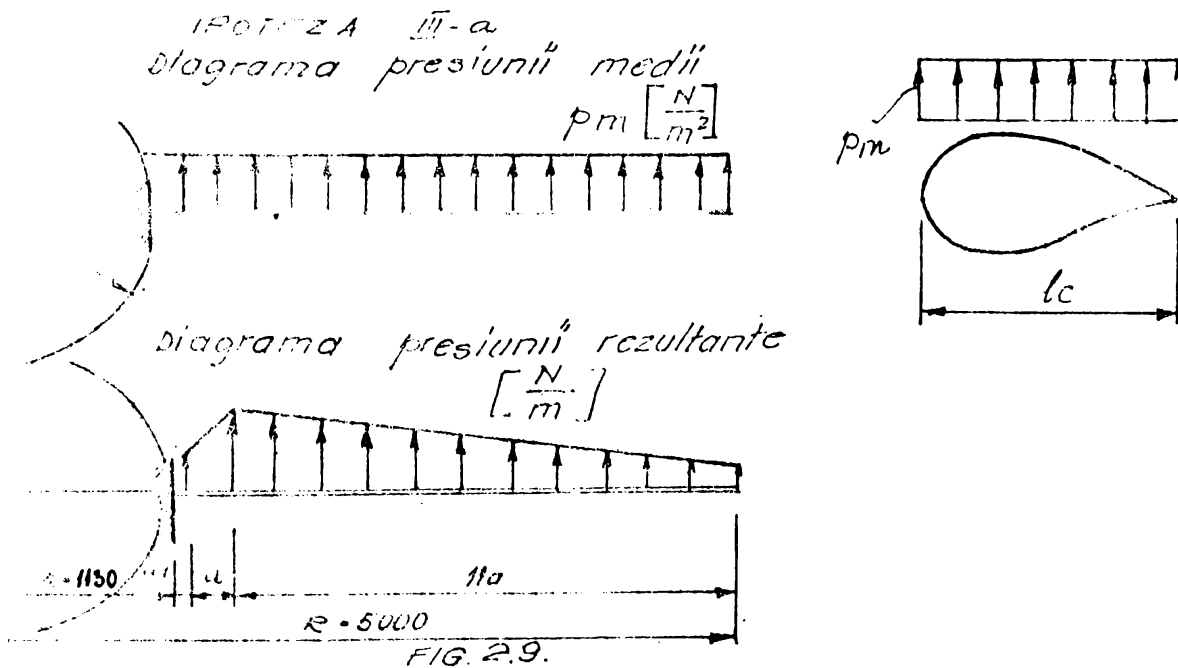
În tabelul 2.1 sînt prezentate valorile presiunilor medii și a presiunilor rezultante pentru cele trei cazuri reprezentate în figurile 2.7, 2.8 și 2.9.

Pentru paletatele rotorului aerogeneratorului MD 2/300 kw diagrama de distribuție a presiunii vîntului sînt prezentate în fig.2.10 și tabelul 2.2.

Tabloul 2.1.

Valorile presiunii medii în lungul palei în  $[N/m^2]$   
 și presiunii rezultante în  $[N/m]$

	D1	D2	D3	D4	D5	D6	D7	D8	D9	D10	D11	D12
Presiunea medie $p_m$	60	216	343	503	681	875	1082	1238	1425	1498	1735	2612
Presiunea rezultantă $P_i$	371	1102	1232	1513	1605	1594	1378	2033	2100	2205	2311	2052
Presiunea rezultantă $P_j$	4000	4000	4000	4000	4000	4000	4000	4000	4000	4000	4000	4000
Presiunea rezultantă întradosul paletelor 2	5	55	85	121	159	197	233	256	265	252	230	199
Presiunea rezultantă întradosul paletelor 1	14	281	320	321	395	417	435	419	391	372	296	155
Presiunea rezultantă întradosul paletelor 3	525	1020	991	1003	1034	1001	800	1200	1100	1100	1100	1000



În figura 2.10 a este dată variația distribuției presiunii calculată numeric, în lungul coardei profilului, pentru paleta cu caracteristica  $\lambda = 7$ . Pe intradosul paletelor avem presiunea  $\Delta P_i$  iar pe extradosul paletelor avem suucțiunea



$\Delta P_e$  și care împreună ne dau acțiunea totală  $\Delta P$  sau diagrama distribuției a presiunii vântului.

$$\Delta P = \Delta P_i - \Delta P_e \quad (2.25)$$

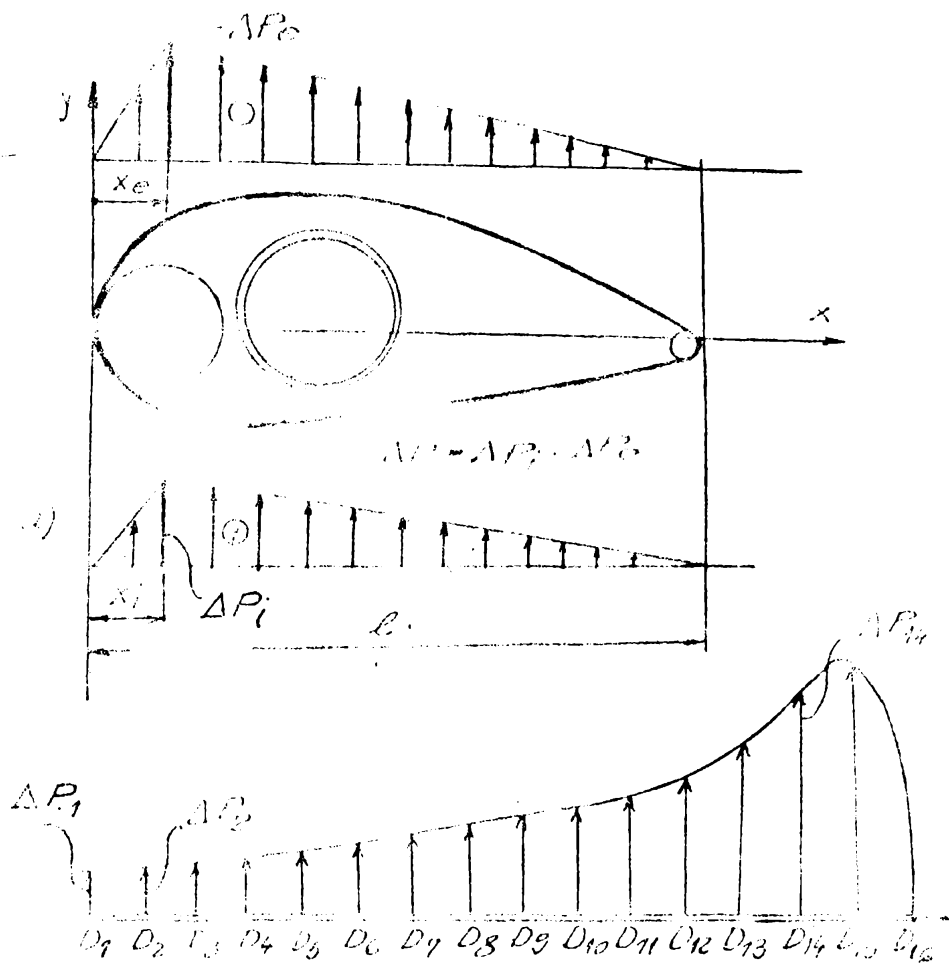


FIG. 2.10

Tabelul 2.2

$P$	$D_1$	$D_2$	$D_3$	$D_4$	$D_5$	$D_6$	$D_7$	$D_8$	$D_9$	$D_{10}$	$D_{11}$	$D_{12}$	$D_{13}$	$D_{14}$	$D_{15}$
0,1	0,0000	0,0000	0,0000	0,0000	0,0000	0,0000	0,0000	0,0000	0,0000	0,0000	0,0000	0,0000	0,0000	0,0000	0,0000
0,2	0,0000	0,0000	0,0000	0,0000	0,0000	0,0000	0,0000	0,0000	0,0000	0,0000	0,0000	0,0000	0,0000	0,0000	0,0000
0,3	0,0000	0,0000	0,0000	0,0000	0,0000	0,0000	0,0000	0,0000	0,0000	0,0000	0,0000	0,0000	0,0000	0,0000	0,0000
0,4	0,0000	0,0000	0,0000	0,0000	0,0000	0,0000	0,0000	0,0000	0,0000	0,0000	0,0000	0,0000	0,0000	0,0000	0,0000
0,5	0,0000	0,0000	0,0000	0,0000	0,0000	0,0000	0,0000	0,0000	0,0000	0,0000	0,0000	0,0000	0,0000	0,0000	0,0000
0,6	0,0000	0,0000	0,0000	0,0000	0,0000	0,0000	0,0000	0,0000	0,0000	0,0000	0,0000	0,0000	0,0000	0,0000	0,0000
0,7	0,0000	0,0000	0,0000	0,0000	0,0000	0,0000	0,0000	0,0000	0,0000	0,0000	0,0000	0,0000	0,0000	0,0000	0,0000
0,8	0,0000	0,0000	0,0000	0,0000	0,0000	0,0000	0,0000	0,0000	0,0000	0,0000	0,0000	0,0000	0,0000	0,0000	0,0000
0,9	0,0000	0,0000	0,0000	0,0000	0,0000	0,0000	0,0000	0,0000	0,0000	0,0000	0,0000	0,0000	0,0000	0,0000	0,0000
1,0	0,0000	0,0000	0,0000	0,0000	0,0000	0,0000	0,0000	0,0000	0,0000	0,0000	0,0000	0,0000	0,0000	0,0000	0,0000

În figura 2.10 este dată diagrama de distribuție a presiunii vântului pe suprafața exterioră a generatorului cu ax orizontal, în funcție de poziția punctului de măsurare (D1 - D15) în funcție de tabelul 2.2. În tabel sunt date valorile maxime ale acestor presiuni. Pentru calculul prac-

la distribuția presiunii dintre două profile consecutive se considera liniară.

### 2.2.2.1. Acțiuni provenite din vânt mediu

Acțiunile provenite din vânt mediu sînt presiunile  $\Delta P_1$  și  $\Delta P_2$  calculate pentru o viteză a vîntului cuprinsă între  $v_{min} = 4 \text{ m/s}$  și  $v_{max} = 32 \text{ m/s}$ . Intre aceste limite, de la caz la caz, paleta va funcționa la diverse valori ale vitezei ( $v$ ).

O anumită valoare a vitezei vîntului ( $v_1$ ), cuprinsă între limitele de mai sus și numită viteză de instalare este considerată ca viteză de funcționare normală și este luată în considerare la calculul valorilor și distribuției presiunilor  $\Delta P_1$  și  $\Delta P_2$ . Valoarea vitezei vîntului ( $v_1$ ) corespunde toareșii agregatului echipat cu o turbină cu ax orizontal, specificată în cadrul datelor energetice ale agregatului. Această viteză a vîntului la nivelul axei rotorului și la cotele de instalare sînt calculate toate caracteristicile energetice ale agregatului.

Această valoare a vitezei vîntului ( $v_1$ ) se stabilește de obicei pe baza unor studii și a caracteristicilor aerodinamice ale amplasamentului.

### 2.2.2.2. Acțiuni provenite din rafale de vînt

Pe baza datelor meteorologice, rafalele pot să apară la orice viteză ale vîntului și ele determină o variație a presiunii vîntului în funcție de înălțime și în timp. fig.2.11  
Fig.2.11.

Valoarea acestor fluctuații nu sînt suficient cunoscute și nu se dispune de date statistice suficiente pentru determinarea intensității (amplitudinii) și variației lor în spațiu. Aceasta se datorează și faptului că datele meteorologice sînt cunoscute la înălțimea de referință ( $h_{ref} = 10\text{m}$ ) deasupra solului și nu la înălțimea de instalare a axei rotorului.

Prin urmare, prinderea în calcul a suprapresiunii aduse de rafale se face în aerodinamica paletelor rotoarelor aerocentralele se adoptă niște coeficienți de majorare cuprinși între (1,21 și 1,74). Măsurători meteorologice în jurul cotei de instalare se fac la axa rotorului pe o suprafață egală cu suprafața metalică la rotor și prelucrarea statistică a acestor măsurători

confirma sau infirma valoarea coeficienților de majorare acceptați. Obstacolele aflate în calea vântului produc efecte secundare cum sînt vârtejurile care la rîndul lor pot genera efecte dinamice în structura tuturor elementelor de rezistență a

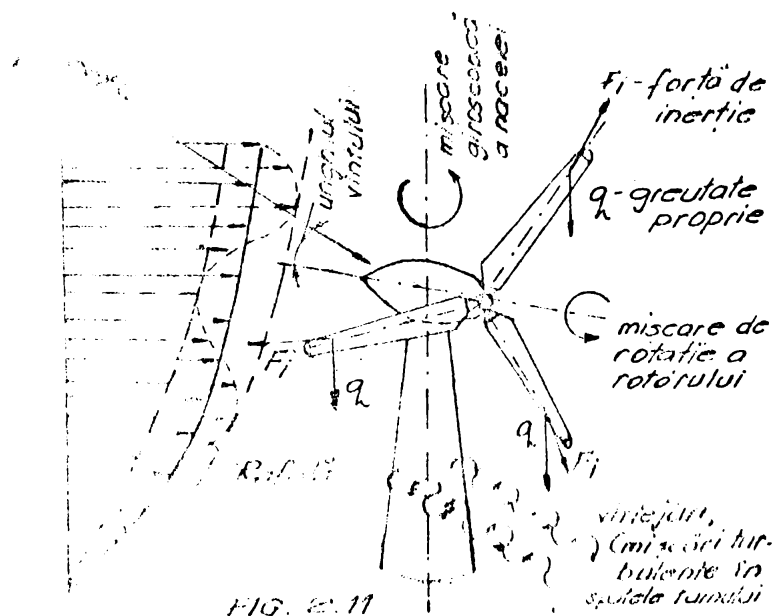


FIG. 2.11

unui stații colie-  
ne și îi poate per-  
riclita buna func-  
ționare. De exam-  
plu, în timpul  
tregerii unei pa-  
lete prin spatele  
turnului de sus-  
ținere a aeroge-  
neratorului care  
este un obstacol,  
prealunca paleta  
ceasta scade brusc,  
după care crește  
din nou brusc la  
ieșirea din spate-

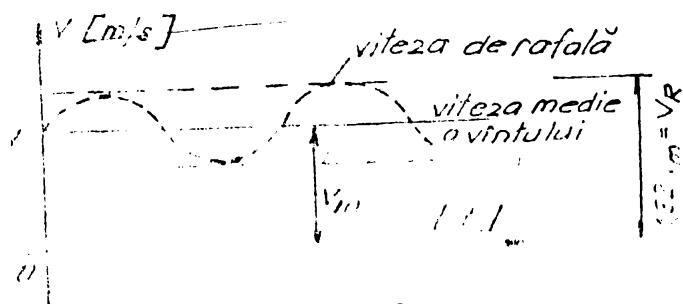


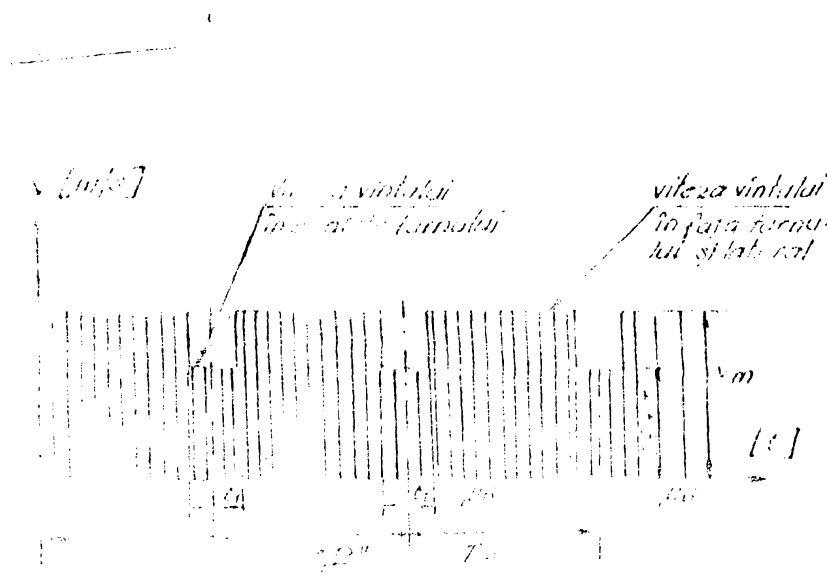
FIG. 2.12

le turnului. Acest tip de în-  
cărcare se transmite asupra  
rotorului eolian ca o forță  
perturbatoare cu variație  
bruscă în timp și care se re-  
petă în un interval de timp  
(T) dat (fig.2.13) corespun-  
zător unei rotații complete.

### 2.2.2.3. Acțiuni provenite din vînt catastrofal

În această categorie intră vînturile a căror viteză depășește viteza de exploatare normală ( 32 m/s) în speță, vînturile maxime cu o frecvență de apariție de 1 (una) la un an, vînturile maxime cu o viteză de apariție de 1(una) la zece ani și cele cu o apariție de 1(una) la 100 ani.

Acete acțiuni se exercită asupra rotorului numai în stare de staționare: 1. paleta în poziția de drapel și 2) acțiune transversală pe paletă în caz de schimbare bruscă a direcției. Această ultimă acțiune este de o durată foarte scurtă. În aceste



situații  
distribuția  
presiunii pe  
paletă se  
consideră u-  
niformă și ap-  
lizată pe to-  
ată an-  
gătura de  
vânt.

2.13

3. Tipurile de surse de energie tehnologică de  
utilizare

Aceste surse sunt utilizate în timpul în care aerocentralul este în funcțiune pentru a genera energia electrică necesară pentru procesele tehnologice de exploatare și întreținere, schimbarea în modul de funcționare, de schimbare a direcției vântului, schimbări de curent electric precum și schimbări de funcționare în timpul...

Schimbările în modul de funcționare cauzează în schimbarea de direcție a paletelor, în felul acesta încălzirile provine din pierderea și oprirea mecanismului de rotație. În timpul schimbării direcției vântului, schimbările de curent electric precum și schimbările de funcționare în timpul... care-l are în momentul respectiv și de unghiul de înclinare în timpul rotației respective. Greutatea... funcționare... de energie... funcții care se suprapun peste profilul... care este o funcție de unghiul de... distribuția presiunilor... funcție de unghiul... este situată...

2. Acțiunea provenită din zăpadă, ploaie, grindină, chiciuri și gheață pe paletă.

Zăpada, ploaia și grindina produc încăzări asupra paletelor de același tip ca și în cazul zăpezii și ploii. Dacă învelitoarea paletelor este din tablă foarte subțire, grindina poate să dăuneze învelitoare care să ducă la strălucirea acesteia și la chiciurii. Particulele de ploaie și grindină asupra paletelor rotorului dăunează învelitoare.

În cazul în care învelitorul paletelor este din tablă sau din materiale orifice și nu este din tablă, gheața pe paletă dăunează la aglomerarea zăpezii și la formarea de gheață care poate să provoacă distrugerea acestora.

Dacă zăpada și ploaia depun pe paletă împiedică paletele să fie în poziția corectă și să funcționeze corect. În cazul în care zăpada și ploaia depun pe paletă și în jurul rotorului se acumulează chiciuri și gheață, acestea pot să provoace distrugerea rotorului.

În cazul în care zăpada și ploaia depun pe paletă și în jurul rotorului se acumulează chiciuri și gheață, acestea pot să provoace distrugerea rotorului. În cazul în care zăpada și ploaia depun pe paletă și în jurul rotorului se acumulează chiciuri și gheață, acestea pot să provoace distrugerea rotorului.

În cazul în care zăpada și ploaia depun pe paletă și în jurul rotorului se acumulează chiciuri și gheață, acestea pot să provoace distrugerea rotorului. În cazul în care zăpada și ploaia depun pe paletă și în jurul rotorului se acumulează chiciuri și gheață, acestea pot să provoace distrugerea rotorului.

În cazul în care zăpada și ploaia depun pe paletă și în jurul rotorului se acumulează chiciuri și gheață, acestea pot să provoace distrugerea rotorului. În cazul în care zăpada și ploaia depun pe paletă și în jurul rotorului se acumulează chiciuri și gheață, acestea pot să provoace distrugerea rotorului.

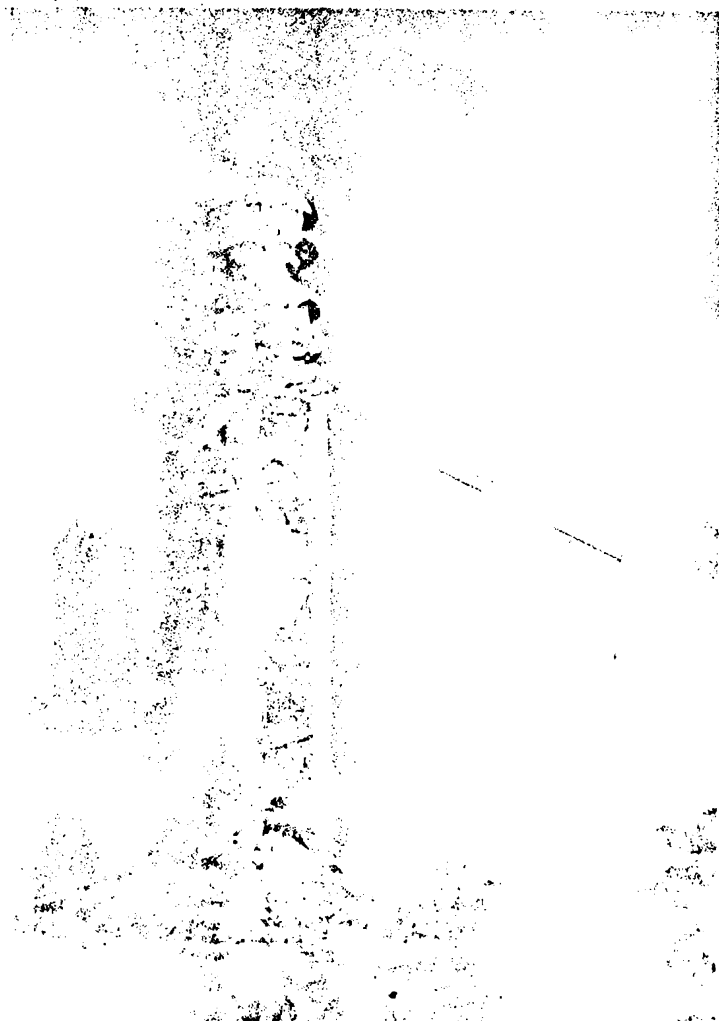


FIG 2.14.

ele față de valorile standard ( $T_{STAS}$  și  $P_{STAS}$ ), poate fi exprimată după relația.

$$\frac{\rho}{\rho_{STAS}} = \frac{T_{STAS}}{T} \cdot \frac{P}{P_{STAS}} \quad (2.24)$$

unde: (P) variază între 720 și 780 mmHg; iar (T) este egal cu  $273^{\circ} + t^{\circ}$  (temperatura atmosferică ( $t^{\circ}$ ) are valori cuprinse între  $-35^{\circ}C$  și  $+40^{\circ}C$ ). Valoarea temperaturii standard este ( $T_{STAS} = 288^{\circ}C$ ), iar a presiunii standard este ( $P_{STAS} = 760mmHg$ ).

### 2.2.6. Acțiuni de avarie.

Acțiunile de avarie apar asupra centralelor aeroelectrice în condiții cu totul excepționale și nu intră în categoria acțiunilor de serviciu sau de exploatare. Aceste ac-

Acțiunea de impact a grindinii se ia pentru învelișul exterior al paletei, considerând gheața ca fiind sferică cu diametrul de 20 mm.

### 2.2.5. Acțiuni provenite din temperatură și presiune.

Acțiunea temperaturii asupra paletei are efect numai prin modificarea densității aerului respectiv a presiunii vântului. Variația densității ( $\rho$ ) față de densitatea standard ( $\rho_{STAS}$ ), când temperatura (T) și presiunea atmosferică (P) variază și



șuni sînt cauzate fie de explozie, fie de impactul sau conexiunea cu avioane, păsări sau alte obiecte și vehicule zburătoare. De asemenea acțiunile de avarie pot să apară datorită unor surpări subterane sau a unor erori operaționale foarte mari.

Dacă s-ar ține seama de astfel de acțiuni la proiectarea paletelor pentru aerogeneratoare greutatea pe unitatea de produs se crește foarte mult. În proiectare se fac verificări la coliziune cu păsări de circa 4 kg, dar în această situație se admite un anumit grad de avarie a paletelor, după care rotorul intră în reparație capitală.

### 2.3. Grupări de acțiuni și ipoteze de încărcare

La gruparea acțiunilor și stabilirea ipotezelor de încărcare pe paletele aerogeneratorului cu ax orizontal se pornește de la cazurile de încărcare din punct de vedere aerodinamic care sînt:

A. Pentru paleta TIP TVO-30-7-3 a rotorului MD<sub>2</sub>/300 kW - Semeinic. ---

a) - funcționare normală ( $v_i = 12,3$  m/s;  $n = 50$  rot/min;  $\Omega_{nacelă} = 10,5 \cdot 10^{-3}$  s<sup>-1</sup>) Distribuția de presiuni în lungul corzilor și al razei

$\Delta P_{calcul} = 1,21 \Delta P = 1,21 (C_{PIN} - C_{PEX}) \left[ \frac{N}{m^2} \right]$  (2.25) este dată în capitolul 4 și în fig.2.10 și tabelul 2.2 pentru fiecare secțiune transversală cunoscută din lungul paletelor ( $D_1 + D_{16}$ ). În relația (2.25)  $1,21 C_{PIN} = \Delta P_i$  iar

$1,21 C_{PEX} = \Delta P_e$  (vezi relația (2.23)). Valorile  $C_{PIN}$  și  $C_{PEX}$  sînt furnizate de aerodinamician.

b) Funcționare excepțională cu supraturare din rafală (puterea devine  $1,7 P_{calcul}$ ); turația  $n = 60$  rot/min și viteza de orientare:  $\Omega_{nacelă} = 10,5 \cdot 10^{-3}$  s<sup>-1</sup>. Distribuția presiunilor se ia ca și în cazul (a) de încărcare; valorile fiind calculate după relația:

$$\Delta P = 1,74 (C_{PIN} - C_{PEX}) \left[ \frac{N}{m^2} \right] \quad (2.26)$$

c) vînt transversal pe paletă, rotorul oprit  $n = 0$  rot/min, viteza de orientare în vînt  $\Omega_{nacelă} = 10,5 \cdot 10^{-3}$  s<sup>-1</sup>. Distribuția presiunii se consideră uniform repartizată pe întreaga suprafață a paletelor și are valoarea:

$$\Delta P = 1470 \left[ \frac{N}{m^2} \right] \quad (2.27)$$

d) paletă în drapel (fig.2.15) (vânt catastrofal  $v=80$  m/s) rotor oprit  $n=0$  și  $\Omega_{nacelă} = 0$ . Distribuția de presiuni se consideră uniform repartizată pe întreaga suprafață a paletii și are valoarea:

$$\Delta P = 3840 \left[ \frac{N}{m^2} \right] \quad (2.28)$$

e) Verificarea paletii la o forță centrifugă corespunzătoare lui  $\omega = 2\omega_{nom}$  ( $n = 100$  rot/min) și forțe aerodinamice nule.

B. Pentru paleta TIP TVO - 10 - 7 - 3.0/A a rotorului AAE10 - L1/30 [kW] - Timișoara

a) funcționare normală ( $v_1 = 9,57$  [m/s];  $n = 128$  rot/min;  $\Omega_{nacelă} = 10,5 \cdot 10^{-3} \cdot s^{-1}$ )

Distribuția presiunii în lungul corzii și al razei.

$$\Delta P_{calc.} = 1,21 \Delta P = 1,21 (C_{PIN} - C_{PEX}) \left[ \frac{N}{m^2} \right] \quad (2.29)$$

Aceste valori sînt date și în fig.2.7, fig.2.8, fig.2.9, respectiv tabelul 2.1 și în capitolul 5 dar pentru paleta tip SK 1 a rotorului AAE10 - L1/30 kW - Timișoara.

b) funcționare excepțională cu supraturare din rafală (puterea devine 1,7  $P_{calcul}$ ); turația  $n = 153,6$  [rot/min], iar viteza unghiulară de orientare  $\Omega_{nacelă} = 10,5 \cdot 10^{-3} [s^{-1}]$ . Distribuția presiunilor se ia ca în cazul (a) de funcționare, valorile fiind calculate cu relația:

$$\Delta P = 1,74 (C_{PIN} - C_{PEX}) \left[ \frac{N}{m^2} \right] \quad (2.30)$$

c) vînt transversal pe paletă, rotorul oprit  $n=0$  rot/min, viteza de orientare  $\Omega_{nacelă} = 10,5 \cdot 10^{-3} [s^{-1}]$ . Distribuția se va lua uniform repartizată pe întreaga suprafață a paletii și are valoarea:

$$\Delta P = 1000 \left[ \frac{N}{m^2} \right] \quad (2.31)$$

(vezi și fig.2.7 + fig.2.9 și tabelul 2.1 pentru paleta SK1)

d) paletă în drapel (vînt catastrofal  $v=40$  [m/s]; rotor oprit  $n=0$  rot/min și viteza de orientare în vînt

$\Omega_{nacelă} = 10,5 \cdot 10^{-3} [s^{-1}]$ . Distribuția de presiuni se va

considera uniform repartizată pe întreaga suprafață a paletelor și are valoarea

$$\Delta P = 1536 \left[ \frac{N}{m^2} \right] \quad (2.32)$$

respectiv (vânt centenar  $v = 63$  [m/s] - pentru paleta SK 1)

$$\Delta P = 4000 \left[ \frac{N}{m^2} \right] \quad (2.33)$$

e) Verificarea paletelor la o forță centrifugă corespunzătoare lui  $\omega = 2 \omega_{nom}$  ( $n = 256$  [rot/min]) și forțe aerodinamice nule.

Cazurile de încărcare aerodinamice au stat la baza întocmirii ipotezelor de încărcare pentru verificările de rezistență a paletelor. Aceste ipoteze de încărcare sînt:

IPOTEZA I FUNDAMENTALA, care cuprinde următoarele acțiuni:

1) acțiuni provenite din masa proprie din care rezultă:

- acțiuni gravitaționale ;
- acțiuni centrifugale ;
- acțiuni giroscopice ;

2) acțiuni provenite din vînt ( încărcare aerodinamică cazul (a) adică:

a) - funcționare normală ( $v_1 = 12,3$  [m/s];

$n = 50$  [rot/min];  $\Omega_{nacelă} = 10,5 \cdot 10^{-3}$  [s<sup>-1</sup>];

$\Delta P_{calc} = 1,21 \Delta P$  vezi relația (2.25) sau (2.29);

IPOTEZA II, care cuprinde următoarele acțiuni:

1) acțiuni provenite din masa proprie din care rezultă:

- acțiuni gravitaționale ;
- acțiuni centrifugale ;
- acțiuni giroscopice ;

2) acțiuni provenite din vînt ( încărcare aerodinamică cazul (d) sau cazul (e) supraturare  $n = 100$  [rot/min] );

adică: d) paletă în drapel vînt catastrofal dar cu viteza ( $v_{max} \leq v_{max \text{ anual}}$ ) rotor oprit ( $n = 0$ ) și ( $\Omega_{nacelă} = 0$ );

sau:

e) Verificarea peletei la o forță centrifugă corespunzătoare lui  $\omega = 2\omega_{nom}$  ( $n = 100$  rot/min) și forțe aerodinamice nule;

3) acțiuni provenite din zăpadă, ploaie, grindină, chiciură și ghiață pe paletă, luate separat. Aceste ultime acțiuni se suprapun de la caz la caz peste acțiunea (1) și (2) (cazul (d) de încărcare aerodinamică se ia la viteza  $v_{max} \leq v_{max\ exp}$ ).

IPOTEZA III, în care se grupează următoarele acțiuni

1) acțiuni provenite din **masa** proprie din care rezultă:

- acțiuni gravitaționale;
- acțiuni centrifugale;
- acțiuni giroscopice;

2) acțiuni provenite din rafale de vânt (încărcarea aerodinamică cazul (b) sau cazul (c) sau cazul (d) cu  $v_{max} \leq v_{max} / 10$  ani adică: b) funcționarea excepțională cu supraturare din rafală (puterea devine  $1,7 P_{calcul}$ ) turaj  $n = 60$  rot/min și viteza de orientare ( $\Omega_{nacelă} = 10,6 \cdot 10^{-3} s^{-1}$ );

sau:

c) vânt transversal pe paletă, rotorul oprit ( $n=0$ ) rot/min și viteza de orientare în vânt ( $\Omega_{nacelă} = 10,5 \cdot 10^{-3} s^{-1}$ );

sau:

d) paletă în drapel (vânt catastrofal cu  $v_{max} \leq v_{max}$  la 10 ani) rotor oprit ( $n=0$ ) și ( $\Omega_{nacelă} = 0$ );

3) acțiuni provenite din zăpadă, ploaie, grindină, chiciură și ghiață pe paletă luate separat. Aceste ultime acțiuni se suprapun de la caz la caz numai peste acțiunea (1) și (2) cazul (c) sau cazul (d) de încărcare aerodinamică.

Tot în cazul IPOTEZEI III poate să fie grupate următoarele acțiuni:

1) acțiuni provenite din **masa** proprie din care rezultă:

- acțiuni gravitaționale;
- acțiuni centrifugale;
- acțiuni giroscopice;

2) acțiuni provenite din vânt (încărcarea aerodinamică cazul (a) sau (b));

adică: a) funcționare normală ( $v_i = 12,3$  m/s);

$$(n = 50 \text{ rot/min}); (\Omega_{\text{nacela}} = 10,5 \cdot 10^{-3} \text{ s}^{-1});$$

$$\Delta P_{\text{calc}} = 1,21 \text{ P};$$

sau: b) funcționare excepțională cu supraturare din rafală  
( $n = 60$  rot/min și  $\Omega_{\text{nacela}} = 10,5 \cdot 10^{-3} \text{ s}^{-1}$ )

3) Acțiuni provenite din procese tehnologice:

- frinare bruscă etc. luate separat.

IPOTEZA IV-a sau ipoteza de rupere care grupează următoarele acțiuni:

1)- acțiuni provenite din **masa** proprie din care rezultă:

- acțiuni gravitaționale;
- acțiuni centrifugale;
- acțiuni giroscopice;

2) acțiuni provenite din vânt sau rafale de vânt ( încărcarea aerodinamică cazul (d) sau cazul (c)).

adică: c) vânt transversal pe paletă rotorul oprit ( $n = 0$  rot/min), viteza de orientare în vânt ( $\Omega_{\text{nacela}} = 10,5 \cdot 10^{-3} \text{ s}^{-1}$ ) și viteza vântului se ia ( $v_{\text{max}} \leq v_{\text{max}}$  la 100 ani);

sau: d) paletă în drapel vânt catastrofal cu viteza ( $v_{\text{max}} \leq v_{\text{max}}$  la 100 ani) rotor oprit ( $n = 0$ ) și ( $\Omega_{\text{nacela}} = 0$ );

3) acțiuni provenite din zăpadă, ploaie, grindină, chiciurcă și zăbălă pe paletă luate separat; aceste ultime acțiuni de la caz la caz se suprapun peste acțiunile (1) și (2).

Tot în cadrul IPOTEZEI IV pot fi grupate următoarele acțiuni:

1) acțiuni provenite din **masa** proprie din care rezultă:

- acțiuni gravitaționale;
- acțiuni centrifugale;
- acțiuni giroscopice;

2) acțiuni provenite din vânt sau rafale de vânt ( încărcarea aerodinamică cazul (d) sau cazul (c));

adică: c) vânt transversal pe paletă rotorul oprit ( $n = 0$  rot/min), viteza de orientare în vânt ( $\Omega_{\text{nacela}} = 10,5 \cdot 10^{-3} \text{ s}^{-1}$ ) și viteza vântului se ia ( $v_{\text{max}} \leq v_{\text{max}}$  la 100 ani);

sau: d) paletă în drapel vînt catastrofal cu viteza  
( $v_{\max} \leq v_{\max}$  la 100 ani) rotor oprit ( $n=0$ ) și ( $\Omega_{\text{nacelă}}=0$ );

3) acțiuni de avarie (coleziune cu păsări de circa 4 kg).

#### 2.4. Materiale și rezistențe de calcul admise

Avînd în vedere caracterul alternant simetric al greutății proprii și caracterul pulsator al acțiunii vîntului atît în acțiunea sa cu caracter permanent cît și în acțiunea sa catastrofală, rezultă că majoritatea încărcărilor care solicită paleta au caracter dinamic. Deci paleta va fi supusă în exploatare la oboseală. Plecînd de la premisele de mai sus și ținînd seama de precizările lucrărilor [51] STAS R 8542-70 și [42] pentru elementele paletelor s-au ales următoarele calități de materiale:

- Table din oțel OL 52-4 Kf - STAS 437-73; STAS 500/2-80
  - Tevi din oțel fără sudură OLT 45 -STAS 8183-68; STAS 404/1,2-71 și STAS 2881 - 74
  - Table din oțel OL 37 - 3K -STAS 437-73; STAS 500/2-76
  - Table din oțel pentru ambutizare STAS 9485-80-A<sub>3</sub>-OL 37-2,3K
  - Table subțiri din oțel laminate la rece STAS 9624-80- OL37-3K
- Elementele paletii aerogeneratorului MD<sub>2</sub>/300 kw s-a stabilit să se execute din aceste materiale.

- Flanșa de prindere la butucul rotorului OL 52-4 Kf
  - Axul ( tronsonul I) oțel OL 52-4 kf
  - Axul (tronsonul II ÷ IV) oțel OL 37-2K
  - Diafragmele și învelitoarea din oțel OL 37-3,
- Elementele paletii aerogeneratorului AAETO-L<sub>1</sub>/30 kw s-au executat din materialele de mai sus după cum urmează:

- Flanșa de prindere la butucul rotorului OL 52-4kf
- Axul din tevi, în trepte, OLT 45
- Diafragmele, lonjeronii și lisele din OL 37-2K
- Învelitoarea din tablă subțire OL 37-2K

Ca materiale de adaos s-au folosit sîrmă de oțel pentru sudare S 12 Mn 2 Si -  $\emptyset$  0,8 și  $\emptyset$  1,0 și electrozi E50.22.13/02 în conformitate cu STAS 1126/80 și STAS 7240 -60.



Pentru verificarea elementelor paletelor aerogeneratoarelor cu ax orizontal se folosesc normele interne și STAS 1911/75 unde valorile rezistențelor admisibile sînt funcție de marca oțelului, geometria elementului, natura eforturilor unitare ( $\sigma$ ) sau ( $\tau$ ), și valoarea coeficientului de asimetrie al ciclului exprimată prin raportul:

$$R(\sigma) = \frac{\sigma_{\min}}{\sigma_{\max}} \quad \text{sau} \quad R(\tau) = \frac{\tau_{\min}}{\tau_{\max}} \quad (2.34 + 2.35)$$

unde ( $\sigma_{\min}$ ) și ( $\tau_{\min}$ ), respectiv ( $\sigma_{\max}$ ) și ( $\tau_{\max}$ ) reprezintă eforturile unitare minime și respectiv maxime, în valoare absolută din punctul în care se face verificarea.

- Rezistențele admise se iau după cum urmează:

pentru ipoteza I ( $\sigma_a = 1600 \text{ daN/cm}^2$  iar  $\tau_a = 860 \text{ daN/cm}^2$ )

pentru ipoteza II ( $\sigma_a = 1800 \text{ daN/cm}^2$  (2000 daN/cm<sup>2</sup>) iar

$$\tau_a = 1080 \text{ daN/cm}^2 \text{ (1200 daN/cm}^2\text{)}$$

pentru ipoteza III ( $\sigma_a = 2100 \text{ daN/cm}^2$  (2300 daN/cm<sup>2</sup>) iar

$$\tau_a = 1250 \text{ daN/cm}^2 \text{ (1380 daN/cm}^2\text{)}$$

pentru ipoteza IV ( $\sigma_a = 2400 \text{ daN/cm}^2$  (<3700 daN/cm<sup>2</sup>) iar

$$\tau_a = 1440 \text{ daN/cm}^2 \text{ (<2220 daN/cm}^2\text{)}$$

Obs. Verificarea la oboseală se face numai pentru încărcările din ipoteza întâia FUNDAMENTALĂ, ipoteza II și a III-a de exploatare normală.

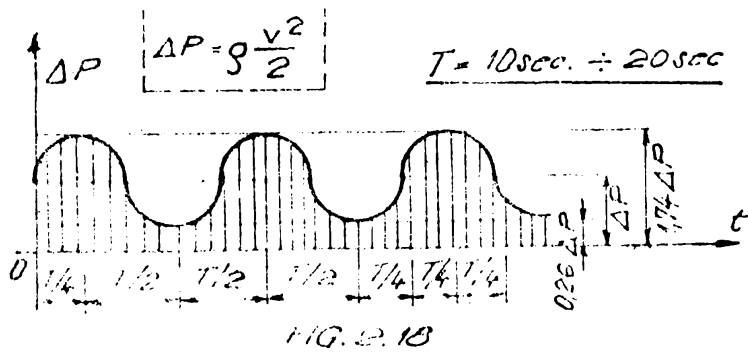
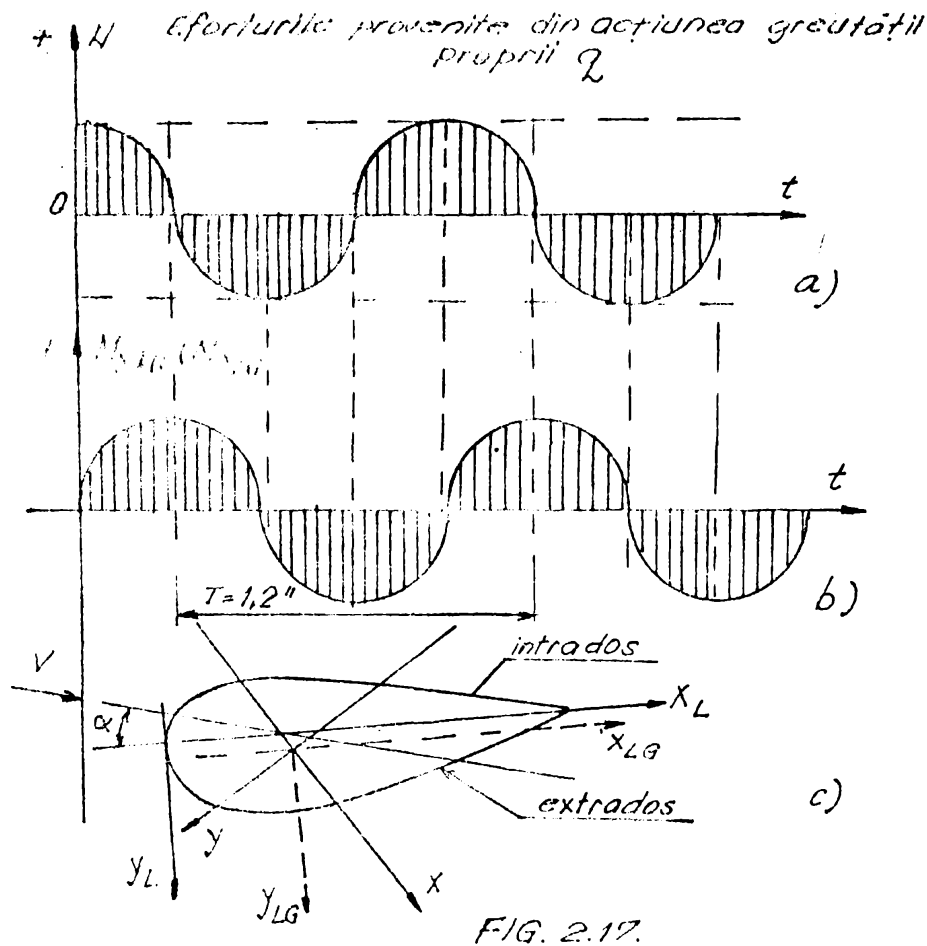
### 2.5. Concluzii

Din analiza fiecărui tip de încărcare luată în discuție se desprind următoarele concluzii:

1. Încărcarea provenită din mișcarea de rotație caracterizată prin forța de inerție  $F_i$  și momentul de inerție  $M_F$  pentru o perioadă de funcționare normală este constantă Fig.2.15. Iritivă însă ca încărcare pe toată durata vieții agregatului ca este o încărcare pulsatorie.

2. Încărcarea provenită din greutatea proprie a paletelor caracterizată prin forța axială  $N$  și momentul încovoitor  $M$  este o încărcare alternant simetrică cu perioada  $60/n$  fig.2.16 și fig.2.17.



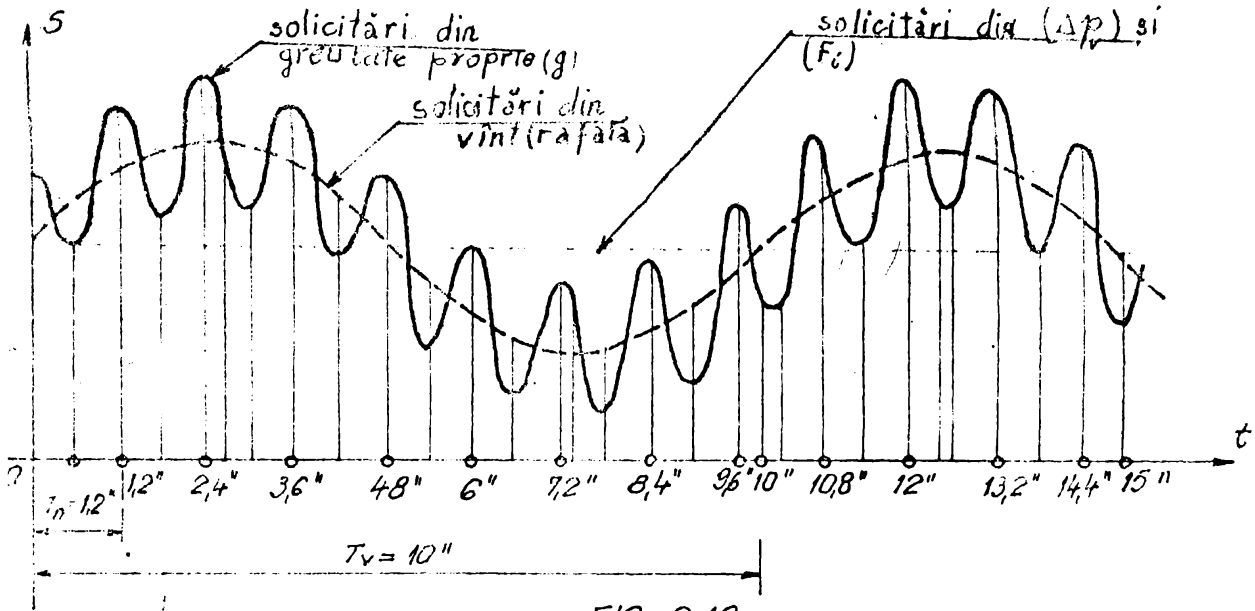


ciilor și care suferă de o scădere a energiei cinetice și a vitezei de curgere. Dacă este cazul și aprobat de normă oficială pentru celent.

9. În stabilirea solicitărilor din greutatea proprie și a celor care se stabilesc după este de incidență algebră a factor diferitelor

probleme, trebuie să se țină seama de faptul că, în cazul în care acțiunile nu sunt simultane, trebuie să se țină seama de faptul că ele nu pot fi aplicate simultan în același timp. Normele de proiectare trebuie să țină seama de acest fapt și să stabilească condițiile de aplicare a acestor acțiuni. Pe lângă acestea, trebuie să se țină seama de faptul că, în cazul în care acțiunile sunt simultane, trebuie să se țină seama de faptul că ele nu pot fi aplicate simultan în același timp. Normele de proiectare trebuie să țină seama de acest fapt și să stabilească condițiile de aplicare a acestor acțiuni.

electrică, etc. Pe lângă acestea, trebuie să se țină seama de faptul că, în cazul în care acțiunile sunt simultane, trebuie să se țină seama de faptul că ele nu pot fi aplicate simultan în același timp. Normele de proiectare trebuie să țină seama de acest fapt și să stabilească condițiile de aplicare a acestor acțiuni.



viteze ale vântului. În felul acesta suprapunerile de efecte din combinațiile posibile ar fi cele reale și ar conduce la o verificare corectă a stării de eforturi și deformații a paletelor.

10. Verificarea paletelor la acțiunile cu caracter alternativ sau pulsatoriu trebuie să țină seama de efectul de oboseală al materialului pentru toate ipotezele considerate ca ipoteze de bază în exploatare și acestea sînt ipotezele I, II și III.

Rezistențele admise la oboseală nu s-au precizat în prezentul capitol deoarece ele depind de modul de realizare și alte caracteristici ale elementului care este verificat.

11. Calculul distribuției de presiune din vînt, este necesar să se facă în funcție de diversele valori ale unghiului de incidență, corespunzător funcționării rotorului, în vederea găsirii solicitărilor maxime și minime pentru fiecare secțiune transversală a paletelor.

### CAPITOLUL 3

#### ALCAȚUIREA PALETELOR SPECIALE PENTRU AEROGENERATOARE CU AX ORIZONTAL

##### 3.1. PRINCIPII GENERALE DE ALCAȚUIRE

La alcătuirea paletelor pentru aerogeneratoare cu ax orizontal se pleacă de la geometria paletii stabilită din condiții aeroenergetice și care este prezentată în fig.2.1 și fig.2.2. Într-o structură de rezistență a paletelor trebuie să se încadreze în dimensiunile de gabarit prevăzute de aerodinamică la stabilirea suprafeței aerodinamice a paletii. De aceea structura paletii trebuie să satisfacă pe lângă condițiile de rezistență și condițiile aerodinamice (asigurarea unei suprafețe aerodinamice fine care să ducă la pierderi minime).

În același timp paleta trebuie să asigure o axă de rotație a profilelor numită axa paletii și față de care centrul de greutate al paletii trebuie să se situeze în intervalul (0+10 mm) spre bordul de atac.

Greutatea unei palete trebuie să se înscrie în condițiile cerute de tehnolog: greutatea paletii cu  $D=10$  m trebuie să fie  $\leq 200$  kg, iar greutatea paletii cu  $D=30$  m trebuie să fie  $\leq 400$  kg. Abaterile relative ale celor trei palete care se montează pe butuc trebuie să se încadreze în limitele  $\pm 0,025$  kg ceea ce impune unele condiții tehnice speciale prin care să se asigure în final aceste toleranțe.

Montarea paletelor în butucul rotorului se realizează prin intermediul unor prezoane. Paletele, au o înclinație  $(\varphi = 4^\circ)$  în sensul aval față de planul perpendicular pe axa rotorului, ceea ce are implicații asupra momentului forțelor centrifuge, forțele aerodinamice modificându-se neesențial.

La stabilirea tehnologiei de execuție a paletii și la alegerea soluțiilor constructive este necesar să se țină seama de protecția anticorozivă a tuturor suprafețelor atingerii celor accesibile din exterior după asamblarea paletii cât și a celor inaccesibile.

În vederea degivrării paletelor pe timp de iarnă se cere asigurarea unui spațiu de circulație a aerului cald de-a lungul zonei bordului de atac.

Pe lângă condițiile de rezistență și cele de natură func-

țională s-au mai avut în vedere și condițiile tehnice de realizare a construcției, în varianta sudată, de către o uzină de construcții metalice.

3.2. ALCĂTUIREA PALETELOR PENTRU AEROCHEMISTOARE DE TRECĂRI  
MICA CU DIAMETRUL ROTĂRII  $D = 10$  m/30 Kw.

Plecând de la condițiile generale prezentate în paragraful 3.1, s-a ales pentru paletă un ax format din tronsoane de țevă, telescopice, sudate cap la cap pe piese speciale prelucrate, care să asigure coaxialitatea tuturor tronsoanelor de țevă. Axul astfel realizat a fost verificat, deoarece el reprezintă axul de rotație a paletelor ( axa de rotație a diafragmelor) și de el depinde corectitudinea realizării paletelor. Pe acest ax se fixează flanșă care trebuie să fie situată într-un plan perpendicular. Realizarea îmbinării se face cu ajutorul unor dispozitive, special concepute, care asigură cerințele menționate.

Pentru prima paletă proiectată în cadrul Catedrei de construcții metalice a Facultății de construcții din Timișoara și realizată la Uzina de vagoane Arad axul a fost realizat din 7 (șapte) tronsoane dintre care primele 6 (șase) tronsoane sînt formate din țevă iar ultimul tronson este format dintr-un cheson realizat din țevă dreptunghiulară cu pereți subțiri. Dimensiunile acestor tronsoane sînt prezentate în tabelul 3.1.

Tabelul 3.1

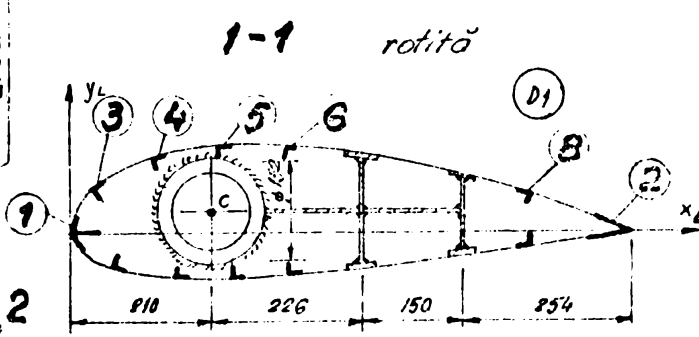
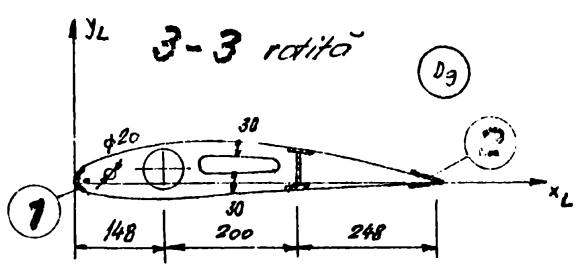
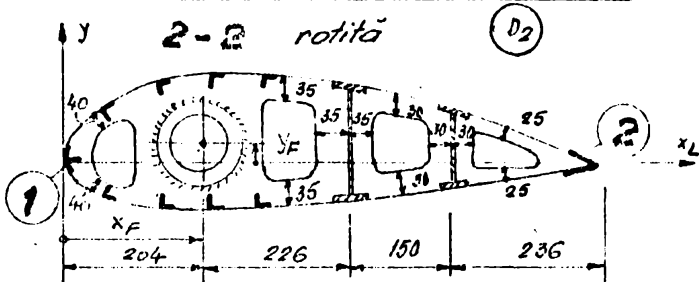
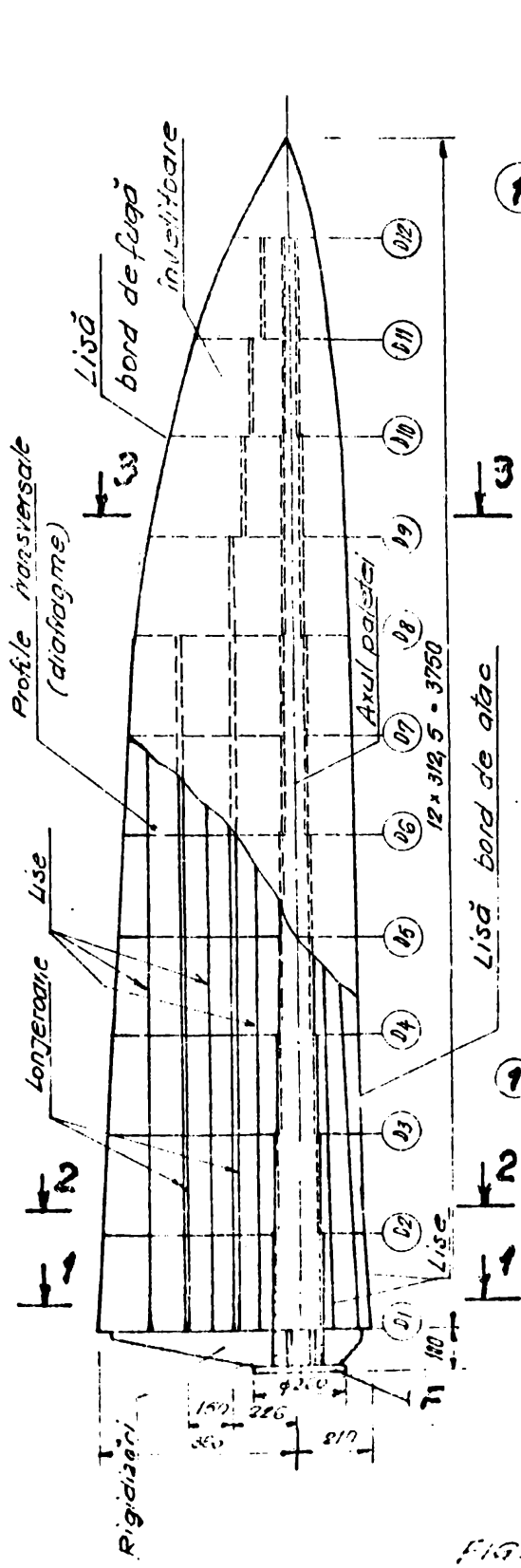
Tronsonul	I	II	III	IV
Dimensiunea tronsonului	țevă 152 x 10 -397,5	țevă 133x8-299,5	țevă 114x6-300,5	țevă 100x4-616
Tronsonul	V	VI	VII	
Dimensiunea tronsonului	țevă 76x4-616	țevă 60x3,5-616	țevă drept 40x25x2-621	

Trecerea de la un tronson la altul s-au îmbinarea tronsonurilor între ele se face imediat în spatele diafragmelor ( $D_2$ ) ( $D_3$ ) ( $D_4$ ) ( $D_5$ ) ( $D_6$ ) și ( $D_{10}$ ) ( vezi fig.3.1).

După realizarea axului s-a trecut la confecționarea diafragmelor din tablă. Ele au fost tăiate după conturul de aerodinamic stabilit din condiții aerodinamice și prezentat tabelar în figura 2.1 (fig.2.1) exemplificat pentru diafragma ( $D_1$ ). În diafragma astfel tăiată după conturul aerodinamic se decupează o gaură circulară egală cu diametrul axului paletelor, pe care acestea urmează să fie montate și goluri pentru micșorarea greutateii vezi fig. 3.1.



Diapragma	D <sub>1</sub>	D <sub>2</sub>	D <sub>3</sub>	D <sub>4</sub>	D <sub>5</sub>	D <sub>6</sub>	D <sub>7</sub>	D <sub>8</sub>	D <sub>9</sub>	D <sub>10</sub>	D <sub>11</sub>	D <sub>12</sub>	D <sub>13</sub>
t [mm]	10	8	6	6	5	5	4	4	4	4	4	4	-
L [mm]	640	817	793	770	746	723	687	663	596	540	410	244	0
X <sub>F</sub> [mm]	210	204	193,3	182,5	186,65	180,8	172	166	149	135	102,5	61	0
Y <sub>F</sub> [mm]	29,5	28,6	27,6	26,8	25,9	25	23,5	23	22,6	18,8	14,5	8,5	0



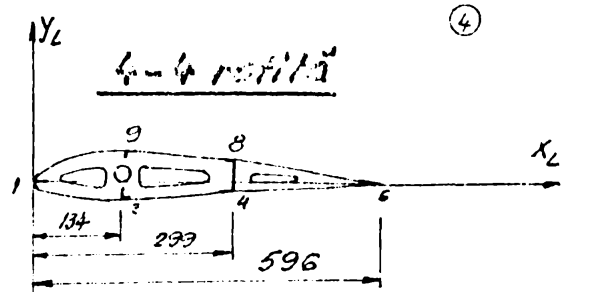
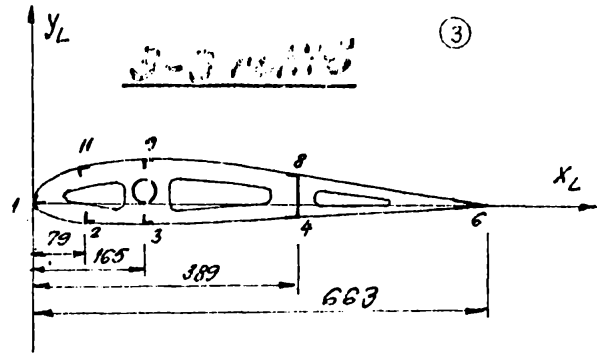
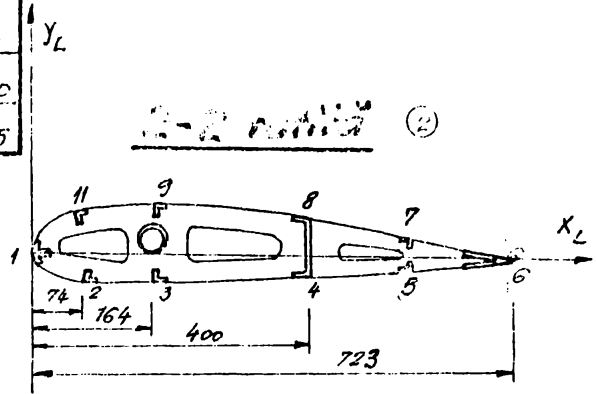
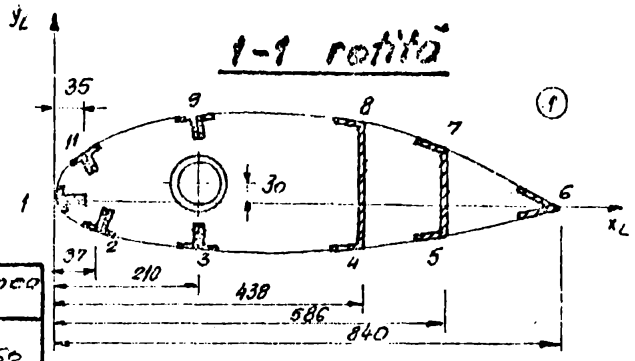
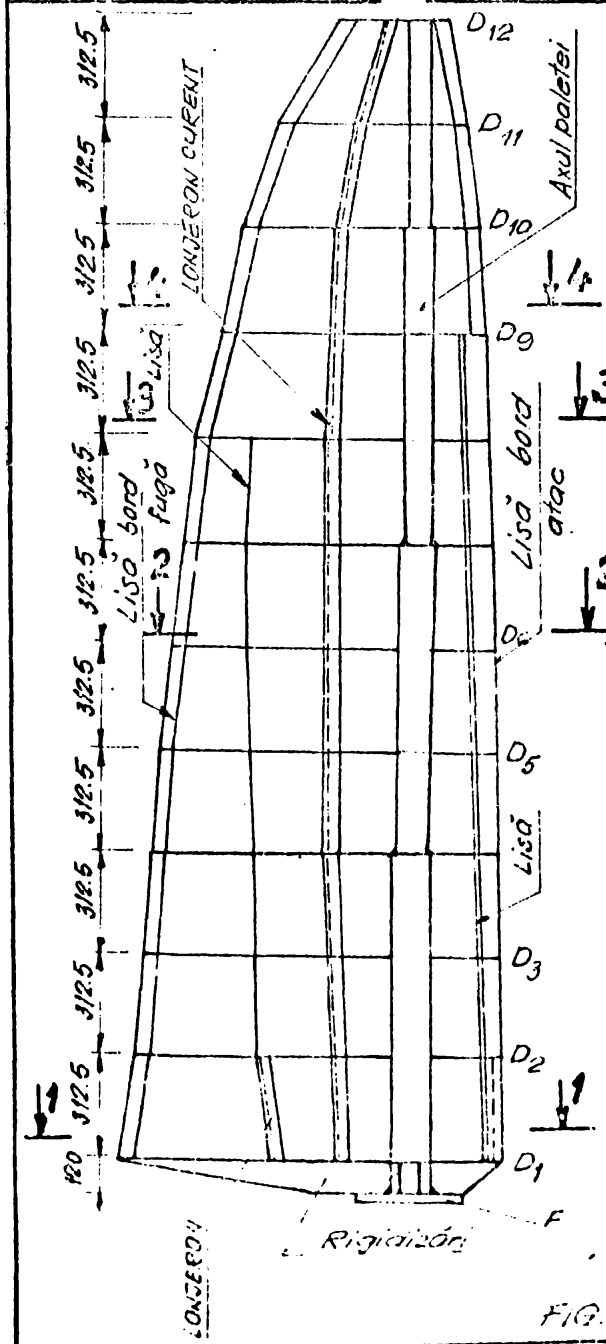
① - ⑱: lise curente cu secțiunea transversală L2x10x20 realizate din tablă.

FIG. 3.1.

D	D <sub>1</sub>	D <sub>2</sub>	D <sub>3</sub>	D <sub>4</sub>	D <sub>5</sub>	D <sub>6</sub>	D <sub>7</sub>	D <sub>8</sub>
[mm]	5	5	5	5	5	5	4	4
X <sub>F</sub> [mm]	210	204	199,3	192,5	186,7	180,7	172	166
Y <sub>F</sub> [mm]	29,5	28,6	27,6	26,8	25,9	25	23,5	23
L [mm]	840	817	793	770	746	723	687	663

D	D <sub>9</sub>	D <sub>10</sub>	D <sub>11</sub>	D <sub>12</sub>
t [mm]	4	4	3	3
X <sub>F</sub> [mm]	149	135	102,5	61
Y <sub>F</sub> [mm]	22,6	18,8	14,5	8,5
L [mm]	556	540	410	244

Nr. crt.	Dimensiunea axului
I.	Teava 75x4-1060
II.	Teava 60x3,5-940
III.	Teava 42x3,5-840
IV.	Teava 28x4,5-825



Obs:  
 Lisea curente au sectiunea transversala formata din profile inoate Lx10x20 realizate din tabla.

FIG. 3.2

3.1. Grosimile diafragmelor, poziția axului paletelor și lungimea diafragmelor ( $L$ ) în sistemul local  $X_L O Y_L$  sînt prezentate tot în fig.3.1.

Diafragmele tăiate și decupate se montează pe axul paletelor începînd de la flancă în ordinea ( $D_1$ ) pînă la ( $D_{12}$ ).

Apoi axul este fixat pe un dispozitiv special situat pe plan orizontal față de care axa teoretică a paletelor (axa paletelor) sau axul teoretic al șnurului este perfect orizontal. Distanța de la axul teoretic al paletelor la planul orizontal ( $A_0$ ) este aceeași, pe toată lungimea lui. După ce diafragmele au fost agățate pe ax la distanțele precizate în fig.3.1. se rotește în jurul de orizontale, care trece prin centrul de rotație situat pe axul teoretic, cu unghiul ( $\beta_0^0$ ) vezi (fig.2.1) și se sudează prin sudură de axul paletelor.

Operația următoare în realizarea paletelor este construirea și montarea lonjeroanelor. Aceste elemente au fost realizate pe diafragma din tablă sudată sub formă de dublu T (I) cu UH și sînt de diferite după forma aerodinamică a paletelor sau din tablă înclinată la rece sub formă de (II). Lonjeroanele au fost agățate pe axul paletelor și bordul de fugă vezi (fig.3.1). Prin urmare, lonjeroanele de lângă axul paletelor se realizează de la diafragma ( $D_1$ ) și terminînd cu diafragma ( $D_{12}$ ). Ele sînt agățate pe conturul de diafragma cu sudură de colț. În zona de vîrf a paletelor începînd cu ( $D_9$ ) și pînă la ( $D_{12}$ ) axa lonjeroanelor se alinierează cu axul paletelor ca în fig.3.1. Lonjeroanele al doilea se realizează între diafragma ( $D_1$ ) și ( $D_8$ ) și se prinde de diafragma prin sudură de colț fig.3.1.

După executarea și sudarea lonjeroanelor se trece la montarea liselelor. Liselele se împart în două categorii și anume: lisele de la bordul de atac și bordul de fugă și lisele carente. Lisele de la bordul de atac s-a executat din tablă sudată cu secțiunea transversală T cu talpa îndoită după forma aerodinamică a secțiunilor transversale (a diafragmelor). Ea se sudează de diafragma paletelor prin sudură de colț pe tot conturul.

Lisele de la bordul de fugă s-a executat din tablă cu secțiunea transversală sub formă de V- și ea se sudează de diafragma paletelor prin sudură de colț pe tot conturul.

Lisele bordului de atac și a bordului de fugă formează la suprafața lor curbe care definesc bordul de atac și respectiv bordul de fugă al suprafeței aerodinamice a paletelor.

Lisale curente sînt executate din tablă îndoită la rece cu secțiunea transversală L și  $\overline{\Gamma}$ . Acestea se sudează de diafragme prin sudură de colț pe toată suprafața.

Între flanga de prindere F a paletelor, la butucul rotorului și diafragma ( $D_1$ ) sînt prevăzute rigidizări dispuse radial cu scopul transmiterii eforturilor din corpul paletelor către flangă.

Pentru scheletul de rezistență astfel realizat se apasă ca în Fig. 3.1 care se sudează continuu de-a lungul diafracelor ( $D_1 + D_{11}$ ) și de-a lungul bordului de atac.

De la bordul de atac, lisale curente și lonjeroni, în vederea alinierei se sudează prin puncte de sudură.

În urma cercetărilor experimentale și a studiilor teoretice, structura de rezistență a paletelor s-a îmbunătățit în sensul reducerii greutății paletelor. În acest sens s-a renunțat la cel de al doilea lonjeron, începînd de la diafragma ( $D_2$ ), locul lui fiind luat de o lăcășă lăsată. Primul lonjeron a fost prevăzut cu goluri circulare în vederea reducerii greutății. Axul paletelor a fost realizat numai din trei secțiuni a căror dimensiuni sînt mult reduse față de prima variantă. În Fig. 3.2 se pot vedea noile caracteristici ale elementelor paletelor și care pot fi comparate cu elementele din Fig. 3.1. După prima încercare a structurii de rezistență

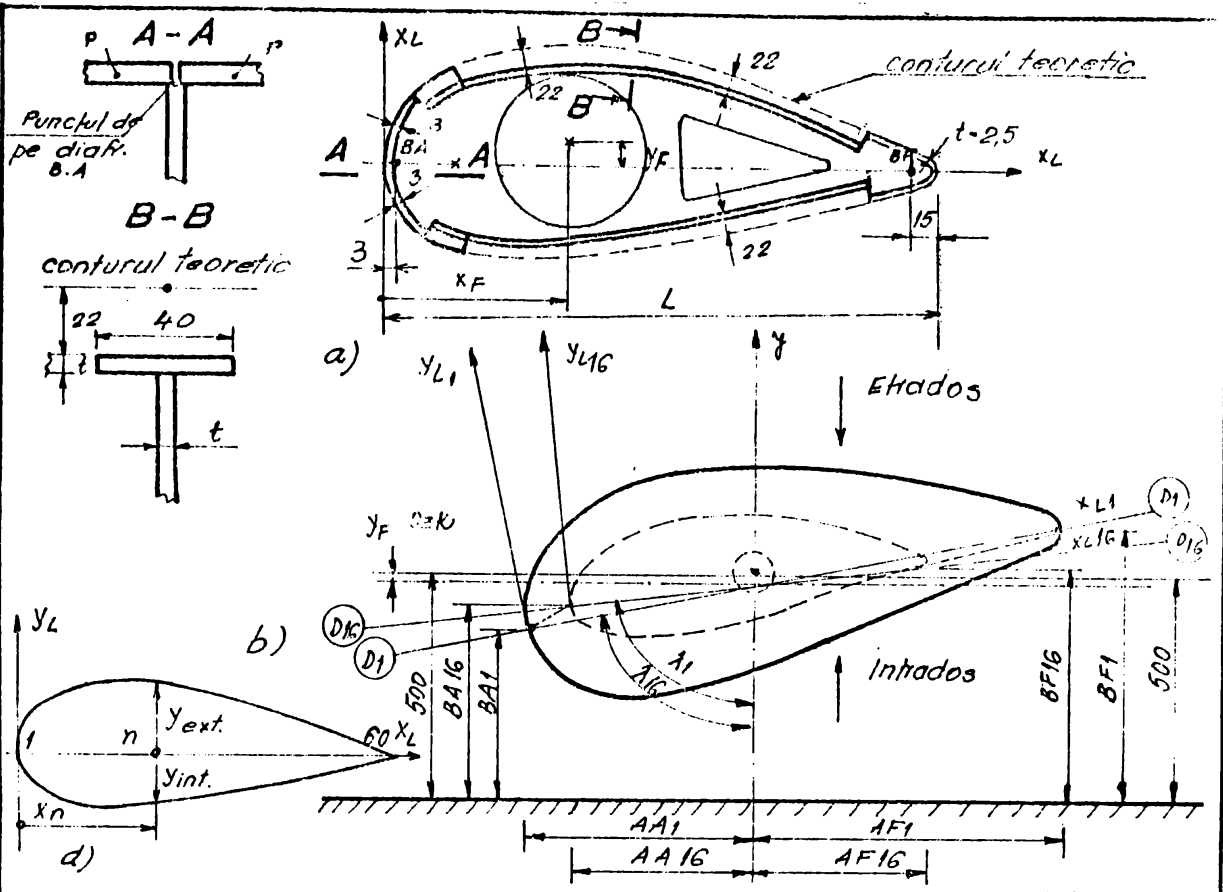
se ajunge la concluzia că este necesar să se dubleze lisalele dintre diafracmele ( $D_1$ ) și ( $D_2$ ) iar diafragma ( $D_1$ ) a fost consolidată transformînd-o într-o secțiune cheson. La rigidizările dintre flange ( $D_1$ ) și diafragma ( $D_1$ ) lăcășă a fost mărită secțiunea prin dublarea grosimii.

Această structură de rezistență a fost îmbrăcată într-o înveliș din tablă subțire de 0,5 mm.

Prin studiile teoretice și experimentale întreprinse s-a reușit să se reducă cu circa 40 % greutatea paletelor ceea ce înseamnă că se vor obține reduceri substanțiale pe ansamblul instalației de turbomăcină.

### 3.3. Alcătuirea paletelor pentru aerogeneratoare de putere mare cu diametrul rotorului $D = 30$ m/300 kW.

Si la alcătuirea paletelor pentru aerogeneratoare de putere mare cu diametrul rotorului  $D = 30$  m/300 kW s-au avut în vedere principiile generale de alcătuire prezentate în paragraful 3.1. De asemenea s-au avut în vedere studiile făcute în cadrul lucrărilor [52, 53, 54] care au stat la baza elaborării soluției de inițiale pentru paleta metalică cu diametrul  $D = 30$  m/300 kW soluție care va fi detaliată în cele ce urmează.



Tabloul 3.3

Diafragma Coordon. punctelor	D <sub>1</sub>	D <sub>2</sub>	D <sub>3</sub>	D <sub>4</sub>	D <sub>5</sub>	D <sub>6</sub>	D <sub>7</sub>	D <sub>8</sub>	D <sub>9</sub>	D <sub>10</sub>	D <sub>11</sub>	D <sub>12</sub>	D <sub>13</sub>	D <sub>14</sub>	D <sub>15</sub>	D <sub>16</sub>
Lungimea coordonatei L (mm)	1660	1580	1500	1421	1341	1261	1181	1101	1021	941	861	782	702	622	542	510
Axa paletei $x_F$	789	743	696	650	604	557	511	464	418	372	325	279	232	186	138	120
Axa paletei $y_F$	65	62	58	55	51	48	45	41	38	34	31	27	24	21	18	16
L- $x_F$	871	837	804	771	737	704	670	637	603	569	536	503	470	436	404	380
Unghiul de rotatie al diafragmei $\lambda_i$	82° 08'31	82° 08'67	82° 55'56	82° 24'05	83° 11'19	83° 09'16	83° 06'49	84° 10'20	84° 04'44	85° 25'75	85° 09'56	86° 03'23	86° 06'45	87° 17'18	88° 07'45	89° 17'23
$B_{Fi}$	554	547	545	540	536	531	526	522	517	513	509	505	500	495	491	489
$B_{Ai}$	327	340	353	365	377	389	400	412	423	435	445	455	464	472	479	482
$A_{Ai}$	770	725	680	635	591	545	500	454	410	365	319	274	227	182	135	117
$A_{Fi}$	857	813	790	757	723	690	656	623	589	555	522	488	456	421	381	375
Grosimea dia- fragmei $t$ (mm)	4	3	3	2.5	2.5	2.5	2	2	2	2	2	2	2	2	2	2

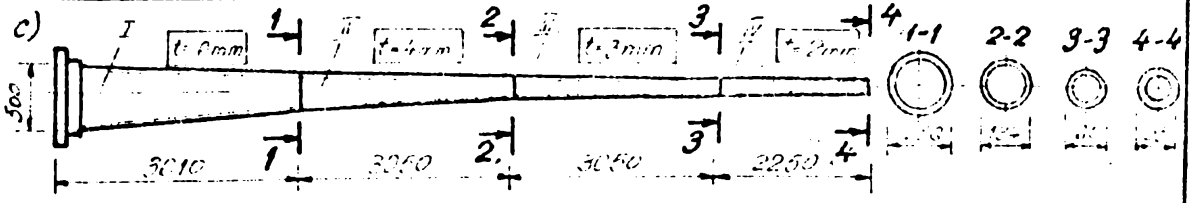


FIG. 3.3.

Elementele care compun paleta rotorului cu diametrul  $D = 30$  m sînt: axul paletei, flanşa, diafragmele şi înveli-  
toarea.

Axul paletei este un element foarte important. El mate-  
rializează axa teoretică a paletei şi are un important rol de  
rezistenţă. Axul este realizat din patru tronsoane tronconice  
sudate cap la cap pe placă suport. Fiecare tronson se confec-  
ţionează în uzină din tablă cu ajutorul unui dispozitiv tron-  
conic şi cu un sistem de cabluri de tragere. După mulara ta-  
blei pe dispozitiv aceasta se sudează de-a lungul genera-  
toarei. Dispozitivul fiind prevăzut în acest sens de-a lungul  
unei generatoare cu o plăcuţă suport de cupru.

După sudarea tablei în lungul generatoarei se scoate dis-  
pozitivul afară şi rămîne trunchiul de con al tronsonului res-  
pectiv care se va îmbina cu trunchiul de con al tronsonului  
următor. Cele patru tronsoane îmbinate formează axul paletei  
Fig.3.c. Grosimea tablei din care s-au executat cele patru  
tronsoane este: pentru tronsonul(I)  $t = 6$  mm, pentru tronso-  
nul(II)  $t = 4$  mm, pentru tronsonul(III)  $t = 3$  mm, şi pentru tron-  
sonul(IV)  $t = 2$  mm.

Flanşa de prindere în butucul rotorului se montează pe  
el, într-un plan perpendicular pe axa paletei, prin sudură de  
colţ. Fig.3.4.

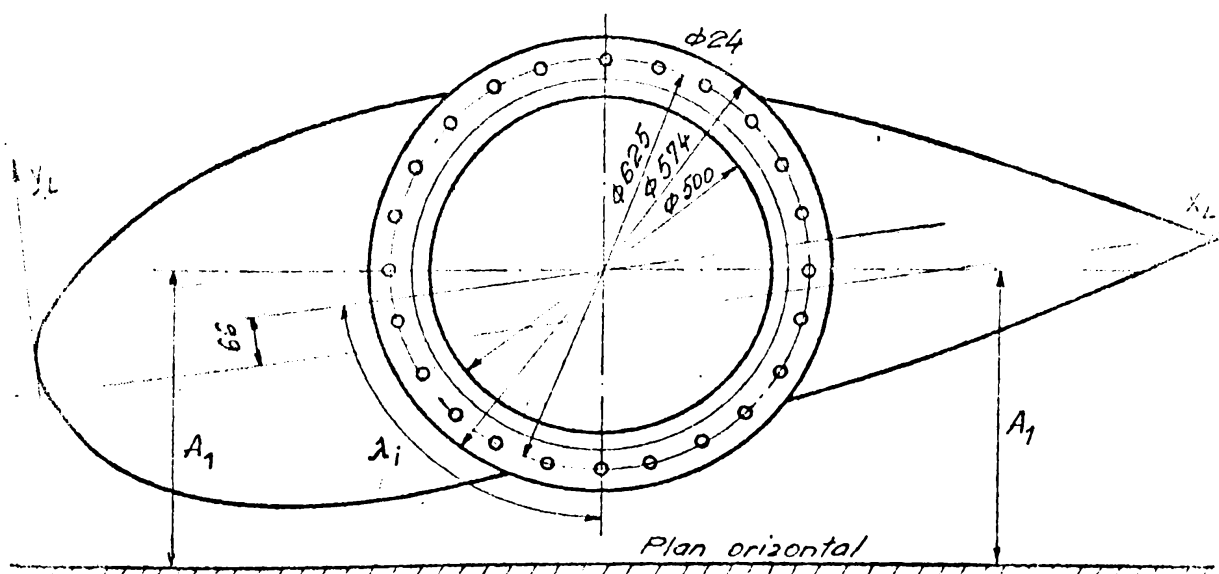


FIG. 3.4.

Diafragmele se execută din tablă. Ele se trasează după  
cotele de gabarit ale secţiunilor transversale fig.3.3.d din  
care se scade grosimea înveliitorii pentru ca întreaga structu-



să se încadreze în cotele de gabarit. Din diafragme se decupează șablonul pentru axul paletelor pe care acestea urmează să fie montate. Soluțiile tehnologice precum și cele pentru micșorarea greutateii sunt prezentate în fig. 3.3.a. Montarea diafragmelor pe ax începe cu diafragma ( $D_1$ ) de lângă flanșă și se încheie cu diafragma ( $D_{16}$ ) de la vârful paletelor. Diafragmele se montează pe ax la intervale  $\Delta Z = 750$  mm una față de alta și rotite cu unghiul  $\lambda_i$  față de axa verticală  $Oy$  (vezi fig. 3.3.b. și tabelul 3.2).

Diafragmele se sudcăază de ax prin cordoane de colț pe tot centrul.

Involitoarea paletelor se realizează din tablă de oțel formată din plăci de grosime  $t = 1$  mm așezată în straturi și formînd o învelitoare de tip sandwich cu miez portant (fig. 3.5). Involitoarea se execută în etape succesive după cum urmează:

1. se așează tabla lisă interioară (5) peste tălpile (4) ale diafragmelor (2) (numai pe extradosul paletelor). Această tablă lisă se sudcăază prin puncte de sudură de talpa diafragmei și prin sudură de colț pe totă lungimea tălpilor diafragmei;

2. peste tabla lisă interioară (5) se așează tabla cutată (3) care se sudcăază de tabla lisă (5) prin puncte de sudură la distanța de 50 mm unul față de altul în lungul cutoii. Tablele cutate se sudcăază între ele cap la cap pe tablă suport;

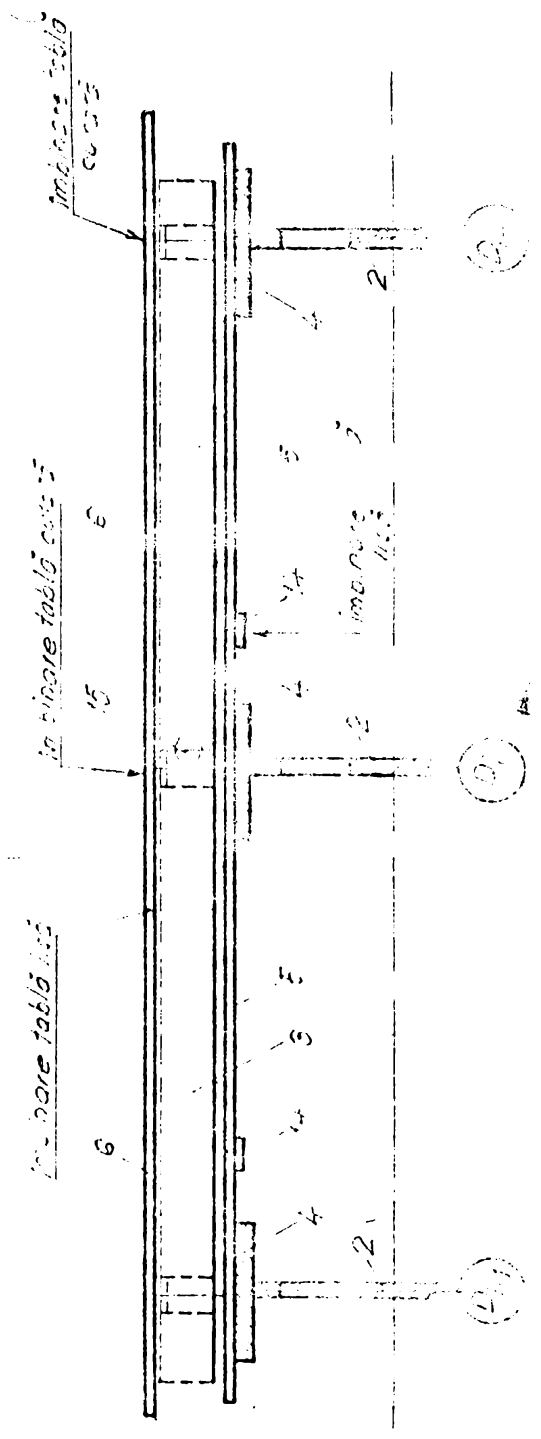
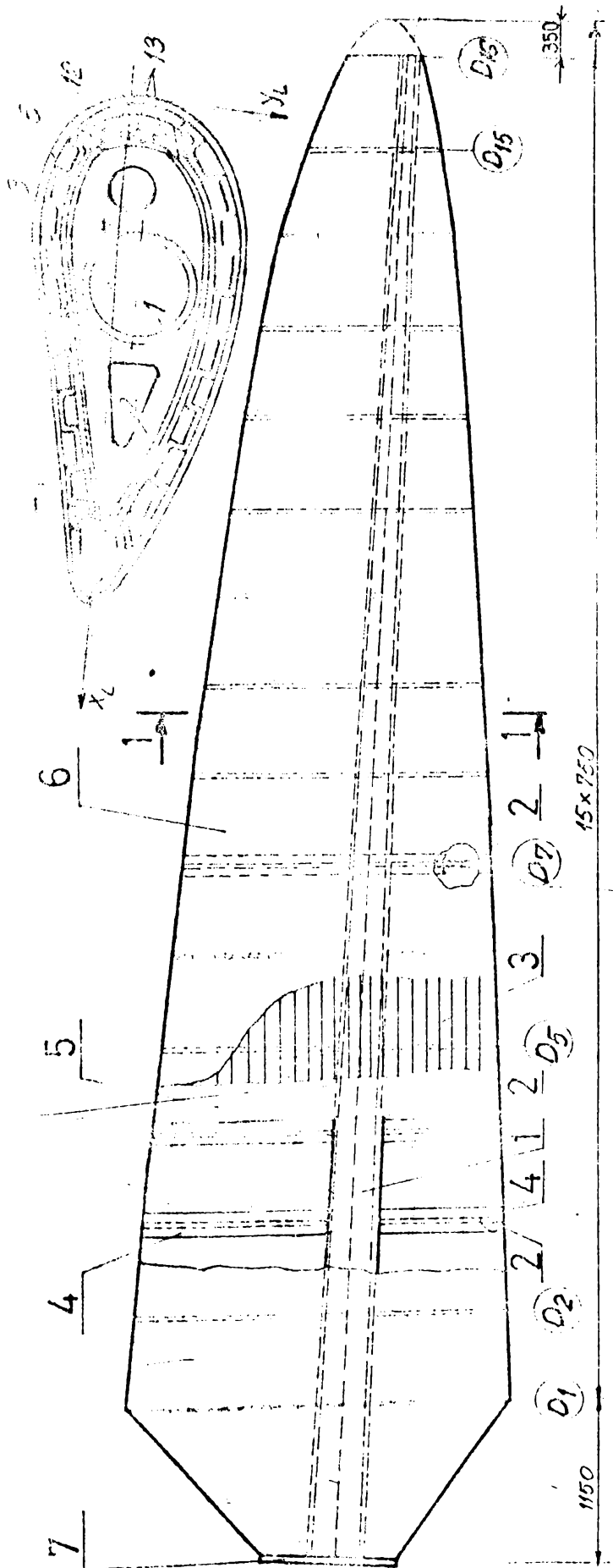
3. se așează tabla lisă (5) în mod similar ca la punctul (1) pe extradosul paletelor. Ea se sudcăază numai prin puncte de sudură de tălpile diafragmelor;

4. Peste tabla lisă (5) se așează tabla cutată (3) care se sudcăază în puncte de sudură de tabla lisă (5) și de tălpile (4) ale diafragmelor (2) (vezi fig. 3.5). Distanța dintre puncte în lungul cutoilor este de  $50 + 70$  mm. Sudura cap la cap a două table cutate se execută pe tablă suport;

5. peste tabla cutată (3) se așează tabla lisă exterioară (6) care se sudcăază prin puncte de tabla cutată și de lonjeroanul bordului de atac respectiv colul bordului de fugă. Tabla lisă exterioară se sudcăază cap la cap tot pe tablă suport;

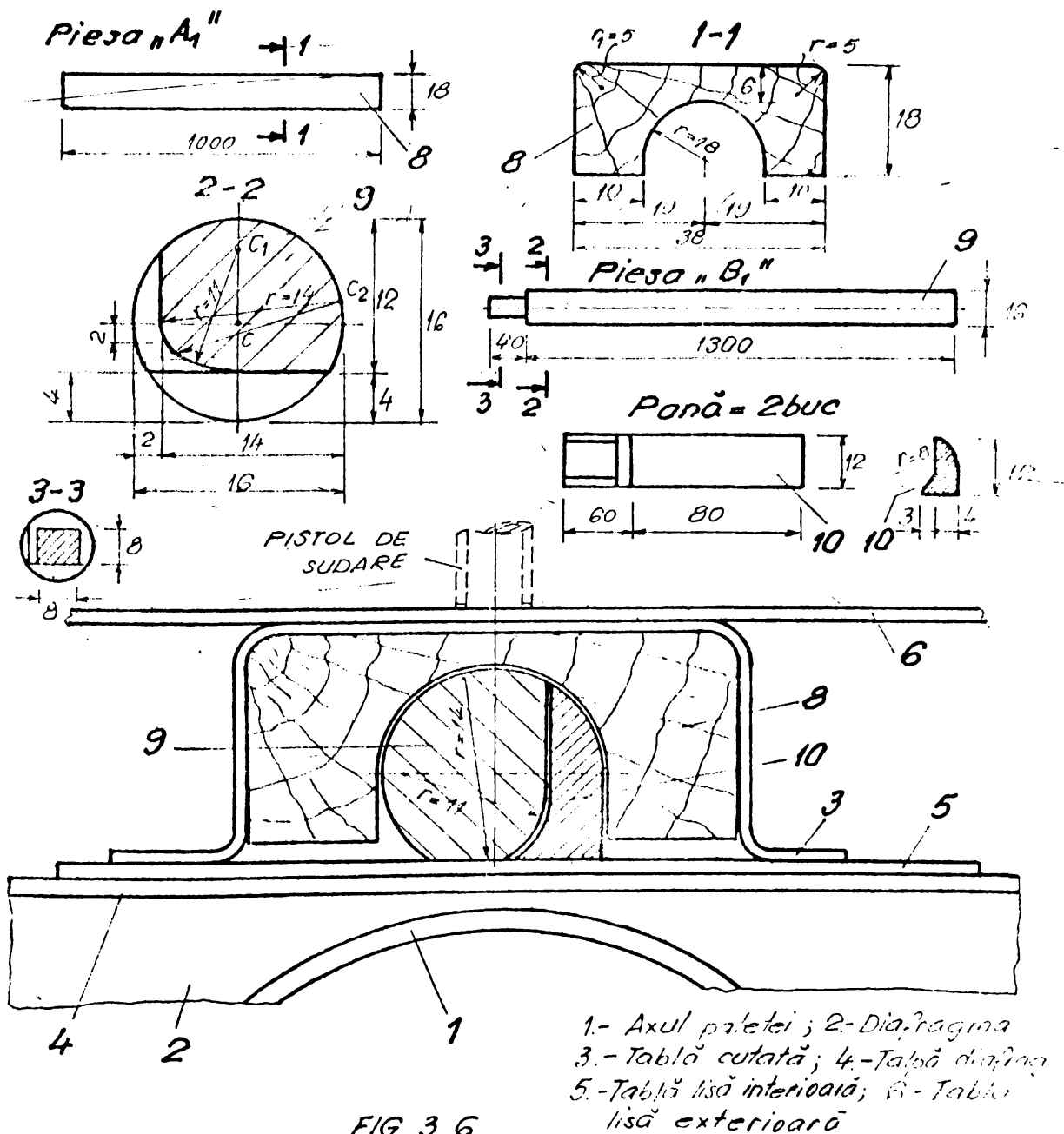
6. zona neprofilată dintre flanșă (7) și diafragma ( $D_1$ ) se realizează din tablă lisă cu grosimea  $t = 3$  mm așezată pe nervuri de rigidizare. Aceste nervuri sînt sudate de ax, diafragma ( $D_1$ ) și flanșă (7). Peste învelitoarea din tablă lisă cu grosimea de 3 mm se va prelungea tabla cutată în fișii care se sudcăază prin puncte și continuu la capătul și de-a lungul fișii.





siilor. Tabla lisă exterioră se va prelungi peste tabla cutată și ea se va încheia de-a lungul bordului de fugă și a flangei;

7. zona neprofilată de la vârful paletelor se execută cu scopul încheierii suprafeței aerodinamice și cu scopul montării unor instalații de semnalizare. Ea se prinde de corpul paletelor prin șuruburi cu cap înecat introduse din exterior pînă în diafragma ( $D_{16}$ ) în care se execută filete (piuliță).



Pentru executarea tablei cutate s-a conceput un dispozitiv de cutare prin roluire care cutează tabla la dimensiunile de 40 x 20 mm fig.3.5 și un dispozitiv de calibrare care corectează cutele tablei și realizează planșitatea tablei dintre două cute consecutive.

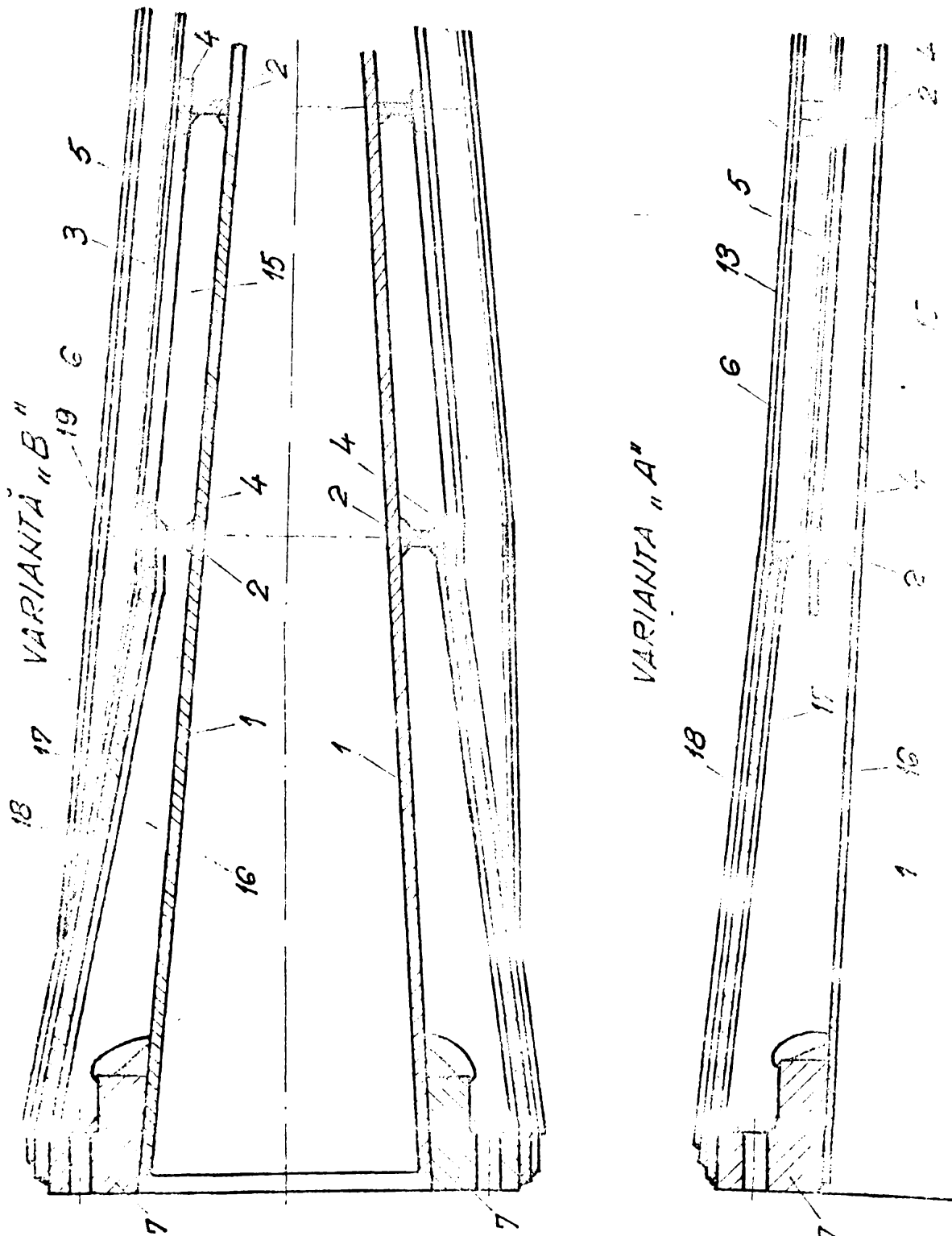


FIG. 3. 17.

Pentru montarea și fixarea diafragmelor pe axul paletei s-a realizat un dispozitiv care fixează axul în poziție orizontală și fiecare diafragmă în poziția rotită fig.3.3.

Pentru executarea punctelor de sudură dintre tabla lășă exterioară(6) și tabla cutată(3) s-a conceput un dispozitiv format din două piese ( $A_1$ ) și ( $B_1$ ) fig.3.6. Piesa ( $A_1$ ) este o gîpă de fier cu un canal semicircular în care se introduce piesa ( $B_1$ ).

Piesa ( $B_1$ ) este un oțel rotund prelucrat plat pe două generatoare. În scopul introducerii în interiorul cutei de la tabla cutată și a fixării dispozitivului în poziția sa de suport pentru sudare. Dispozitivul are rolul de a asigura ca tabla lășă a învelitorii(6) și tabla cutată(3) să fie lipite în vederea realizării punctelor de sudură.

### 3.4. Concluzii

La alcătuirea structurii de rezistență a paletei pentru aerogeneratoare cu ax orizontal s-a ținut seama de următoarele aspecte cu caracter general și de aspecte cu caracter specific menționate în paragrafele precedente.

1. Pentru aerogeneratoarele de putere mică cu diametrul rotorului mai mic decît 20 m s-a mers pe o structură de rezistență formată din elemente de tip bară și placă. Elementele de tip bară fiind: axul paletei, lonjeroanele și lișele. Iar elementele de tip placă fiind diafragmele, flanga de prindere la batucul rotorului și învelitoarea. În cadrul acestor structuri învelitoarea are rolul de a prelua presiunea aerodinamică și o transmite la lișe, lonjeroane și diafragma. De asemenea ea are rolul de a consolida aceste ultime elemente în planul suprafeței aerodinamice;

2. Probleme deficitare pentru rezolvarea structurii s-au ivit la zona dintre flangă și diafragma ( $D_1$ ), zonă foarte scurtă impusă de cerințele aerodinamice, specifice acestui tip de paletă;

3. Pentru aerogeneratoarele de putere mare cu diametrul  $D = 30$  m, s-a conceput o structură formată dintr-o învelitoare de tip sandwich cu rigiditate mare și care să asigure o suprafață aerodinamică bună în condițiile unui consum redus de material și un ax longitudinal format din patru trunchiuri de con cu perete de grosimi diferite și diametrii cercurilor de bază diferite. Forma acestui ax a fost determinată de încălzirea

în conturul suprafeței geometrice de gabarit a paletelor, căutând să se acopere dezideratul de rezistență pe cât posibil prin apropierea curbei de rigiditate a paletelor, de forma curbei de solicitare în lungul acestora;

4. În scopul satisfacerii unor condiții de rezistență zona neprofilată dintre flangă și diafragma ( $D_1$ ) s-a umplut. De asemenea rigidizările de pe axul paletelor dintre flangă și diafragma ( $D_1$ ) continuă și între diafragma ( $D_1$ ) și ( $D_2$ );

5) Între flangă și diafragma ( $D_1$ ) închiderea paletelor s-a făcut în două variante, ambele asigurând continuitatea învelișului sandwich prin rigidizări și tablă lisă fig. 3a și fig. 3.7. La stabilirea soluțiilor constructive și a fuselor de execuție s-a avut în vedere posibilitatea de protecție anticorozivă a tuturor elementelor care compun paletele și posibilitățile tehnologice ale uzinelor care execută paletele.

CAPITOLUL 4.

CALCULUL PALETELOR PENTRU AEROGENERATOARE CU AX ORIZONTAL

4.1. Caracteristici generale privind calculul paletei aerogeneratoarelor cu ax orizontal

Paleta aerogeneratorului cu ax orizontal diferă esențial de aripa de avion prin faptul că modul de rezemare al paletei și construcția ei constructivă este complet altă.

De aceea și din punct de vedere al metodei de calcul și al metodei constructive și de aceea se vor discuta mai mult metodele de calcul și se vor preciza avantajele și dezavantajele acestora.

Din punct de vedere static, paleta aerogeneratorului cu ax orizontal poate fi considerată simplificat ca o structură plană încastrată la o extremitate, dar în realitate, așa

se vede și din fig. 3.1 și fig. 3.7, ea este o structură spațială complexă. În subcapitolele următoare se va discuta metoda de calcul și ipotezele simplificatoare admise. Trebuie să menționăm de calculul

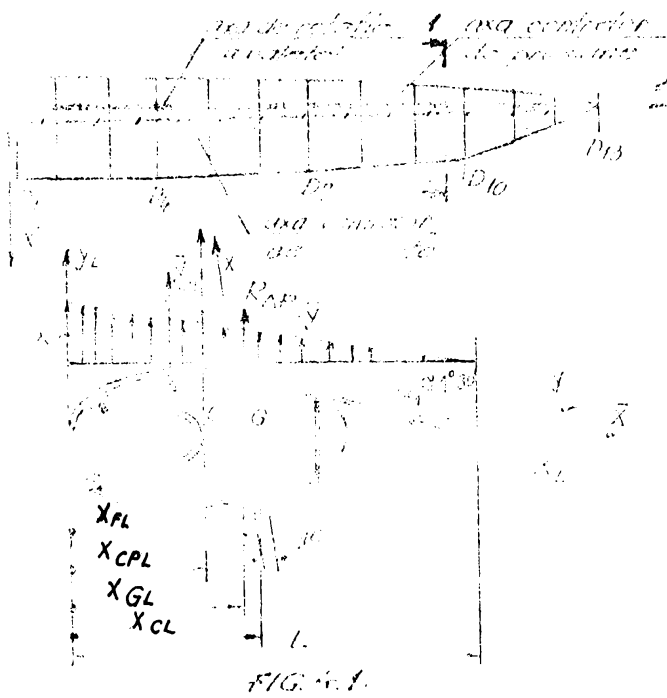
al sarcinii de încălzire și de calculul static al paletei din punct de vedere al deformațiilor și nu se îndepărtează prea mult de realitate la cele două figuri (fig. 4.1 și 4.6). Ca în cazul paletei de aviație ipoteza este considerată pentru greutatea proprie, forțele de inerție, etc. Incălzirea din cauza aerodinamică are distribuția precizată în capitolul următor. Din punct de vedere static, paleta poate fi redusă la o rezultantă

$R\Delta P_i$  (fig. 4-1).

Întrucât direcțiile rezultantelor sunt toate în raport cu o linie cu înclinare  $(\beta_i - \beta_{i+1})$  (fig. 4-2), rezultă că și rezultanta  $(R\Delta P_i)$  va fi rotită cu același unghi față de rezultanta  $(R\Delta P_{i+1})$ . Deci în lungul paletei, vom avea atâtea linii de acțiune

cât și diafragmele care pălăzesc între aceste linii de acțiune și sunt înclinate cu un alt unghi față de sistemul de coordonate al secțiunii transversale în care se efectuează calculul.

Deci se admite o secțiune (i) de calcul față de axele de coordonate principale ale secțiunii și rezultanțele  $(R\Delta P_i)$  vor acționa asupra ei înclinată cu unghiul  $(\alpha_i)$  (Fig. 4-3).



Alegând sistemul de axe  $\tilde{x}_{CP_i}, CP_i, \tilde{y}_{CP_i}$  paralel cu sistemul  $x_i, G, y_i$  și dacă se prezintă rezultanta  $(R \Delta p_i)$  se pune în evidență unghiul  $(\alpha_i)$ . Admitînd acum acțiunea  $(i+j)$  în care acționează rezultanta  $(R \Delta p_{i+j})$  care este înclinată față de sistemul de axe  $(\tilde{x}_{CP_{i+j}}, CP_{i+j}, \tilde{y}_{CP_{i+j}})$  cu unghiul  $(\alpha_{i+j})$ , în sistemul de axe din figura  $(i+j)$   $(\tilde{x}_{CP_i}, CP_i, \tilde{y}_{CP_{i+j}})$

cegi el rotit față de sistemul  $(\tilde{x}_{CP_i}, CP_i, \tilde{y}_{CP_i})$  cu unghiul  $(\alpha_{i+j})$  dat de relația 4.1 ne putem imagina care este poziția fiei forțelor.

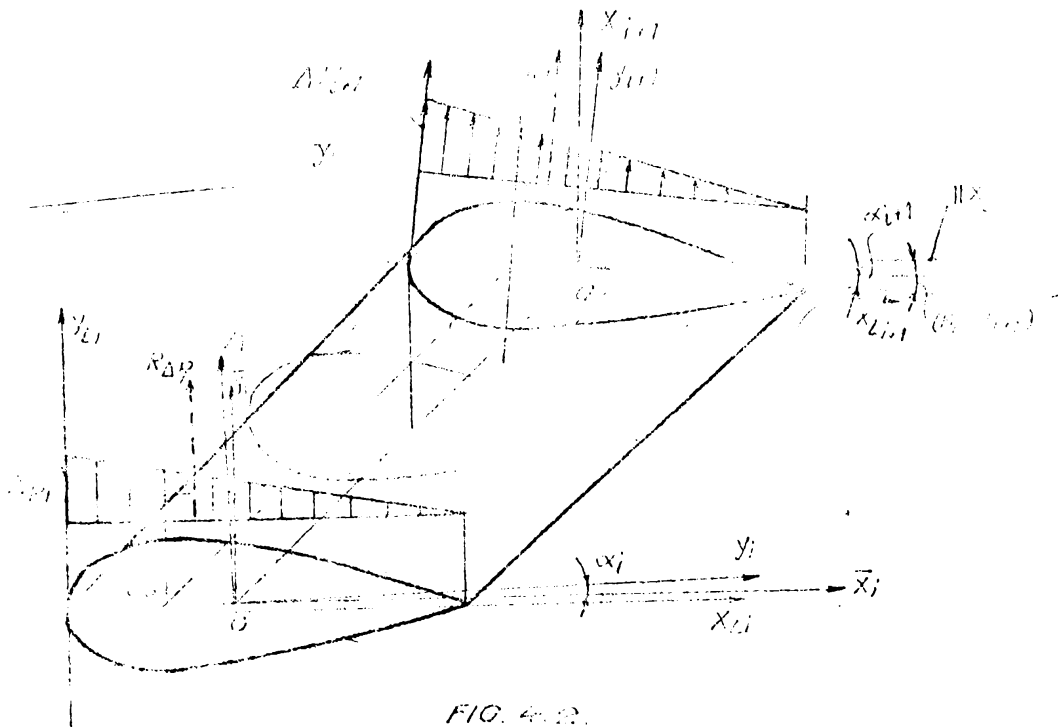






Fig. 4.3.

$$\delta_{i,i+j} = (B_i + \alpha_i) - (B_{i+j} + \alpha_j) \quad (4.1)$$

Având în vedere poziția rețelilor ( $B_i$ ) și lungul paletelor pot scrie ecuațiile rețelei și unghiurile  $\alpha_i$ .

(3.4.2).  
 În termenii lui  $\alpha_i$  și  $\alpha_j$ .

În rețelile (j) reprezintă lungimea de calcul, valorile:

$i = 1, 2, \dots$  iar  
 $j = 0, 1, 2, \dots, (n-i)$ ,  
 unde (n) este numărul de secțiuni cunoscute în lungul paletei. Exemplu pentru paleta rotorului cu diametrul  $D = 10 \text{ m}$ ,  $n = 13$ , iar pentru paleta rotorului cu diametrul  $D = 30 \text{ m}$ ,  $n = 16$ .

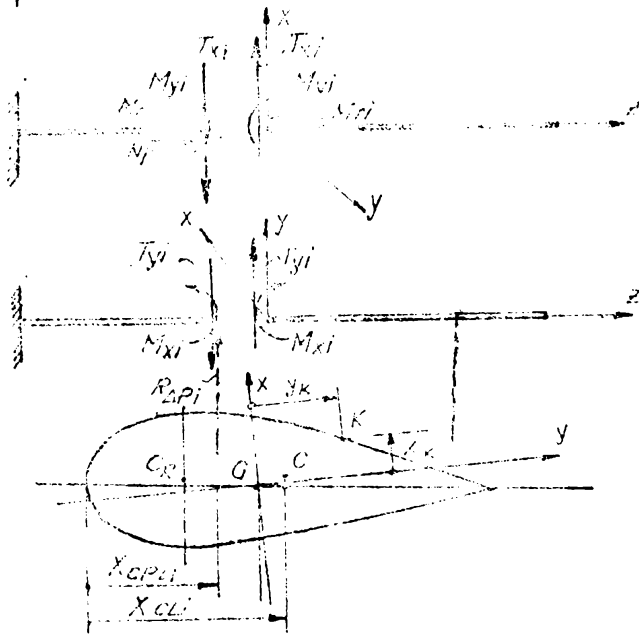
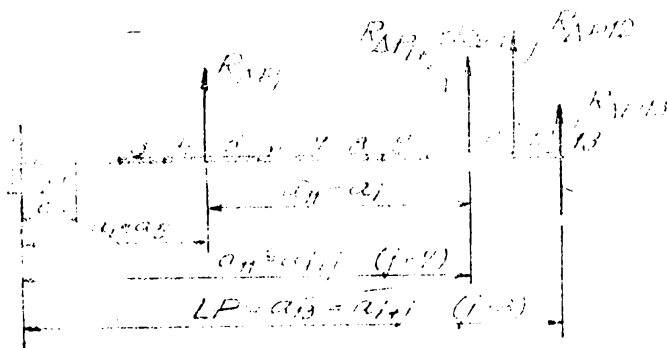
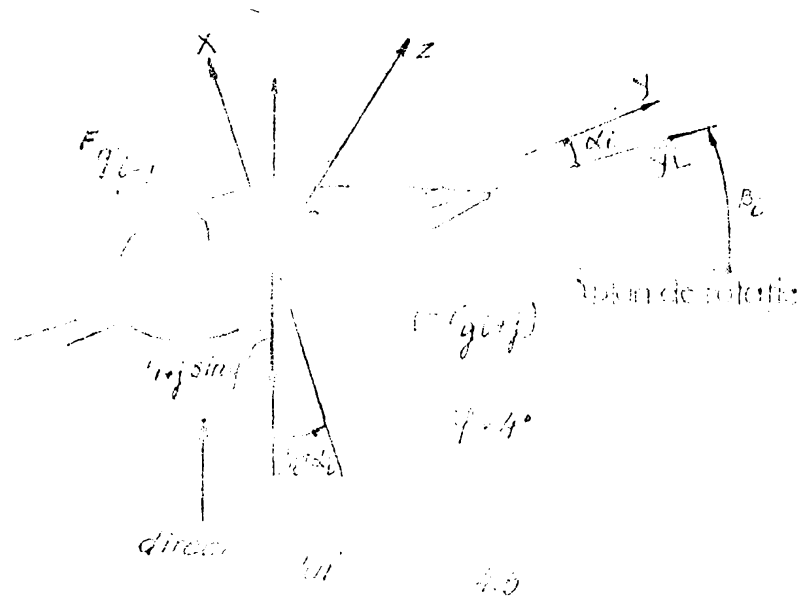


Fig. 4.4.



$$\begin{aligned}
 T_{x_i} &= - \sum_{j=1}^{n-1} R \Delta_{p_{i+j}} \cdot \cos(\alpha_{i+j} - \delta_{i,i+j}) \\
 &+ \sum_{j=2}^{n-1} R \Delta_{p_{i+j}} \cdot \sin(\alpha_{i+j} - \delta_{i,i+j}) \\
 &= - \left[ \sum_{j=1}^{n-1} R \Delta_{p_{i+j}} \cdot \cos(\alpha_{i+j} - \delta_{i,i+j}) \right] (a_{i+j} - a_i) \quad (4.2) \\
 &= - \left[ \sum_{j=1}^{n-1} R \Delta_{p_{i+j}} \cdot \sin(\alpha_{i+j} - \delta_{i,i+j}) \right] (a_{i+j} - a_i) \\
 &= + \sum_{j=1}^{n-1} \left[ (R \Delta_{p_i} \cdot \cos \alpha_i) y_{C_i} - (R \Delta_{p_i} \cdot \sin \alpha_i) x_{C_i} \right]
 \end{aligned}$$

As se poate observa rezultatele se pot exprima în funcție de caracteristicile a și  $\alpha$ . Ele provin numai din funcția de rotație de pe pal.

Acțiunea greutății proprii generează efecturi necentrice, în fiecare secțiune a paletei, deoarece, în lipsa rotației complete, forțele din greutatea proprie sunt aplicate în puncte diferite (Fig. 4.5, Fig. 4.7). Având forța din greutate pe direcție, patru blocare traversează dintre două diafrazme, care se calculează după relația 4.3,

$$P_{K_{i+j}} = \left[ (A_{i+j-1} (a_{i+j} - a_{i+j-1})) \right] \cdot \rho \cdot g \quad (4.3)$$

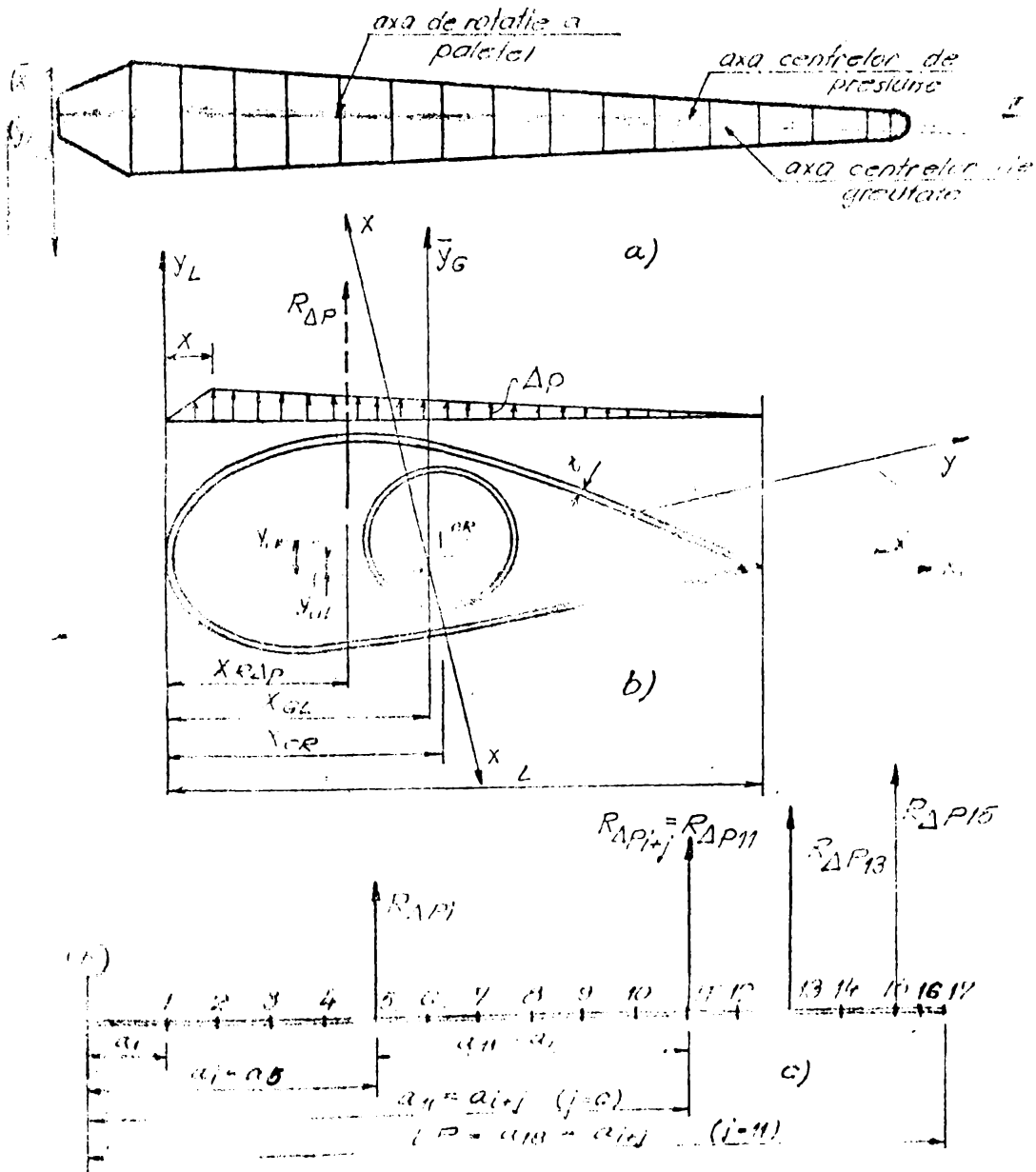


FIG. 4.6

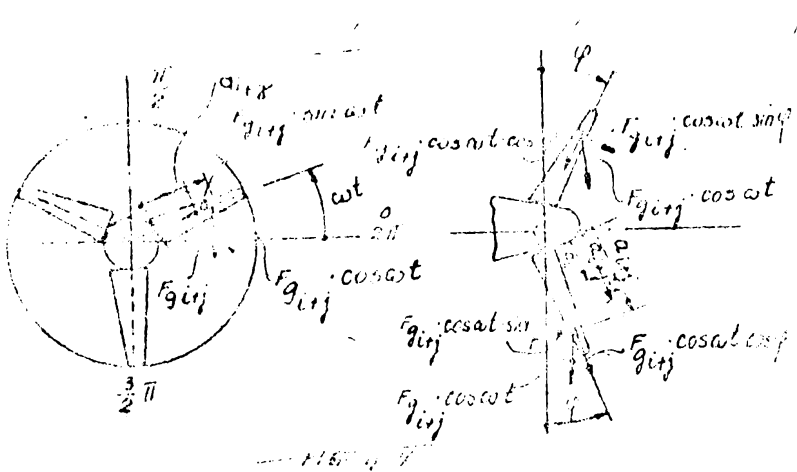
se pot deduce relațiile de recurență 4.4 pentru elementele din secțiunea curentă (i).

$$M_{z_i} = - \sum_{j=1}^{n-i} F_{y_{i+j}} \cdot \sin \omega t \cdot \cos \varphi$$

$$M_{x_i} = - \sum_{j=1}^{n-i} F_{y_{i+j}} \cdot \cos \omega t \cdot \sin(\alpha_i + \beta_j) + \sum_{j=1}^{n-i} F_{g_{i+j}} \cdot \sin \omega t \cdot \cos(\alpha_i + \beta_j) \sin \varphi$$

$$\begin{aligned}
 y_i &= + \sum_{j=1}^{n-i} F_{g_{i+j}} \cdot \cos \omega t \cdot \cos(\alpha_i + \beta_i) + \\
 &+ \sum_{j=1}^{n-i} F_{g_{i+j}} \cdot \sin \omega t \cdot \sin(\alpha_i + \beta_i) \cdot \sin \varphi \\
 x_i &= + \sum_{j=1}^{n-i} \left\{ F_{g_{i+j}} \cdot \cos \omega t \cdot \sin(\alpha_i + \beta_i) \left[ a_{i+j} - a_i - \right. \right. \\
 &\left. \left. - \frac{2}{3} (a_{i+j} - a_{i+j-1}) \right] \right\} - \sum_{j=1}^{n-i} F_{g_{i+j}} \cdot \sin \omega t \cdot \cos(\alpha_i + \\
 &+ \beta_i) \cdot \sin \varphi \cdot \left[ a_{i+j} - a_i - \frac{2}{3} (a_{i+j} - a_{i+j-1}) \right] \quad (4.4) \\
 M_{x_i} &= \sum_{j=1}^{n-i} \left\{ F_{g_{i+j}} \cdot \cos \omega t \cdot \cos(\alpha_i + \beta_i) \cdot \left[ a_{i+j} - a_i - \right. \right. \\
 &\left. \left. - \frac{2}{3} (a_{i+j} - a_{i+j-1}) \right] \right\} - \sum_{j=1}^{n-i} \left\{ F_{g_{i+j}} \cdot \cos \omega t \cdot \sin(\alpha_i + \right. \\
 &\left. + \beta_i) \cdot \sin \varphi \left[ a_{i+j} - a_i - \frac{2}{3} (a_{i+j} - a_{i+j-1}) \right] \right\}
 \end{aligned}$$

$$M_y = (C_{x_i} \cdot y_{cG_i} - T_y \cdot x_{cG_i})$$



In col  
 tiile 4.4 (i)  
 printr-o func  
 de  
 lungu  
 t.  
 $a_{i+j}$   
 ta for  
 din  
 tate p  
 tre  
 (i+j)  
 a rel  
 4.

$a_{i+j-1}$  - reprezintă aria secțiunii transversale a paletei în  
 secțiunea (i+j-1). Pentru  $(\omega t)$  au fost valori cuprinse între  $(0 \text{ și } 2\pi)$   
 (a) - rezintă timpul necesar de a trece din dreapta la  
 stânga (i).  
 În urma forței de inerție rezultată datorită accelerației  
 ale paletei în jurul rotorului, se concretizează

eforturile rezultante date de relațiile de recurență 4.5.

$$N_{zi} = \sum_{j=1}^{n-i} A_{i+j-1} (a_{i+j} - a_{i+j-1}) \cdot S_{0j} \cdot (r_{i+j-1} + \frac{a_{i+j} - a_{i+j-1}}{3}) \cdot \omega^2 \cdot \cos \varphi$$

$$T_{xi} = - \sum_{j=1}^{n-i} A_{i+j-1} (a_{i+j} - a_{i+j-1}) \cdot S_{0j} \cdot (r_{i+j-1} + \frac{a_{i+j} - a_{i+j-1}}{3}) \cdot \omega^2 \cdot \sin \varphi \cdot \cos(\beta_i + \alpha_i)$$

$$T_{yi} = - \sum_{j=1}^{n-i} A_{i+j-1} (a_{i+j} - a_{i+j-1}) \cdot S_{0j} \cdot (r_{i+j-1} + \frac{a_{i+j} - a_{i+j-1}}{3}) \cdot \omega^2 \cdot \sin \varphi \cdot \sin(\beta_i + \alpha_i)$$

$$M_{xi} = \sum_{j=1}^{n-i} \left\{ A_{i+j-1} (a_{i+j} - a_{i+j-1}) \cdot S_{0j} \cdot (r_{i+j-1} + \frac{a_{i+j} - a_{i+j-1}}{3}) \cdot \omega^2 \cdot \sin \varphi \cdot \sin(\beta_i + \alpha_i) \cdot \left[ a_{i+j} - a_i - \frac{2}{3} (a_{i+j} - a_{i+j-1}) \right] \right\} \quad (4)$$

$$M_{yi} = + \sum_{j=1}^{n-i} \left\{ A_{i+j-1} (a_{i+j} - a_{i+j-1}) \cdot S_{0j} \cdot (r_{i+j-1} + \frac{a_{i+j} - a_{i+j-1}}{3}) \cdot \omega^2 \cdot \sin \varphi \cdot \cos(\beta_i + \alpha_i) \cdot \left[ a_{i+j} - a_i - \frac{2}{3} (a_{i+j} - a_{i+j-1}) \right] \right\}$$

$$M_z = -(T_{xi} \cdot y_{CG_i} + T_{yi} \cdot x_{CG_i})$$

unde:

$A_{i+j-1}$  - reprezintă aria secțiunii transversale corespunzătoare tronsonului curent dintre diafragma (i+j) și (i+j-1);

$a_{i+j}$  - reprezintă distanța de la flanga de prindere a butucului rotorului până la diafragma i+j, vezi fig.4.4 și 4.6;

$r_{i+j-1}$  - reprezintă raza de la axa de rotație a rotorului până la secțiunea i+j-1 (sau diafragma i+j-1);

$\alpha_i$  și  $\beta_i$  - sînt unghiul de orientare al axelor de inerție principale, respectiv unghiul de incidență al secțiunii tra-

sale (i) în care se face calculul solicitărilor;

n - reprezintă numărul total de diafragme al paletei (sau de secțiuni de calcul);

i - este secțiunea în care se face calculul eforturilor;

În această situație statică, paleta poate fi alcătuită și considerată că are structura de rezistență formată din lonjeroni rigidizate cu diafragme și deci învelitoarea, diafragmele și liniile tranșant numai încercările locale către lonjeroni. Dacă, vom spune că paleta este fără învelig portant. Modul acesta de schematizare este cel mai simplu posibil și evident duce la o supradimensionare a unor elemente ale paletei. În consecință se va obține o paletă grea.

Tot adoptând schema statică de consolă structură de rezistență poate fi realizată astfel însoțită ea să aibă un rol portant care să participe alături de toate celelalte elemente ale paletei, la prelucrarea eforturilor. În această ultimă situație, structura de calcul este mult mai apropiată de realitate prezintă avantajele la încovoire și răsucire ale secțiunilor conexe sau chiar a celor multiple conexe. Adoptarea unor astfel de structuri prezintă unele dificultăți de abordare a calculului, iar acceptarea unor ipoteze simplificatoare ca și diminuarea avantajelor reale pe care le prezintă structura.

Eliminarea dificultăților de calcul și a pericolului ipotezele simplificatoare acceptate și însoțită cu o îmbunătățirea calculului de realitate, se poate face abordând calculul structurii cu elemente finite, care permit o modelare fidelă a realității.

Principiile care stau la baza calculului simplificat și a calculului cu metode elementelor finite precum și unele aspecte structurii vor fi discutate pe larg în paragrafele care urmează.

#### 4.2. Calculul structurii de rezistență a paletei fără învelig portant

Analizând structurile din fig.3.1+ fig.3.7 putem face afirmația că paletele pentru aerogeneratoare, spre deosebire de avioane, au un lonjeron central numit axul paletei a cărui formă în secțiune transversală este circulară. El reprezintă de altfel și materializarea axei de rotație a paletei. Cu ajutorul lui și a diafracșelor se obține forma aerodinamică a paletei. În afara axului, paletele pentru aerogeneratoare de

putere mică și mișcare mai au unul, două sau chiar trei tone, iar lărgimea și lisele de forță care ar putea fi considerate în calcul ca lonjeroane fără inimă sau pot fi neglijate. În acest caz, lisele au doar rolul de a asigura forma aerodinamică a paletelor literii.

O particularitate pe care o prezintă structura paletelor pentru aerogeneratoare, pe lângă faptul că fiecare diafragmă din structură este rotită cu un alt unghi ( $\beta_i$ ) față de planul de rotație al rotorului, este și aceea că ea se primește de la axul rotorului prin intermediul flangei care este conectată la baza paletelor și deci toate solicitările trebuie aduse la nivelul flangei.

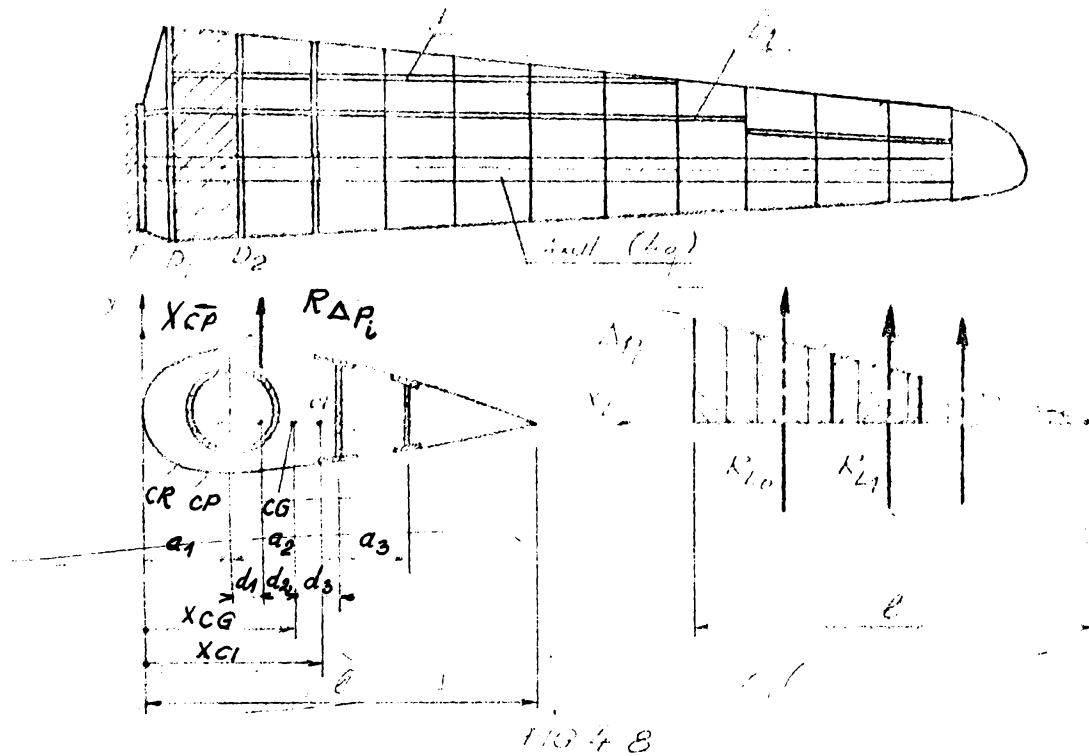
Particularitățile menționate mai sus fac ca calculul paletelor și al diafragmelor de calcul din [48] să nu poată fi aplicat și în cazul diafragmelor în special cele din zona flangei, vor primi un rol important decât cel al nervurilor transversale din cazul calculului de avion. Pentru un calcul simplificat, folosit de obicei în etapa de predimensionare, se poate accepta schema din figura 4.7, în care diafragmele ( $D_1$ ), ( $D_2$ ), ..., ( $D_n$ ) au și rolul de a asigura rigiditatea lonjeroanelor. Sistemul în ansamblu este un sistem static nedeterminat. Diafragmele ( $D_1$ ) și ( $D_n$ ) trebuie să realizeze o funcție care să poată solicita aduse de lonjeroane și să transmită prin intermediul rigidizărilor și a axului paletei la flangă.

Solicitările de încălzire se repartizează în nodurile regiunii după regulile cunoscute de suprafețelor diferite, fiind dată distribuția ( $\Delta p_j$ ) în secțiunea transversală și în sens longitudinal (Fig. 4.8).

După cum se vede din Fig. 4.8. structura plană, solicitată în acțiunea vântului, va prezenta o răsucire de ansamblu.

Dacă la structura de acipă de avion lonjeroanele pot fi luate astfel încât rezultanta încălzirilor din paletă să fie dinamică și greutățile proprii să calce chiar în centrul de greutate așa cum se arată în [48], la structura paletelor în ansamblu este mult mai dificil de realizat deoarece poziția și înălțimea este condiționată de forma aerodinamică și orice modificare a poziției ei, atrage după sine modificarea paletelor (a suprafeței aerodinamice). De asemenea, faptul că secțiunile transversale în lungul paletelor sînt rotite, față de planul





de rotație, cu unghiuri ( $\beta_i$ ) diferite, complică și în marea poziționarea lonjeroanelor. Pentru calculul simplificat structurii poletii fără înveliș portant se pot accepta ipoteze simplificatoare precizate în lucrarea [48] la calculul aripilor de avion și deci diafragmaele ( $D_2$ ), ( $D_4$ ), ..., ( $D_{12}$ ), ( $D_{16}$ ) se consideră că au o rigiditate proprie mică și nu asigură o legătură apreciabilă între lonjeroane care, sub acțiunea sarcinilor exterioare ( $R\Delta p_i$ ) se deformează independent. Si deci, într-o secțiune transversală oarecare ( $i$ ) vom găsi:

$$M_x = M_{x_0} + M_{x_1} + M_{x_2}; \quad T_{y_0} + T_{y_1} + T_{y_2} = T_y \quad (4.6)$$

unde:  
 $M_{x_0}$ ,  $T_{y_0}$ ,  $M_{x_1}$ ,  $T_{y_1}$ ,  $M_{x_2}$ ,  $T_{y_2}$  sînt momentele încovoiătoare și forțele tăietoare care revin axului și celor două lonjeroane.

În fiecare secțiune transversală se mai pot scrie și relațiile

$$R_{L_0} (d_1 + d_2 + d_3 + a_3) + R_{\Delta P_i} (d_2 + d_3 + a_3) + R_{L_1} a_3 = 0$$

$$R_{L_0} (d_1 + d_2 + d_3) + R_{\Delta P_i} (d_2 + d_3) - R_{L_2} a_3 = 0$$

$$R_{L_0} \cdot d_1 - R_{L_1} (d_2 + d_3) - R_{L_2} (d_2 + d_3 + a_3) = 0$$

4.7

$$R_{L_0} + R_{L_1} + R_{L_2} = R_{\Delta P_i}$$

unde  $R_{L_0}$ ,  $R_{L_1}$ , și  $R_{L_2}$  sînt sarcinile aplicate pe lonjeroane în daN/m. Sub acțiunea sarcinilor  $R_{L_0}$ ,  $R_{L_1}$ , și  $R_{L_2}$  lonjeroanele se vor deforma. Cum sarcinile  $R_{L_0}$ ,  $R_{L_1}$  și  $R_{L_2}$  sînt diferite și rigiditățile la încovoiere  $EI_0$ ,  $EI_1$  și  $EI_2$  ale axului și lonjeroanelor sînt și ele diferite, săgețile într-un punct oarecare din lungul lor vor fi diferite. Dacă se notează cu  $v_0(z)$ ,  $v_1(z)$ ,  $v_2(z)$  săgețile în secțiunea curentă  $(z)$ , acestea pot fi calculate plecînd de la expresiile fibrelor medii deformatoare, pentru ax și cele două lonjeroane sînt date de expresiile:

$$\frac{d^2 v_0(z)}{dz^2} = - \frac{M_{x_0}}{EI_{x_0}}$$

$$\frac{d^2 v_1(z)}{dz^2} = - \frac{M_{x_1}}{EI_{x_1}} \quad (4.8)$$

$$\frac{d^2 v_2(z)}{dz^2} = - \frac{M_{x_2}}{EI_{x_2}}$$

Integrînd de la  $z=0$  la  $z=z$  avem:

$$\frac{dv_0(z)}{dz} = C_0 - \int_0^z \frac{M_{x_0}}{EI_{x_0}} dz; \quad \frac{dv_1(z)}{dz} = C_1 - \int_0^z \frac{M_{x_1}}{EI_{x_1}} dz;$$

$$\frac{dv_2(z)}{dz} = C_2 - \int_0^z \frac{M_{x_2}}{EI_{x_2}} dz; \quad (4.9)$$

Dacă pentru simplificare, presupunem că axul și lonjeroanele au aceeași lungime (vezi fig.3.2, unde lonjeroanul, axul și lișta de forță de la bordul de atac și bordul de fugă sînt continue până în vîrfurile paletei) și sînt încastrate în grinda cheson formată

din diafragmele  $D_1$  și  $D_2$  iar încărcările pe ele și rigiditățile lor ( $EI_1$ ) sînt constante în lungul anvergurii, rezultă ca la vîrfurile paletei adăgățile au expresiile:

$$v_{0,l} = \frac{R \Delta_{P_{L_0}} \cdot l^4}{6EI_{x_0}}; \quad v_{1,l} = \frac{R \Delta_{P_{L_1}} \cdot l^4}{6EI_{x_1}}; \quad v_{2,l} = \frac{R \Delta_{P_{L_2}} \cdot l^4}{6EI_{x_2}}; \quad (4.10)$$

unde:

- $R \Delta_{P_{L_0}}$  - este încărcarea ce revine axului paletei pe gă constantă în lungul paletei;
- $l$  - lungimea lonjeroanelor și a axului de la grinda checon ( $D_1, D_2$ ) pînă la vîrfurile paletei;

$EI_{x_i}$  - rigiditățile la încovoiere a axului și lonjeroanelor ( $i = 0, 1, 2$ ). În general adăgățile  $v_{0,l} / v_{1,l} / v_{2,l}$  și deo paleta se poate pune condiția ca aceste adăgăți să fie egale. Din (4.10) rezultă:

$$\frac{R \Delta_{P_{L_0}}}{EI_{x_0}} = \frac{R \Delta_{P_{L_1}}}{EI_{x_1}} = \frac{R \Delta_{P_{L_2}}}{EI_{x_2}} = \frac{R \Delta_{P_i}}{EI_x} \quad (4.11)$$

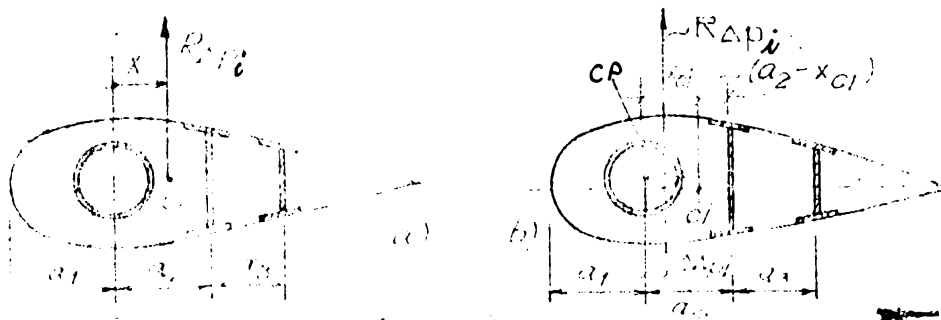
unde:

$$EI_x = EI_{x_0} + EI_{x_1} + EI_{x_2} \quad \text{și} \quad R \Delta_{P_i} = R \Delta_{P_{L_0}} + R \Delta_{P_{L_1}} + R \Delta_{P_{L_2}}$$

Iar din relația (4.11) rezultă relația (4.12.)

$$R \Delta_{P_{L_0}} = R \Delta_{P_i} \frac{EI_{x_0}}{EI_x}; \quad R \Delta_{P_{L_1}} = R \Delta_{P_i} \frac{EI_{x_1}}{EI_x}; \quad R \Delta_{P_{L_2}} = R \Delta_{P_i} \frac{EI_{x_2}}{EI_x} \quad (4.12)$$

Rezultă că (4.12) în funcție de distanța  $x$  de la vîrfurile paletei (4.9) și (4.9a) și d. se poate scrie relația:



$$R_{\Delta P_i} \cdot x = R_{\Delta P_{L_1}} \cdot a_2 + R_{\Delta P_{L_2}} \cdot (a_2 + a_3) \quad (4.13)$$

$$x = \frac{1}{R_{\Delta P_i}} \cdot \left[ R_{\Delta P_i} \frac{EI_{x_1}}{EI_x} \cdot a_2 + R_{\Delta P_i} \frac{EI_{x_2}}{EI_x} \cdot (a_2 + a_3) \right] \quad (4.14)$$

Ca atare, dacă rezultanta forțelor exterioare ( $R_{\Delta P_i}$ ) acționează la distanța ( $x$ ) față de axul paletii, săgețile axului și lonjeroanelor la vârful paletii vor fi egale și paleta lucrează la încovoiere pură. punctul din secțiune astfel definit se numește centru de încovoiere pură sau centru de tăiere. După cum se vede din relația (4.14), poziția centrului de încovoiere pură sau a centrului de tăiere depinde numai de parametrii mecanici ai lonjeroanelor și ai axului și de poziția relativă a acestora.

În condițiile relațiilor (4.12) și (4.14) momentul încovoitor total în secțiune se repartizează pe ax și pe lonjeroane, proporțional cu rigiditățile la încovoiere a acestora:

$$\frac{M_{x_0}}{EI_{x_0}} = \frac{M_{x_{L_1}}}{EI_{x_1}} = \frac{M_{x_{L_2}}}{EI_{x_2}} = \frac{M_x}{EI_x} \quad (4.15)$$

de unde rezultă:

$$M_{x_0} = M_x \frac{EI_{x_0}}{EI_x}; \quad M_{x_{L_1}} = M_x \frac{EI_{x_1}}{EI_x}; \quad M_{x_{L_2}} = M_x \frac{EI_{x_2}}{EI_x} \quad (4.16)$$

În mod similar, punind condiția ca rotația la vârful paletii să fie aceeași, rezultă:

$$T_{y_0} = T_y \frac{\bar{GA}_0}{\bar{GA}}; \quad T_{y_{L_1}} = T_y \frac{\bar{GA}_1}{\bar{GA}}; \quad T_{y_{L_2}} = T_y \frac{\bar{GA}_2}{\bar{GA}} \quad (4.17)$$

unde:  $\bar{GA} = \bar{GA}_0 + \bar{GA}_1 + \bar{GA}_2$ ;

Deoarece, în general  $R_{\Delta P_i}$  nu trece prin centrul de încovoiere pură va exista un moment de răsucire care în secțiune este suma momentelor exterioare în raport cu centrul de încovoiere pură și care are expresia: (fig. 4.9.b).

$$dM_r = \left[ R_{\Delta P_i} (x_{Ci} - x_{\Delta P_i}) \right] dz \quad (4.18) \text{ sau}$$

$$\Delta M_r = \left[ R_{\Delta P_i} (x_{Ci} - x_{\Delta P_i}) \right] \quad (4.19)$$

În orice secțiune  $z$  de la vârful paletii  $M_r$  este:

$$M_x = \int_{-z}^z R_{\Delta P_i} (x_{C1} - x_{\Delta P_i}) dz ; \text{ sau} \quad (4.20)$$

$$M_x = \sum_{i=1}^n \left[ R_{\Delta P_i} (x_{C1} - x_{\Delta P_i}) \right] \quad (4.21)$$

Aplicând principiul suprapunerii efectelor putem trata paleta după două scheme de calcul separate și anume:

- una care să reprezinte încovoierea pură;
- alta care să reprezinte tensiunea pură;

Prin aplicarea și după fiecare schemă de calcul în care se aplică în final pe baza principiului suprapunerii efectelor, se obține [18].

Același principiu se aplică și la alte tipuri de solicitări.

De asemenea, pentru a calcula momentele de inerție etc.

Calculul încovoierii este variabil în lungul paletei pentru integrării relațiilor (4.9) se complică. Pentru a se putea rezolva simplu rândim pentru momentele de inerție și pentru momentele încovoietoare variații în trepte. În acest caz integralele se transformă în sume pe segmentele finite în lungul cărora  $I_x$  și  $I_y$  sînt constante.

În cazul calculului care luăm în considerare și axulul diferințelor rigidităților și momentele încovoietoare în timpul lor sînt variabile se pot pune condiții similare ca și mai sus, unica diferență între-o secțiune de laisă fie egale. În aceste situații relațiile (1.10) și (4.11) obținute din integrarea relațiilor (4.9) sînt mai complicate și este necesară o rezolvare nu banală. Odată cunoscută eforturile aferente fiecărui element de rezistență al structurii se pot calcula eforturile unitare după legile cunoscute ale rezistenței materialelor, cu observația că sînt acceptate ipotezele simplificatoare care se presupun satisfăcătoare. Si la structura de rezistență a paletelor pentru aerogeneratoare ca și în cazul structurilor de aviație se pot accepta ipotezele simplificatoare prezentate pe larg în [19] și calculul de rezistență conduce funcție de tipul de solicitare.

Calculul de rezistență la solicitări de întindere se conduce după relația binecunoscută

$$\sigma = N/A ; \quad (4.22)$$

și răsucire valabilă, dacă corpul considerat se presupune a fi cilindric, sau corespunde noțiunii de bară [56].

În privința solicitării de încovoiere, dacă sistemul de axe este un sistem central, putem avea următoarele situații:

1. În caz că secțiunea transversală are o formă oarecare, fără direcții privilegiate, sistemul central poate fi un sistem oarecare. Față de acest sistem tensiunea normală are expresia:

$$\sigma_z = \frac{M_x I_y + M_y I_{xy}}{I_y I_x - I_{xy}^2} \cdot y + \frac{M_y I_x + M_x I_{xy}}{I_y I_x - I_{xy}^2} \cdot x \quad (4.25)$$

unde:

$M_x$  și  $M_y$  - sînt componentele momentului încovoiitor pe axele sistemului central;

$I_x$ ,  $I_y$  și  $I_{xy}$  - sînt momentele de inerție ale secțiunii transversale raportată la sistemul de axe central.

2. În cazul că secțiunea transversală se raportează la sistem de axe central principal, tensiunea normală are expresia:

$$\sigma_z = \frac{M_x}{I_x} y + \frac{M_y}{I_y} x \quad (4.26)$$

unde:  $M_x$  și  $M_y$  sînt componentele momentului încovoiitor pe axele sistemului central principal;

$I_x$  și  $I_y$  sînt momentele de inerție ale secțiunii transversale raportată la sistemul de axe central principal.

3. Cunoșcînd poziția axei neutre a secțiunii transversale în sistemul central.

$$(M_x I_y + M_y I_{xy}) \bar{y} + (M_y I_x + M_x I_{xy}) \bar{x} = 0$$

sau în sistemul central principal

$$\frac{M_x}{I_x} y + \frac{M_y}{I_y} x = 0 \quad (4.27)$$

se poate obține o altă relație pentru tensiunea normală

$$\sigma_z = \frac{M \cos(\beta - \alpha)}{I_n} \cdot y_n \quad (4.27)$$

unde  $I_n$  - este momentul de inerție centrală Ox și

neutră.

$\alpha$  - este unghiul dintre momentul încovoietor rezultat (1) de la pe secțiunea transversală și axa  $ox$ ;  $M_x = M \cos \alpha$ ;  $M_y = M \sin \alpha$ ;

$I_x$  - este momentul de inerție axial al secțiunii în raport cu axa  $ox$  în raport cu axa neutră;

$y_n$  - este coordonata curentă măsurată perpendicular pe axa neutră.

Calculul de rezistență la solicitări de forfecare și răsucire se tratează simultan deoarece cele două solicitări simple sînt imposibile să separe. Pentru separarea acestor solicitări este necesar a se reduce solicitarea, în general produsă prin forțe transversale față de centrul de tăiere. Forțele transversale care trec prin acest centru produce tăiere pură, iar forțele care trec față de același centru, provenit din forțele transversale, produce răsucire. Determinarea acestui centru nu se poate face decât după ce se determină repartiția eforturilor unitare produse de tăierea pură, acest centru nefiind altceva decât centrul de greutate al secțiunii transversale față de rezultanta acestor eforturi unitare tangențiale.

În privința solicitărilor care se produc în planul transversal, eforturi unitare tangențiale, o problemă deosebit de importantă este forma centrului secțiunii transversale. Și din acest motiv se vor considera pe rînd secțiunile transversale simplu conexe (profile deschise) și apoi profilele închise (multiplu conexe).

În cazul secțiunilor transversale simplu conexe (profile deschise) fluxul de forfecare va fi dat de relația (4.28).

$$q = \left\{ \frac{\delta}{\delta z} \left[ \frac{M_x I_y + M_y I_x}{I_x I_y - I_{xy}^2} \right] \right\} \int y_n dA + \left\{ \frac{\delta}{\delta z} \left[ \frac{M_y I_x + M_x I_y}{I_x I_y - I_{xy}^2} \right] \right\} \int x_n dA \quad (4.28)$$

dacă secțiunea transversală este raportată la un sistem de coordonate central, sau de relația (4.29).

$$q = \frac{T_x \cdot S_{xy}}{I_x} + \frac{T_y \cdot S_{yx}}{I_y} \quad (4.29)$$

dacă secțiunea transversală este raportată la sistemul de coordonate principal. Pentru cazul în care axa  $ox$  se înclină față de axa  $ox_0$  a secțiunii transversale fluxul de forfecare are expresia:

$$q = \frac{T \sin(\alpha - \alpha_0)}{I_{mn}} \cdot S_{mn,y} \quad (4.30)$$



unde:  $S_{nn,y}$  - este momentul static în raport cu axa neutră a secțiunii de sub nivelul  $y$ ;

$I_{nn}$  - este momentul de inerție al secțiunii transversale raportat cu axa neutră a secțiunii transversale.

În cazul solicitării de tracțiune, eforturile unitare tangențiale  $\tau_{xy}$  și  $\tau_{yx}$  pentru unii transversale de suprafață dublate în ceea ce privește valoarea înălțime  $h$  sunt date de relația (4.11)

$$\tau_{xy} = 0; \quad \tau_{yx} = \frac{M_P}{4I_{nn}} \cdot 2x; \quad (4.11)$$

de unde:  $\theta$  este de la înălțimea (4.11):

$$\theta = \frac{M_P}{4I_{nn} G} \quad (4.12)$$

Din aceste relații rezultă că în locurile limitelor de înălțime ale secțiunilor transversale formate din unul sau mai multe dreptunghiuri înghete (profil de chie, în care înălțimea înălțimea este mult mai mică decât înălțimea sa), este mare și de aceea, deformabilitatea este mare. Aceste profile sînt evitate cît posibil în cazul structurilor pentru paletele aerospațiale cu ax orizontal.

În cazul secțiunilor transversale multiple conexe (prînchiate) cupuse la răsucire, problema se prezintă în felul următor:

1. secțiunile dubla conexe (închise și singură deschisă)

eforturile tangențiale și datorită înălțimii se calculează după relațiile lui Breda:

$$\tau_{.b} = q \cdot M_P / 2\Omega \quad (4.13)$$

$$\theta = \frac{M_P}{4\Omega^2 G} \left( \oint \frac{ds}{t} \right) \quad (4.14)$$

unde:

$q$  - reprezintă grosimea peretelui secțiunii;

$\Omega$  - este aria închisă de linia mijlocie a peretelui secțiunii transversale;

$\oint \frac{ds}{t}$  - este momentul de răsucire al secțiunii transversale înrîndite.

2. În cazul secțiunilor deosebite multiple generale (secțiuni închise care au două sau mai multe puncte de susținere statică) trebuie să se scrie pentru rezolvarea problemei de scrierea unor ecuații suplimentare de deformație. Una din condițiile suplimentare este cunoscută sub denumirea de condiție de continuitate a deformației (forțarea la continuitate) și este exprimată într-un mod unitar în termenii deformațiilor și rotațiilor. Prin urmare, în problema de rezolvare a unei secțiuni multiple generale de ordinul n (Fig. 4.10), sunt necesare (n-1) ecuații suplimentare de deformație sau transversale.

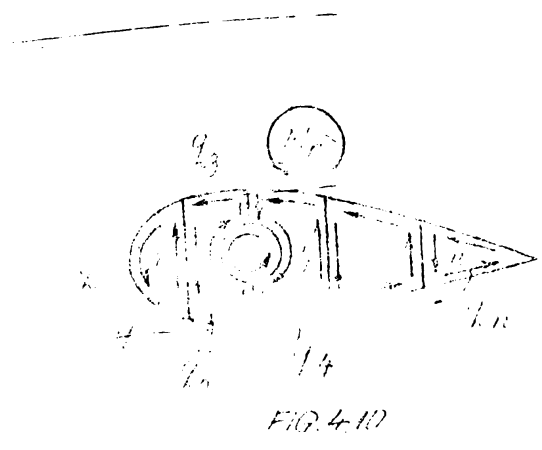


Fig. 4.10. Determinarea condițiilor de continuitate a deformației (n-1) ori dacă se știe că deformația este continuă în toate secțiunile transversale. Se scrie relațiile (4.36)

$$\begin{aligned}
 q_{11} &= q_1 - q_2 \\
 q_{22} &= q_2 - q_3 \\
 &\vdots \\
 q_{n-1,n} &= q_{n-1} - q_n
 \end{aligned}
 \tag{4.36}$$

Prin urmare, numărul de necunoscute ale problemei este de 2n. Pentru a se poate rezolva problema de rezolvare (4.36) în care:

$$\sum_{i=1}^n \Omega_i = 0 \tag{4.37}$$

unde deformațiile  $\Omega_i$  sunt forțele orizontale care se pot duce la trecerea de la starea inițială la starea finală. Întrucât, între liniile neutre ale secțiunilor transversale există relații de continuitate a deformației.

Pe lângă condițiile de continuitate a deformației (4.36) și (4.37) ecuații de deformație. Aceste relații exprimă legătura dintre efortul unitar și deformația generală a secțiunii transversale.

$$\int_V \tau_{\alpha\beta} ds = \tau_{\alpha\beta} \Omega_i \tag{4.38}$$

Relația (4.37) scrie pentru fiecare cheie din secțiunea transversală. În această situație, sunt necesare (n) ecuații de tip (4.38) și o ecuație de tip (4.37).

în (4.56) c - reprezintă numărul de unități de căldură (n) fluide  
 care trec prin suprafața necunoscută, în care s-a realizat reducerea  
 la o unitate.

Ținând seama că  $\tau_i = q_i/t_i$  din membrul stâng al relației  
 (4.57) rezultă:

$$\oint_i \tau ds = \oint_i \frac{q_i}{t_i} ds = \sum_{\text{cel } i} q_{ik} \int_{ik} \frac{ds}{t_{ik}}$$

$$q_{ik} = q_i - q_k$$

cu observație că în ultima relația 4.57

$$\oint_i \tau ds = \sum_{\text{cel } i} q_i \oint_i \frac{ds}{t_i} - \sum_k q_k \int_{ik} \frac{ds}{t_{ik}} \quad (4.58)$$

Dacă  $q_i$  este același în toți pereții celulei (i) acesta  
 poate fi extras în fața sumei și se obține:

$$q_i \oint_i \frac{ds}{t_i} - \sum_k q_k \int_{ik} \frac{ds}{t_{ik}} = \frac{2M}{K} \Omega_i \quad (4.59)$$

unde:

$$K = \frac{2M \cdot \Omega}{\oint_i \tau ds} - \text{constanța de conducție};$$

i - reprezintă numărul celulei 1, 2, ..., n din secțiunea  
 transversală;

k - reprezintă celule adiacente (vecine) a lui (i).

Ecuația 4.59 reprezintă un sistem cu (n) linii care au ca  
 necunoscute fluxurile  $q_i$ . Dacă se scrie sistemul pentru sec-  
 țiunea transversală din fig. 4.10 rezultă:

$$q_1 \oint_1 \frac{ds}{t_1} - q_2 \int_{1,2} \frac{ds}{t_{1,2}} = \frac{2M}{K} \Omega_1$$

$$- q_1 \int_{1,2} \frac{ds}{t_{1,2}} + q_2 \oint_2 \frac{ds}{t_2} - q_3 \int_{2,3} \frac{ds}{t_{2,3}} = \frac{2M}{K} \Omega_2 \quad (4.60)$$

$$- q_2 \int_{2,3} \frac{ds}{t_{2,3}} + q_3 \oint_3 \frac{ds}{t_3} - q_4 \int_{3,4} \frac{ds}{t_{3,4}} = \frac{2M}{K} \Omega_3$$

în care se notează:

$$q_{ik} = \int_{ik} \frac{ds}{t_{i,k}} ; \quad \oint_i \frac{ds}{t_{i,i}}$$

si dacă perechii celulelor sînt formați din (n) elemente cu greutăți constante coeficienții  $(n_{ik})$  și  $(n_{ii})$  se pot calcula astfel:

$$n_{ik} = \frac{e_{ik}}{t_{ik}} \quad \text{și} \quad n_{ii} = \sum_{l=1}^n \frac{s_l}{t_l} = \frac{s_1}{t_1} + \frac{s_2}{t_2} + \dots + \frac{s_k}{t_k} + \dots + \frac{s_n}{t_n}$$

Cu aceste notații sistemul (4.39') devine:

$$\begin{aligned} q_1^{n_{11}} - q_2^{n_{12}} &= \frac{2M}{K} \Omega_1 \\ -q_1^{n_{21}} + q_2^{n_{22}} - q_3^{n_{23}} &= \frac{2M}{K} \Omega_2 \\ -q_2^{n_{32}} + q_3^{n_{33}} - q_4^{n_{34}} &= \frac{2M}{K} \Omega_3 \end{aligned} \quad (4.40)$$

Făcînd notația 4.41

$$q_i = \bar{q}_i \frac{2M}{K} \quad (4.41)$$

se poate scrie:

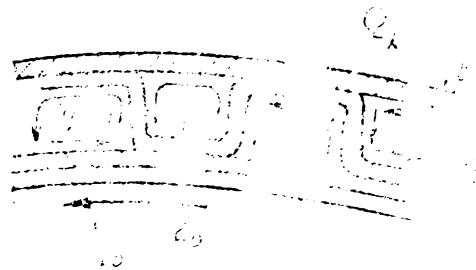
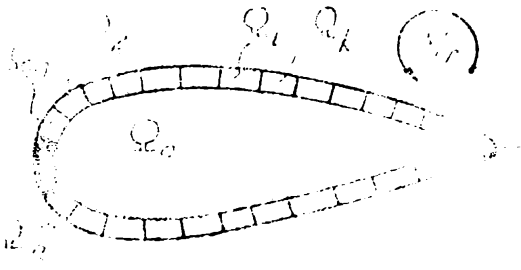
$$\begin{aligned} \bar{q}_1^{n_{11}} - \bar{q}_2^{n_{12}} &= \Omega_1 \\ -\bar{q}_1^{n_{21}} + \bar{q}_2^{n_{22}} - \bar{q}_3^{n_{23}} &= \Omega_2 \\ -\bar{q}_2^{n_{32}} + \bar{q}_3^{n_{33}} - \bar{q}_4^{n_{34}} &= \Omega_3 \end{aligned} \quad (4.42)$$

$$\text{Tînuînd seama de 4.36 și 4.41 rezultă } K = 4 \sum_{l=1}^n \Omega_l q_l \quad (4.43)$$

și care reprezintă constanta răuucirii.

Sistemul de ecuații format astfel permite determinarea tuturor necunoscutelor problemei. Sistemul poate fi soluționat direct sau cu ajutorul unor metode iterative care permit evaluări succesive de precizie din ce în ce mai mare și un control al calculului în timpul efectuării lui [56]. Din sistemul de ecuații se poate determina constanta la răuucire a secțiunii transversale, după relația (4.43) [56] și [57].

La privința secțiunilor transversale care prezintă rigidizori longitudinali avem două cazuri: unul cînd secții rigidizori sînt profile deschise și secția nu sînt luată în considerare și altul cînd rigidizorii sînt profile închise. În acest ultim caz secțiunea transversală devine o secțiune multiplu conexă, însă datorită faptului că secțiunea transversală a rigidizorului este nică față de secțiunea transversală a ansamblului este necesar a se dezvolta metode aproximative



de calcul în care să se țină seama de efectele rigidizării.

Pentru secțiunea din fig.4.11 algoritmul de ecuații are forma (4.44)

$$\begin{aligned}
 & \int_{0,0}^{0,1} \frac{ds}{t} = a_1 \int_{0,1}^{0,2} \frac{ds}{t} \dots \int_{0,n} \frac{ds}{t} = \frac{a_1^2}{t} \cdot \Omega \\
 & \int_{1,0} \frac{ds}{t} + \int_{1,1} \frac{ds}{t} = a_2 \int_{1,2} \frac{ds}{t} \dots \int_{1,n} \frac{ds}{t} = \frac{a_2^2}{t} \cdot \Omega \\
 & \int_{2,0} \frac{ds}{t} = \int_{2,1} \frac{ds}{t} + a_2 \int_{2,2} \frac{ds}{t} \dots \int_{2,n} \frac{ds}{t} = \frac{a_2^2}{t} \cdot \Omega \\
 & \int_{3,0} \frac{ds}{t} = \dots = a_3 \int_{3,2} \frac{ds}{t} \dots \int_{3,4} \frac{ds}{t} \dots = \frac{a_3^2}{t} \cdot \Omega \\
 & \int_{n,0} \frac{ds}{t} = \dots \int_{n,n-1} \frac{ds}{t} = \frac{a_n^2}{t} \cdot \Omega
 \end{aligned}$$

Având în vedere noțiunile (4.43) citate, se scrie forma:

$$\begin{bmatrix}
 -n_{0,0} & -n_{0,1} & -n_{0,2} & \dots & -n_{0,n-1} & \dots & -n_{0,n} \\
 -n_{1,0} & n_{1,1} & -n_{1,2} & \dots & \dots & \dots & \dots \\
 -n_{2,0} & -n_{2,1} & n_{2,2} & -n_{2,3} & \dots & \dots & \dots \\
 -n_{3,0} & 0 & -n_{3,2} & n_{3,3} & -n_{3,4} & \dots & \dots \\
 \dots & \dots & \dots & \dots & \dots & \dots & \dots \\
 -n_{n-1,0} & \dots & \dots & -n_{n-1,n-2} & n_{n-1,n-1} & -n_{n-1,n} & \dots \\
 \dots & \dots & \dots & \dots & \dots & \dots & \dots \\
 -n_{n,0} & \dots & \dots & \dots & -n_{n,n-1} & -1 & \dots
 \end{bmatrix}
 \begin{Bmatrix}
 0 \\
 \Omega_0 \\
 \Omega_1 \\
 \Omega_2 \\
 \Omega_3 \\
 \dots \\
 \Omega_{n-1} \\
 \Omega_n
 \end{Bmatrix}
 \quad (4.44)$$

Soluționarea numerică a sistemului conduce la determinarea fluxurilor  $q_i$  și a constantei răscirii.

$$K = 4(\bar{q}_0 \cdot \Omega_0 + \sum_{i=1}^n q_i \cdot \Omega_i) \quad (4.43)$$

Secțiunea transversală prin paleta OPS,  $\lambda = 7$ , cu  $D = 30$  mm, are forma din fig. 4.12. Deci secția este compusă din două

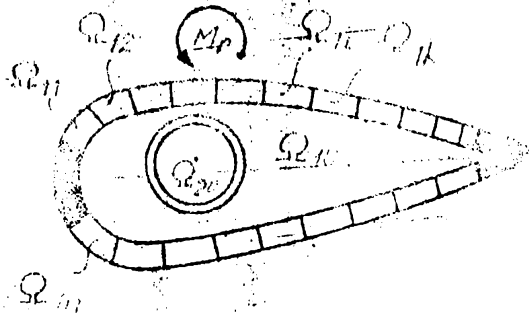


FIG. 4.12

celule independente și anume:  
 - celula circulară formată din axul paletei și celula exterioră replicată de către învelițoară. Învelițoarea este o structură multicelulară sau o structură rigidizată cu (n) și (n) diaphragme longitudinale, structura trapezoidală

anterioară (vezi fig. 4.11 și relațiile 4.44 și 4.45). Solicitarea  $(M_r)$  se va repartiza celor două celule care vor avea același unghi de răscire specifică  $\theta$ , datorită diaframelor care se leagă din loc în loc (la distanța de 750 mm).

Deci:

$$\theta = \frac{M_{r1}}{K_1 G} = \frac{M_{r2}}{K_2 G} \quad (4.46)$$

unde:

$$K_1 = 4(\bar{q}_0 \cdot \Omega_{1,0} + \sum_{i=1}^n q_i \cdot \Omega_{1,i}) \quad (4.47)$$

este constanta răscirii celulei exterioare multicelulare;

iar

$$K_2 = \frac{4 \cdot \Omega_2^2}{\phi \cdot t_{ax}} = 2 \cdot \Pi \cdot r_m^3 \cdot t_{ax} \quad (4.47)$$

este constanta răscirii celulei interioare formată din axul paletei. Momentul de răscire  $M_r$  trebuie să fie preluat de cele două celule, deci:

$$M_r = M_{r1} + M_{r2} \quad (4.48)$$

Dacă se ține seama de relația 4.46 se pot calcula momentele de răscire ce revin fiecărei cheson care formează cele două celule.

$$M_{r1} = \frac{M_r \cdot K_2}{1 + \frac{K_2}{K_1}}; \quad M_{r2} = \frac{M_r \cdot K_1}{1 + \frac{K_1}{K_2}} \quad (4.49)$$

unde:

- $M_{r1}$  - este momentul de răsucire care revine cheșonului închis pe care-l formează învelitoarea paletei care este o structură multicelulară;
- $M_{r2}$  - este momentul de răsucire care revine cheșonului închis pe care-l formează axul paletei.

Problema răsucirii pentru secțiunea transversală din fig.4.12 poate fi abordată considerând axul ca o celulă independentă iar structura învelitorii formează o altă celulă independentă ca cea din fig.4.11. În aceste condiții sistemul de ecuații va avea forma (4.50):

$$\begin{aligned}
 q_{10} \oint_{10} \frac{ds}{t} - q_{11} \int_{10,11} \frac{ds}{t} - q_{12} \int_{10,12} \frac{ds}{t} - \dots - q_{1i} \int_{10,i} \frac{ds}{t} - \dots - q_{1n} \int_{10,1n} \frac{ds}{t} &= \frac{2M_r}{K} \Omega_{10} \\
 -q_{10} \int_{11,10} \frac{ds}{t} + q_{11} \oint_{11} \frac{ds}{t} - q_{12} \int_{11,12} \frac{ds}{t} - \dots &= \frac{2M_r}{K} \Omega_{11} \\
 -q_{10} \int_{12,10} \frac{ds}{t} - q_{11} \int_{12,11} \frac{ds}{t} + q_{12} \oint_{12} \frac{ds}{t} - q_{13} \int_{12,13} \frac{ds}{t} + \dots &= \frac{2M_r}{K} \Omega_{12} \\
 \dots & \dots \\
 -q_{10} \int_{1n,10} \frac{ds}{t} - \dots - q_{1,n-1} \int_{1n,1n-1} \frac{ds}{t} - q_{1,n} \oint_{1n} \frac{ds}{t} &= \frac{2M_r}{K} \Omega_{1n} \\
 \dots & \dots \\
 q_{20} \oint_{20} \frac{ds}{t} &= \frac{2M_r}{K} \Omega_{20}
 \end{aligned}
 \tag{4.50}$$

După soluționarea sistemului și determinarea fluxurilor  $\bar{q}_{10}$ ,  $\bar{q}_{1i}$  și  $\bar{q}_{20}$  se determină constanta răsucirii cu relația (4.51):

$$K = 4(\bar{q}_{10} \cdot \Omega_{10} + \sum_{i=1}^n \bar{q}_{1i} \cdot \Omega_{1i}) + 4\bar{q}_{20} \cdot \Omega_{20}
 \tag{4.51}$$

Pentru secțiunile transversale multiplu conexe solicitate la torsiune, problema determinării fluxurilor de forfecare este dificilă și depinde de forma secțiunii transversale.

Pentru început se analizează o secțiune transversală dublu conexamă, solicitată la tăiere fig.4.13. Pentru soluționare se taie fixativ elementul în lungul axei z și se exteriorizează

fluxul necunoscut  $q_z$ , care urmează a se determina din condi-

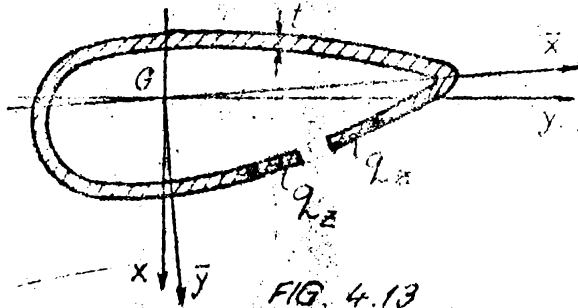


FIG. 4.13

ția de deformare. Pe secțiunea transversală deschisă (ca formă de bază) se poate calcula fluxul de tăiere  $q_0$  dat de forța tăietoare (T)

$$q_0 = \frac{T \cdot I_y - T \cdot I_{yx}}{I_y I_x - I_{yx}^2} S_x + \frac{T \cdot I_x - T \cdot I_{yx}}{I_x I_y - I_{yx}^2} S_y \quad (4.52)$$

$$q_0 = \frac{T \cdot S_x}{I_x} + \frac{T \cdot S_y}{I_y} \quad (4.53)$$

$$q_0 = \frac{T \cos(\theta - x)}{I_n} S_n \quad (4.54)$$

Conform relațiilor (4.52), când secțiunea transversală este raportată la un sistem central; (4.53), când secțiunea transversală este raportată la un sistem central principal și (4.54) când axa x a sistemului de referință central este identică cu axa neutră a secțiunii transversale.

Fluxul de forfecare pe secțiunea transversală se va obține prin suprapunere de efecte conform relației (4.55):

$$q = q_0 + q_z \quad (4.55)$$

Pentru determinarea fluxului de forfecare necunoscut, se folosește o condiție de deformare care arată că dacă forța tăietoare acționează în centrul de tăiere, atunci rotirea produsă de fluxul de forfecare total este nulă. Dacă se folosește relația (4.57) rezultă:

$$\theta = \frac{1}{2GJ} \int \frac{q_0 + q_z}{t} ds = 0, \quad (4.56)$$

de unde se obține:

$$q_z = - \left( \int \frac{q_0}{t} ds \right) / \left( \int \frac{ds}{t} \right) \quad (4.57)$$

Intrucât fluxul de forfecare ( $q_0$ ) nu este constant, ca în cazul cazului rezueirii, integrala din relația (4.57) va trebui rezolvată în consecință.



Determinarea centrului de tăiere este o problemă deosebit de importantă deoarece, în cazul în care efortul tăier distribuit provine din tăiere pură, rezultanta acestuia trece prin acest punct. În mod practic se determină fluxul de tăiere plecând de la condiția (4.56), după care se scriu două ecuații de moment în raport cu centrul de greutate al secțiunii transversale (fig. 4.14).

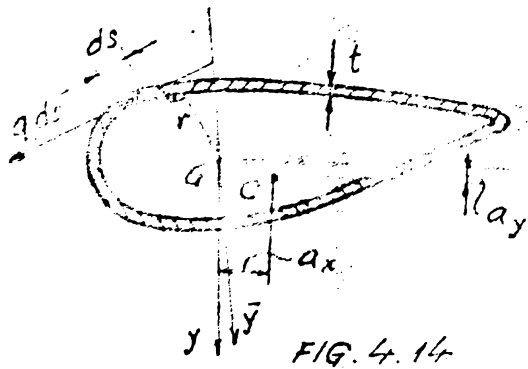


FIG. 4.14

$$\begin{aligned} T_y \cdot a_x &= \sum \int q_i \cdot r \, dy; \\ T_x \cdot a_y &= \sum \int q_i \cdot r \, dx \end{aligned} \quad (4.58)$$

unde  $a_x$  și  $a_y$  reprezintă coordonatele centrului de tăiere.

Stabilirea poziției centrului de tăiere la secțiunile transversale

multicelulare are la bază aceleași ipoteze ca și la secțiunile tubulare coaxiale. Dacă secțiunea transversală are (n) contururi interioare și un singur contur exterior, se practică (n) tăieri în ajutorul cărora secțiunea transversală se transformă într-o secțiune transversală tubulară închisă într-una deschisă.

Pe această secțiune transversală de bază se calculează

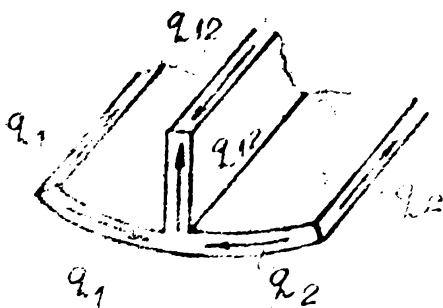


FIG. 4.15

pentru început, fluxuri de tăiere care. Aceste fluxuri nu conduc la puncte de tăiere reale deoarece prin secționarea (tăierea) celor (n) celule sau eliminat (n) fluxuri necorespunzătoare  $q_{z1}$ ;  $q_{z2}$ ; ...;  $q_{zn}$ . La determinarea fluxurilor de tăiere se ține seama de principiul continuității la noduri.

$$\begin{aligned} q_1 &= q_{z0} + q_{z1}; \\ q_2 &= q_{z0} + q_{z2}; \\ q_{12} &= q_{z0} + q_{z2} - q_{z1}; \end{aligned} \quad (4.19)$$

Se pune apoi condiția că nici un chesoan nu se rotește. Pentru secțiunea transversală cu (n) chesoane (celule) se scriu (n) astfel de condiții :

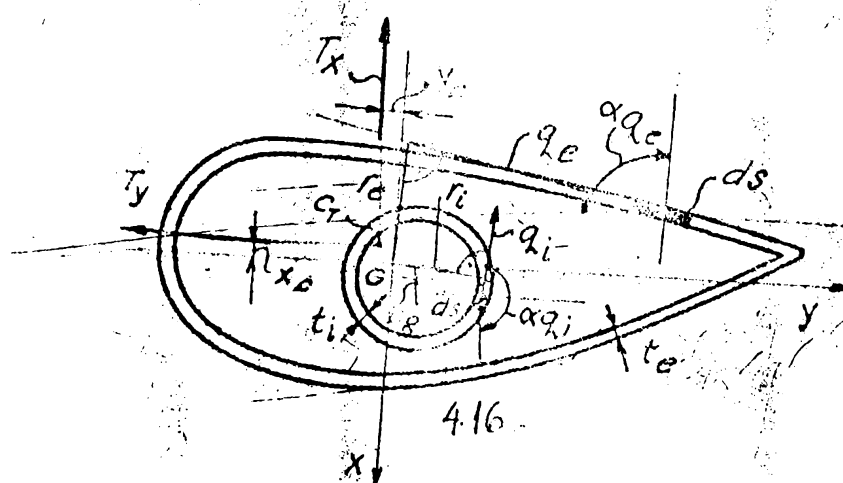
$$\begin{aligned} \theta_1 &= \frac{1}{2G\Omega_1} \left[ \int \frac{q_{10}}{t_1} ds + \int \frac{q_{z_1}}{t_1} ds - \int \frac{q_{12,0}}{t_{12}} ds - \int \frac{q_{12,z}}{t_{12}} ds \right] = 0 \\ \theta_2 &= \frac{1}{2G\Omega_2} \left[ \int \frac{q_{20}}{t_2} ds + \int \frac{q_{z_2}}{t_2} ds - \int \frac{q_{1,20}}{t_{12}} ds - \int \frac{q_{z_1,2}}{t_{12}} ds - \right. \\ &\quad \left. - \int \frac{q_{z_2,3}}{t_{23}} ds - \int \frac{q_{23,0}}{t_{23}} ds \right] = 0 ; \\ &\dots\dots\dots \\ \theta_n &= \frac{1}{2G\Omega_n} \left[ \int \frac{q_{n0}}{t_n} ds + \int \frac{q_{z_n}}{t_n} ds - \int \frac{q_{n-1,n0}}{t_{n-1,n}} ds - \int \frac{q_{z_{n-1,n}}}{t_{n-1,n}} ds \right] \end{aligned} \quad (4.60)$$

În aceste ecuații fluxurile de forfecare  $q_{i0}$  nu sînt constante și deci integralele trebuie calculate în consecință. După soluționarea sistemului (4.60) se trece la determinarea poziției centrului de tăiere.

Pentru calcularea celor două coordonate care determină centrul de tăiere se scriu două ecuații de echilibru static care și în cazul secțiunilor dublu conexe (ecuația 4.58).

Pentru secțiuni transversale multiplu conexe, formate din mai multe chesoane independente, determinarea fluxului de tăiere și a poziției centrului de tăiere se va arăta în cele ce urmează.

Dacă se consideră secțiunea transversală din fig.4.16. în care din acțiunea forței tăietoare (T) care se presupune că acționează în centrul de tăiere trebuie determinate



fluxurile de tăiere, se procedează la secționarea celor două contururi închise independente și se introduc fluxurile necunoscute  $q_{z_i}$  și  $q_{ze}$ .

Dacă  $T_x$  și  $T_y$  sînt componentele forței tăietoare pe axele de inerție principale ale secțiunii transversale și dacă acestea trec prin centrul de forfecare, nu avem răsucire; în domeniul elastic încărcările exterioare sînt preluate de fiecare cheson în funcție de înclinarea care alcătuiește secțiunea transversală, proporțional cu rigiditatea la încovălire a acestuia.

Dacă, au loc relațiile:

$$T_x = T_{x_i} + T_{x_e} ; \quad T_y = T_{y_i} + T_{y_e} \quad (4.61)$$

$$\frac{T_x}{I_x} = \frac{T_{y_i}}{I_{x_i}} = \frac{T_{y_e}}{I_{x_e}} ; \quad \frac{T_y}{I_y} = \frac{T_{x_i}}{I_{y_i}} = \frac{T_{x_e}}{I_{y_e}} \quad (4.62)$$

de unde se obține:

$$T_{y_i} = \frac{T_x \cdot I_{x_i}}{I_x} ; \quad T_{y_e} = \frac{T_x \cdot I_{x_e}}{I_x} ; \quad T_{x_i} = \frac{T_y \cdot I_{y_i}}{I_y} ; \quad T_{x_e} = \frac{T_y \cdot I_{y_e}}{I_y} \quad (4.63)$$

Cu aceste valori (4.63) ne pot calcula fluxurile de tăiere din secțiunea transversală conform relațiilor (4.64) și (4.65).

$$q_i = \frac{T_{y_i} \cdot S_{x_i}}{I_{x_i}} + \frac{T_{x_i} \cdot S_{y_i}}{I_{y_i}} + q_{z_i} \quad (4.64)$$

$$q_e = \frac{T_{y_e} \cdot S_{y_e}}{I_{x_e}} + \frac{T_{x_e} \cdot S_{x_e}}{I_{y_e}} + q_{z_e} \quad (4.65)$$

sau:

$$q_i = q_{oi} + q_{zi} \quad (4.64')$$

$$q_e = q_{oe} + q_{ze} \quad (4.65')$$

Deoarece forța tăietoare acționează în centrul de tăiere, rotirea produsă de fluxul de tăiere total este nulă.

$$\theta_i = \frac{1}{2G\Omega_i} \int \frac{q_{oi} + q_{zi}}{t_i} ds = 0 \quad (4.66)$$

$$\theta_e = \frac{1}{2G\Omega_e} \int \frac{q_{oe} + q_{ze}}{t_e} ds = 0 \quad (4.67)$$

de unde se obține:

$$q_{x_i} = - \left( \int \frac{q_{oi}}{t_i} ds \right) / \left( \int \frac{ds}{t_i} \right) \quad (4.68)$$

$$q_{x_e} = - \left( \int \frac{q_{oe}}{t_e} ds \right) / \left( \int \frac{ds}{t_e} \right) \quad (4.69)$$

Pentru determinarea centrului de tăiere se scrie o ecuație de moment în raport cu centrul de greutate al secțiunii transversale:

$$(+T_y \cdot x_c - T_x \cdot y_c) = \int_e q_e \cdot ds \cdot r_e + \int_i q_i \cdot ds \cdot r_i \quad (4.70)$$

și una sau două ecuații de proiecție pe direcția axelor de inerție principale ale secțiunii transversale:

$$T_x = \int_e q_e \cdot ds \cdot \cos \alpha_{q_e} + \int_i q_i \cdot ds \cdot \cos \alpha_{q_i} \quad (4.71)$$

$$T_y = \int_e q_e \cdot ds \cdot \sin \alpha_{q_e} + \int_i q_i \cdot ds \cdot \sin \alpha_{q_i} \quad (4.72)$$

Relația (4.70) poate fi scrisă de două ori și anume:

$$- T_x \cdot y_c = \int_e q_e(T_x) \cdot ds \cdot r_e + \int_i q_i(T_x) \cdot ds \cdot r_i \quad (4.73)$$

$$+ T_y \cdot x_c = \int_e q_e(T_y) \cdot ds \cdot r_e + \int_i q_i(T_y) \cdot ds \cdot r_i \quad (4.73')$$

unde:

$q_e(T_x)$  și  $q_i(T_x)$  sînt fluxurile de tăiere din acțiunea forței tăietoare ( $T_x$ )

$q_e(T_y)$  și  $q_i(T_y)$  sînt fluxurile de tăiere din acțiunea forței tăietoare ( $T_y$ )

Deoarece relațiile (4.6+4.21) sînt cu aplicabilitate universală numai la calculul palețelor fără învelis portant, relațiile (4.22-4.72') sînt valabile și pentru calculul palețelor cu învelis portant care va fi prezentat în paragraful următor.

Dea cum s-a precizat în paragraful 4.1 paleta fără învelis portant poate fi considerată ca o structură plană încadrată în spațiu dacă se iau în calcul elementele longitudinale: axul, lonjeroanele, liscile (ca niște lonjeroane fără înveliș) și liocerghele.

În această situație, majoritatea încărcărilor sînt perpendiculare pe planul structurii și deci acestea vor fi concentrate în noduri. Datorită numărului foarte mare de necunoscute pentru calculul unei astfel de structuri se pot folosi programe de calcul existente în bibliotecile centrelor de calcul și anume:

programul SAP 031, programul CASPA, etc.

Pentru utilizarea acestor programe datele inițiale vor fi pregătite în funcție de datele furnizate în capitolele 1, 2 și 3 ale prezentei lucrări.

#### 4.5. Calculul structurii de rezistență a paletelor cu înveliș portant

În paragraful (4.2) s-a analizat posibilitatea abordării calculului structurii de rezistență a paletelor de putere mică, mijlocie și mare la care învelișul poate fi considerat ca un doar rotul de a prelua efectul focal al presiunii aerodinamice.

Paleta cu înveliș portant este concepută din necesitatea să transmită mai ușor momentul de torsiune în lungul ei, precum și din necesitatea să aibă învelișul și o altă utilitate pe lângă aceea de a respecta forma aerodinamică profilului.

Pe o paletă de aerogenerator cu ax orizontal, forțele exterioare, fiind dirijate spațial, solicitările interne în structură sînt o combinație între toate genurile de eforturi, cum ar fi din rezistența materialelor, adică: forțe axiale, momente încovoietoare, forțe tăietoare și momente de răsucire.

Pe paleta fără înveliș portant, momentul încovoitor, momentul de răsucire și forțele tăietoare sînt preluate de ax și lonjeroane, iar forța tăietoare este preluată numai de ax și lonjeroanele. Pentru ca lonjeroanele să poată prelua economic momentul încovoitor și cel de torsiune, s-au acceptat ipotezele prezentate în lucrările [48] și [56].

De aceea, la alcătuirea constructivă a structurii s-au introdus diafragme transversale foarte puternice care să oblige axul și lonjeroanele să lucreze solidar. Pentru o astfel de structură, calculul de rezistență se conduce în conformitate cu paragraful (4.2) din prezenta lucrare sau după capitoul V din [48]. Aceste diafragme foarte puternice reprezintă o greutate în plus pentru paleta de aerogenerator.

Paletele aerogeneratorelor cu ax orizontal de putere mică, medie și mare pot fi considerate ca palete cu lonjeroane și înveliș portant, respectiv lonjeroane lise și înveliș portant.

Dacă în aceste situații se neglijează torsionarea constructivă în lungul paletelor, respectiv se admit ipotezele sim-

simplificatoare ale Rezistenței materialelor se pot aplica principiile de calcul prezentate în [43]. Problemele fundamentale care apar în calculul paletei cu înveliș portant sînt: gradul de nedeterminare statică cu ipotezele simplificatoare care pot fi făcute, gradul de participare a învelitului la producerea eforturilor și dinamica deformațiilor secțiunii traversale.

În paragraful 4.2 (relațiile 4.7) s-a presupus cunoscută poziția lonjeroanelor în raport cu axul paletei, în felul acesta eliminînd mai multe necunoscute ale problemei. Dacă poziția lonjeroanelor este variabilă (necunoscută) față de ax, problema devine static nedeterminată. După [48] nedeterminarea statică pentru cazul unei structuri cu trei lonjeroane este (vezi fig. 4.1). În cazul paletei pentru aerogeneratoare cu ax orizontal, secțiunea are forma în fig. 4.8 numărul necunoscutelor este (n=21) dacă nu este legat printr-un perete longitudinal de înveliș și (n=25) dacă axul este legat printr-un perete longitudinal de înveliș.

Din acest număr de necunoscute se poate elimina cîteva dacă se pun unele condiții de deformare a elementelor structurii (vezi relațiile 4.8; 4.10; 4.11; 4.12; etc).

În plus, unele necunoscute pot fi alase arbitrare, astfel ca solicitările și apoi dimensiunile structurii.

Așa cum se precizează în [15] și [38] o astfel de structură va fi rigidă și va va prezenta o rigiditate maximă la solicitările exterioare. Evitarea unei astfel de rigide poate fi realizată dacă se exclude axul în care se deplasează elementele generatoare (vezi fig. 4.8) sau reciproc.

A presupune variabilă ipoteza (4.15) conduce la faptul că efortul este produs numai de lonjeroane proporțional cu rigiditatea lor la încovîiere, este același lucru cu o presupunere că rezultanta forțelor exterioare acționează în centrul de înclinare a cărui poziție nu se cunoaște. Dar, această ultimă ipoteză ne admite să scriem relațiile (4.17) care nu arată că forța tăietoare se repartizează la lonjeroane proporțional cu rigiditatea la tîiere a acestora.

În aceste condiții este de înțeles că rigiditatea nu se poate deforma contribuția învelitului la producerea încălzirilor.

Rezolvarea problemei discutate presupune să se scrie

lîngă cele patru ecuații de echilibru static minim (12) respectiv (14) ecuații de deformaibilitate și aceasta în con-

știle în care se ține seama de relațiile 4.15 și 4.17.

Notațiile de deformabilitate trebuie să ia în considerare și aportul învelitorii.

Am văzut efectul sarcinilor exterioare pe palca așezată într-o stare de deformare apăsătoare. În acest caz, în general, este vorba de o deformare prin tângere a deformărilor  $[d_{ij}]$  care are trei direcții principale de deformare  $[D]$ . Dacă se urmărește efectul de lucru a unei palete pentru așezarea ei cu o anumită formă, ca o construcție cu pereți subțiri, se poate conchide din procesul de deformare raportată majoritatea ipotezelor de bază a barelor cu pereți subțiri. Aceste ipoteze sînt prezentate în lucrările [59],[57] și [56] și ele pot fi acceptate în cazul mari și pentru construcția paletei, ca o construcție cu pereți subțiri.

Deci, în procesul de deformare, o secțiune transversală a paletei are o deplasare de translație  $(u)$  după axa  $x$  și o rotație  $(\theta)$  în direcția axei  $y$  respectiv o rotație  $(\varphi)$  în jurul axei  $z$ . În urma acestor deplasări paleta suferă deplasări în secțiunile de componentă  $(w)$  datorită prezentei necoerenței paletei în clauza de prindere la butuc și o deformare locală a secțiunii transversale. Cele patru componente ale deplasării descriu procesul de deformare a paletei care poate fi reprezentat simbolic prin ecuația (4.73):

$$[D] = [R(u,v)] + [R(\theta)] + [D_p] + [D_c] \quad (4.73)$$

În realitate nu este tocmai valabilă ipoteza că secțiunile transversale în direcția lor își păstrează forma geometrică a conturului, deplasîndu-se și rotindu-se ca niște sisteme rigide, putem accepta această ipoteză ca valabilă.

Dacă se presupune că și deplasarea secțiunii transversale este constantă, ecuația (4.73) are următoarea formă:

$$[D] = [R(u,v)] + [R(\theta)] \quad (4.73')$$

Membrul subparantezului (4.73.1) se va analiza tot în cadrul relației (4.73) deci și influența deplasării variabile  $(w)$  și a rotațiilor, determinînd partenerul corespunzător al deplasării unitare din structura. De la început se presupune că se va face numai cu deformările elastice iar deformările plastice sînt descrise prin supraapunerea deformărilor elastice ale elementelor de construcție componente. Aceste deformări trebuie să fie compatibile cu legăturile exist



tante între elementele componente ale paletei.

Această descompunere a paletei în elemente componente se face asemănător cu descompunerea aripii de avion prezentată în [43].

Cunoașterea posibilităților de deformare a paletei cere mai întâi descompunerea acesteia în elemente simple care pot fi: elemente cu pereți subțiri profil deschis (elementul de la bordul de atac până la primul lănceron sau până la primul lănceron cu secțiune transversală deschisă, respectiv elementul de la bordul de fugă la ultimul lănceron, tot element cu secțiune deschisă) și elemente cu pereți subțiri profil închis (cheșoanele dintre lănceroane respectiv dintre lănceroane și ax).

Cunoașterea comportării acestor elemente simple sub solicitările exterioare permite o alegere corectă a necunoscutelor, și o asamblare corectă a acestor elemente simple în ansamblu, ținând seamă de condițiile de deformabilitate în jurul liniilor de legătură. Spre exemplu o secțiune transversală multichesonată supusă la răsucire (în condițiile de la fig. 7.22) trebuie să se rotească în jurul centrului de tăiere al unei din cele (n) cheșoane care formează secțiunea transversală să aibă același unghi de rotație ( $\theta$ ). Această condiție este folosită în paragraful precedent la determinarea dimensiunilor de forfecare pentru secțiuni transversale multichesonate.

Aportul învelitorii la prelucrare momentul încovoiător și a forței tăietoare este o altă problemă fundamentală în calculul structurii paletei.

Deoarece fibrele înveligului lucrează diferit de o parte și alta a axei pentru a secțiunii transversale ele trebuie să fie analizate separat.

Fibrele învelitorii din zona întinsă lucrează în întințire cu întreaga secțiune (notă) și nu ridică probleme deosebite de dimensionare și verificare.

Fibrele învelitorii din zona comprimată constituie o problemă la dimensionare, deoarece apare fenomenul de voințare a panourilor de învelitoare marginite de lise și de distorsiune.

Învelitoarea realizată din tablă liasă are o problemă de calcul la lănceroane și la ax, ca în general o problemă



și înălțimea și cu mult înaintea celorlalte elemente ale învelișului. După [48] figura de înveliș, din zona comprimată, care se deformează împreună cu talpa lonjeroanelor și cu lisele de forță la preluarea momentelor încovoietoare are lățimea  $d \approx 25 t$  în dreapta și stânga tălpilor lonjeroanelor ( $t$  fiind grosimea învelișului).

#### 4.3.1. Calculul de rezistență a paletelor în ipoteza de bază cu pereți subțiri

Principiul fenomen care se soluționează pe baza acestei teorii este cel generat de solicitarea de răsucire. Fiind vorba de răsucire, evident vom avea cazul secțiunilor transversale simplu conexe, deci a barelor cu pereți subțiri profil deschis și cel al secțiunilor dublu conexe sau multiplu conexe, deci al profilurilor închise.

##### 4.3.1.1. Calculul de rezistență al paletelor în ipoteza de bază cu pereți subțiri; bare cu profil deschis.

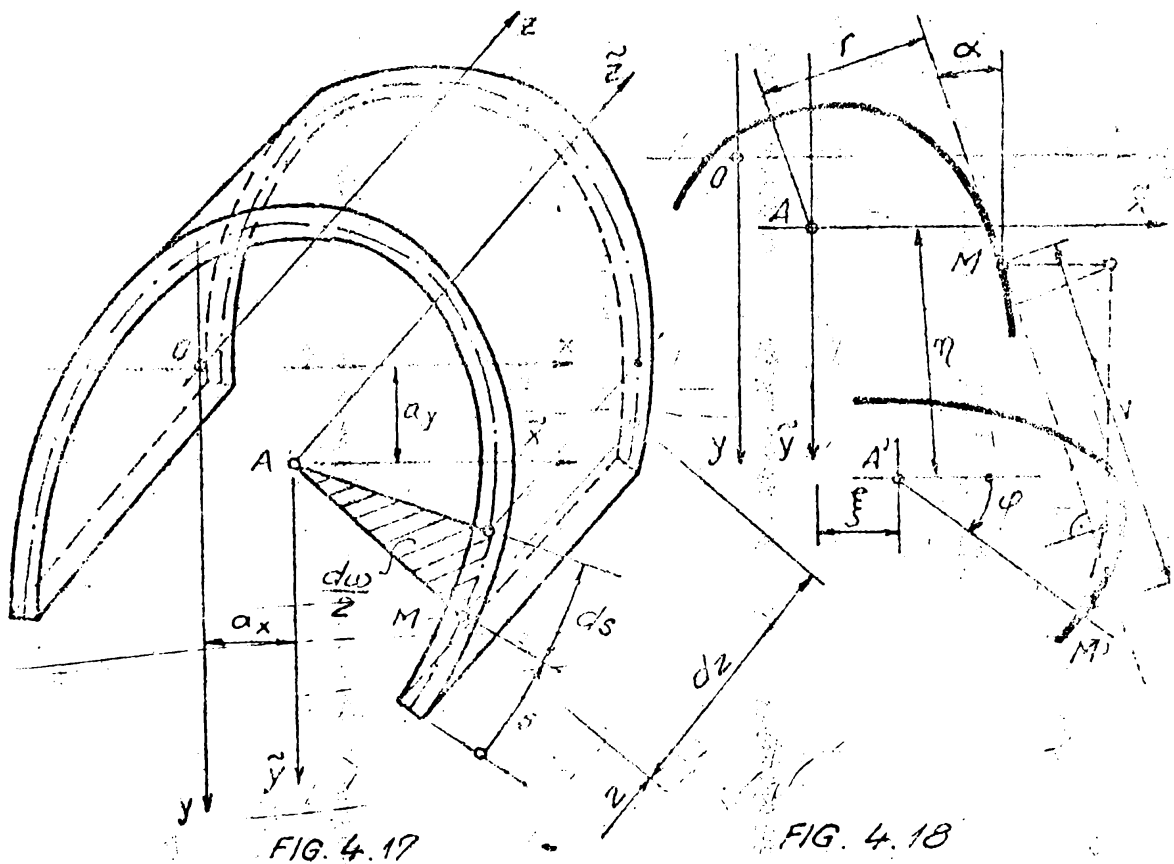
Trăirea răsucirii, ca răsucire liberă (vezi paragraful 4.2) nu este conformă cu realitatea deoarece momentul de răsucire din încărcările exterioare nu este constant în lungul paletelor, iar deplasarea secțiunilor transversale este împiedicată prin condițiile de rezemare (încăstrarea structurii în flanșe și prinderea la butuc) și prin variația dimensiunilor secțiunii transversale în lungul ei. Efectul de variație al secțiunii transversale în lungul paletelor va fi tratat separat și înțeles pe lângă celelalte efecte în baza principiului suprapunerii efectelor. Plecând de la definiția de bază cu pereți subțiri [56],[57],[59], solicitările  $N_x, M_x, M_y, T_x$  și  $T_y$  se pot scrie în funcție de răsucire  $H_p$  se poate calcula și deplasarea centrului de greutate al secțiunii transversale. Dacă luăm în considerare faptul că prin definiție grosimea pereților secțiunii transversale a barelor cu pereți subțiri este mică comparativ cu dimensiunile generale ale secțiunii transversale (ipoteza este valabilă pentru tot pentru pereții secțiunilor transversale simple și duble), efortul unitar tangențial care are o direcție paralelă cu linia mediană a profilului, va fi constant pe grosimea peretelui sau va avea o variație liniară funcție de tipul răsucirii. În general, necunoscutele problemelor în afară de solicitările sunt deformațiile și respectiv deplasările care pentru

secțiunea transversală se reduce la trei [56],[57],[59],[48] :deplasările secțiunii transversale în direcțiile celor două axe de coordonate  $\xi(z)$  în direcția axei Ox și  $\eta(z)$  în direcția axei Oy și o rotație ( $\varphi$ ), față de centrul de tăiere care urmează să se determine.

a) Relațiile geometrice. Deplasarea  $v(z,s)$  a punctului (M) după tangenta la linia mediană va fi exprimată în funcție de deplasările punctului A (Fig.4.10) și rotației  $\varphi(z)$ .

$$v(z,s) = \eta(z) \cos \alpha(s) + \xi(z) \sin \alpha(s) + \varphi(z) \cdot r(s) \quad (4.74)$$

Deplasarea longitudinală  $w(z,s)$  este dirijată după axa barei (Oz).



Condiția de compatibilitate pentru deformația specifică de lucrare scrisă în deplasări are forma:

$$\frac{\partial w}{\partial z, s} = \frac{\partial w}{\partial s} + \frac{\partial v}{\partial z} = 0 \quad (4.75)$$

De unde prin integrare se obține:

$$w(z,s) = w_0(z) - \int_0^s \frac{\partial v}{\partial z} \cdot ds \quad (4.76)$$

unde:

$w_0(z)$  - este o funcție de  $(z)$  și are rolul unei constante de integrare. Dacă se fac notațiile:

$\cos \alpha = \frac{dy}{ds}$  și  $\sin \alpha = \frac{dx}{ds}$ ;  $rds = d\omega$  atunci pentru deplasarea  $w(z,s)$  obținem:

$$w(z,s) = w_0(z) - \eta'(z) \cdot y - \xi'(z) \cdot x - \varphi'(z) \cdot \omega \quad (4.77)$$

unde:

$\omega$  - poartă numele de suprafață sector.

Considerațiile geometrice expuse depind de gase mărimi arbitrare și anume: originea sistemului de axe  $xOy$  și direcția razei, coordonatele polului ales  $A(a_x, a_y)$  și direcția razei vectoriale origine.

Dacă sistemul de axe are originea în centrul de greutate al secțiunii transversale și axele  $Ox$  și  $Oy$  sînt chiar axele principale de inerție atunci:

$$\int_A y dA = 0; \int_A x dA = 0; \int_A xy dA = 0 \quad (4.78+4.80)$$

Dacă și originea de măsurare a suprafețelor sector precum și direcția razei vectoriale origine se aleg de așa natură încît:

$$\int_A x dA = 0; \int_A y dA = 0; \int_A x y dA = 0; \quad (4.81+4.83)$$

atunci înseamnă că punctul  $A(a_x, a_y)$  este identic cu centrul de tăiere al secțiunii transversale iar direcția razei vectoriale origine pentru măsurarea suprafețelor sectoriale este definită de punctul sectorial neutru.

Determinarea centrului de tăiere și a punctului sectorial este prezentată pe larg în lucrările [48],[56],[57],[59], etc.

b) Relațiile fizice. Considerentele strict geometrice expuse sînt bazate pe ipoteza nedeformabilității liniei mediane a secțiunii transversale și pe neglijarea deformației de torsiune din suprafața mediană. Avînd expresiile deplasărilor se pot determina deformațiile specifice, apoi ținînd seama de legea lui Hooke, rezultă:

$$\sigma_z = E \frac{\partial w}{\partial z} = -E \eta'' \cdot y - E \xi'' \cdot x - E \psi'' \cdot \omega + E w_0' \quad (4.84)$$

c. Relații de echilibru. Dacă se scrie echilibrul unui element diferențial  $ds$ ,  $dz$  ca cel din fig. 4.17 pe care se introduce acțiunea corpului înălțurat, precum și încărcările exterioare se obține tensiunea tangențială ( $\tau_{zs}$ )

$$\tau_{zs} = \tau_{sz} = \frac{1}{l} \left[ f(z) - \int_0^s p_z \cdot ds - \int_0^s \frac{\partial \sigma_z}{\partial z} \cdot t \cdot ds \right] \quad (4.85)$$

Ținând seama de 4.84 rezultă:

$$\tau_{zs} = \frac{1}{l} \left[ f(z) - \int_0^s p_z \cdot ds + E \eta''' \int_0^s y dA + E \xi''' \int_0^s x dA + E \psi''' \int_0^s \omega dA - E w_0'' \int_0^s dA \right] \quad (4.86)$$

unde:  $f(x)$  este o funcție de integrare și poate fi determinată ținând seama de condițiile de încărcare ale fețelor longitudinale de capăt ale secțiunii.

d. Condiții statice. Cunoscând relațiile dintre sollicitări (eforturi) și eforturile unitare și introducând în ele expresia tensiunilor rezultă:

$$N_z = \int_A \sigma_z \cdot dA = -E \eta'' \int_A y dA - E \xi'' \int_A x dA - E \psi'' \int_A \omega dA + E w_0' \int_A dA; \quad (4.87)$$

$$M_x = \int_A \sigma_z \cdot y \cdot dA = -E \eta'' \int_A y^2 dA - E \xi'' \int_A x y dA - E \psi'' \int_A \omega y dA + E w_0' \int_A y dA \quad (4.88)$$

$$M_y = \int_A \sigma_z \cdot x \cdot dA = -E \eta'' \int_A y \cdot x dA - E \xi'' \int_A x^2 dA - E \psi'' \int_A \omega x dA + E w_0' \int_A x dA \quad (4.89)$$

$$E = \int_A \sigma_z \cdot \omega \cdot dA = -E \eta'' \int_A \omega \cdot y \cdot dA - E \xi'' \int_A \omega x dA - E \psi'' \int_A \omega^2 \cdot dA + E w_0' \int_A \omega dA \quad (4.90)$$

Dacă sistemul de referință  $xOy$  este un sistem central principal în care sînt valabile relațiile (4.78, 4.80) și (4.81, 4.83) atunci rezultă:

$$N_z = A \cdot E \cdot w_0' ; M_x = -E \cdot I_x \cdot \eta'' ; M_y = E \cdot I_y \cdot \xi'' \quad (4.91-4.96)$$

$$B = -E \cdot I_\omega \cdot \psi'' ; T_y = -E \cdot I_x \cdot \eta'' ; T_x = -E \cdot I_y \cdot \xi''$$

Din aceste relații se exprimă necunoscutele și se introduc în expresia eforturilor unitare care sînt de forma:

$$\sigma_z = \frac{N_z}{A} + \frac{M_x}{I_x} y + \frac{B(\omega)}{I_\omega} \cdot \omega + \frac{M_y}{I_y} x \quad (4.97)$$

$$\tau_{zs} = - \left[ \frac{T_y \cdot S_x}{I_x \cdot t} + \frac{T_x \cdot S_y}{I_y \cdot t} + \frac{M_\omega \cdot S_\omega}{I_\omega \cdot t} \right] \quad (4.98)$$

unde:

$$-M_\omega = \frac{dB}{dz} \cdot$$

Dacă sistemul de referință  $xOy$  ar fi un sistem central carecarea  $\bar{x}O\bar{y}$  iar pentru centrul de măsurare a suprafețelor sector se ia centrul de tăiere adică cel pentru care sînt satisfăcute condițiile (4.81+ 4.83) rezultă:

$$N_z = A \cdot E \cdot w_0' ; B = -E \cdot I_\omega \cdot \psi''$$

$$M_x = -E \cdot I_{\bar{x}} \cdot \eta'' - E \cdot I_{\bar{x}\bar{y}} \cdot \xi'' \quad (4.99+ 4.102)$$

$$M_y = -E \cdot I_{\bar{y}} \cdot \eta'' - E \cdot I_{\bar{x}\bar{y}} \cdot \xi''$$

Rezolvînd sistemul în funcție de  $\eta''$  și  $\xi''$  rezultă:

$$E \eta'' = \frac{M_x \cdot I_{\bar{y}} - M_y \cdot I_{\bar{x}\bar{y}}}{I_{\bar{x}\bar{y}}^2 - I_{\bar{x}} \cdot I_{\bar{y}}} \quad (4.103)$$

$$E \xi'' = \frac{M_x \cdot I_{\bar{x}\bar{y}} - M_y \cdot I_{\bar{x}}}{I_{\bar{x}} \cdot I_{\bar{y}} - I_{\bar{x}\bar{y}}^2} \quad (4.104)$$

Introducînd aceste expresii în relația efortului unitar normal  $\sigma_z$  (4.84) rezultă:

$$\sigma_z = \frac{M_x \cdot I_{\bar{y}} - M_y \cdot I_{\bar{x}\bar{y}}}{I_{\bar{x}\bar{y}}^2 - I_{\bar{x}} \cdot I_{\bar{y}}} y + \frac{M_x \cdot I_{\bar{x}\bar{y}} - M_y \cdot I_{\bar{x}}}{I_{\bar{x}} \cdot I_{\bar{y}} - I_{\bar{x}\bar{y}}^2} x + \frac{B(\omega)}{I_\omega} \omega + \frac{N_z}{A} \quad (4.105)$$

În relația (4.105) termenul  $(B\omega/I_\omega) \cdot \omega$  reprezintă valoarea eforturilor unitare normale suplimentare rezultante ca urmare a rîncirii împiedicate. Acest efort variază de secțiune

transversală la fel ca suprafața sector ( $\omega$ ). Suprafața sector ( $\omega$ ) și momentul de inerție ( $I_{\omega}$ ) se determină în aceleași condiții (4.104, 4.105). Respectarea condițiilor de sus amintite rezultă determinarea centrului de tăiere ale cărui coordonate sunt:

$$a_{\bar{x}} = b_{\bar{x}} + \frac{I_{\bar{y}\bar{x}} \int_A \omega_B \bar{x} dA - I_{\bar{y}} \int_A \omega_B \bar{y} dA}{I_{\bar{y}} \cdot I_{\bar{x}} - I_{\bar{x}\bar{y}}^2} \quad (4.106)$$

$$a_{\bar{y}} = b_{\bar{y}} + \frac{I_{\bar{y}\bar{x}} \int_A \omega_B \bar{y} dA - I_{\bar{x}} \int_A \omega_B \bar{x} dA}{I_{\bar{x}} \cdot I_{\bar{y}} - I_{\bar{x}\bar{y}}^2} \quad (4.107)$$

Dacă sistemul de axe devine sistem principal, poziția centrului de forfecare devine:

$$a_{\bar{x}} = b_{\bar{x}} - \frac{I_{\bar{y}} \int_A \omega_B \bar{y} dA}{I_{\bar{x}} \cdot I_{\bar{y}}} \quad (4.108)$$

$$a_{\bar{y}} = b_{\bar{y}} - \frac{I_{\bar{x}} \int_A \omega_B \bar{x} dA}{I_{\bar{x}} \cdot I_{\bar{y}}} \quad (4.109)$$

Pentru obținerea fluxului de forfecare se pleacă de la relația bine cunoscută,

$$\tau \cdot t = q = \int \frac{d\Omega}{dz} \cdot dA = \int \frac{d\Omega}{dz} \cdot t \cdot ds \quad (4.110)$$

în care se introduce expresia (4.105) derivată și se obține rezultat:

$$\tau \cdot t = q = \frac{T_{\bar{y}} \cdot I_{\bar{y}} - T_{\bar{x}} \cdot I_{\bar{x}\bar{y}}}{I_{\bar{x}} \cdot I_{\bar{y}} - I_{\bar{x}\bar{y}}^2} \cdot S_{\bar{x}} + \frac{T_{\bar{y}} \cdot I_{\bar{x}\bar{y}} - T_{\bar{x}} \cdot I_{\bar{x}}}{I_{\bar{x}} \cdot I_{\bar{y}} - I_{\bar{x}\bar{y}}^2} \cdot S_{\bar{y}} + \frac{M_{\omega} \cdot S_{\omega}}{I_{\omega}} \quad (4.111)$$

unde:

$M_{\omega}$  - este momentul de încovoiere-răsucire, legat de bimoment prin relația:

$$M_{\omega} = \frac{dB}{dz} \quad (4.112)$$

În baza relațiilor de mai sus, și cunoscând că momentul total ( $M_z = M_T = M_{\omega} + M_t$ ) se poate scrie cunoscuta relație de răsucire:

$$\varphi^{IV} EI_{\omega} - \varphi'' \cdot GI_D = m \cdot z \quad (4.113)$$

de-a se zice:

$$m_z = \frac{dM_z}{dz} = \frac{dM}{dz} \quad (4.114)$$

Se tin (4.113) poate fi pusă sub formă (4.115) dacă se notează  $\mathcal{N} = GI_d / (EI\omega)$ , unde  $GI_d$  este rigiditatea la răsucire liberă a barei.

$$\varphi^{IV} + \mathcal{N}\varphi'' = m_z / (EI\omega) \quad (4.115)$$

Parametrul ( $\mathcal{N}$ ) permite stabilirea unui criteriu care privește la ce măsură și dacă trebuie luată în considerare răsucirea împiedicată. Astfel, dacă ( $\mathcal{N}$ ) este cuprins între 0,5 și 2 răsucirea împiedicată domină fenomenul, celelalte răsuciri fiind de fapt de neglijabilă. Pentru valori ale lui ( $\mathcal{N}$ ) cuprinse între 2 și 5 răsucirea împiedicată are efecte mai mari decât răsucirea liberă dar acestea din urmă nu poate fi neglijată. Dacă ( $\mathcal{N}$ ) are valori cuprinse între 5 și 10 răsucirea liberă are ponderea maximă. Dacă valoarea lui ( $\mathcal{N}$ ) este mai mare decât 10, răsucirea împiedicată nu mai are nici o pondere și poate fi neglijată.

#### 4.1.1. Calculul de rezistență al paletei în ipoteza de bară cu pereți subțiri; bară cu profil deschis.

Sare deosebire de răsucirea împiedicată a barelor cu pereți subțiri profil deschis, unde există o ipoteză de calcul unificată, la barele cu pereți subțiri profil închis, nu există o astfel de ipoteză de calcul.

Ipoteza utilizată pentru profilele deschise nu mai poate fi aplicată în cazul profilelor închise deoarece deformările în forfecare sînt de același ordin de mărime cu deformările produse de celelalte solicitări. Așa cum se specifică în lucrările [59], [56] și [48]<sup>2</sup> pentru construcții aeronautice există o ipoteză care permite stabilirea unei abordări unitare a problemei.

Avînd în vedere că există totuși unele asemănări principale între paletele aerogeneratoarelor cu ax orizontal și aripile de zbor, se poate accepta pentru calculaceastă ipoteză care este acceptată în construcțiile aeronautice.

Acastă ipoteză este cunoscută ca ipoteza lui Umanski conform

căreia deplanarea în cazul răsucirii împiedicate este proporțională cu deplanarea în cazul răsucirii libere, evident pentru același element și aceeași secțiune transversală.

Soluționarea problemei constă în stabilirea deformațiilor unui profil închis, în primul rând a deplanării în cazul răsucirii libere. Plecând de la expresia deformației unghiulare și ținând seama de legea lui Hooke se poate scrie:

$$\gamma_{s,z} = \frac{\partial w}{\partial s} + \frac{\partial v}{\partial z} = \frac{\tau}{G}; \quad (4.116)$$

În expresia (4.116) se introduce efortul unitar tangențial ( $\tau$ ) care provine din răsucire liberă și rezultă:

$$\frac{\partial w}{\partial s} + r \cdot \varphi' = \frac{M_t}{2G\Omega t}. \quad (4.117)$$

Integrând ecuația și extinzând-o pe tot conturul închis al liniei mediane la secțiunii transversale se obține:

$$w = w_0 = \bar{w}_0 + \frac{M_t}{2G\Omega} \oint \frac{ds}{t} - \varphi' \cdot 2\Omega. \quad (4.118)$$

Din relația (4.118) rezultă ( $M_t$ ) care poate fi introdus în expresia deplasării ( $w$ ) care va fi:

$$w = w_0 - \varphi' \left[ \int r ds - \frac{2\Omega}{\oint \frac{ds}{t}} \int \frac{ds}{t} \right]. \quad (4.119)$$

Dacă se notează deplasarea unitară cu  $\bar{\omega}$  atunci relația (4.119) va căpăta forma

$$w = w_0 - \varphi' \cdot \bar{\omega} \quad (4.120)$$

unde:

$$\bar{\omega} = \int r \cdot ds - \frac{2\Omega}{\oint \frac{ds}{t}} \int \frac{ds}{t} \quad (4.121)$$

Ținând seama de ipoteza lui Umanski, deplanarea împiedicată va fi:

$$w = w_0 - \beta' \bar{\omega} \quad (4.122)$$

Cu acesta se poate exprima efortul unitar normal

$$\sigma_x = E \frac{\partial}{\partial z} (w_0 - \beta' \bar{\omega}) \quad (4.123)$$



Ținând seama numai de răsucirea împiedicată pe secțiunea transversală ( $N=0$ ,  $M_x = 0$ ; și  $M_y = 0$ ;  $B_{\bar{\omega}} \neq 0$ ) rezultă:

$$B_{\bar{\omega}} = \int_A \sigma_{\bar{\omega}} dA = Ew_0' \int \bar{\omega} dA - \beta'' E \int \bar{\omega}^2 dA \quad (4.124)$$

Alegînd un sistem central și centrul de tăiere ca centru de reducere a rotirilor rezultă:

$$B_{\bar{\omega}} = -\beta'' EI_{\bar{\omega}} \quad (4.125)$$

Relație (4.125) ne permite să determinăm bimomentul cu ajutorul căruia se determină efortul unitar normal suplimentar ( $\sigma_{\bar{\omega}}$ ) produs de răsucirea împiedicată.

Determinarea fluxurilor unitare tangențiale, respectiv a fluxurilor de forfecare se face plecînd de la ecuația de echilibru

$$\frac{\partial(\sigma_{\bar{t}})}{\partial z} + \frac{\partial(\tau_{\bar{t}})}{\partial s} = 0 \quad (4.126)$$

de unde:

$$q = q_0 - M_{\bar{\omega}} S_{\bar{\omega}} / I_{\bar{\omega}} \quad (4.127)$$

Dacă se ține seama de conturul secțiunii transversale se poate determina ( $q_0$ ) și apoi fluxul de forfecare ( $q$ )

$$q = \frac{M_t}{2\Omega} - \frac{M_{\bar{\omega}}}{I_{\bar{\omega}}} \left[ S_{\bar{\omega}} - \frac{\int S_{\bar{\omega}} d\bar{\omega}}{2\Omega} \right] \quad (4.128)$$

Pentru determinarea bimomentului deplanării unitare  $B_{\bar{\omega}}$  este necesar să determinăm funcția  $\beta$  și unghiul de răsucire  $\varphi$ . Acestea se determină utilizînd o relație de echilibru pentru răsucire și apoi se ține seama de expresia deplasării ( $w$ ) și de faptul că deplasarea în planul secțiunii transversale ( $v$ ) rezultă dintr-o rotație a secțiunii transversale ca un rigid. Forma ecuației obținute este:

$$\varphi'' - \beta'' = -m_t / (GI_c) \quad (4.129)$$

Cea de a doua ecuație se obține plecînd de la ecuația (4.116), după care se ține seama de deplasarea ( $v$ ) și de periodicitatea funcției ( $w$ ) care după ce parcurge odată conturul trebuie să recapete valoarea inițială.

Expresia acestei ecuații este:

$$\beta^{IV} EI_{\bar{\omega}} - \psi'' GI_d = m_t \quad (4.130)$$

Din cele două ecuații (4.129) și (4.130) se poate obține fie o ecuație în  $\beta$  fie o ecuație în  $\psi$ . Aceste ecuații sînt:

$$\psi^{IV} - \frac{\gamma GI_d}{EI_{\bar{\omega}}} \psi'' = \frac{\gamma}{EI_{\bar{\omega}}} m_t - \frac{m_t''}{GI_c} \quad (4.131)$$

$$\beta^{IV} EI_{\bar{\omega}} - \gamma GI_d \beta'' = m_t - m_t (I_d/I_c) \quad (4.132)$$

unde:

$$\gamma = 1 - \frac{I_d}{I_c}$$

Prin rezolvarea ecuației diferențiale a răsucirii (4.131) sau (4.132) se determină necunoscuta  $\psi$  sau  $\beta$ , apoi valoarea efortului unitar suplimentar datorită răsucirii împiedicate cu relația:

$$\sigma_z = B_{\bar{\omega}} \cdot \bar{\omega} / I_{\bar{\omega}} \quad (4.133)$$

Valoarea fluxului de forfecare suplimentar produs în cazul răsucirii împiedicate se determină cu relația (4.128).

Dacă în ecuația (4.131) se face notația (4.134) atunci ecuația diferențială a răsucirii va primi forma adimensională (4.135).

$$\mathcal{K} = (\gamma GI_d) / (EI_{\bar{\omega}}) \quad (4.134)$$

$$\psi^{IV} - \mathcal{K} \psi'' = m_t \gamma / (EI_{\bar{\omega}}) - m_t'' / (GI_c) \quad (4.135)$$

Forma ecuației diferențiale a răsucirii poate fi scrisă astfel:

$$\psi^{IV} - k^2 \psi'' = \gamma m_t / (EI_{\bar{\omega}}) - m_t'' / (GI_c) \quad (4.136)$$

iar soluția generală a ecuației omogene este următoarea:

$$\psi = \psi_0 + \psi_0' z + \frac{\psi_0''}{k^2} [\operatorname{ch}(kz) - 1] + \frac{\psi_0'''}{k^3} [\operatorname{sh}(kz) - kz] \quad (4.137)$$

Acestei soluții, dacă, i se pun condițiile la limită și se introduce condiția de deplasare liberă, sau i se pun condițiile de capăt (liber), obținem:

$$\begin{aligned}
 M_z = & P_0 + P_0 \frac{\text{sh}(kz)}{k} - \frac{B \bar{\omega}_0}{EI_d} [\text{ch}(kz) - 1] - \frac{M_t^0}{kEI_d} [\text{sh}(kz) - kz] + \\
 & + \frac{m_t^0}{k^2 EI_c} [\text{ch}(kz) - 1] + \frac{m_t^0}{k^2 EI_c} [\text{sh}(kz) - kz] + \\
 & + \frac{1}{EI_c} \int_0^z [\text{shk}(z-t) - k(z-t)] \left( \gamma \frac{m_t''(t)}{EI_c} - \frac{m_t'(t)}{EI_c} \right) dt \quad (4.178)
 \end{aligned}$$

Pe baza (4.178) se poate calcula relativ ușor expresia de deplasare care este:

$$\begin{aligned}
 \bar{\omega} = & - \frac{EI_c}{\gamma EI_d} P_0 \text{sh}(kz) + B \bar{\omega}_0 \text{ch}(kz) + \frac{M_t^0}{k} \text{sh}(kz) + \\
 & + \frac{m_t^0}{\gamma EI_c} \left[ 1 - \text{ch}(kz) \right] + \frac{EI_c}{\gamma EI_d} \frac{m_t^0}{EI_c} \text{sh}(kz) - \\
 & - \frac{EI_c}{\gamma k^2} \cdot \frac{\partial^2}{\partial z^2} \left\{ \int_0^z [\text{shk}(z-t)] \left[ \frac{m_t''(t)}{EI_c} - \gamma \frac{m_t'(t)}{EI_c} \right] dt \right\} \quad (4.179)
 \end{aligned}$$

În soluția problemei de vibrații pure s-a avut nevoie de condițiile de margină și limită și de condițiile de continuitate ale problemei de vibrații.

În literatura de specialitate [48], [56], [57], [59] sînt date soluții pentru diverse probleme de vibrații cu aplicabilitate practică, în cea mai mare măsură în construcțiile aeronautice. Aceste soluții sînt acceptate și pentru analiza vibrațiilor paletelor și a structurilor generatoare cu excentricitate cu înveliș portant, cu unele modificări aproximative care de la caz la caz pot să fie sau să nu fie multumitoare. Pentru a putea sebate în evidență surzările pe care trebuie să le acceptăm pentru o structură de paletă, s-au făcut unele studii după tăierea barelor cu pereți subțiri, care s-au publicat în revista principală de mecanică de construcții, la editura de fizică și mecanică a lui Vlasov, Beliaev și Uvarski, precum și a formulălor practice ale lui Kaimann și alții.

4.3.2.3. Considerații generale privind aplicarea teoriei barelor cu pereți subțiri la calculul paletelor pentru generatoarele cu excentricitate.

Teoria barelor cu pereți subțiri, profil deschis, așa cum este prezentată în secțiunea 4.3.2.1., este aplicabilă și în cazul teoriei lui Vlasov.

de peretele să cuprindă întreaga formă unitară următoarele aspecte, caracteristice în procesul de deformare: a) aspectul de deplanare (deversare) al secțiunii transversale cu perturbarea corespunzătoare în starea de eforturi unitare și în starea de deformății specifice; b) aspectul de deplanare variabilă a secțiunilor transversale în lungul grinzii datorită faptului că secțiunea transversală (de la încastrare) este împiedicată să se deplanează și să se rotească.

Teoria barelor cu pereți subțiri profil închis, așa cum a fost expusă în paragraful 4.3.1.2, sau teoria lui Bredt, cuprinde aspectele precizate la punctul a și b pentru profile cu pereți deschisi. În cazul secțiunilor transversale cu contur închis, secțiunea de la încastrare nu se rotește și nu se deplanează, secțiunea de la capătul liber are rotația maximă și deplasarea maximă, iar variația deplanării în lungul chesonului introduce eforturi unitare  $(\sigma, \tau)$  care sînt nule la extremitățile libere și sînt maxime la secțiunea încastrată. În aceste situații se presupune că torsiunea este generată după Saint-Venant care neglijează în raport cu torsiunea de tip Bredt-Leduc. Relațiile lui Bredt-Leduc, demonstrate în [48] pentru răsucirea împiedicată a chesonului cu patru tălpi cu secțiune transversală de triunghi

Bara cu secțiunea transversală cheson este încastrată la un capăt iar la capătul liber este acționată de un moment de răsucire  $(M_T)$ . Chesonul este rigidizat în interior cu o serie de cadre transversale (diaphragme), absolut rigide în planul lor, astfel încît după deformare conturul lor să păstrează forma geometrică inițială, dar avînd o rigiditate mică în sens perpendicular pe planul lor să pot deplana. Deoarece pereții chesonului sînt subțiri în raport cu secțiunea tălpiilor (fig.4.19), este neglijat aportul lor în preluarea eforturilor unitare normale, iar eforturile unitare tangențiale sînt preluate în întregime numai de către acestea. Formulele au fost deduse plecînd de la relațiile de echilibru static a unui element diferențial din bara cheson și ținînd seama de principiul lucrului mecanic de deformăție minim, care a stat la baza determinării necunoscutelelor problemei [48].

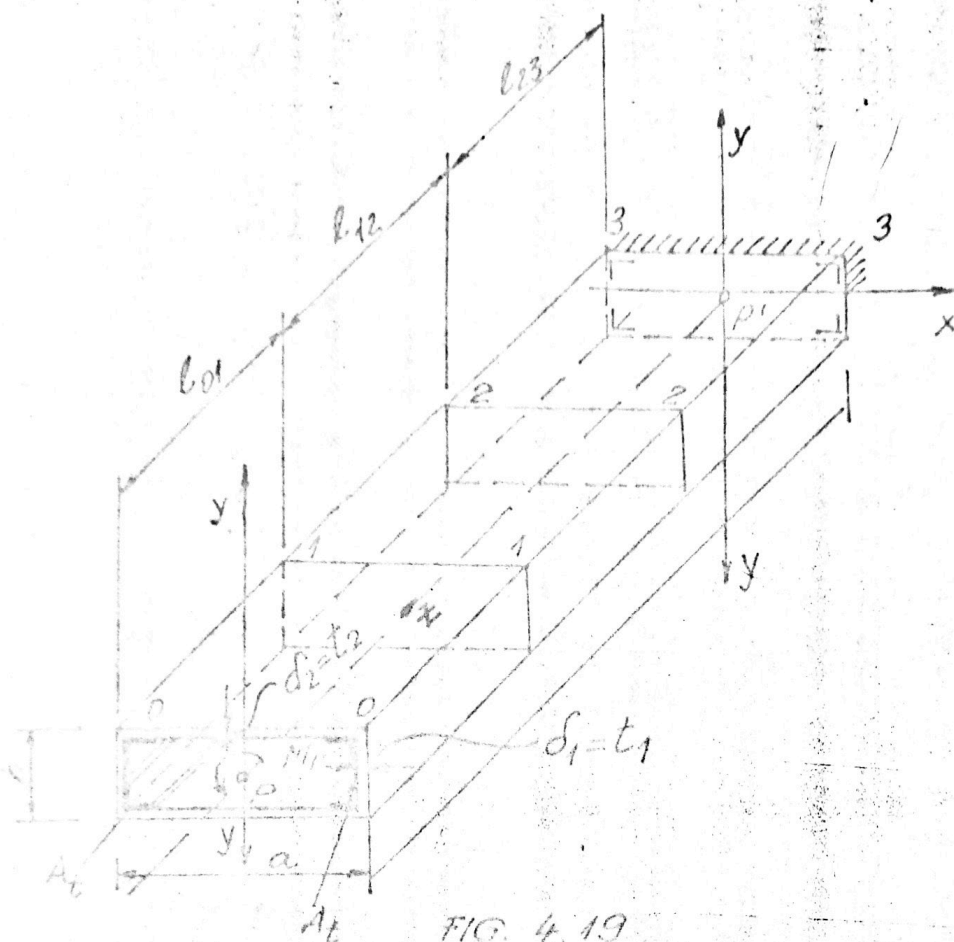


FIG. 4.19

Acste relatii au forma:

$$A_n^* \cdot L_{n-1} + B_n^* \cdot L_n + A_{n+1}^* \cdot L_{n+1} = \frac{q_0(a-h)}{G} \cdot \left( \frac{1}{t_{n,n+1}} - \frac{1}{t_{n-1,n}} \right) \quad (4.140)$$

unde s-a notat cu:

$$A_n = \frac{2}{3} \cdot \frac{l_{n-1,n}}{EA_{n-1,n}} - \frac{a+h}{2G(t \cdot l)_{n-1,n}}$$

$$A_{n+1}^* = \frac{2}{3} \cdot \frac{l_{n+1,n}}{EA_{n+1,n}} - \frac{a+h}{2G(t \cdot l)_{n+1,n}} \quad (4.141)$$

$$B_n^* = \frac{1}{3E} \cdot \left( \frac{l_{n-1,n}}{A_{n-1,n}} + \frac{l_{n,n+1}}{A_{n,n+1}} \right) + \left[ \frac{a+h}{2G} \cdot \frac{1}{(t \cdot l)_{n-1,n}} + \frac{1}{(t \cdot l)_{n,n+1}} \right]$$

Ecuația (4.140) este cunoscută și sub denumirea de ecuația celor trei forțe axiale, datorită asemănării cu ecuațiile celor trei momente din statică. Ecuația (4.140) se scrie pentru fiecare pereche de compartimente iar lângă compartimentul de la încăstrare se mai consideră unul absolut rigid dincolo de încăstrare.

Ecuația celor trei forțe axiale aplicată pentru o grinză cu un capăt încâstrat și rigidizată cu o infinitate de cadre transversale (diaphragme) este tratată în [48] și rezultatul conduce la o

cluzie cu numărul mare de diafragme (cadre transversale) și în acest caz efectul torsiunii împiedicate la o zonă mai restrânsă, în această zonă.

Teoria lui Umancki prezentată în paragraful 4.3.1.2. este aplicată în [48] pentru cazul unui cheson cu o infinitate de diafragme longitudinale și cu multe cadre transversale. Grinda cheson este încleștată la un capăt, liberă la celălalt și încărcată cu momentul de răsucire  $M_p = M_0 + m_t \cdot z$ .

Și în acest caz concluziile rezultate în urma aplicării relațiilor lui Delisev la chesonul cu patru tălpi rămân formale aceleași. Concluzia desprinsă este că în lungul unei generatoare a curburii, eforturile unitare  $\mathcal{S}_\omega$  și fluxul de forfecare  $q$ , variază după o lege hiperbolică pînă la încleștare.

Relațiile [48], [60], [61] sînt prezentate formalizat pe baza relațiilor ale lui Karmann și ale lui Kirate aplicabile pentru secțiunile transversale chesonate (cheson dreptunghiular simplu), în care sînt introduse și normele suplimentare ( $\mathcal{S}_\omega$ ) din răsucire în planul chesonului.

Formulele sînt:

Formula lui Karmann

$$(\mathcal{S}_\omega)_{max} = \frac{2,6 M_t}{t(a+h)^2} \cdot \frac{a-h}{h} ; \quad (4.148)$$

Formula lui Kirate

$$(\mathcal{S}_\omega)_{max} = \frac{5M_t \cdot z_G}{ab(at_2 + ht_1)} \cdot \frac{at_1 - ht_2}{at_1 + ht_2} . \quad (4.149)$$

unde:

$z_G$  - reprezintă distanța de la încleștare pînă în centrul de greutate al diafragmei  $\mathcal{S}_\omega = f(z)$  pentru care se admite o variație parabolică deci,  $z_G \approx \frac{1}{4} l$ ;

$l$  - este lungimea paletii (a consolei).

Pentru celelalte notații din relațiile de mai sus vezi Fig. 4.19.

Teoria barelor cu pereți subțiri profil închis (teoria lui Umancki) se referă la profile care au secțiune constantă în lungul barei, ori secțiunea transversală prin paletă este variabilă pe lungimea ei.

Deși în dreptul unei diafragme curente secțiunea este constantă, ea poate fi considerată că se rotește ca un rigid, fața de deplasarea curentă această ipoteză poate să devină foarte precisă în cazul în care se stabilește nivelul perturbării.



litate de elasticitate. Grosimea pereților care alcătuiesc  
 secțiunea transversală a paletelor poate să fie dife-

In general secțiunea transversală a paletelor pentru aere-  
 plane este formată din două sau mai multe chesoane. De  
 mai multe ori chesonul format de axul paletei este la  
 chesoanele care formează învelitoarea numai prin interac-  
 țiunea diafragmelor care le obligă să se rotească cu același  
 unghi  $\varphi$ . Deci relațiile dezvoltate în capitolul 4.3.1.2 vor  
 rămâne în vigoare pentru tipul secțiunii transversale.

Dacă considerăm că secțiunea transversală este formată  
 din două chesoane independente care se rotească cu același  
 unghi  $\varphi$ , deci problema se rezolvă presupunând că momentul  
 rezistent total este preluat de cele două chesoane

$$M_{\text{c}} = M_{\text{c1}} + M_{\text{c2}} \quad (4.141)$$

vor fi  $w_1(r, z)$  și  $w_2(r, z)$  se calculează cu  
 (4.115) scrisă pentru cele două chesoane dar în condi-  
 țiile de simetrie față de axul  $Ox$  ( $U_1$ ) pentru chesonul interio-  
 ră format de ax și ( $U_2$ ) pentru chesonul exterior format de  
 diafragmă, se calculează din condiția liberă cu relațiile:

$$U_1 = \frac{1}{2} \frac{U_r}{2\pi r_1^2} ; U_2 = \frac{1}{k} \frac{U_r}{2\pi r_2^2} \quad (4.142-4.143)$$

$$k = \sum_{l=1}^n \frac{4 Q_l^2}{\rho_l^2} = \frac{n}{0.1} \quad (4.144)$$

Se scriu apoi funcțiile normale ( $\mathcal{G}_1$ ) și ( $\mathcal{G}_2$ ) pentru  
 cele două chesoane și se determină binomul  $B\bar{\omega}$ ; ( $B\bar{\omega}$ )<sub>1</sub>; ( $B\bar{\omega}$ )<sub>2</sub>  
 din cele două ecuații independente ale răsucirii.

Se determină apoi fluxurile de răsucire de la fiecare de  
 chesonul de formă (4.120) din unul din cele două chesoane  
 (4.116) de această ultimă expresie obținută pentru fluxuri  
 de răsucire unitare tangențiale și de faptul că deplasarea  
 ( $w$ ) este dintr-o relație de rigid se calculează expresia de  
 răsucire  $w_1(r, z)$  și  $w_2(r, z)$  care se integrează pe cele două con-  
 ținând în vedere și deci trebuie să recapete valorile inițiale.  
 În continuare cursul problemei este similar cu cel prezentat în  
 capitolul 4.116).

În cazul în care la relațiile lui Cliaev, acestea sînt date  
 pentru secțiune transversală formată dintr-un singur cheson

și la care tălpile lonjeroanelor care formează chesonul sînt foarte dezvoltate, iar pe lungime variază doar ariile tălpilor și distanța dintre diafragma. Cîi privește relațiile practice (4.142 și 4.143) se poate vedea că nu pot fi decât aproximații făcute pentru porții verticale față de cei orizontali ai chesonului.

Aplicarea relațiilor lui Beliaev, ale lui Karman și ale lui Breda se presupune a accepta aproximații grosolane în rezolvarea problemei. Totuși, aceste relații pot fi acceptate după verificarea rezultatelor obținute cu alte metode cum ar fi [56], etc.

#### 4.3.2. Solicitări suplimentare datorită variației de secțiune

Începutul paragrafului (4.3) a-a enunțat ipotezele de bază care trebuie îndeplinite pentru a se putea aplica relațiile și relațiile rezistenței materialelor. Una din ipotezele de bază care trebuiau îndeplinite este aceea de secțiune constantă în lungul axei orizontale. Această ipoteză nu poate fi satisfăcută în cazul structurilor de rezistență a paletei pentru generatoare cu ax orizontal. În [56] sînt precizate solicitările suplimentare care apar datorită variației de secțiune în lungul grăpii de avion.

Aspectele precizate în [56] rămîn întru totul valabile și în cazul paletelor pentru aerogeneratoare cu ax orizontal. Așa cum se arată în lucrarea menționată solicitări suplimentare apar din momentele încovoietoare din forța tăietoare și din momentul de răsucire.

Relațiile prezentate în [56] și care dau amplasarea solicitărilor rămîn valabile și aplicabile și la structura paletelor pentru aerogeneratoare cu ax orizontal.

#### 4.3.3. Solicitări suplimentare ca urmare a variației de formă a secțiunii transversale.

În cursul stabilirii diferitelor formule de calcul, în baza ipotezele luate în considerare ca reală a fost cea de posibilității secțiunii transversale. S-a presupus că detaliile

structurilor, secțiunile transversale pot avea orice formă, dar, în trei dimensiuni, se pot lua trei axe de coordonate și se pot defini față de acestea și chiar o deplanare funcție de poziție



în planul secțiunii transversale, dar suprafața secțiunii deforma-  
tă proiectată pe planul secțiunii inițiale rămâne aceeași,  
nedeforată. Însă structura, în general este alcătuită din elemente  
de subțiri, care pot fi anumite tipuri de solicitări locale și  
pot prezenta fenomene de instabilitate locală și care modifică  
forma secțiunii transversale. Palata în ansamblul ei poate fi  
solicitată ca o bară cu pereți subțiri supusă la încovoiere cu  
forță unitară și deci există zone în care apar solicitări de  
compresie.

Elementele care pot să flambeze în cazul palatelor pentru  
aerogeneratoare de putere mică sînt: lisele, lonj canale, șurubii  
și învelișurile.

În paragrafele care urmează se face o succintă trecere  
în revistă verificării de stabilitate a acestor elemente.

Pentru palatele aerogeneratoarelor de putere mare la care  
învelișurile sînt alcătuite dintr-o structură de tip sandwich,  
această verificare de stabilitate va fi completată cu rezultatele  
la încercărilor experimentale.

#### 4.3.3.1. Flambajul barelor drepte

Avînd în vedere că marea majoritate a elementelor care al-  
cătuiesc structura de rezistență a palatei pentru aerogenerato-  
are se asamblă cu elementele care alcătuiesc aripa de avion și  
care sînt tratate în [48] și [56] se va face o trecere în revistă  
a principalelor probleme care privesc flambajul barelor drepte  
și se va face trimitere spre rezolvarea de detaliu în lucrările  
menționate. Se știe că problema flambajului este soluționată pe  
cale închisă sau pe cale deschisă. Metodele închise de solu-  
ționare a problemelor de flambaj a barelor, cunoscute de obicei  
sub denumirea de metode analitice sînt dezvoltate pe larg în  
literatură tehnică de specialitate și fac chiar obiectul disci-  
plinilor de cultură generală tehnică, cum este cazul disciplinei  
de Rezistența materialelor și Statica construcțiilor.

Dar așa cum se arată în [56] și [48] pentru dimensionarea  
corectă a barelor dintr-o structură de rezistență din domeniul  
aerodinamic sînt necesare unele completări ale metodelor in-  
chise de flambaj. Aceste completări sînt precizate în cele două  
lucrări menționate mai sus și nu vor face obiectul prezentei  
lucrări. Metodele deschise sînt cunoscute sub denumirea de me-  
tode aproximative și ele sînt utilizate în [56]. Aceste metode  
sînt relativ ușor automatizate și de aici decurg avantajele

unei astfel de soluționări.

#### 4.3.3.2. Flambajul barelor cu pereți subțiri

În paragraful (4.3.1) s-a definit ce înseamnă bară cu pereți subțiri și s-au arătat că fondatorul teoriei liniare a barelor cu pereți subțiri au fost Vlasov, în lucrarea sa fundamentală [54] publicată în anul 1940. Flambajul care se produce cu plătenirea ipotezelor menționate în paragrafele precedente și la începutul acestui paragraf, se va denumi flambaj general [56].

Flambajul care produce o schimbare a formei secțiunii transversale în sensul că o porțiune a profilului urmează să se deformeze independent de restul barei, se va denumi flambaj local.

Barele cu pereți subțiri, profil deschis cu rigiditate de răsucire mică și deci solicitarea de răsucire poate constitui o perturbare inițială pentru apariția fenomenului de nestabilitate elastică; de flambaj prin răsucire. Desigur aceste bare au aceeași caracterul de bară și deci vor prezenta și fenomenul de flambaj de încovoiere, astfel încât în realitate va exista flambaj atât de încovoiere cât și de răsucire,

Pentru aceste corpuri ecuațiile de deformație scrise sub formă generală având în vedere toate cuplurile posibile, cele mai generale de solicitare sînt:

$$EI_x \cdot v^{IV} - [N(v' - \alpha_x \varphi')] + (M_y \cdot \varphi)'' = 0 ;$$

$$EI_y \cdot u^{IV} - [N(u' + \alpha_y \varphi')] + (M_x \cdot \varphi)'' = 0 ;$$

$$EI_\omega \cdot \varphi^{IV} - GI_d \varphi'' - [r_0^2 N + 2\beta_y M_x - 2\beta_x M_y] \varphi'] + \\ + [q_x(\alpha_y - \alpha_x) + q_y(\alpha_y - \alpha_x)] \varphi - \alpha_y (Nu')' + \alpha_x (Mz')' + \\ + M_x \cdot u'' + M_y \cdot v'' = 0 ,$$

unde:  $N$  reprezintă forța axială care se consideră negativă datorită de compresiune;  $\alpha_x, \alpha_y$  sînt coordonatele centrului de tăiere;  $M_x, M_y$  - reprezintă momentele încovoietoare într-o secțiune.

Întrucît  $\alpha_x, \alpha_y$  sînt coordonatele din planul secțiunii transversale ale punctului de aplicare a forțelor axiale externe

( $q_x$  respectiv  $q_y$ ); celelalte coordonate au expresia

$$r_0^2 = \alpha_y^2 + \alpha_x^2 + (I_y + I_x) / A ;$$

$$B_y = \left[ \int y(y^2 + x^2) dA \right] / (2I_x) - a_y \quad (4.149)$$

$$B_x = \left[ \int x(y^2 + x^2) dA \right] / (2I_y) - a_x$$

Soluționarea sistemului (4.148) ne va da o triplă infinită de soluții ( de forțe critice de flambaj), care permită de a căuta metode de obținere a soluțiilor diferite de soluțiile banale. Pornind de la aceste ecuații generale, prin particularizare, se vor obține diferite cazuri care permit anumite soluționări simple.

#### 4.3.3.2.1. Bare comprimate centric

În cazul barelor comprimate centric se consideră  $N = P$  și  $a_y = a_x = 0$  de asemenea se consideră că nu există alte tipuri de forțe.

Pentru bare a căror secțiune transversală nu are la capete nici unghiul recte la capete, iar capetele sînt libere să se rotească după care barei și de aceea, deplasarea secțiunii transversale este liberă.

Pentru acest caz forțele critice obținute sînt:

$$P_{xf} = n^2 \cdot \tilde{\Pi}^2 EI_x / l^2$$

$$P_{yf} = n^2 \cdot \tilde{\Pi}^2 EI_y / l^2 \quad (4.150-4.151)$$

$$P_{\omega f} = (n^2 \cdot \tilde{\Pi}^2 EI_{\omega} / l^2 + GI_d) (1/T_p)$$

$$n=1,2,3,\dots$$

Valoarea minimă este forța critică a barei.

Pentru bare a căror secțiune transversală prezintă un grad de simetrie, cele trei serii de forțe critice de flambaj au următoarele expresii:

$$P_{1f} = P_{xf}; \quad (4.153)$$

$$P_{2f} = \frac{1}{2(r_0^2 - a_x^2)} \left[ (P_{xf} + P_{\omega f}) r_0^2 - \sqrt{(P_{xf} + P_{\omega f})^2 r_0^2 - 4(r_0^2 - a_x^2) r_0^2 P_{xf} P_{\omega f}} \right] \quad (4.154)$$

$$P_{3f} = \frac{1}{2(r_0^2 - a_x^2)} \left[ (P_{xf} + P_{\omega f}) r_0^2 + \sqrt{(P_{xf} + P_{\omega f})^2 r_0^2 - 4(r_0^2 - a_x^2) r_0^2 P_{xf} P_{\omega f}} \right] \quad (4.155)$$

Pentru cazul cel mai general, cel la care secțiunea transversală a barei nu prezintă nici o axă de simetrie, expresiile forțelor critice de flambaj vor fi de forma [56]

$$P_{1f} = q_1 A_2 / (3A_3); P_{2f} = q_2 A_2 / (3A_3); P_{3f} = q_3 A_2 / (3A_3) \quad (4.156)$$

unde s-a notat:

$$q_1 = 2\sqrt{|B_1|} \cos \varphi; \quad q_2 = 2\sqrt{|B_1|} \cos \left( \frac{2\pi}{3} + \varphi \right);$$

$$q_3 = 2\sqrt{|B_1|} \cos \left( \frac{2\pi}{3} - \varphi \right); \quad \cos 3\varphi = - \frac{B_0}{|B_1|^{3/2}};$$

$$B_0 = \frac{1}{27} \left( \frac{A_2}{A_3} \right)^2 - \frac{1}{6} \cdot \frac{A_1 \cdot A_2}{A_3^2} + \frac{A_0}{2A_3} \quad (5.157)$$

$$B_1 = \frac{1}{3} \cdot \frac{A_1}{A_3} - \frac{1}{9} \left( \frac{A_2}{A_3} \right)^3; \quad A_0 = P_x P_y P_\omega r_0^2;$$

$$A_1 = (P_x P_y + P_y P_\omega + P_x P_\omega) r_0^2; \quad A_2 = (P_x + P_y + P_\omega) r_0^2 - a_y^2 P_x a_x^2 P_y;$$

$$A_3 = a_x^2 + a_y^2 - r_0^2$$

4.3.3.2.2. Flambajul barelor cu pereți subțiri la compresiune și încovoiere

Este cazul în care pe lângă forță axială  $P$ , la capetele barei acționează și momente încovoietoare concentrate. Pentru rezolvarea problemei dacă  $M_x$  și  $M_y$  sînt momentele concentrate la capetele barei și  $P$  forța axială în condiții de rezemare diferite se pot întâlni următoarele cazuri: 1. În primul rînd este cazul flambajului sub forțe excentrice pentru bara articulată la capete:

$$M_y = P \cdot e_x; \quad M_x = -P \cdot e_y; \quad P = P.$$

Forța critică rezultă din condiția:

$EI_x \pi^2 / l^2 - P$	$\sigma$	$P(e_x - e_x)$	= 0; (4.158)
0	$EI_y \pi^2 / l^2 - P$	$P(e_y - e_y)$	
$P(e_x - e_x)$	$-P(e_y - e_y)$	$EI_\omega \pi^2 / l^2 + GI_d - 2Pe_x \beta_x - 2Pe_y \beta_y$	

2. Un alt caz important este cel al compresiunii în care forța axială se aplică în centrul de forfecare.

În acest caz cele trei ecuații diferențiale de deformare se decuplează și va exista un flambaj exclusiv de răsucire iar forța critică va avea forma (4.152).

Dacă bara prezintă un plan de simetrie și forța excentrică acționează în acest plan, atunci flambajul în planul de simetrie este independent de răsucire, iar flambajul în celălalt plan este combinat și sarcinile critice sînt date de condiția:

$$(P - P_y) \left[ P_\omega r_0^2 - P(r_0^2 + 2e_x \beta_x) + P^2(a_x - e_x)^2 \right] = 0 \quad (4.159)$$

Dacă în cazul de mai sus forța excentrică acționează în centrul de tăiere se obține:

$$P_f = P_y ; \quad P_f = \frac{P_\omega}{1 - 2e_x \beta_x / r_0^2} \quad (4.160)$$

3. Considerînd cazul general de flambaj sub forțe excentrice, situația în care secțiunea transversală a barei prezintă o axă de simetrie, iar forța este aplicată într-un punct pe această axă. Bara se consideră simplu rezemată iar forța critică de flambaj este cea mai mică dintre valorile:

$$\begin{aligned} P_1 &= P_y = n^2 \pi^2 EI_y / l^2 \\ P_2 &= (1/2A_2) \left[ A_1 - \sqrt{A_1^2 - 4A_0 A_2} \right]; \\ P_3 &= (1/2A_2) \left[ A_1 + \sqrt{A_1^2 - 4A_0 A_2} \right]; \end{aligned} \quad (4.161)$$

unde s-a notat [56]:

$$\begin{aligned} A_0 &= P_x \cdot P_\omega r^2; \quad A_1 = P_x(r_0^2 + 2\beta_x e_x) + P_\omega r_0^2; \\ A_2 &= r_0^2 + 2\beta_x \cdot e_x - (a_x - e_x)^2 \end{aligned} \quad (4.162)$$

4. Cazul general de compresiune excentrică, cazul în care secțiunea transversală nu are axe de simetrie.

Ecuația din care se determină forța critică este:

$$\begin{aligned} (P_x - P)(P_y - P)(P_\omega - P)r_0^2 + 2P(\beta_x \cdot e_x + \beta_y \cdot e_y) - \\ - P^2(P_x - P)(a_y - e_y)^2 - P^2(P_y - P)(a_x - e_x)^2 = 0 \end{aligned} \quad (4.163)$$

Este de atras atenția că forțele critice astfel determinate



sunt mai mici decât forța Euler.

4.3.3.2.3. Flambajul barelor cu pereți subțiri sub acțiunea forțelor transversale.

Se consideră bara încărcată cu sarcinile exterioare  $q_y$  și  $q_x$ , sarcini care produc momentele încovoietoare  $M_x$  și  $M_y$ .

Ecuațiile diferențiale de deformare la încovoiere și răsucire pentru această situație devin:

$$EI_x v^{IV} + (M_y \varphi)'' = 0; \quad EI_y u^{IV} + (M_x \varphi)'' = 0$$

$$EI_\omega \varphi^{IV} + [(2\beta_x M_y - 2\beta_y M_x - GI_d) \varphi'] + [q_y(e_y - a_y) + q_x(a_x - a_x)] + \frac{M_y \cdot v''}{y} + \frac{M_x \cdot u''}{x} = 0 \quad (4.164)$$

Rezultatele obținute în urma soluționării sistemului (4.164), pentru cazul grinzii simplu rezemate încărcate cu sarcină distribuită ( $P/l$ ) și cu secțiune transversală dublu simetrică.

$$P_F = (1/l^3) \sqrt{EI_y (2900 EI_\omega + 295 l^2 GI_d)} \quad (4.165)$$

respectiv, pentru cazul grinzii cu secțiune transversală care prezintă o singură axă de simetrie, forța critică se obține din ecuația:

$$P^2 - (59,7 d_y + 43,8 \beta_y) (EI_y / l^2) P - (2910 EI_\omega + 295 l^2 GI_d) (EI_y / l^6) = 0 \quad (4.166)$$

În cazul grinzii încastrate încărcată cu sarcini uniforme repartizată  $q=P/l$ , forțele critice pentru bara cu secțiune transversală care prezintă o axă de simetrie, sau două axe de simetrie, este dată de relațiile:

$$P_F = (1/l^3) \sqrt{EI_y (648000 EI_\omega + 15910 l^2 GI_d)} \quad (4.167)$$

$$P^2 - (1307 d_y + 56,6 \beta_y) (EI_y / l^2) P - (648000 EI_\omega + 15910 l^2 GI_d) (EI_y / l^6) = 0 \quad (4.168)$$

unde:

$$d_y = a_y - e_y$$

4.3.3.2.4. Flambajul barelor cu pereți subțiri, profil închis, sub acțiunea forțelor axiale.

Deoarece rigiditatea la răsucire a profilelor închise

cu pereți subțiri este mult mai mare decât în cazul profilelor deschise, flambajul de răsucire și flambajul de încovoiere răsucire, va conduce la valori care, în general, nu diferă substanțial față de valorile forțelor critice ale lui Euler.

Ecuatiile (4.148) în cazul solicitării de compresie și de încovoiere vor avea forma:

$$\begin{aligned}
 EI_x v^{IV} + P v'' - (P a_x + M_y) \varphi'' &= 0; \\
 EI_y u^{IV} + P u'' - (P a_y - M_x) \varphi'' &= 0; \quad (4.169) \\
 EI_{\omega} \varphi^{IV} - GI_d \varphi'' - \gamma (P a_x - M_y) v'' + \gamma (P a_y + M_x) u'' + \\
 + \gamma (P r_0^2 + 2M_y \beta_x - 2M_x \beta_y) \varphi'' + [EI_{\omega} / (GI_c)] (P a_x - M_x) v^{IV} - \\
 - [EI_{\omega} / (GI_c)] (P a_y + M_x) u^{IV} - [EI_{\omega} / (GI_c)] (P r_0^2 + 2M_y \beta_x - 2M_x \beta_y) \varphi'' &= 0;
 \end{aligned}$$

Dacă se fac notațiile:

$$\begin{aligned}
 P_y &= EI_y n^2 \pi^2 / \ell^2 \\
 P_x &= EI_x n^2 \pi^2 / \ell^2 \\
 P_{\omega} &= \frac{EI_{\omega} n^2 \pi^2 / \ell^2 + GI_d}{r_0^2 (\gamma + \frac{EI_{\omega}}{GI_c} \cdot \frac{n^2 \pi^2}{\ell^2})}; \quad (4.170)
 \end{aligned}$$

rezultă ecuația de compatibilitate, care are forma:

$$\begin{aligned}
 (P_y - P)(P_x - P) \left[ (P_{\omega} - P) r_x^2 - 2P(e_y \beta_y + e_x \beta_x) \right] - \\
 \left[ (e_x - a_x)^2 (P_y - P) + (e_y - a_y)^2 (P_x - P) \right] P^2 = 0; \quad (4.171)
 \end{aligned}$$

și din care rezultă cele trei serii de valori ale forței critice.

#### 4.3.3.3. Stabilitatea plăcilor plane (von Karman)

Plăcile subțiri care intervin în construcțiile paletelor pentru aerogeneratoare cu ax orizontal, nu pot fi considerate plăci groase, dar ele constituie elemente de rezistență și nu în toate cazurile pot fi considerate ca și membrană. În cazurile în care ele nu sînt considerate ca fiind membrană vor fi considerate elemente de placă care preiau forțe transversale și forțe în planul lor. Această situație intermediară între

placa grosă și membră. Această situație reală și sim-  
ilă cu cea din cazul plăcilor aeronautice [48],[56].

Forțele de întindere și comprimare în planul plăcii  
nu pun probleme deosebite, dar se pot conduce la eforturi  
unitare care pot fi calculate ușor și direct cu cifrele de  
rezistență ale materialului component.

Forțele de compresie și de îndoire forfecare fac ca,  
datorită existenței unei distribuții generale sau locale de  
compresiune, maximele eforturi să nu fie limitate de rezisten-  
ță a materialului, ci de limite critice de flambaj corespunză-  
toare cazului respectiv.

Pentru a putea determina comportarea necorolar plăci este  
oportun să se stabilească limite generale de deformație ca ur-  
mare a apariției lor și să se determine tranșversale, precum și determi-  
narea componentelor de deformație a forțelor care au fost ini-  
țiale în planul plăcii, care sunt care se forsoază ca urmare  
a unei deformări inițiale care se poate placa din situația plană  
nedeforșată. Relațiile care sunt stabilite în [56] etc. sunt  
valabile pentru orice formă de plăci, forma în plan și în  
cât fiind independentă pentru toate ducerea condițiilor limită.  
În general, se consideră plăci de tablă care alcătuiesc stru-  
ctura de rezistență a navei care este dreptunghiulară și de  
aceiași grosime, în condițiile în care plăcile a căror formă  
în plan este dreptunghiulară.

4. Stabilirea condițiilor de deformație.

Ca primă etapă în analiza de rezistență, se consideră în primul  
rând condițiile de deformație și deplasări care există pe sec-  
țiunea transversală (Fig. 4.70).

Ținând cont de condițiile de echilibru static față de sistemul  
xoy și ecuațiile de echilibru pe direcțiile ox, ecuație care  
conține sarcina exterioară și componentele forțelor axiale  
(N) și forțelor tăietoare (T) se obține:

$$\frac{\partial^2 N_x}{\partial x^2} + 2 \frac{\partial^2 N_{xy}}{\partial x \partial y} + \frac{\partial^2 N_y}{\partial y^2} + N_x \frac{\partial^2 w}{\partial x^2} + N_y \frac{\partial^2 w}{\partial y^2} + 2T_{xy} \frac{\partial^2 w}{\partial x \partial y} = q$$

(4.172)

Ținând seama de legea lui Hooke și de definiția e-  
forturilor din secțiunea transversală a elementului de plă-  
că rezultă:



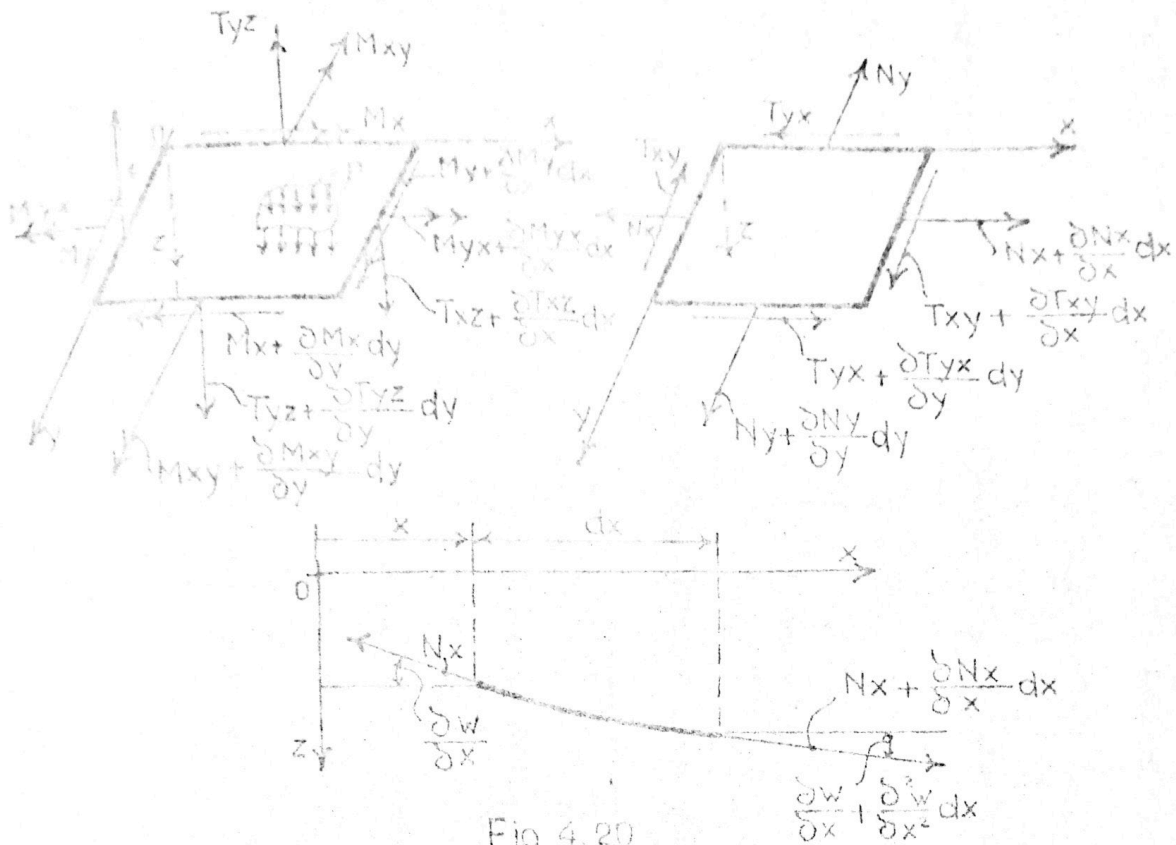


Fig. 4.20

$$M_x = -D \left( \frac{\partial^2 w}{\partial x^2} + \mu \frac{\partial^2 w}{\partial y^2} \right); \quad M_y = -D \left( \frac{\partial^2 w}{\partial y^2} + \mu \frac{\partial^2 w}{\partial x^2} \right);$$

$$M_{xy} = -D(1-\mu) \frac{\partial^2 w}{\partial x \partial y}; \quad D = \frac{Eh^3}{12(1-\mu^2)}; \quad (4.173)$$

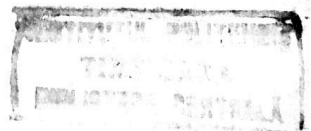
respectiv:

$$\nabla^4 w = \frac{\partial^4 w}{\partial x^4} + 2 \frac{\partial^4 w}{\partial x^2 \partial y^2} + \frac{\partial^4 w}{\partial y^4} =$$

$$= \frac{1}{D} \left[ p + H_x \frac{\partial^2 w}{\partial x^2} + H_y \frac{\partial^2 w}{\partial y^2} + 2H_{xy} \frac{\partial^2 w}{\partial x \partial y} \right] \quad (4.174)$$

Relația (4.172) permite determinarea deformației ( $w$ ) a plăcii, respectiv soluționarea problemei.

Dacă nu există sarcină transversală ( $p=0$ ) atunci ecuația (4.174) devine o ecuație omogenă și reprezintă o problemă de stabilitate.



b. Stabilitatea plăcilor plane la compresiune

Dacă solicitarea în planul plăcii se reduce la o singură sarcină repartizată, orientată în direcția Ox (fig.4.21)  $N_x = -P$ ;  $N_y = 0$ ;  $T_{xy} = 0$ ;  $p(x) = 0$  și la anumite condiții se adaugă condițiile limită (respectiv modul de încetare al plăcii) problema devine soluționabilă și se poate afla valoarea critică de flambaj. Condițiile limită care se pun sînt:

- pentru margine simplă, articulată și articulată

$$w = 0; \quad \frac{\partial^2 w}{\partial x^2} = 0$$

- pentru margine încleștată ( $w=0$ ;  $\frac{\partial w}{\partial x} = 0$ );

- pentru margine liberă ( $\frac{\partial^2 w}{\partial x^2} + \mu \frac{\partial^2 w}{\partial y^2} = 0$ ;  $\frac{\partial^3 w}{\partial x^3} + (2-\mu) \frac{\partial^3 w}{\partial x \partial y^2} = 0$ )

Pentru evitarea efectuării calculilor necesare rezolvării ecuațiilor de tip (4.174), la fiecare caz de placă și de fixare dată, în literatură sînt date o serie de tabele la baza cărora se pot determina valorile critice de flambaj:

$$P_{crit} = k \pi^2 D / b^2 \tag{4.175}$$

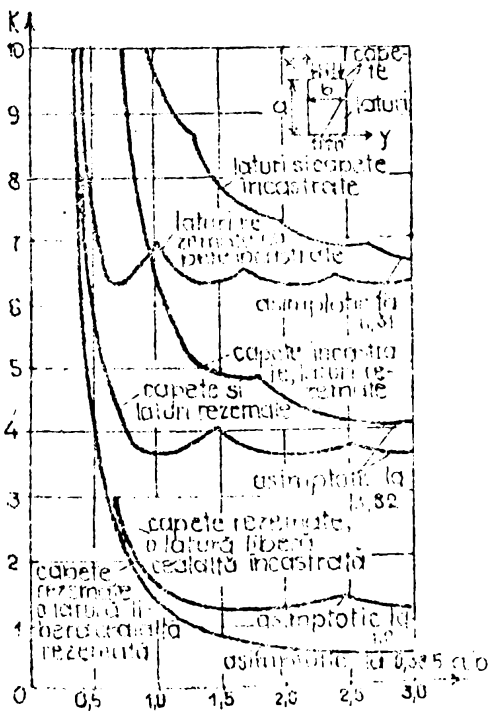


Fig. 4.21

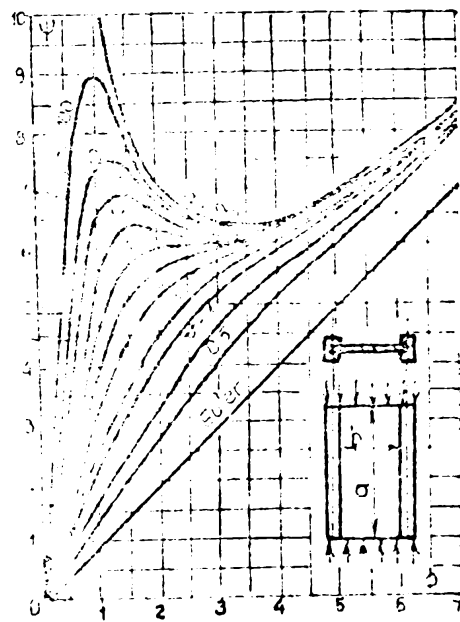


Fig. 4.22

unde: k se determină, în funcție de raportul a/b al plăcii și condițiile de rezemare, cu ajutorul diagramelor din fig.4.21.

Pentru cazul în care placă dreptunghiulară comprimată

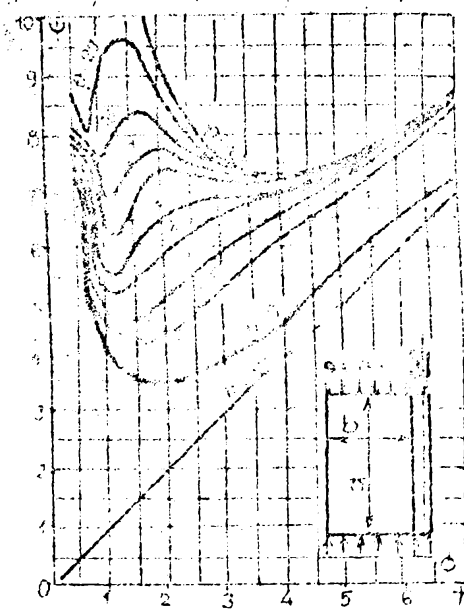


Fig. 4.23

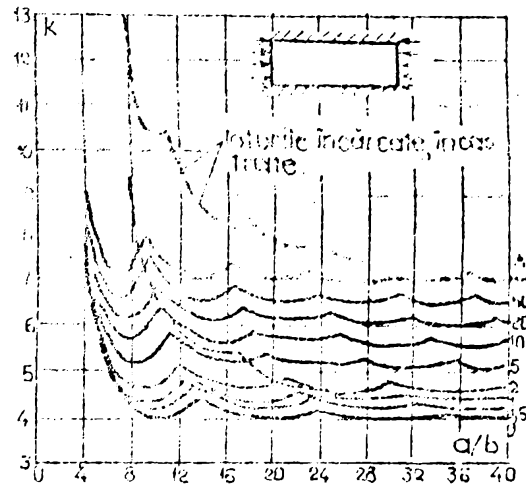


Fig. 4.24

este rezemată, pe laturile lor laterale, elastic la încovoiere [56] din diagramele prezentate în fig. 4.22 și 4.23 se determină tensiunea critică ( $\sigma_{cr}$ ) funcție de factorii  $\delta$  și  $\psi$ .

$$\delta = \pi \sqrt{E t} / a; \quad \psi = b \sqrt{t G_{cr} / D} \quad (4.176+4.177)$$

unde:  $t$  este grosimea plăcii,  $n$  este numărul de semiunde.

Pentru cazul unei plăci rezemate elastic la răsucire [56] (deosebit pentru rotiri elastice) de-a lungul celor două laturi nefixate, forța critică se determină cu relația (4.175) unde  $k$  rezultă din (fig. 4.24) funcție de ( $\delta$ ) care este raportul între rigiditatea la răsucire a suportului elastic și rigiditatea la încovoiere elastică a plăcii pe linia de rezemare.

În privința altor tipuri de condiții de vârf cunoscute din ecuația (4.174) care sunt condiții de vârf ale acestor încovoieri. Dacă forța tăietoare  $T$  este nulă, înlocuirea din placă, calculul forțelor critice de flotație se conduce, după ce în prealabil s-a stabilit forma plăcii și modul de rezemare în felul următor:

Placă plană de formă dreptunghiulară

$$\tau_{cr} = \frac{\pi^2 D}{a^2 b^3 t}, \quad (4.178)$$

unde  $a$  și  $b$  - plăci și  $n$  - numărul rezemat pe centru

$$k = 5,34 + 4(b/a)^2 \quad (4.179)$$

iar pentru o placă încadrată pe contur

$$k = 8,98 + 4(b/a)^2 \quad (4.180)$$

În literatura de specialitate sînt prezentate și alte forme de plăci, cîmpuri de rezonanță etc.

Pentru aceste tipuri de plăci sînt date abace cu ajutorul cărora se poate calcula rezid efortul unitar critic ( $\sigma_{cr}$ ) sau ( $\tau_{cr}$ ) [40],[56] etc.

4.3.3.4. Influența deformațiilor mari și al imperfecțiunilor de realizare a plăcilor. Lățimea echivalentă.

În [65],[66],[67] este prezentată comportarea precritică și critică a plăcilor curbate pleoștite și a plăcilor plane și se arată care sînt tipurile de pierdere a stabilității.

Așa cum prezintă literatura de specialitate determinarea încălzirii critice se face fie prin metoda bifurcației fie prin metoda limitării. Principiile acestor metode sînt prezentate pe larg în [65].

În [66] este prezentat un grafic care este redat în fig.4.25 și care prezintă o serie de rezultate privind sta-

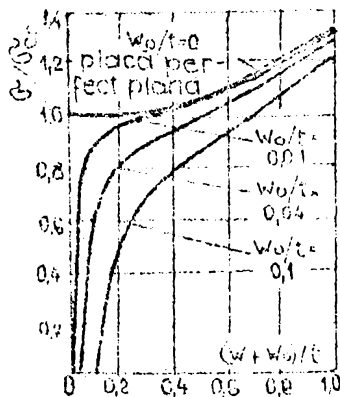


Fig 4.25

abilitatea plăcii plane fără imperfecțiuni și cu imperfecțiuni. Ordinul de mărime a acestor imperfecțiuni este menționat pe fiecare diagramă în parte. Pe abscisa graficului se măsoară săgeata ( $w$ ) obținută prin deformații de încovoieră și valoarea săgeții inițiale ( $w_0$ ). În raport cu criticitatea de clădire pentru plăcile plane a fost studiat mult, în literatura de specialitate, pentru că, așa cum se știe, acest de-

meniu poate fi extins [69],[73].

Desigur, structura de rezistență a paletelor pentru asigurarea regeneratoare cu un orizontal total realizată din elemente subțiri (plăci care unesc elementele longitudinale de rigidizare-lincele, lonjeroanele și diafragmele) la care valorile

mişii ale efecturilor unitare, ca urmare a fenomenului de flambaj vor fi diferite de la element la element. În general, elementele longitudinalale de rezistență vor putea suferi un efort unitar critic mai ridicat decât plăcile multiri dintr-un element. În mod curent în aeronautică [56] elementele longitudinalale de rezistență sînt dimensionate astfel încît forța critică de flambaj pentru aceste elemente, este cea care corespunde limitei de rezistență necritică a elementului respectiv deci egală cu limita de elasticitate.

Admițînd că în cazul plăcii libere și lonjeroanelor de rigidizare se lucrează la cel, pe secțiunea transversală a unei plăci rigidizate, va exista repartiție semnificativă a eforturilor unitare, în mod special va exista momentul și în at sarcina unitară aplicată pe placa prelată, va fi variabilă, ceea ce înseamnă că va fi egală cu cea critică de flambaj a plăcii, și în zona de rigidizare va fi egală critică corespunzătoare rigidizării longitudinale (fig.4.26).

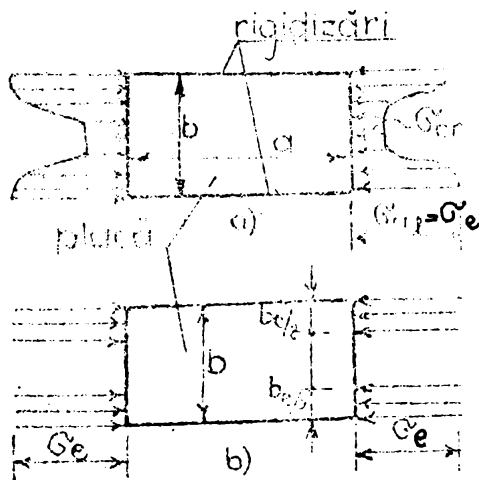


Fig. 4.26

Este cunoscut procedeul ca în aceste situații structura reală să se înlocuiască cu una fictivă în care se lucrează cu plăci echivalente de plăci (b) se lucrează cu plăci echivalente (b<sub>0</sub>) (fig.4.26b).

Determinarea lățimii echivalente (b<sub>0</sub>) care conlucrează solidar cu elementele

de rigidizare se face de obicei în funcție de [48],[56] și alte lucrări. Ea este dată de:

$$b_0/b = 0,25 (1 + \sigma_{cr}^*/\sigma) \quad (4.181)$$

Relația (4.181) presupune existența a trei rigidizări oprite la capetele elementului de rezistență.

De here numărul de eforturi unitare aplicate asupra plăcii este foarte înaltă și corectă să se scrie:

$$b_0/b = 0,25 (1 + \sigma^*/\sigma) (\sigma_{cr}^*/\sigma)^{1/2} \quad (4.182)$$

unde:  $n = 0,375/\sigma_e$

De amintit sînt și relațiile date de Marguerre

$$b_e/b = 0,5 \sqrt[3]{\sigma_{cr}/\sigma} \quad (4.183)$$

Koiter:

$$b_e = \frac{b}{2} \left[ 1,2 \left( \frac{\sigma_{cr}}{\sigma} \right)^{0,4} - 0,65 \left( \frac{\sigma_{cr}}{\sigma} \right)^{0,8} + 0,45 \left( \frac{\sigma_{cr}}{\sigma} \right)^{1,2} \right]; \quad (4.184)$$

Karman:

$$b_e = 0,5b \sqrt{\sigma_{cr}/\sigma} \quad (4.185)$$

Heimert:

$$b_e = 1,9 \sqrt{b/\sigma} \quad (4.186)$$

Din toate aceste relații se poate observa că ele sînt numai de tensiunea efectivă din structură. Acest lucru complică foarte mult calculul la încovoiere a structurii, deoarece acesta nu poate să fie făcut decît prin aproximații succesive. Pentru început calculul se pornește cu o lățime echivalentă ( $b_e/2 = 15t$ ) după [56] sau cu o lățime de circa  $20t$  după [48], după care pentru iterațiile următoare la stabilirea lățimii efective se folosește relația (4.186). În [48] se face raportul dintre lungimea învelișului care participă la preluarea solicitărilor și lungimea totală a centurului secțiunii transversate, raport care indică gradul de participare a învelișului la preluarea eforturilor unitare din încovoiere.

#### 4.3.3.5. Stabilitatea tuburilor cilindrice circulare cu pereți subțiri la diferite tipuri de solicitări

Analizînd structura paletelor pentru aerogeneratoare de putere mare putem afirma că axul și chiar învelișul, în ultimă instanță cu o aproximare grosolană, este o pînză cilindrică circulară. Structura paletei este solicitată la cele mai diferite tipuri de solicitări simple sau combinate, dominînd în cel dintîi încovoierea.

Flambajul tubului cilindric ca urmare a unei solicitări de încovoiere, se produce sub un efort unitar normal mai mare decît în cazul solicitării de compresie. De remarcă rolul important al neregularităților de ordin constructiv (sau imperfecțiunilor) asupra mărimii eforturilor unitare critice.



Mărimea neregularităților este funcție de subțirimea peretelui și raza cilindrului (fig.4.27). Pentru determinarea coeficientului  $k$  este dată diagrama din figura 4.28.

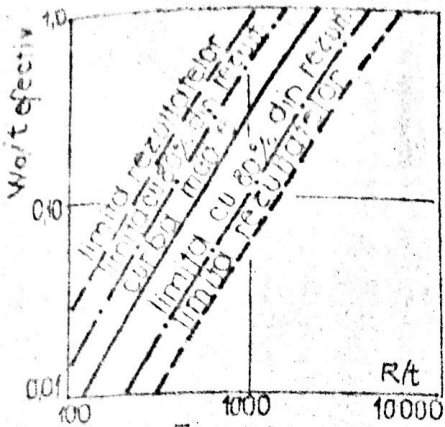


Fig. 4.27

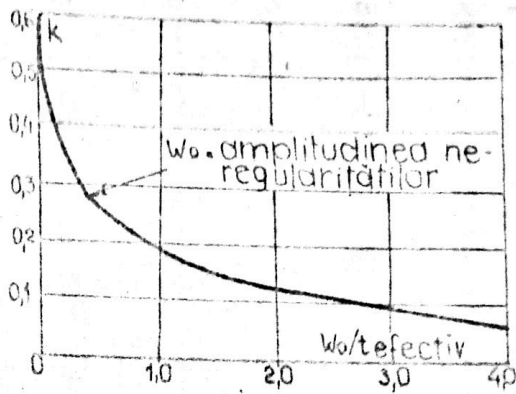


Fig. 4.28

Existența unei presiuni interioare ( $p$ ) în cilindru produce o creștere a sarcinii critice de flambaj la încovoiere. Creșterea coeficientului  $k$  ca urmare a presiunii interioare este dată în diagrama din fig.4.29. În cazul în care există o presiune exterioară ( $p$ ) aceasta produce o scădere a sarcinii critice de flambaj la încovoiere, astfel că dacă efortul unitar critic de flambaj este:

$$\sigma_{cr} = k \frac{\pi^2 E}{12(1-\mu^2)} \left(\frac{t}{l}\right)^2 z \quad (4.187)$$

unde:

$$z = \sqrt{1-\mu^2} [e^2/(Rt)] \quad (4.188)$$

atunci  $k$  se determină cu ajutorul curbei din fig.4.30.

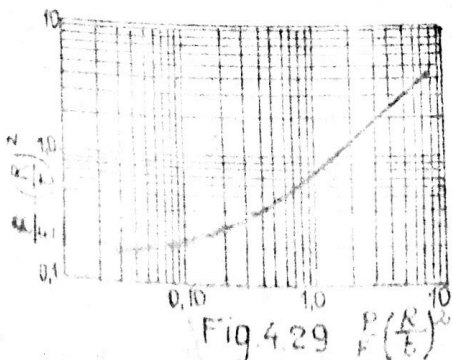


Fig. 4.29

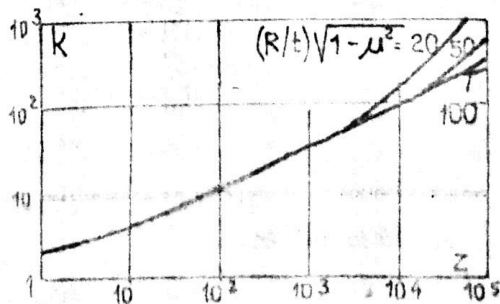


Fig. 4.30

Flambajul tubului cilindric ca urmare a unei solicitări de răsucire sau forfecare se produce datorită eforturilor unitare principale de compresie, care iau naștere pe direcțiile principale în cazul acestei solicitări. Pentru solicitarea de răsucire Donnell a obținut următoarele expresii:

- pentru tuburi cu capetele încastrate

$$\tau_{cr} = \frac{E}{1-\mu^2} \left( \frac{t}{l} \right)^2 \left[ 4,6 + \sqrt{7,8 + 1,67(\sqrt{1-\mu^2}) \frac{l^2}{2tR}} \right] \quad (4.189)$$

- pentru tuburi cu capetele simplu rezemate,

$$\tau_{cr} = \frac{E}{1-\mu^2} \left( \frac{t}{l} \right)^2 \left[ 2,8 + \sqrt{3,6 + 1,4(\sqrt{1-\mu^2}) \frac{l^2}{2tR}} \right] \quad (4.190)$$

Relația (4.187) în urma unor cercetări a fost propusă să fie înlocuită cu relația:

$$\tau_{cr} = 4,39 \frac{E}{1-\mu^2} \left( \frac{t}{l} \right)^2 \sqrt{1 + 0,0257(1-\mu^2)^{3/4} \left( \frac{l}{Rt} \right)^3}, \quad (4.191)$$

care dă eforturi unitare critice ceva mai mici decât relația lui Donnell. În [56], [68] și [63] sînt date detalii pentru calculul nelinier al tuburilor circulare cu pereți subțiri rigidizate și nerigidizate și sînt prezentate relații și abace pentru verificarea practică a acestor tuburi.

Oba. Nu ne prezintă stabilitatea panourilor curbe deoarece o caracteristică a panourilor curbe este aceea că valorile limită, deci forțele critice de flambaj, sînt mai mari decât la panourile plane. De remarcat însă că aceste panouri sînt mult mai sensibile la erorile tehnologice și la imperfecțiuni [68] [63], etc.

#### 4.3.3.6. Probleme speciale de stabilitate locală a panourilor de învelitoare a paletelor.

Dacă barajele cu pereți subțiri ridică numeroase probleme de stabilitate atunci cu atât mai mult structurile cu pereți subțiri, ale paletelor pentru aerogeneratoare vor ridica numeroase probleme a căror cauză este stabilitatea sau flambajul elementelor cu pereți subțiri care compun structura.

Asamblarea prin puncte de sudură a elementelor cu pereți subțiri care compun structura, ridică probleme de stabilitate între punctele de sudură și probleme de concentrare a eforturilor în jurul acestor elemente de asamblare.





$$\sigma_{cr} = \frac{C \pi^2 E}{12(1-\mu^2)} \left( \frac{t}{l} \right)^2 = \frac{\pi^2 E}{3(1-\mu^2)} \left( \frac{t}{l} \right)^2 \quad (4.193)$$

Pentru cazul paletelor, unde se folosește electronituirea la realizarea învelitorii, coeficientul C se va lua ~3,5. Pentru alte procedee de prindere a învelitorii de lise și lonjeroane C va avea alte valori astfel:

- pentru prinderea cu nituri cu cap explosiv sau cu cap ciupercă C = 3,0; pentru nituri cu cap îngropat C = 1,5; iar pentru nituri cu cap plat C = 4.

Din cele de mai sus rezultă că în învelișul exterior al paletei nu se pot transmite eforturi unitare normale mai mari decât efortul unitar critic de flambaj dintre niturile de sudură. Deci, lisa sau lonjeronul nu va putea transmite învelișului exterior un efort unitar mai mare decât cel critic pe care-l poate prelua învelitoarea pe suprafața liberă dintre niturile de sudură.

În această situație trebuie reluată problema lățimii de conlucrare (a lățimii echivalente) discutată în paragraful 4.3.3.4. În literatură această problemă este rezolvată și pentru lățimea echivalentă se dă relația:

$$b_{ech} = b_c \frac{\sigma_{cr}(l)}{\sigma_l}; \quad (4.194)$$

unde:

$\sigma_{cr}(l)$  - este efortul critic pe care-l poate prelua învelitoarea pe suprafața liberă dintre niturile de sudură;

$\sigma(l)$  - este efortul unitar efectiv din lisa sau lonjeronul de care se prinde învelitoarea.

O problemă deosebită se ridică referitor la stabilirea efortului unitar critic al unui înveliș rigidizat.

Dacă elementele de rigidizare sînt de fapt lisele de care învelitoarea este prinsă prin puncte de sudură (nituri de sudură) cu diametrul d și pasul p și

lisele sînt executate din tablă prin îndoire cu grosimea ( $t_r$ ) atunci efortul unitar critic pentru tablă astfel rigidizată va fi dat de relația:

$$\sigma_{cr} = \frac{k_e \pi^2 E}{12(1-\mu^2)} \left( \frac{t_r}{b_r} \right)^2 \quad (4.195)$$

unde:  $k_e$  se determină din diagramele 4.31 și 4.32.

În diagrame raportate, sînt precizate pe desen și se indică și semnificația fiecărui termen. În relația (4.195) s-a presupus că panoul de învelitoare aflat între niturile de sudură are un efort critic de flambaj mai ridicat decît cel dat de relația (4.195); în consecință la dimensionare se va alege panoul niturii sau pasul punctelor de sudură astfel încît practic să nu se pună problema flambajului panoului de învelitoare dintre nituri.

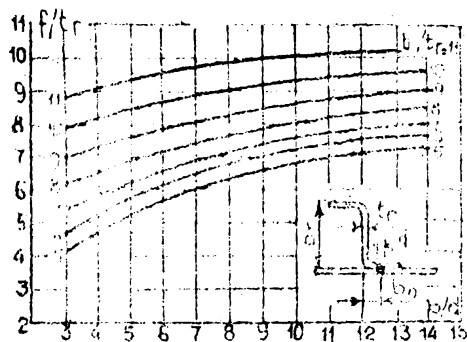


Fig. 4.31

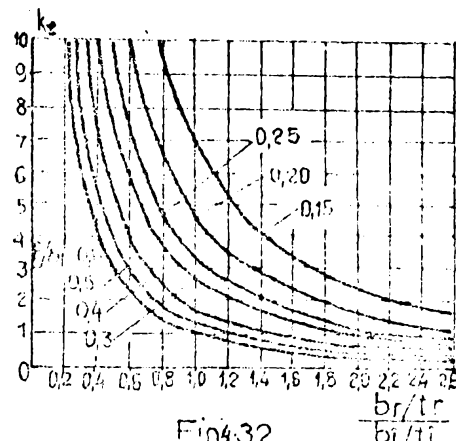


Fig. 4.32

#### 4.3.3.6.2. Stabilitatea locală a profilurilor cu pereți subțiri

Langiroanele și lisele din celulele aerogeneratoarelor cu ax orizontal sînt profile cu pereți subțiri. Secțiunea transversală a acestor elemente este de formă (L; C; Z; I; U; W). Se vor nota cu  $(t_t)$  și  $(b_t)$  caracteristicile tălpilor acestor profile și cu  $(t_i)$  și  $(b_i)$  caracteristicile inimilor acestor profile.

Un profil care formează o linie din structură va putea prelua o sarcină de compresiune care va fi limitată nu numai de problemele de rezistență sau de stabilitate generală (de ansamblu) ci și de problemele de stabilitate locală.

Deși, fiecare element al lisei (talpa respectiv inima) va avea un efort unitar critic de flambaj; care de la caz la caz ar putea să limiteze sau să nu limiteze sarcina pe care lisa trebuie să o preia. Cu alte cuvinte s-ar putea ca efortul critic de flambaj general să fie mai mare decît efortul critic de stabilitate locală și să fie limitată capacitatea lisei la ultimul. În aceste condiții este necesar să se țină seama de

forma și dimensiunile secțiunilor transversale ale lizelor și lonjerecnelor ca acestea să fie clase corespunzător deoarece ele se confecționează din tablă prin îndoire la rece.

Condiția de confecționare a profilurilor cu pereți subțiri din tablă, deci cu ( $t_t = t_i$ ), rezultă din egalarea tensiunilor critice din placa care formează inima profilului cu tensiunea critică din placa care formează talpa profilului. Această condiție duce la relația cunoscută.

$$b_t/t_t = 0,328 b_i/t_i \quad (4.196)$$

și care poate fi redusă la:

$$b_t = 0,328 b_i \quad (4.197)$$

Relația care da valoarea  $k$  a lizelor și a inimilor ca și plăcii este:

$$\sigma_{cr} = \frac{k \pi^2 E}{12(1-\mu^2)} \left( \frac{t}{b} \right)^2 \quad (4.198)$$

În baza relației (4.196) și a celor de mai sus se poate stabili efortul unitar critic pentru un profil, fiind seama de stabilitatea generală și locală cu relația (4.198) scrisă sub formă:

$$\sigma_{cr} = \frac{k \pi^2 E}{12(1-\mu^2)} \left( \frac{t_i}{b_i} \right)^2 \quad (4.199)$$

unde  $k$  se determină din abecule date în fig.4.33-fig.4.36.

Efortul unitar critic de flambaj  $\sigma_{cr}$  într-o poziție rigidizată fiind seama de lățimea echivalentă ( $b_{ech}$ ) se poate determina din diagramele din fig.4.37.

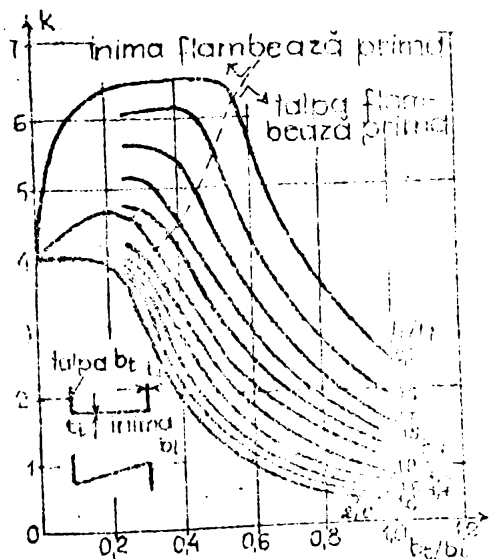


Fig. 4.33

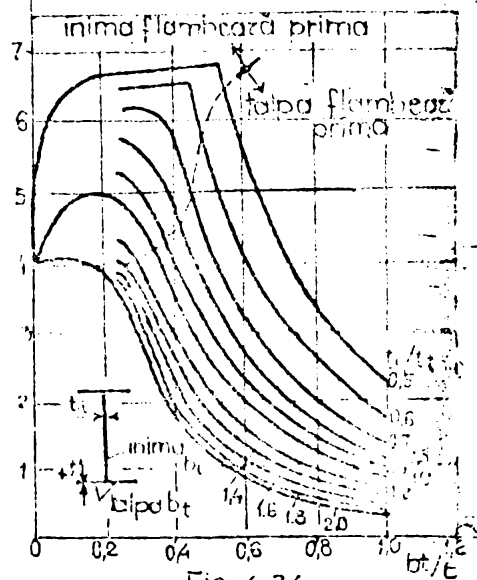
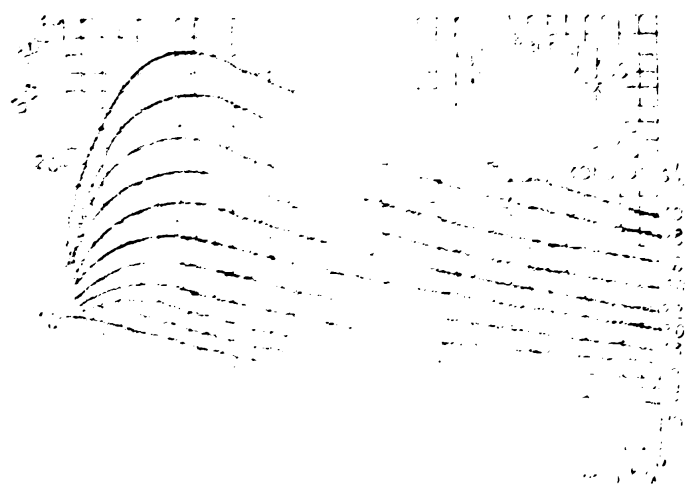
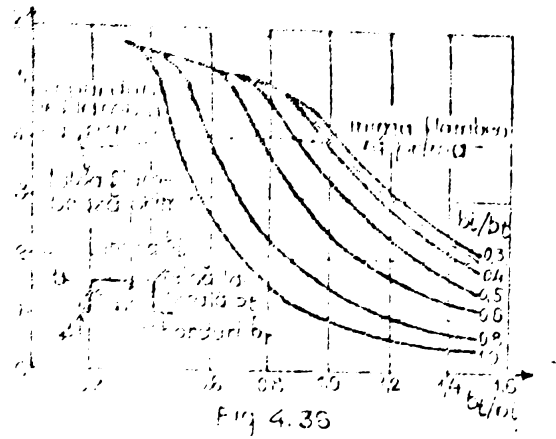
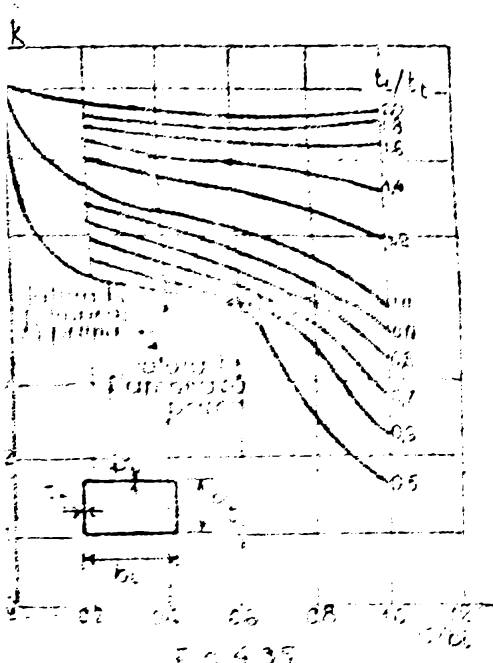


Fig. 4.34



.....

.....

.....

.....

.....

.....

.....

.....

.....

.....

.....

.....

.....

.....

.....

.....

.....

.....

.....

.....

menținute la o distanță de un miez care poate să fie sau poate să nu fie portant (adică poate să participe sau nu poate să participe la preluarea sollicitărilor).

În cele ce urmează se vor face referiri numai la structura sandwich metalice cu miez portant.

Cea mai simplă realizare a miezului se obține utilizând table subțiri ondulate și table subțiri cutate, ceea ce face ca structura să fie o structură puternic ortotropă, spre deosebire de casele de sandwich cu alte tipuri de miez la care ortotropia este mai puțin accentuată și care se pot considera chiar structuri izotrope.

La proiectarea structurilor sandwich se utilizează relații cu caracter experimental [56] relații care în combinație cu unele rezultate teoretice permit rezolvarea problemei.

O primă problemă de soluționat a fost stabilirea dimensiunilor sau a pasului ondulațiilor pentru cazul miezului cu table cutate sau ondulate. Acest pas este stabilit cu relația:

$$\sigma_{cr} = k \cdot E (t_e / b_m)^2 \quad (4.20)$$

unde:

$(t_e)$  - este grosimea tablei de la exterior care poate să piardă stabilitatea;  $b_m$  - este pasul cutelor de tablă a miezului pe care se rezemă tablele exterioare;  $k$  - este coeficientul care influențează efortul unitar critic de flambaj al capilor pe lungimea neaprijinită dintre punctele de sudură cu care se execută îmbinarea ( $k=3,5$ ) pe un cap sau în puncte (respectiv 1,5 pentru nituri cu cap încastrat) [56].

Obs. Dacă se admite  $\sigma_{cr} = \sigma_c = 1900 \text{ daN/cm}^2 = 19 \text{ daN/mm}^2$

iar pentru  $k$  ia valoarea 3,5 și  $t_e = 1,0$  mm atunci pasul cutelor rezultă:

$$b_m = \sqrt{\frac{1900 \cdot 1}{19 \cdot 3,5}} = 62 \text{ mm} \quad (4.201)$$

Pentru pasul tablei cutate se-a ales un pas de 40 mm, cu scopul asigurării executării două puncte de sudură pe lățimea unei cute.

Grosimea miezului (a tablei cutate) rezultă din condiția de flambaj de ansamblu

$$c = \left[ \frac{1900 \cdot b^2 (1 - \mu^2)}{4 \cdot 19 \cdot 3,5} \right]^{1/2} = t_e \quad (4.202)$$

Dacă structura este solicitată la forfecare, grosimea miezului se va determina cu relația:

$$c = \left[ \frac{2T_{xy} b^2 (1-\mu^2)}{\pi^2 E_t t_t k \tau} \right]^{1/2} - t_t \quad (4.203)$$

în care se ține seama de fenomenul de flambaj de ansamblu [56]

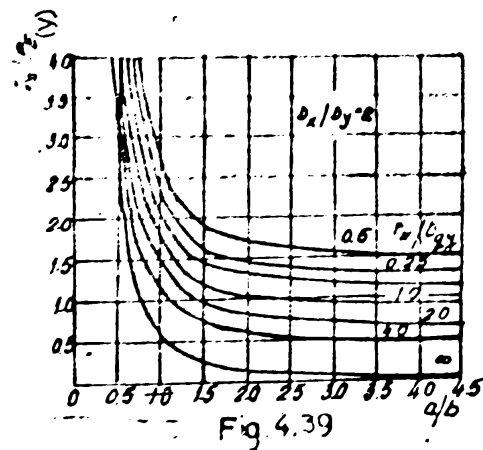
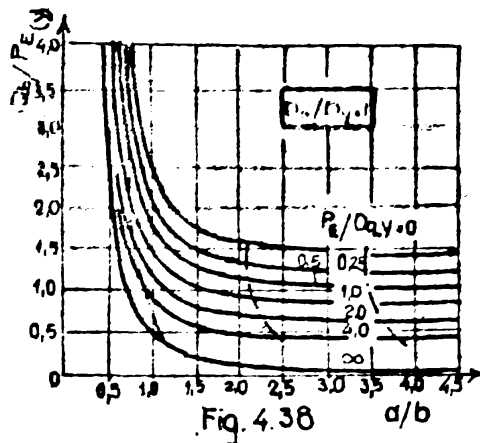
Odată ce elementele structurii sandwich au fost determinate forța critică de flambaj pentru un panou din structură, se determină pe cale asemănătoare cu cea utilizată în cazul plăcilor omogene și izotrope.

În cele ce urmează se prezintă unele rezultate obținute în această direcție în literatura tehnică.

Astfel, pentru un panou sandwich cu miez din tablă ondulată (cu miez portant) simplu rezemat pe laturi, sarcina critică de flambaj este dată în abacele din (fig.4.38 și fig.4.39) în funcție de raportul rigidităților la încovoiere  $D_x/D_y$ . Pentru același panou încastrat pe laturi forța critică se determină din fig.4.40 și fig.4.41. În aceste abace forța critică de flambaj este notată cu  $Q_b$  și este dată ca raport  $Q_b/P_E$ . Forța  $P_E$  este dată de relația cunoscută:

$$P_E(y) = \frac{4 \pi^2 D_y}{b^2 (1-\mu^2)}; \quad P_E(x) = \frac{4 \pi^2 D_x}{a^2 (1-\mu^2)}; \quad (4.204)$$

unde  $D_y$  este rigiditatea la încovoiere a panoului după  $Oy$ ;  $D_x$  este rigiditatea la încovoiere a panoului după  $Ox$ .





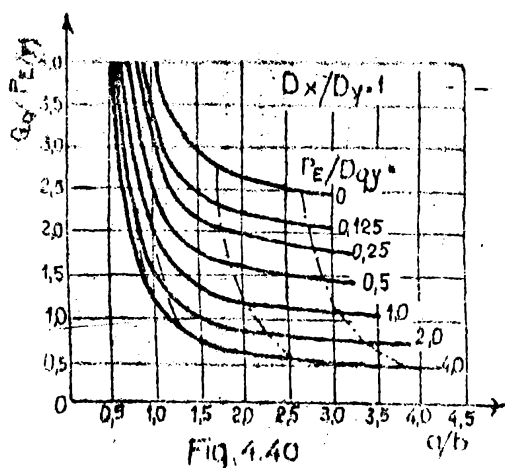


Fig. 4.40

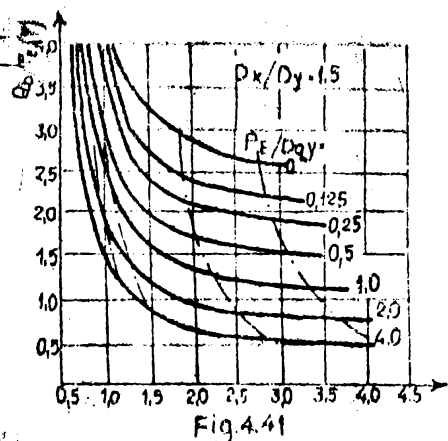


Fig. 4.41

În toate cazurile rezultatele depind de raportul laturilor de rigidități la încovoiere pe două direcții perpendiculare  $D_x$  și  $D_y$  și rigiditățile la torsiune pe aceleși direcții. Întrucât aceste rigidități depind foarte mult de modul de execuție și confecționare a structurii sandwich se recomandă determinarea experimentală a acestor rigidități. În [56] se recomandă o tehnică de determinare a acestor rigidități care va fi folosită la încercările experimentale și care vor fi prezentate pe larg în paragrafele următoare [Cap 5].

#### 4.4. Calculul structurii de vîntură al patch-ului pentru aerogeneratoare cu ax orizontal folosind metoda elementului finit

##### 4.4.1. Generalități

Se știe că metoda deplasărilor ca metodă unitară pentru calculul structurilor formate din bare este prezentată în numeroase lucrări, ca metoda cea mai adecvată pentru automatizarea integrării și rezolvării structurilor [69],[70],[71].

Conceptia utilizată la automatizarea metodei deplasărilor pentru structurile formate din bare a fost extinsă cu timpul la toate tipurile de structuri. În felul acesta s-a încheșat o modalitate generală și unitară de rezolvare a tuturor categoriilor de structuri. Această modalitate generală de rezolvare este cunoscută sub denumirea de metoda elementelor finite.

Metoda, de altfel cunoscută reduce structura continuă la un ansamblu de elemente discrete, prinse între ele într-un număr de puncte finit, numite nodurile structurii. O astfel de înlocuire este specifică metodelor matriciale concepute anume pentru utilizarea calculului automatizat. Aceste elemente simple (elementele finite) rămân corpuri continue în cuprinsul lor, dar forma simplă permite să fie studiate mai ușor, pe baza unor legi convenționale privitoare la distribuția deplasărilor sau a eforturilor. Pentru elementele finite au fost stabilite caracteristici globale sub forma matricilor de rigiditate sau de flexibilitate, care servesc la asamblarea lor în structură. Aceste caracteristici globale sînt prezentate pe larg în lucrările [69],[71],[72], etc.

Desigur, în metoda elementului finit, găsindu-se concepția unitară a metodelor de calcul de la structurile formate din bare, metoda deplasărilor și metoda eforturilor, ca metode generale, devine aplicabilă pentru toate categoriile de structuri. În metoda elementelor finite, aproximarea admisă este de natură fizică și corespunde concepției și opticii inginerului proiectant de structuri. Metoda s-a impus într-un timp foarte scurt atât datorită eficienței sale practice cât și datorită facilităților pe care le oferă în cazul structurilor complexe și a celor cu volum mare de calcul. Metoda este aplicabilă tuturor categoriilor de structuri (structuri care se compun din mai multe tipuri de elemente de construcție).

Etapă importantă a studiului cu metoda elementelor finite, constă în procesul de discretizare al structurii date, stabilind astfel schema de conducere a calculului. Discretizarea implică alegerea formei și mărimii elementelor discrete componente ale structurii, precizarea punctelor de legătură și natura legăturilor respective. Prin discretizarea structurii, legăturile de continuitate dintre elementele vecine, sînt înlocuite cu legături punctuale care au caracter convențional [71],[72]. Totodată în cuprinsul elementelor se admit anumite legi simplificate de variație a deplasărilor și a eforturilor unitare cu scopul de a se respecta pe cât posibil continuitatea și la nivelul rețelilor de contact a elementelor finite [69],[72],[73],[74].

În acest fel, în calcul se introduce o serie de aproximații față de situația reală. Importanța acestor aproximații și posibilitățile de îmbunătățire a modelului de calcul pentru diferite situații constituie de fapt problema principală în utilizarea

elementelor finite.

Operația de discretizare a structurii permite o suplete deosebită și poate fi adaptată oricăror cerințe.

Prin alegerea judicioasă a formei și a mărimii elementelor finite, cât și prin combinarea acestora, se poate diviza orice structură indiferent de configurația și forma ei. În [73] și [74] sînt indicații pentru trecerea de la o dimensiune în alta a elementelor finite și modalități de evitare a elementelor finite care prezintă grad de abatere maxim (de exemplu elementele triunghiulare). De asemenea sînt precizate modalitățile de gradare a mărimii elementelor finite în vederea înălțării lor în zonele cu concentrații de eforturi. Acest lucru este exemplificat și exploatat în lucrările [74],[75],[76],[77] și [78].

După definitivarea discretizării structurii, se trece la rezolvarea propriuzisă folosind una dintre cele două metode generale de calcul. De obicei se folosește metoda deplasărilor deoarece aceasta se dovedește cea mai avantajoasă pentru o automatizare integrală.

Oricare ar fi metoda utilizată pentru rezolvare, în prealabil trebuie avut în vedere elementul finit ales cu caracteristicile sale globale-matricea de rigiditate sau de flexibilitate și trebuie să se țină seama de modul cum sînt respectate condițiile de compatibilitate și de echilibru static.

La structurile reale aceste condiții sînt întrutotul respectate. Dealtfel ele intră în componența ecuațiilor fundamentale ale teoriei elasticității.

#### 4.4.2. Ecuațiile fundamentale ale teoriei elasticității

Intrucît aceste ecuații sînt cunoscute ele vor fi trecute în revistă doar în scriere tensorială. Pentru detalierea problemei sînt recomandate lucrările [79],[80],[81],[82],[72], etc.

1. Ecuațiile de echilibru static:

- pentru studiul static al problemei

$$\frac{\partial t_{ij}}{\partial x_i} + F_j = 0 ; \quad (4.205)$$

- pentru studiul dinamic al problemei

$$\frac{\partial t_{ij}}{\partial x_i} + F_j - m \frac{\partial^2 s_j}{\partial t^2} = 0 ; \quad (4.206)$$

2. Ecuațiile de deformare și de continuitate:

$$d_{ij} = \frac{1}{2} \left( \frac{\partial s_i}{\partial x_j} + \frac{\partial s_j}{\partial x_i} \right); \quad s_i \quad (i=x, y, z) \quad (4.207)$$

$$\frac{\partial^2 d_{ij}}{\partial x_k^2} + \frac{\partial^2 d_{kk}}{\partial x_i \partial x_j} - \frac{\partial^2 d_{ik}}{\partial x_j \partial x_k} - \frac{\partial^2 d_{jk}}{\partial x_i \partial x_k} = 0 \quad (4.208)$$

unde (k) nu este indice de suma.

3. Ecuațiile fizice:

$$d_{ij} = \frac{1}{E} \left[ (1+\mu) t_{ij} - \mu t_{kk} \cdot \delta_{ij} \right] \quad (4.209)$$

$$d_{ii} = \frac{1}{E} \left[ (1+\mu) t_{ii} - \mu t_{kk} \delta_{ii} \right] = \frac{1}{E} (1-2\mu) t_{ii} \quad (4.210)$$

$$t_{kk} = \frac{E}{1-2\mu} d_{kk} \quad (4.211)$$

Dacă se descompune legea lui Hooke în tensor sferic și deviator rezultă:

$$t_{ij} = t'_{ij} - \frac{1}{3} t_{kk} \delta_{ij}$$

$$d'_{ij} = d_{ij} - \frac{1}{3} d_{kk} \delta_{ij} = 2G t'_{ij} \quad (4.212)$$

Înlocuind pe (4.211) în (4.209) rezultă:

$$d_{ij} = \frac{1}{E} \left[ (1+\mu) t_{ij} - \mu \frac{E}{1-2\mu} d_{kk} \cdot \delta_{ij} \right] \quad (4.213)$$

sau:

$$t_{ij} = \frac{E}{1+\mu} d_{ij} + \frac{\mu E}{1-2\mu} \frac{1}{1+\mu} d_{kk} \delta_{ij} \quad (4.214)$$

Dacă se ține seama de modulul de elasticitate transversal G rezultă:

$$t_{ij} = G \left[ \left( \frac{\partial s_i}{\partial x_j} + \frac{\partial s_j}{\partial x_i} \right) + \frac{2\mu}{1-2\mu} \cdot \varepsilon_v \delta_{ij} \right] \quad (4.215)$$

Să introducem în ecuațiile de echilibru static și se obține:

- pentru stadiul static

$$\frac{\partial^2 s_{ij}}{\partial i^2} + \frac{1}{1-2\mu} \frac{\partial \varepsilon_v}{\partial j} + \frac{\varepsilon_{ij}}{c} = 0, \quad (4.216)$$

- pentru studiul direcție

$$\frac{\partial^2 s_{ij}}{\partial i^2} + \frac{1}{1-2\mu} \frac{\partial \varepsilon_v}{\partial j} + \frac{1}{c} \left( \varepsilon_{ij} - \frac{\partial^2 s_{ij}}{\partial i^2} \right) = 0 \quad (4.217)$$

4. Condițiile de condiție (de contur):

$$\vec{P}_{0i} = \vec{t}_{ij} \cdot \vec{e}_j \quad (4.218)$$

unde  $\vec{e}_j$  este vectorul coordonatelor directori.

Condițiile de mai sus pot fi completate și cu tensorul tensiilor [71], [72], [56].

#### 4.4.3. Elemente generale privind discretizarea structurii în elemente finite

Discretizând structura condițiile de continuitate nu mai sînt respectate cu strictețe deoarece structura se divizează în elemente finite la care se iau în considerare numai legăturile din noduri și deci mediul continuu devine un mediu discret. În interiorul elementelor finite mediul continuu se mai păstrează. La fețele dintre elemente nodul nu obligă fiindcă elementele finite sînt astfel create în continuitatea deplasărilor sau a eforturilor cu excepția punctelor de legătură.

Cele de mai sus se datoresc faptului că pentru un element finit, care poate fi folosit în diferite domenii și la diferite structuri, legile de variație a deplasărilor și a eforturilor pe parcursul elementului sînt stabilite convențional. De aceea, se acordă prioritate uneia din condiții (atunci cînd se stabilesc legile simplificite din interiorul elementului finit). Astfel, se spune că mediul este geometric compatibil dacă nu asigură îndeplinirea condiției de compatibilitate pe parcursul elementului și este static compatibil dacă se asigură îndeplinirea condiției de echilibru static. Pentru controlul îndeplinirii condițiilor în cuprinsul elementului finit, se utilizează relațiile (4.205 + 4.218) transcrise sub formă matriceală unde  $t_{ij} = \begin{Bmatrix} \sigma_{xx} & \sigma_{yy} & \sigma_{zz} \\ \varepsilon_{xy} & \varepsilon_{yz} & \varepsilon_{zx} \end{Bmatrix}$  respectiv  $d_{ij} = \begin{Bmatrix} \varepsilon_{xx} & \varepsilon_{yy} & \varepsilon_{zz} & \delta_{xy} & \delta_{yz} & \delta_{zx} \end{Bmatrix}$  iar vectorul deplasare relativă are componentele  $\{u_x, u_y, u_z\}^T$ .

Condițiile de contur în puncte de spate corespund ecuațiilor de echilibru static [71] pentru forțele exterioare (forțele de

... (a). ... d... starea ... bilității și a încercărilor  
... elemente ... înite în ... de frontiere dintre  
... unitat [7].

... (b). ... d... starea ... bilității și a încercărilor  
... elemente ... înite în ... de frontiere dintre  
... unitat [7].

... (c). ... d... starea ... bilității și a încercărilor  
... elemente ... înite în ... de frontiere dintre  
... unitat [7].

... (d). ... d... starea ... bilității și a încercărilor  
... elemente ... înite în ... de frontiere dintre  
... unitat [7].

folosind un program specializat se analizează tipurile de elemente finite de care dispune programul, se analizează instrucțiunile de lucru și pe o problemă simplă la care se cunoaște soluția se verifică dacă programul păstrează cantitatea de lucru elementară a structurii deformate. Cu aceste verificări se poate începe rezolvarea problemei propriu-zise.

4. Sistemul structural de analiză a palatelor pentru proiectarea de structură mică (AAEIO-11/11/81) utilizând metoda elementului finit

Programul AAEIO-11/11/81 în varianta SK 1 este un sistem de lucru pe PC de tip DOS care permite analiza structurală a sistemelor metalice și a sistemelor de lucru mică (11-01).

Programul este conceput în două versiuni: o versiune pentru sistemele de lucru mică și o versiune pentru sistemele metalice. Alături de el este disponibilă și o versiune SK 1.

Programul SK 1-01 este conceput în cadrul Catedrei de Mecanică și Metalurgie, după o versiune de proiect în bună măsură, care are concluziile rezultate din calculul efectuat pe baza SKL-Ased. Realizarea programului SK 1-01 se poate vedea din diagrama prezentată în figura 3.1.

Programul utilizează ca program de calcul de bază metoda elementului finit. În cadrul programului există un mod de discretizare, și de calcul al palatelor de lucru mică, discretizarea este făcută în palatelor mică și mare, iar metoda SKL-01 este aplicată asupra tuturor.

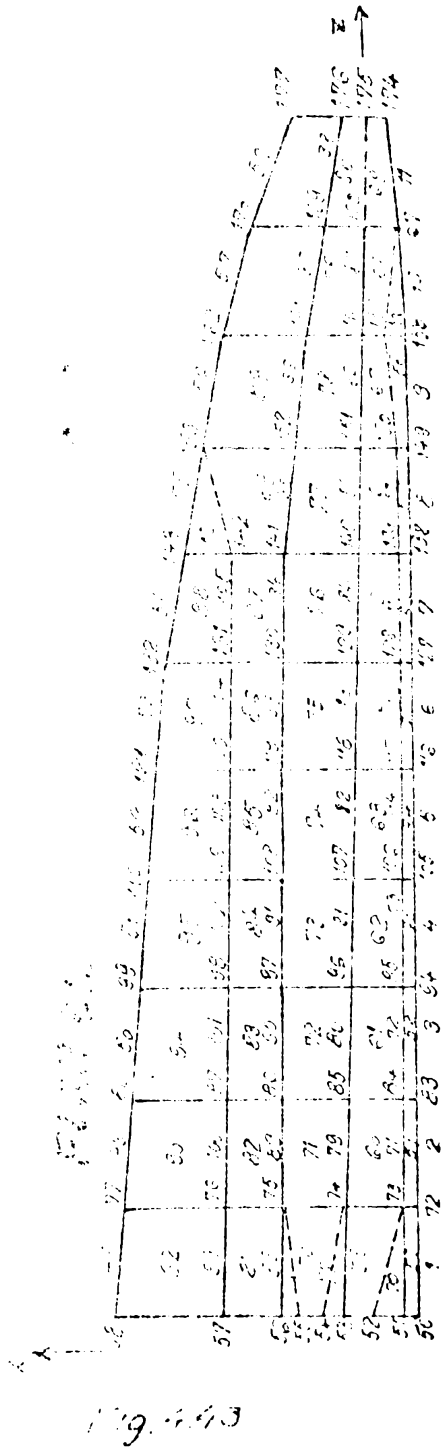
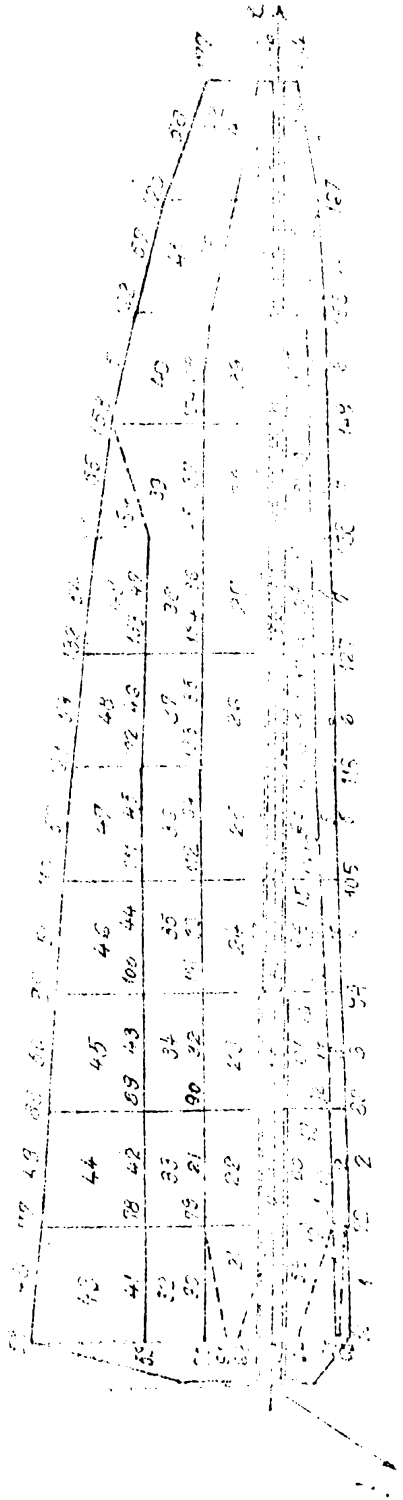
Alături de metoda elementului finit se aplică și metoda de discretizare a sistemelor de lucru mică și mare. În cadrul programului există un mod de discretizare, și de calcul al palatelor de lucru mică, discretizarea este făcută în palatelor mică și mare, iar metoda SKL-01 este aplicată asupra tuturor.

Aplicând metoda elementului finit și metoda de discretizare a sistemelor de lucru mică și mare, s-a stabilit că se poate realiza un program de lucru mică și mare. În cadrul programului există un mod de discretizare, și de calcul al palatelor de lucru mică, discretizarea este făcută în palatelor mică și mare, iar metoda SKL-01 este aplicată asupra tuturor.



Discoperiile sunt realizate în două rânduri (0,5 m) și sunt  
 dispuse în două rânduri cu elemente încastrate cu patru noduri  
 (RANK). Aceste elemente sunt de tip ANSYS și elemente de tip  
 ANSYS. Velocitatea discretizării discului și a tijei lanțurilor  
 care se vor adăuga o bobină a inițială egală cu 15 t. Inima  
 lanțurilor care vor fi mai mici decât în timpul discretizării  
 cu elemente de tip (RANK) Fig. 1. 3.

**PLAN DISPUNERE BARE EXTRADOS**



Flanşa paletelor (fig.4.44 F) a fost discretizată cu elemente de placă subțire (SHELL) și rezemată articulat la nivelul prinderii cu șuruburi în butucul rotorului. Tot cu elemente de tip SHELL au fost discretizate rigidizările dintre flanșă și diafragma ( $D_1$ ) axul dintre flanșă și diafragma ( $D_1$ ) și diafragma ( $D_1$ ) (fig.4.44 F, P<sub>1</sub>). Pentru aceste elemente a fost ales tipul de discretizare din fig. 4.44 și elementul finit de placă subțire deoarece sînt puternic solicitate și natura solicitărilor care apare în ele este mai complexă. Desigur puteau fi alese și elemente finite mai pretentive (elementul de placă grosă pentru flanșă etc) dar acest lucru ar fi introdus un număr mult prea mare de necunoscute și ar fi obligat la alte discretizări pentru elementele vecine.

Axul de la diafragma ( $D_1$ ) pînă la ( $D_{12}$ ) și diafragmae ( $D_2$ ,  $D_{12}$ ) fig.4.44 și fig.4.46 au fost discretizate cu elemente de grindă BEAMS. În dreptul diafragmei ( $D_1$ ) care a fost discretizată cu elemente de placă SHELL, în discretizarea axului se trece de la elemente finite de tip SHELL la elemente finite de tip BEAMS. Această trecere s-a făcut prin introducerea unor elemente fictive de grindă (BEAMS), numerotate într-o grupă separată de la 1 la 24 (fig.4.44 a). La alegerea rigidităților acestor elemente fictive s-a avut în vedere scopul urmărit și ca rigiditatea lor nu depășească valoarea rigidității elementului de bară a cui rigiditate propriu-zisă este cu scopul de a nu altera precizia rezultatelor [71], [74].

Configurația elementelor finite în care a fost discretizată structura a fost dictată de forma geometrică în spațiu a structurii. Pe tot parcursul discretizării s-a căutat pe cît posibil să se respecte indicațiile generale date de literatură de specialitate și precizate în paragraful precedent. Toate elementele triunghiulare care nu au putut fi evitate la discretizare au fost declarate într-un grup separat pe fiecare tip de element finit în parte. Numărul total de elemente pe structură este de 344 elemente grupate în 6 tipuri separate (două tipuri SHELL, trei tipuri BEAMS și un tip PLANK).

Obs. Cele de mai sus corespund scheletului de rezistență paletelor acinvelite. Pentru paleta învelită numărul total de elemente este de 453 și au fost grupate în 8 tipuri diferite.

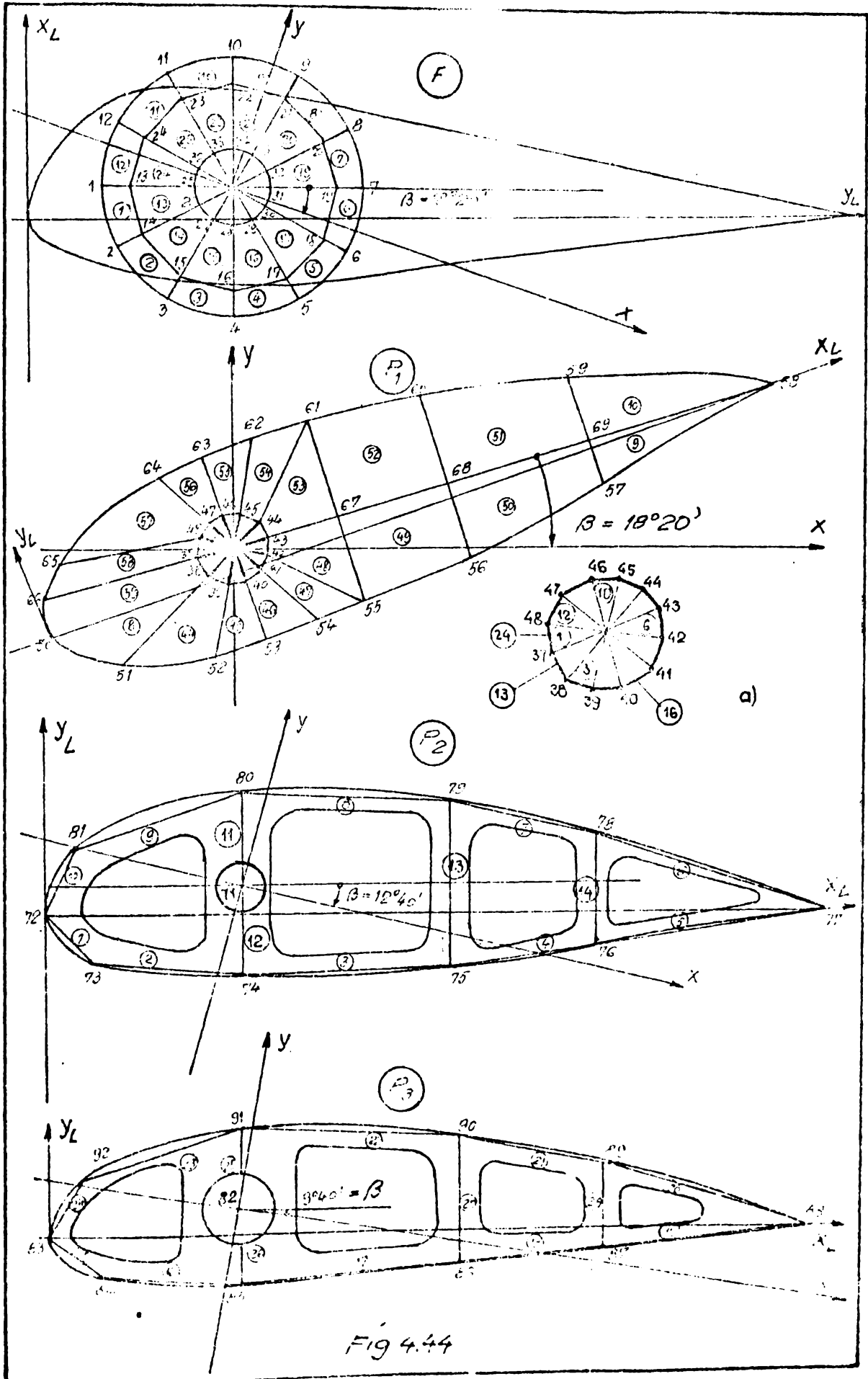


Fig 4.44

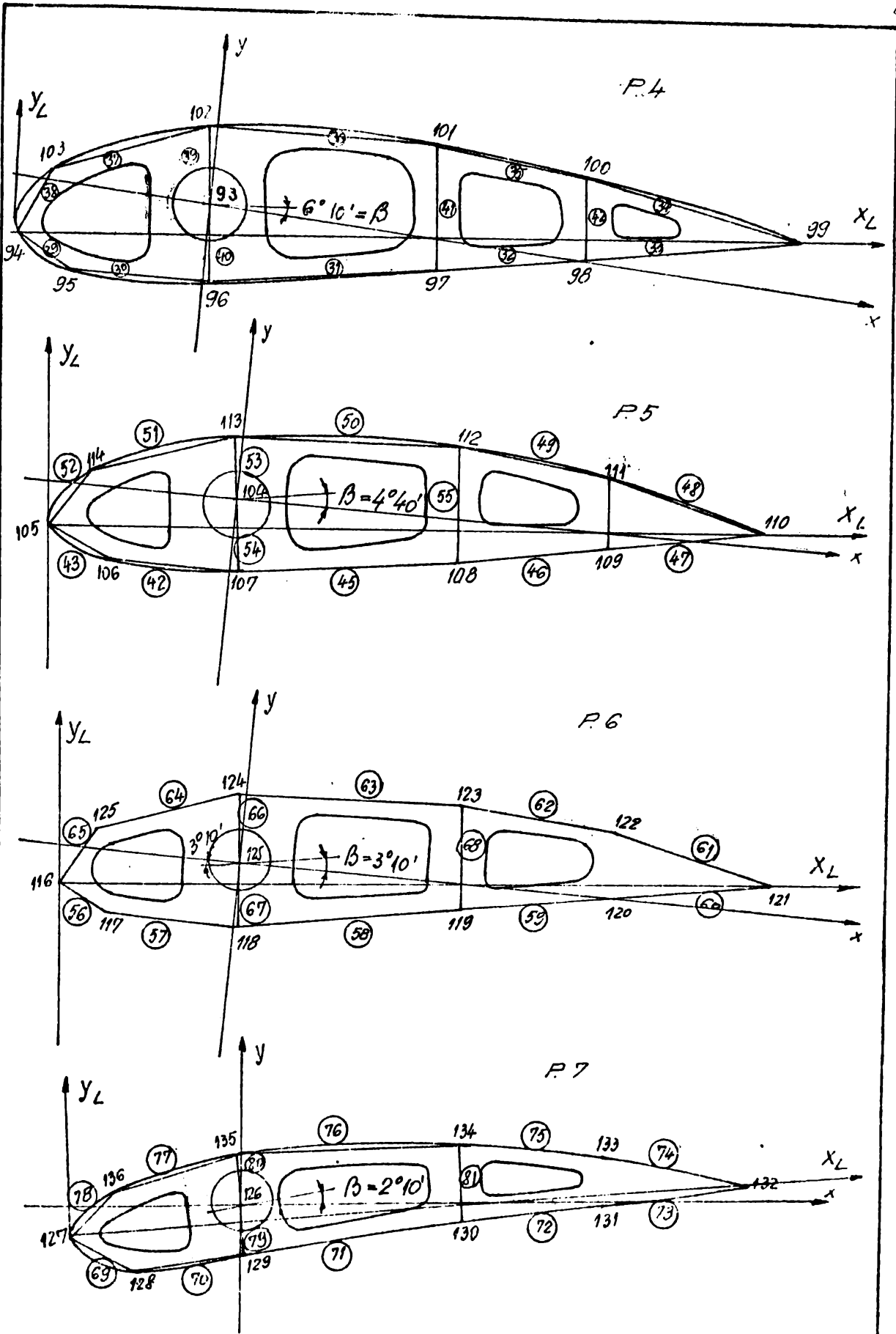
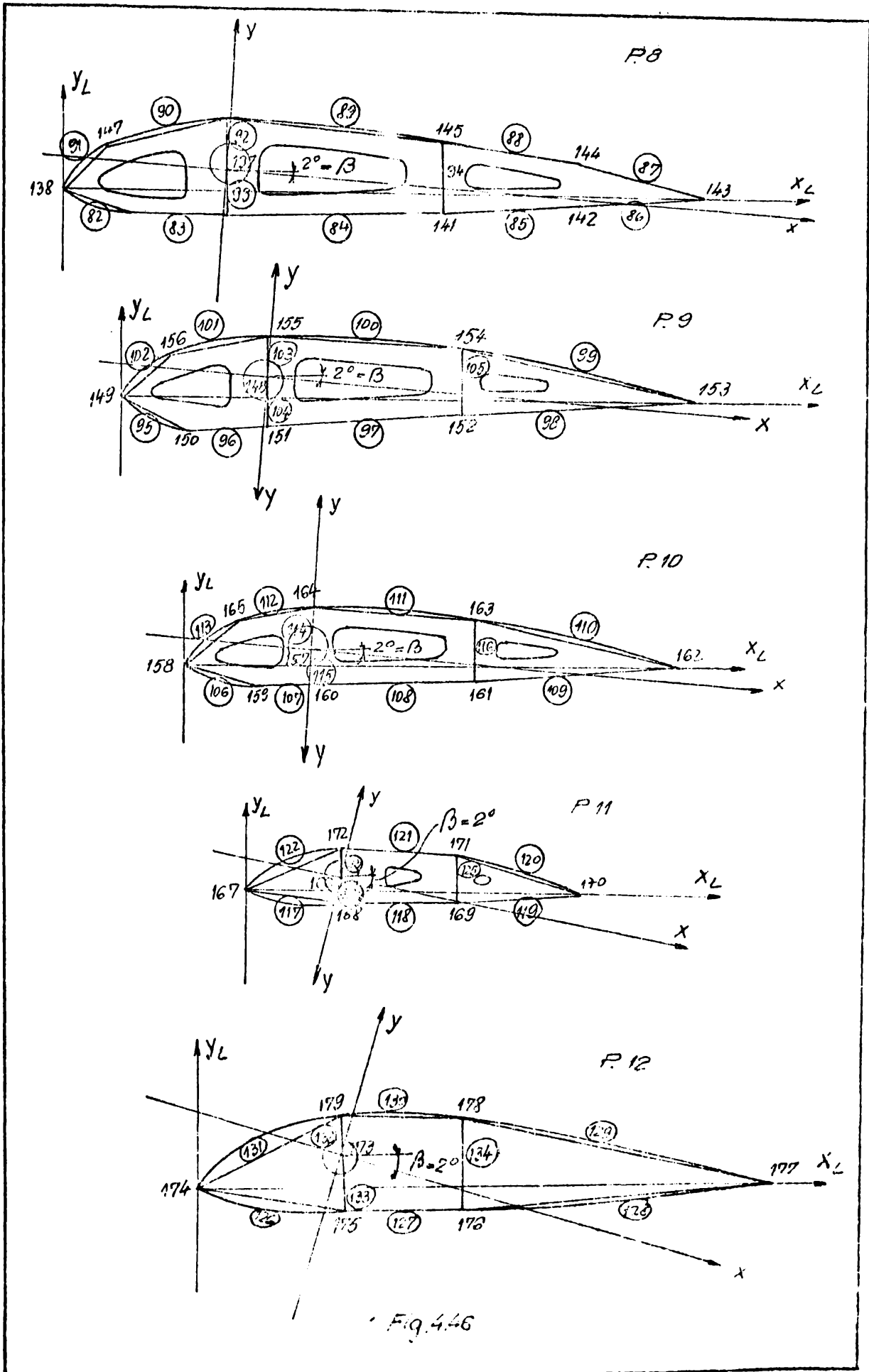


Fig. 4.45



În ceea ce privește nodurile structurii acestora au fost alese la intersecția barelor (a liseelor, lonjeroanelor și a axului cu diafragma, precum și la intersecția rigidizărilor dintre flanșa (F) și diafragma (D1) cu acestea). Numerotarea nodurilor a început așa cum se vede din fig.4.44 cu flanșa și s-a terminat cu diafragma (D 12). Numărul total de puncte nodale al structurii este egal cu (179).

Structura paletei a fost arătată pentru cele trei ipoteze de încărcare precizate în capitolul II fig.2.7, fig.2.8 și fig.2.9. (precizia că aici ipoteza a treia corespunde ipotezei de vânt catastrofal  $v_{max}$  la 100 ani; paleta motorului în drapel, frânată) în două variante.

În prima variantă au fost considerate numai elementele principale de rezistență formate din flanșă, ax, diafragme, rigidizările dintre flanșă și diafragma (D), lonjeroane și lise. Structura discretă a fost încărcată în noduri cu forțe concentrate provenite din încărcările menționate în cap.2. Această structură de rezistență a paletei SK 1- CM neînvelită a fost încercată pe standul de încercări statice al Catedrei de construcții metalice. Se așază la treapta de încărcare totală  $P = 698,3$  daN care corespunde ipotezei III (vezi cap.5).

Rezultatele măsurătorilor experimentale și a calculului automat sînt prezentate în capitolul 5.

În urma acestei încercări experimentale structura de rezistență a fost îmbunătățită prin dublarea liseelor dintre diafragma (D1) și (D2) mărirea grosimii rigidizărilor dintre flanșă și diafragma (D1) și consolidarea diafragmei (D1) prin rigidizări cheson rezemate pe flanșă. După ce modificările aduse structurii au fost introduse și în modelul de calcul (în structura discretă) s-a refăcut analiza. Rezultatele sînt prezentate tot în capitolul 5. Pentru paleta SK 1-ARAD și SK 1-CM, structura de rezistență portantă a fost considerată ca fiind formată numai din ax, lonjeroane, lise, diafragme, flanșă și rigidizările dintre flanșă și diafragma așa cum s-a mai spus. Pentru analiza propriu-zisă s-a considerat că are numai efectul local al presiunii vântului pe care-l transmite liseelor, lonjeroanelor și diafragmelor.

În varianta a doua structura paletei a fost considerată în întregime. Modelul de calcul cuprinde și învelitoarea propriu-zisă (table subțiri). Rezultatele sînt prezentate în tabelul 5.1. Aceste rezultate sînt prezentate de asemenea în tabelul 5.2 care prezintă rigiditatea paletei și o diagramă a deformațiilor unitare.

Aceste rezultate au sînt prezentate de asemenea în tabelul 5.3.

Fiind foarte subțire în exploatarea poate fi afectată de coroziune care-l poate rupea mult secționea. De asemenea în zona c... a... g... cu nu lucrează cu întreaga lăgime și aceeața nu a fost... c... cu exactitate în modelul discret. Încercări experimentale pe mode... le vor putea elucidă și această problemă.

Încercările experimentale care urmează să se efectueze pe a... coastă structură învelită și calculule automate care vor fi efec... tuate fiindu de asemenea de comportarea... literatura din zona comp... vor fi publicate.

În toate calculule efectuate nu s-a ținut seama de forța de... inergie. Ea se suprapune peste solicitările din ipotezele mențio... nate mai sus. Forța de inergie maximă introduce un efort unic de... întindere ( $\sigma_z = 60 \text{ kg/cm}^2$ ) pentru o plecare normală.

4.4.5. Calculul structurii de rezistență a paletelor pentru aerogeneratoare de putere mare (30 m/300 kW) folosind metoda elementului finit.

Paletele pentru aerogeneratoare de putere mare care au fost studiate sînt:

Paleta SK 3- $\lambda=4$  - Mol-D = 30 m/300 kW care este de fapt o primă variantă și care a fost detaliată pînă la nivel de proiect tehnic. Studiile teoretice efectuate pe această paletă au servit la stabilirea soluției finale a paletci OPS- $\lambda=7$ -Mol-D = 30 m/300 kW a cărei alcătuire este prezentată în capitolul 3, figura 3.3. Pentru prima variantă nu se prezintă aici modul de alcătuire și nici detaliile studiilor eficiente. Se va face referire la această paletă numai atunci cînd va fi cazul. Este util însă să precizăm că paleta SK 3- $\lambda=4$ -Mol-D 30 m/300 kW este o paletă mai lentă și cu gabarit geometric mai mare. De exemplu lungimea cîrziei diafragmei (D1) este ( $l_c = 3000 \text{ mm}$ ) comparativ cu paleta OPS- $\lambda=7$ -D = 30 m/300 kW care are o lungime a cîrziei la diafragmă (D1) de ( $l_c = 1660 \text{ mm}$ ) vezi fig. 3.3. Celelalte detalii referitoare la această variantă de paletă se pot găsi la din [20], [55], [41], [52], [54].

Paleta aerogeneratorului cu ax orizontal 30 m/300 kW în varianta 3.4.3.-  $\lambda=7$ -D = 30 m proiectată în cadrul Catedrei de Construcții metalice a Facultății de Construcții din Timișoara se află în stadiu de execuție la ICM Boera.



Calculul automat al acestei palete s-a efectuat în cadrul Centrului de calcul al I.P. "Traian Vuia" Timișoara, utilizând programul de calcul specializat SAP 051.

Problemele ridicate, aflat față în față cu această structură, au fost aceleași în linii mari ca și la calculul paletei SK 1 -CM. În plus s-au pus problema de a nu depăși capacitatea calculatorului FELIX-C 512 de care dispune institutul.

Plecând de la posibilitățile de calcul s-a efectuat discretizarea structurii de rezistență în elemente finite care au frontierele de-a lungul muchiilor diafragmelor. Această finețe a discretizării a condus și așa la un număr mare de ecuații și în consecință la un timp de rulare mare (pentru paleta SK3- $\lambda=4$ , timpul de rulare este  $t=6$  ore, iar pentru paleta OPS- $\lambda=7$  timpul de rulare este  $t=2$  ore).

Alegerea tipului de element finit pentru fiecare componentă a structurii a constituit o problemă delicată. De aceea paleta SK 3- $\lambda=4$ -Mol-D = 30 m/300 kW a fost discretizată folosind pentru anumite elemente structurale două tipuri de elemente finite și deci au fost efectuate două rulări. Discretizările au fost făcute după cum urmează: 1) în prima discretizare, pentru ax, diafragme și rigidizări s-au folosit elemente de tip placă subțire încovoiată (SHELL) iar pentru învelitoare elemente în stare plană (PLANM); s-au folosit aceste elemente (PLANM) pentru învelitoare chiar dacă este de tip sandwich fiindcă ea, este realizată din tablă foarte subțire și prezintă proprietăți diferite la încovoiere pe cele două direcții perpendiculare, ca atare apar dificultăți la prinderea în calcul. Efectul încovoierii locale a fost suprapus la sfârșit.

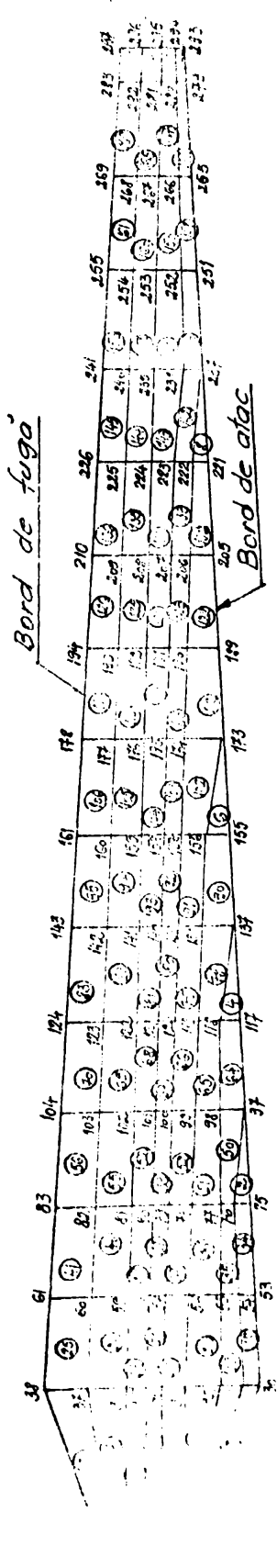
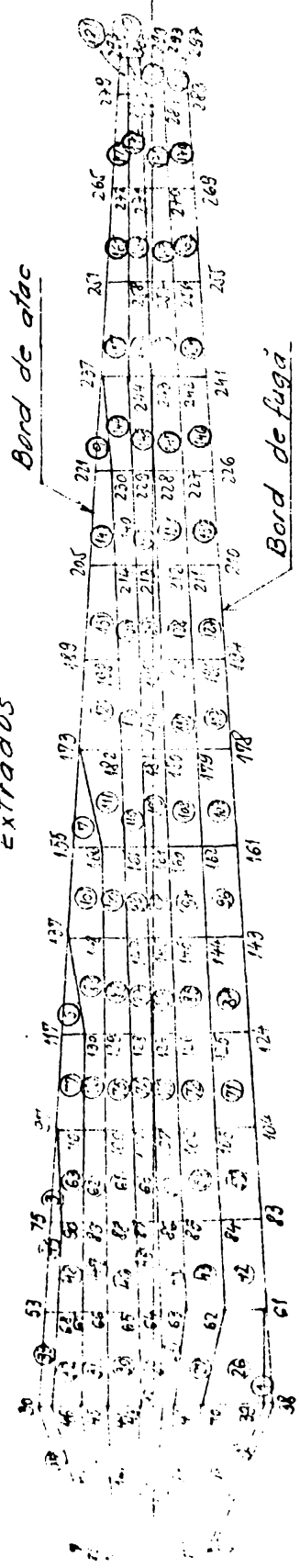
2. în a doua discretizare a structurii au fost folosite numai elemente finite de tip placă subțire încovoiată (SHELL); structura sandwich a învelitorii a fost introdusă în calcul ca placă plană cu grosime echivalentă; fără a intra în detalii de calcul, precizez că s-a desprins concluzia de altfel de așteptat că efectul încovoierii este foarte mic comparativ cu efectul de membrană.

În ceea ce privește rezultatele celor două rulări pe structura discretizată cu elemente finite diferite se poate afirma că diferențele sînt nesemnificative ele ridicîndu-se la maxim 7%.

În schimb, timpul de rulare totalizat pentru rularea celei de a doua variante a crescut la circa 10 ore.

Cele de mai sus au condus ca la discretizarea structurii

Extrados

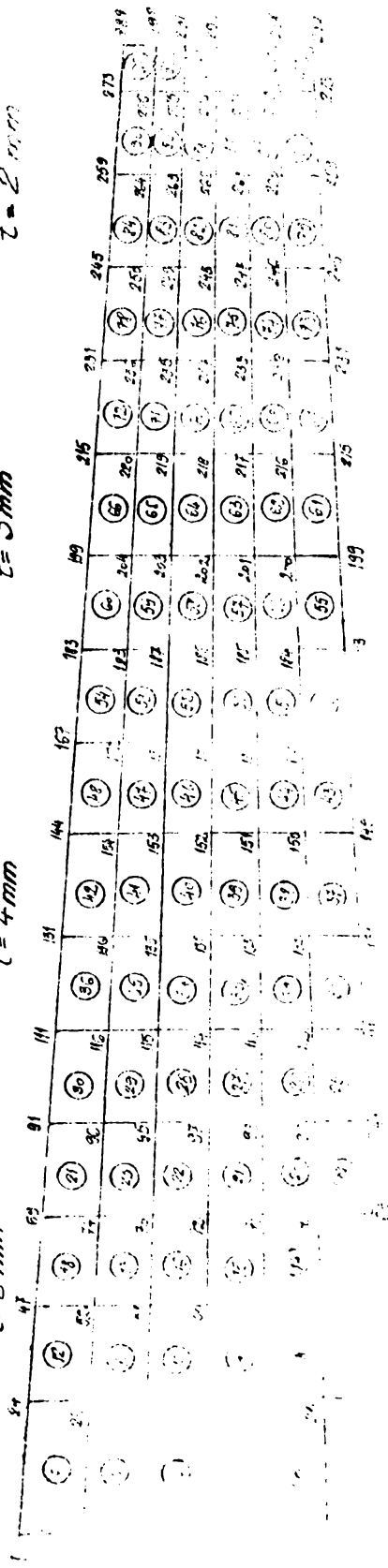


Tronçon I  
 $t = 6 \text{ mm}$

Tronçon II.  
 $t = 4 \text{ mm}$

Tronçon III.  
 $t = 3 \text{ mm}$

Tronçon IV.  
 $t = 2 \text{ mm}$



paletai OPS  $\lambda = 7$  Mol-D = 30 m/300 kW, să se aleagă pentru învelitoare elementul finit în stare plană (PLANM). Acest element a fost extins apoi la diafragme și la ax. Unele părți din diafragme au fost discretizate cu elemente de grindă (BEAMS) respectiv cu elemente de bară (TRUSS). În fig.4.47+ fig.4.51 este prezentată schema de discretizare, numerotarea nodurilor și a elementelor. Și de data aceasta s-au avut în vedere principiile generale prezentate în paragraful 4.4.1 și 4.4.2. Linii nodale corespund cu intersecția dintre suprafața învelitorii și planul diafragmelor. Elementele finite a căror configurație geometrică este triunghiulară au fost declarate într-o grupă separată la sfârșit ca un alt tip de element finit.

Spre deosebire de paleta mică discretizarea a început de la fața flangei unde s-a considerat structura ca încadrată. Numerotarea nodurilor s-a făcut în spirală începând de la fața flangei până la diafragma (D16). Elementele au fost numerotate pe grupe. În fig.4.47 se prezintă modul de discretizare al axului și a învelitorii iar în fig.4.48+ fig.4.51 este prezentată discretizarea celorlalte elemente din structură.

Încercările au fost modelate ca forțe concentrate în noduri. În fig.4.48+ 4.51 se vede intuitiv modul de concentrare a acestor forțe în nodurile modelului fizic al structurii.

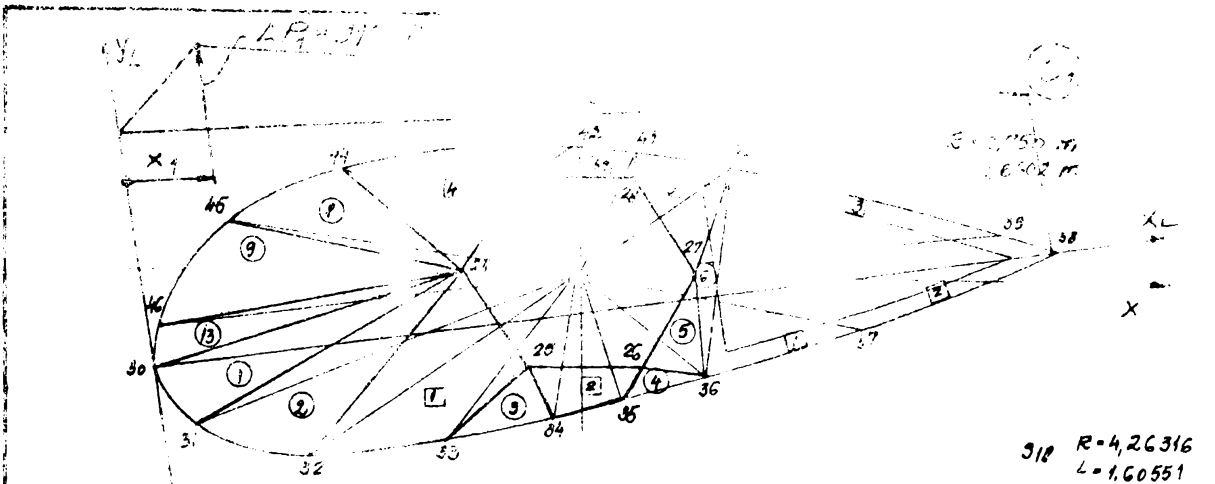
Paleta SK 3 -  $\lambda = 4$ -D = 30 m/300 kW discretizată, după prima variantă (cea mai economică), are următoarea topologie:

- numărul total de puncte nodale = 454
- numărul total de elemente finite tip placă curbă subțire (SHELL) = 390
- numărul total de elemente plane (PLANM) = 190

Paleta OPS -  $\lambda = 7$ -D = 30 m/300 kW discretizată, are următoarea topologie:

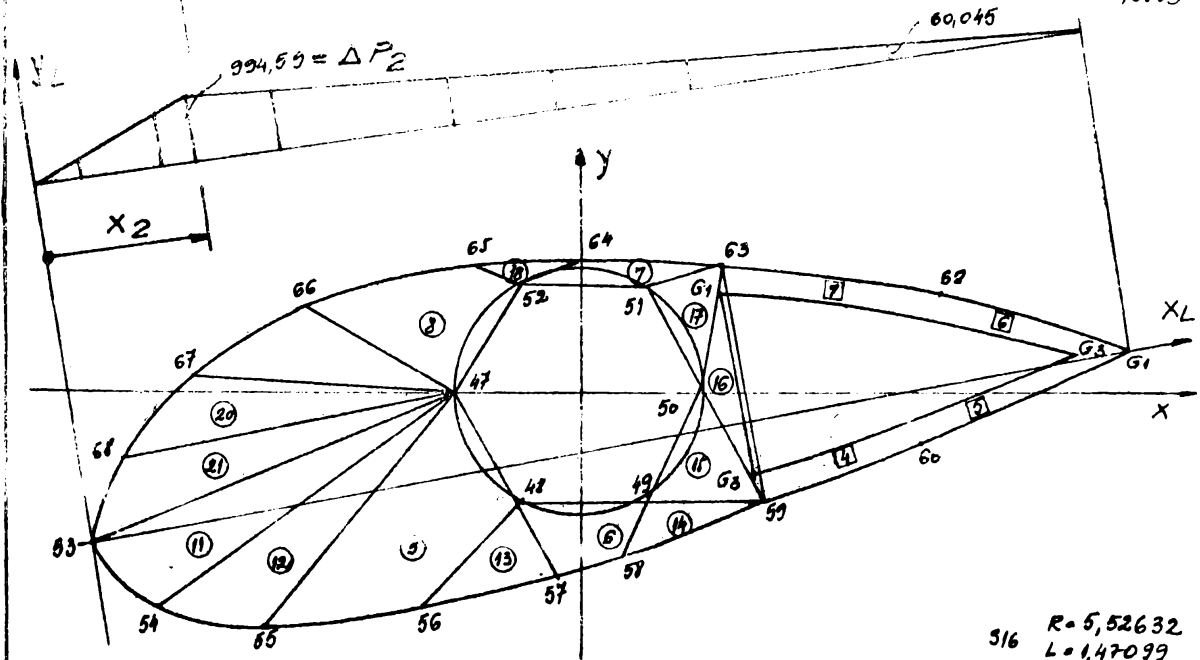
- numărul total de puncte nodale = 300
- numărul total de elemente plane împărțite în 5 grupe (PLANM) = 461
- numărul total de elemente de grindă (BEAMS) = 36
- numărul total de elemente de bară împărțite în două grupe (TRUSS) = 19

Modelul fizic obținut prin discretizarea paletai OPS- $\lambda=7$ -D = 30 m/300 kW se dovedește cel mai avantajos din punct de vedere economic (altfel în ceea ce privește volumul de muncă pentru



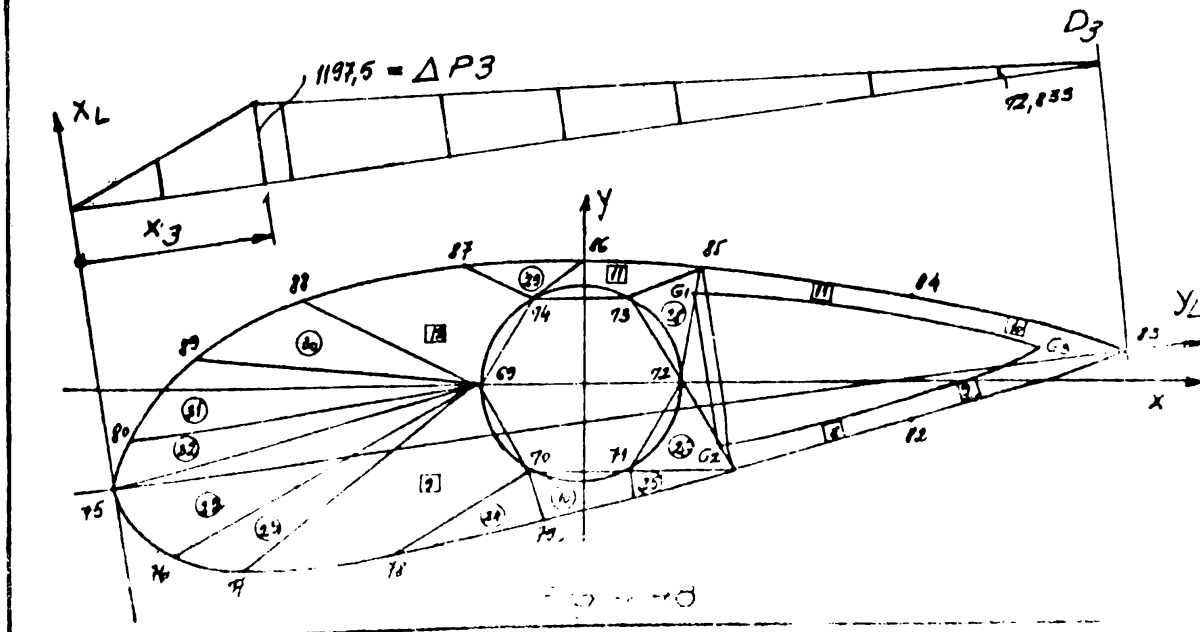
318 R=4,26316  
L=1,60551

(D2) R=4,500  
L=1,5803



316 R=5,52632  
L=1,47099

(D3) R=5,250  
L=1,5004



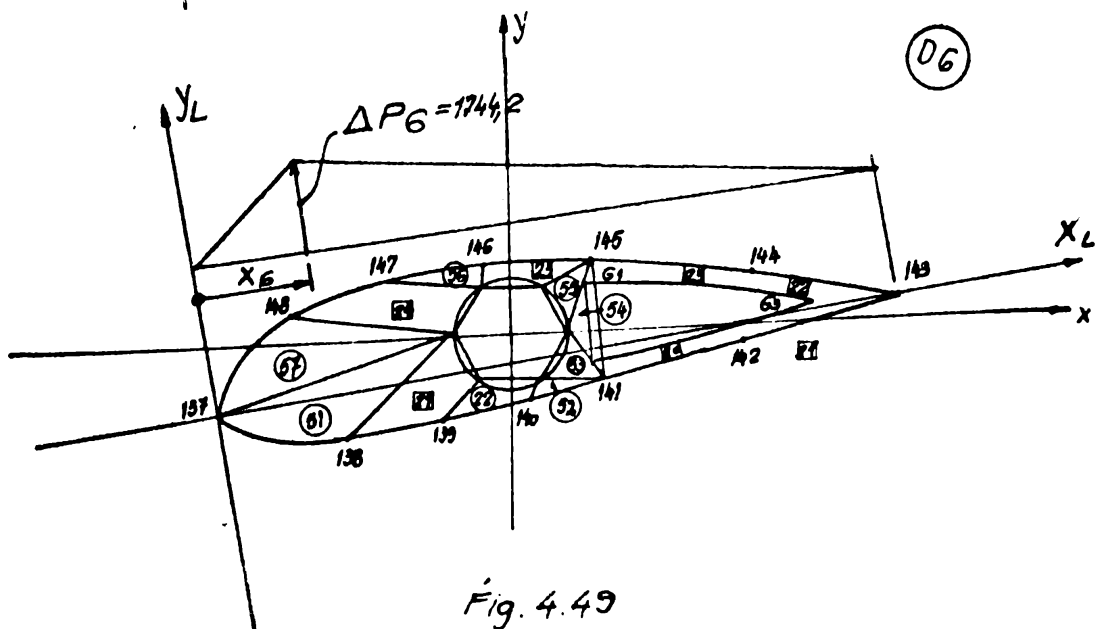
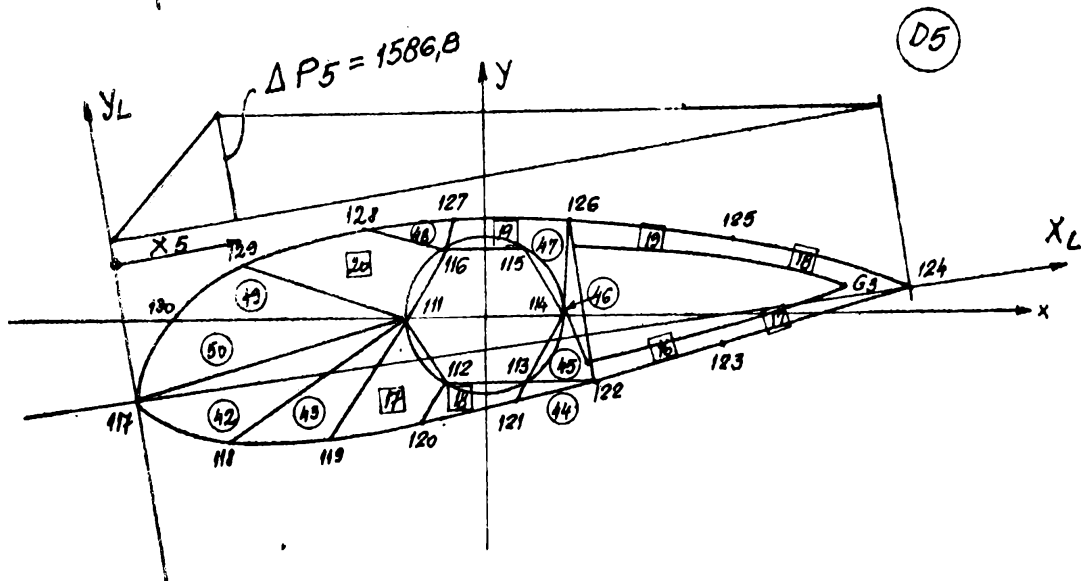
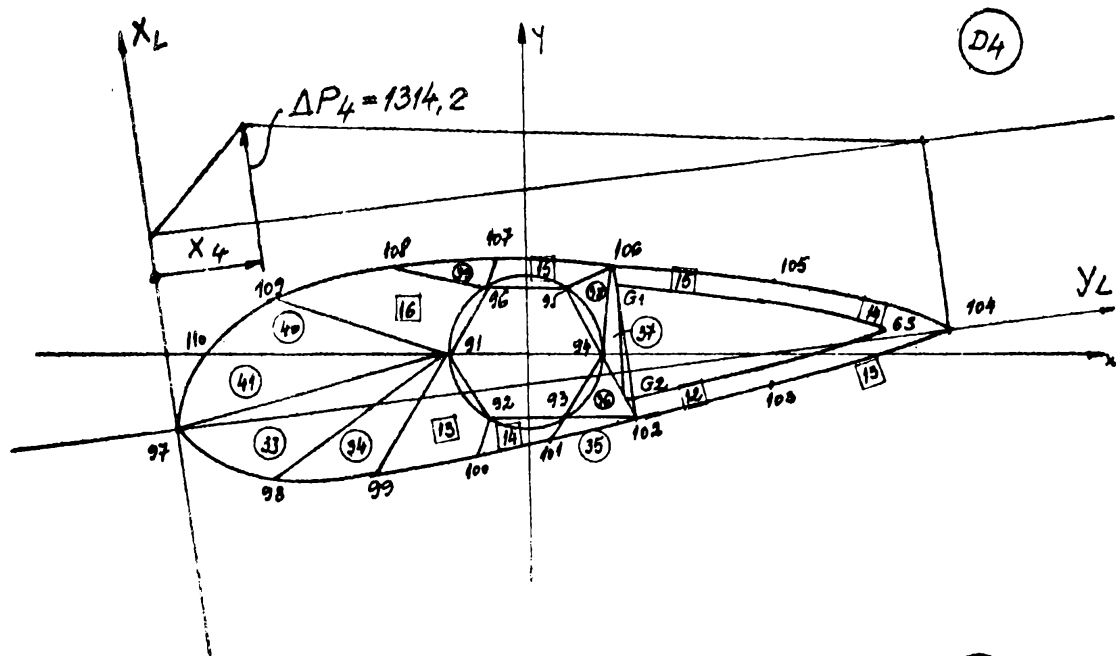


Fig. 4.49

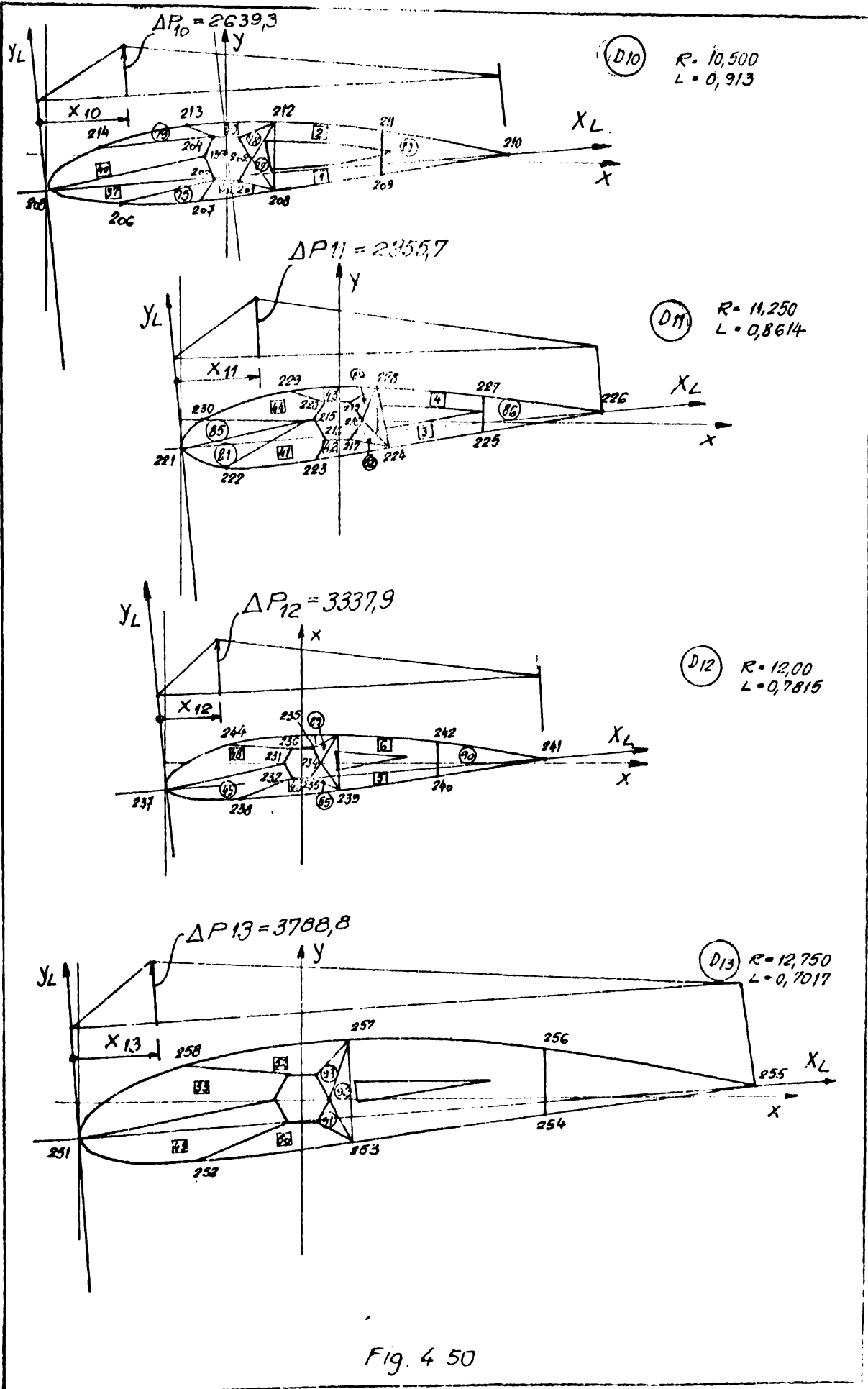


Fig. 4 50

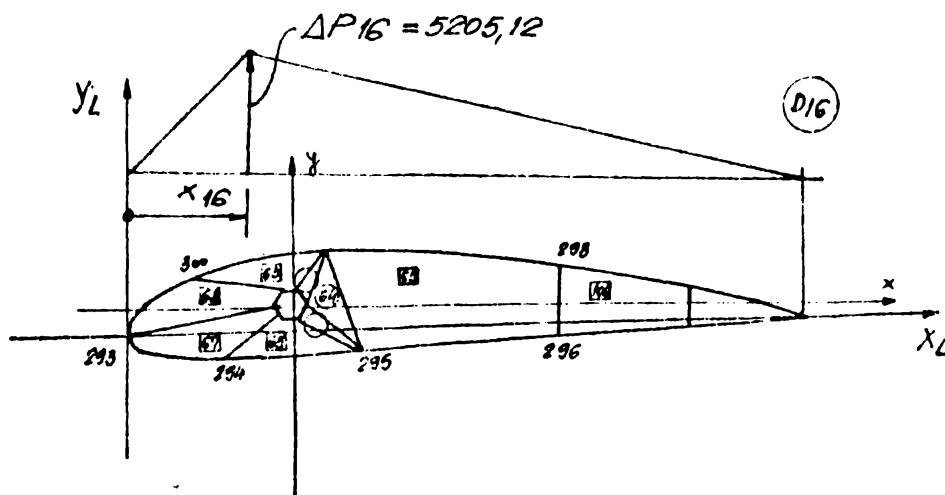
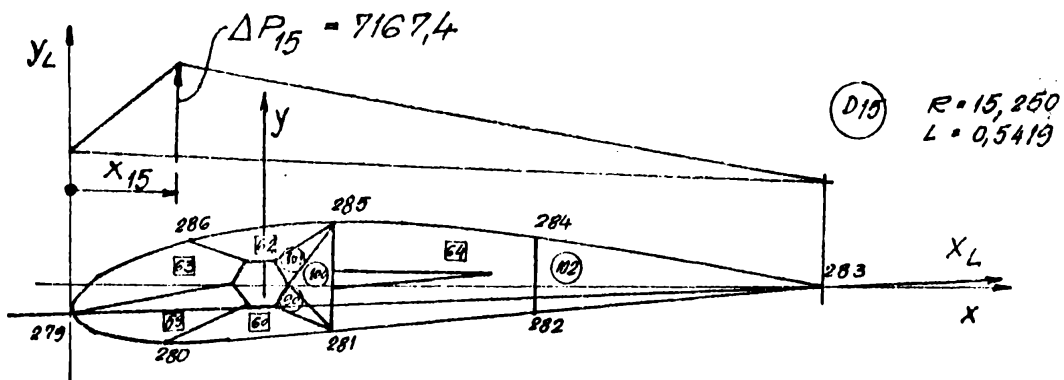
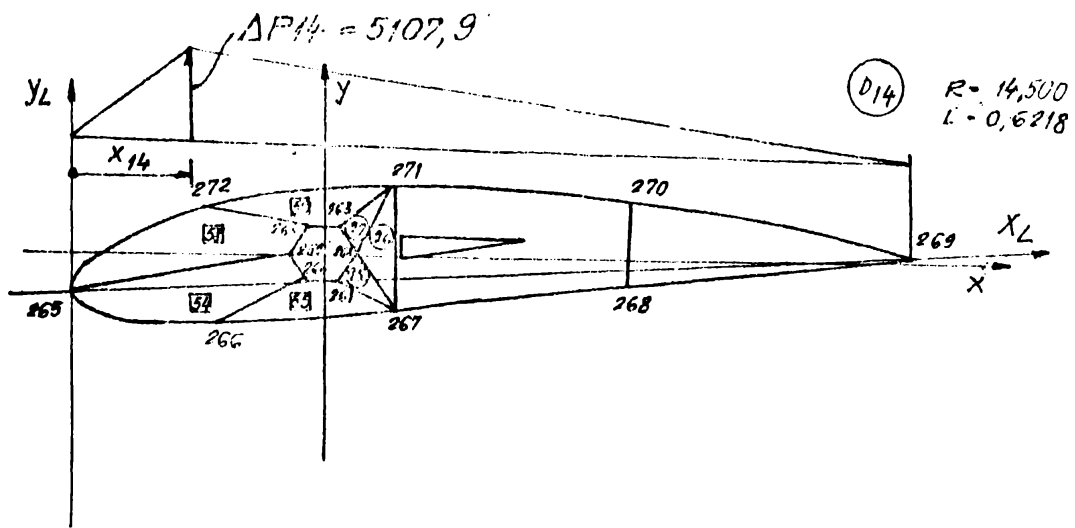


Fig. 4.51





paletai SK 1 - CM/30 kW (cap.5) , sau vor infirma modelul fizic ales pentru discretizare.

Rezultatele rulării cu programul SAP 051 se concretizează într-un volum imens de date în deplasări și tensiuni. Aceste date au fost selectate și prelucrate pentru toate secțiunile caracteristice ale paletai. În fig.4.52+ 4.55 se prezintă diagramele de deplasări și de tensiuni din acțiunea vântului la viteza ( $v=16$  m/s) pentru paleta SK 3-  $\lambda=4-D=30$  m/300 kW și din vânt cu aceeași viteză ( $v=16$  m/s) dar cu supraturare din rafală ( $\Delta p=1,74 \cdot \Delta p_L$ ) pentru paleta OPS-  $\lambda=7-D=30$  m/300 kW. Valorile cu linie plină reprezintă valorile reale obținute după mediere ținând seama de condițiile de echilibru. Din diagramele prezentate în fig.4.52 se desprind următoarele concluzii: 1) paleta OPS-  $\lambda=7-D=30$  m este mai flexibilă decât paleta SK3-  $\lambda=4-D=30$  m; 2) nivelul tensiunilor pentru paleta SK3-  $\lambda=4-D=30$  m este mai ridicat decât pentru paleta OPS-  $\lambda=7-D=30$  m. Cele de mai sus sînt explicabile prin diferențele geometrice și de gabarit pe care le-am amintit precum și prin nivelul și distribuția încărcării care revine fiecărei paletai [78],[44],[54] și (cap.2).

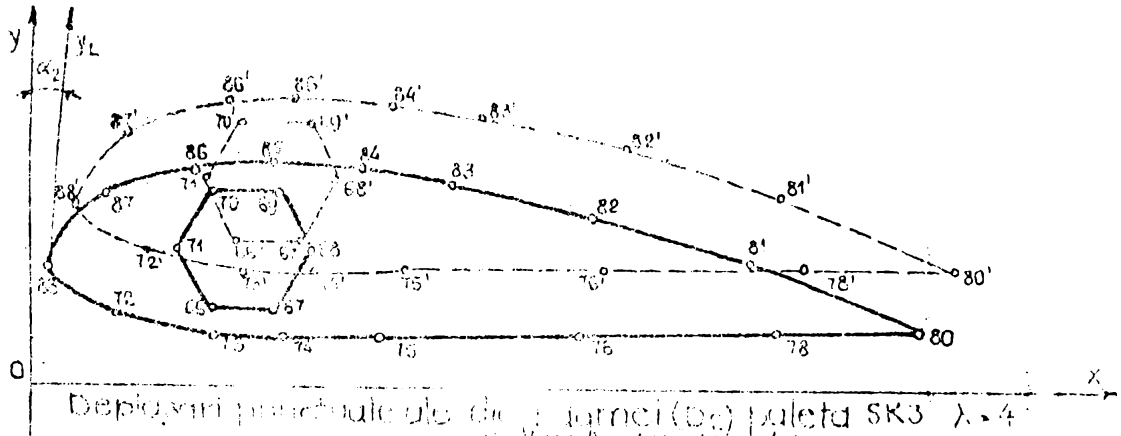
Din analiza celor de mai sus se desprinde concluzia că paleta OPS-  $\lambda=7-D=30$  m/300 kW, este mai avantajoasă și în concluzie s-a optat pentru această soluție. De altfel paleta OPS-  $\lambda=7-D=30$  m/300 kW, în ceea ce privește alcătuirea structurii de rezistență, înglobează în ea experiența cîștigată la proiectarea paletai SK 3-  $\lambda=4-D=30$  m/300 kW și a paletelor de putere mică SK 1-  $\lambda=6,5-D=10$  m, etc.

Nu se prezintă în continuare valorile eforturilor unitare și ale deformațiilor (deplasărilor punctuale) pentru alte încărcări care intră în combinație la stabilirea ipotezelor de încărcare deoarece ele au o distribuție clară, cum ar fi cele din forța de inerție sau sînt asemănătoare cu cele din presiunea vîntului cum ar fi cele din greutatea proprie.

#### 4.5. Considerente generale de verificare a paletelor pentru aerogeneratoare cu ax orizontal

Verificarea paletelor pentru aerogeneratoare cu ax orizontal se face în conformitate cu ipotezele de încărcare descrise în capitolul 2.

Verificarea de rezistență, constă din compararea eforturi-



Depășiri punctuale ale vitezei (D<sub>v</sub>) lalela SK3 λ = 4  
 S<sub>v</sub> (p/y), (v = 16 m/s)

63	64	65	66	67	68	69	70	71	72	73	74	75	76	77	78	79	80	81	82	83	84	85	86	87	88
6.058	5.716	5.716	6.029	6.351	6.471	6.029	5.716	5.716	6.029	6.351	6.471	6.029	5.716	5.716	6.029	6.351	6.471	6.029	5.716	5.716	6.029	6.351	6.471	6.029	5.716
1.396	1.423	1.499	1.532	1.525	1.575	1.487	1.497	1.487	1.532	1.575	1.525	1.487	1.423	1.499	1.463	1.427	1.463	1.487	1.423	1.499	1.532	1.525	1.575	1.487	1.423

19.4.83

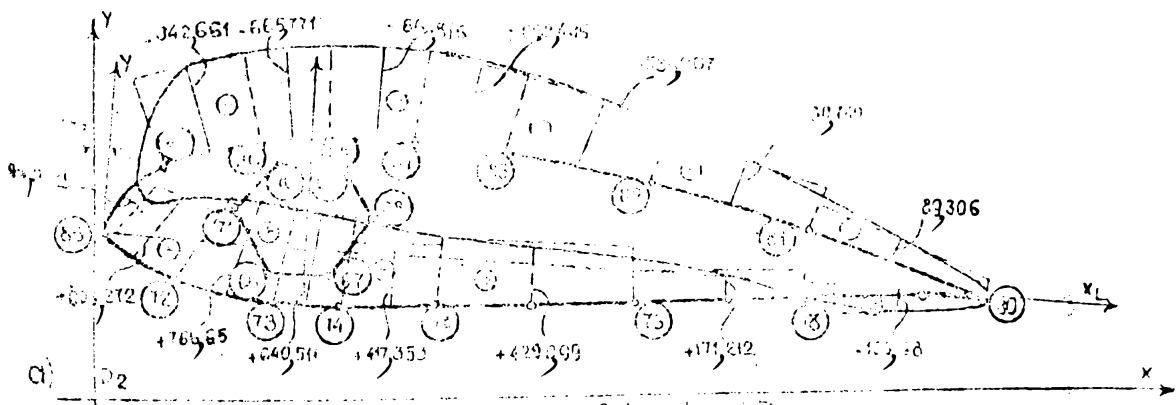
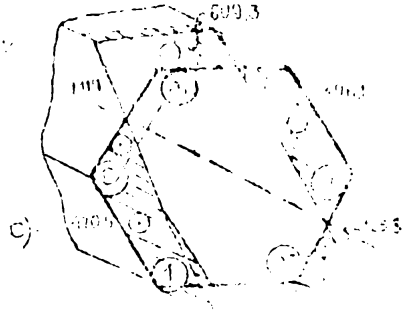
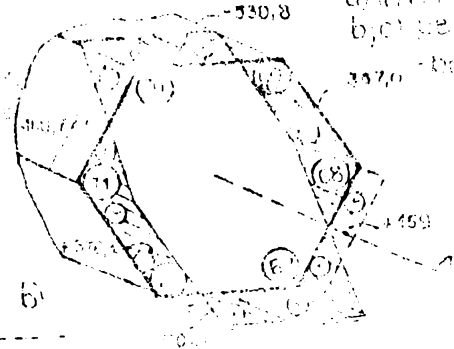


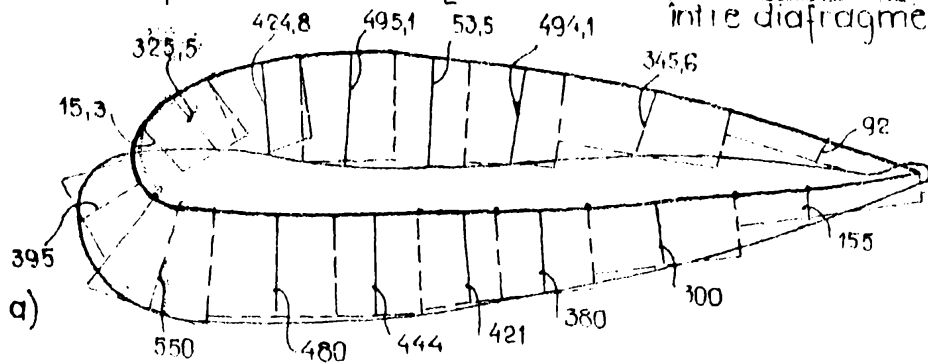
Diagrama C<sub>p</sub> din ty la v = 16 m/s între la și D<sub>3</sub>

- a) învelitoare
- b) peșteră

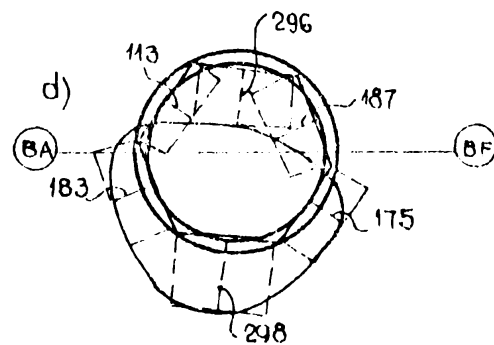
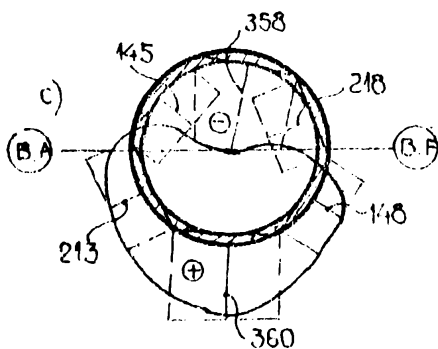
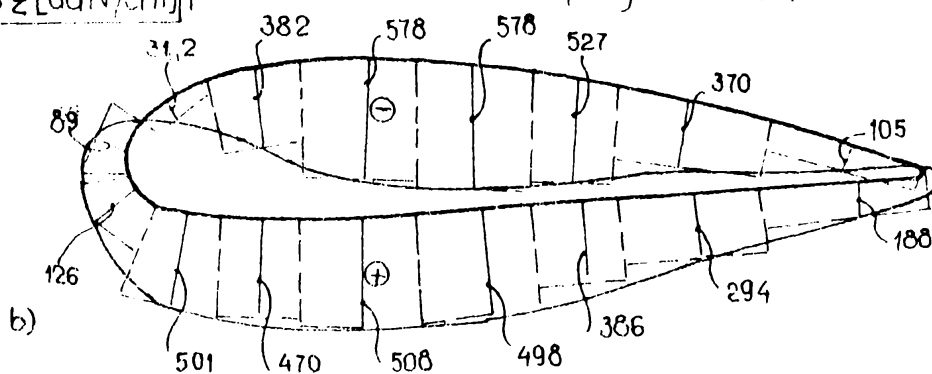


Încărcare din vînt  $v = 16 \text{ m/s}$  cu supra-  
turare rafală  $\Delta p = 1,74 \Delta p_L$

$G_z \text{ [daN/cm}^2\text{]}$  pe învelitoare  
între diafragmele  $D_3$  și  $D_4$



Încărcare din vînt  $v = 16 \text{ m/s}$  cu suprațurare rafală  $\Delta p = 1,74 \Delta p_L$   
 $G_z \text{ [daN/cm}^2\text{]}$  pe învelitoare între diafragmele  $D_4$  și  $D_5$



$G_z \text{ [daN/cm}^2\text{]}$  pe ax între  $D_4$  și  $D_5$ ,  
încărcare vînt  $v = 16 \text{ m/s}$  cu su-  
praturare din rafală  $\Delta p = 1,74 \Delta p_L$

$G_z \text{ [daN/cm}^2\text{]}$  pe ax între  $D_3$   
și  $D_4$ , încărcare cu vînt  $v = 16$   
 $\text{m/s}$  cu suprațurare din ra-  
fală  $\Delta p = 1,74 \Delta p_L$ .

Diagrama  $G_z \text{ [daN/cm}^2\text{]}$  din presiunea vîntului cu supra-  
turare din rafală ( $\Delta p = 1,74 \Delta p_L$ ) pe paleta ops  $\lambda = 7$ ,  $D = 30 \text{ m}$

- a) pe învelitoare între  $D_3$  și  $D_4$
- b) pe învelitoare între  $D_4$  și  $D_5$
- c) pe ax între  $D_4$  și  $D_5$
- d) pe ax între  $D_3$  și  $D_4$

Fig. 4.55

lor unitare efective cu eforturile adalase.

De exemplu eforturile unitare într-un punct se calculează și se verifică după relațiile:

$$\sigma_{ef} = \sigma_{ef}(1,21\Delta p) + \sigma_{ef}(G) + \sigma_{ef}(F_i) + \sigma_{ef}(F_G) \leq \sigma_a; \quad (4.219)$$

$$\tau_{ef} = \tau_{ef}(1,21\Delta p) + \tau_{ef}(G) + \tau_{ef}(F_i) + \tau_{ef}(F_G) \leq \tau_a$$

unde: termenii din partea stângă a relației (4.219) reprezintă eforturile unitare din acțiunea vântului la greutatea propriei, a forțelor de inerție și a forțelor giroscopice.

Tensiunile de comparație după criteriul (v Mises-Hencky) se compară cu (1,1  $\sigma_a$ ).

Verificarea la oboseală se face, în baza concluziilor și ipotezelor de încărcare din capitolul 2, după STAS 1911/75. Având în vedere că toate acțiunile care sollicită paleta au caracter alternant sau pulsatoriu ( așa cum sînt descrise în capitolul 2) este necesar să se verifice la oboseală toate elementele paletelor pentru primele trei ipoteze de calcul, precizate în capitolul II, care sînt ipoteze de exploatare normală a paletelor.

Verificarea la oboseală în exploatare a paletelor și a celorlalte elemente ale rotorului solian este absolut necesară. Această verificare trebuie făcută la toate solicitările provenite din ipotezele de exploatare normală a aerocentralei. În lucrările [5] și [42] se precizează că majoritatea firmelor din țările europene fac aceste verificări la oboseală a paletelor, pentru toate încărcările de exploatare normală în conformitate cu normele și prescripțiile de verificare la oboseală specifice țării respective sau firmei respective. Firmele Suedeze au extins <sup>metoda de</sup> verificarea la oboseală sub sarcini de exploatare a paletelor aerogeneratoarelor cu ax orizontal, metodă folosită mai cu seamă în construcțiile podurilor metalice de cale ferată.

Verificarea de stabilitate se face pentru elementele care compun structura prin limitarea efortului unitar normal la valoarea limită ( $\sigma_{cr}$ ) corespunzătoare fiecărui element din structură care este supus la compresie.

Exemplu de verificare pe paleta aerogeneratorului cu ax orizontal de putere mare ( Paleta GFS -  $\Lambda = 7-D = 30m/300 kW$ )

1. Verificarea de rezistență pentru un punct din zona

întinsă a învelitorii între diagramele (D<sub>3</sub>) și (D<sub>4</sub>) corespunzător ipotezei a treia de încărcare.

$$\sigma_{ef} = 600,0 + 160,0 + 180,0 + 10,0 = 950 \text{ daN/cm}^2 < \sigma_a;$$

pentru un punct din zona comprimată a învelitorii între diagramele (D<sub>3</sub>) și (D<sub>4</sub>) - corespunzător ipotezei a treia de încărcare.

$$\sigma_{ef} = -600,0 - 155,0 + 130,0 - 9,0 = -634 \text{ daN/cm}^2 < \sigma_a.$$

2. Verificarea la oboseală: pentru un punct din zona întinsă a învelitorii între diafragmele (D<sub>3</sub>) și (D<sub>4</sub>) corespunzător ipotezei întâia de încărcare.

$$\begin{aligned} \sigma_{ef} &= 360,0 + 160,0 + 130,0 + 10,0 = 660,0 \text{ daN/cm}^2 < \sigma_{a(ob)} = \\ &= 1018 \text{ daN/cm}^2; \end{aligned}$$

pentru un punct din zona comprimată a învelitorii între diafragmele (D<sub>3</sub>) și (D<sub>4</sub>) - corespunzător ipotezei întâia de încărcare.

$$\begin{aligned} \sigma_{ef} &= -360,0 - 155,0 + 130,0 - 9,0 = -394 \text{ daN/cm}^2 < \sigma_{a(ob)} = \\ &= 1018 \text{ daN/cm}^2; \end{aligned}$$

pentru aceleași puncte din zona întinsă și comprimată ca mai sus dar, corespunzător ipotezei a treia de încărcare

$$\begin{aligned} \sigma_{ef} &= +600,0 + 160,0 + 180,0 + 10,0 = 950 \text{ daN/cm}^2 < \sigma_{a(ob)} = \\ &= 1018 \text{ daN/cm}^2. \end{aligned}$$

$$\begin{aligned} \sigma_{ef} &= -600,0 - 155,0 + 130,0 - 9,0 = -634 \text{ daN/cm}^2 < \sigma_{a(ob)} = \\ &= 1018 \text{ daN/cm}^2 \end{aligned}$$

3. Verificarea la stabilitate: pentru un punct din zona comprimată a învelitorii între diafragmele (D<sub>3</sub>) și (D<sub>4</sub>) corespunzător ipotezei a III-a și respectiv ipotezei IV-a.

$$\begin{aligned} \sigma_{cr} &= -600,0 - 155,0 + 130,0 - 9,0 = -634 \text{ daN/cm}^2 < \sigma_{cr(inv)} = \\ &= 980 \text{ daN/cm}^2; \end{aligned}$$

$$\sigma_{ef}^* = 840,0 - 120,0 - 0,9,0 = -970 \text{ daN/cm}^2 < \sigma_{cr(inv)} = 980 \text{ daN/cm}^2$$

Obs. Verificările pentru paleta SKI-OM se fac asemănător numai că trebuie avute în vedere ipotezele de încărcare diferite față de paleta OPS- $\lambda=7$ . Ca atare, verificarea la oboseală și la stabilitate se va extinde numai asupra primelor două ipoteze de încărcare. Ipoteza a III-a de încărcare este echivalentă cu ipoteza a IV-a de la celelalte palete.

Verificarea de stabilitate a linelor se face după metoda coeficientului de flambaj conform STAS 1911/75 sau se determină ( $\sigma_{cr}$ ) după precizările paragrafului 4.3.3. Limita ( $\sigma_{cr}$ ) pentru lină se poate admite să fie atinsă numai la încărcări care sînt egale sau mai mari decît cele din ipoteza a treia corespunzătoare paletai SK 1-OM. Pentru paleta OPS- $\lambda=7$ -D = 30 m ( $\sigma_{ef}$ ) poate să fie mai mare sau egal cu ( $\sigma_{cr}$ ) corespunzător tălpilor învelitorii (a panoului sandwich, vezi cap.5) dar nu pot depăși limita de cedare ( $\sigma_{cr}$ ) a întregului panou sandwich.

#### 4.6. Concluzii

1. Calculul și natura solicitărilor, în paletelor aerogeneratoarelor cu ax orizontal, este particulară, ea diferă de solicitările care apar în construcțiile aeronautice, construcțiile civile și structurile mecanice. Dar unele solicitări se aseamănă cu solicitările din aceste domenii concrete și ca atare unele principii de calcul și unele ipoteze simplificatoare au fost împrumutate din aceste domenii.

2. Structurile de rezistență a paletelor pentru aerogeneratoare cu ax orizontal în varianta de oțel fac parte din domeniul construcțiilor metalice speciale. Elementele de construcție care compun structura sînt foarte zvelte și ridică problema de stabilitate asemănătoare cu cele ale plăzilor subțiri și foarte subțiri de oțelideri mari întâlnite în construcțiile industriale și social culturale. Unele aspecte, cum ar fi cele legate de ciclul solicitărilor ne trimite către domeniul podurilor metalice

---

\* Eforturile unitare din ipoteza a IV-a pot depăși rezistențele limită și admise dar nu pot depăși limitele de rupere corespunzătoare elementelor respective.



la cale ferată.

3. Calculul structural de rezistență a paletelor pentru aerogeneratoare cu ex. orizontal este un total particular, el a fost conceput și gândit special pentru aceste structuri, bineînțeles, imprumutând anumite idei și ipoteze din domeniile conexe analizate, după o profundă analiză a acestora. Unele formulele de calcul clasice cunoscute din literatura de specialitate, care se pot aplica și la elementele de rezistență ale paletelor, au fost reutilizate în ce privește aplicarea lor și s-au stabilit care sînt ipotezele și condițiile de aplicare ale acestora pentru aceste cupluri de sarcini. În ceea ce privește teoria statică de calcul, cunoscută din literatura de specialitate și a rezistenței materialelor, aceasta a fost aplicată după reconsiderarea și completarea unor ipoteze și condiții privind rezistența și viteza de deplasare a paletelor în timpul funcționării acestora. Pentru aplicarea deosebită a acestor metode de calcul s-au utilizat și cele două metode de calcul în vigoare în prezent în vederea calculării structurii de rezistență a paletelor, a-a să zicem: calculul la rezistență și calculul la deplasarea transversală a paletelor. CPD-7 = 7-0-30-10-1.

## CAPITOLUL 5.

### INCERCĂRI EXPERIMENTALE, METODELE ALTEA METODELOR INCERCĂRIILOR CU REZULTATELE CALCULULUI NUMERIC SI ANALIZA ACESTORA

#### 5.1. Obiectul încercărilor experimentale

Așa cum s-a putut deduce din cele descrise în capitolele precedente studiul paletelor pentru aerogeneratoare cu ax orizontal reprezintă o problemă nouă pe plan național și chiar pe plan internațional. Venirea pe fațete a lor aduce în calcul, a valorii rezistențelor calculate pe modelul fizic stabilit și în general, comportarea structurilor propuse pentru aceste palete, a necesitat și necesită rezervele încercări experimentale. Prin încercările experimentale efectuate s-a urmărit, pe lângă o confirmare sau o infirmare a modelului fizic ales pentru calculul cu metoda elementului finit și urmărirea comportării de ansamblu a structurii, gradul de siguranță în exploatare, raționalizarea structurii de rezistență și reducerea greutateii paletei.

#### 5.2. Încercări experimentale pe paleta SK 1-ARAD

Încercarea s-a făcut în standul de încercări statice al Catedrei de construcții metalice. Paleta a fost prinsă cu șuruburi prin intermediul flanșei de standul rigid. În dreptul fiecărei diafragme, de-a lungul bordului de atac și a bordului de fugă au fost marcate punctele în care s-au făcut măsurătorile de deplasări. Aceste puncte au fost notate cu  $(D_1 + D_{12})$  atât la bordul de atac cât și la bordul de fugă.

Pentru determinarea tensiunilor s-au fixat traductori electrice, așezați ca în fig. 5.1. pe suprafața învelitorii la intrados în dreptul diafragmei  $(D_1)$  și  $(D_2)$ , pe rigidizările dintre flanșă și diafragma  $(D_3)$  și pe axul paletei. Timbrele T8, T9 și T11 au fost fixate pe rigidizările iar T10 pe axul paletei. Celelalte timbre au fost așezate pe învelitoare în dreptul lonjeroanelor și a lizelor. Timbrul T4 este pe învelitoare în imediata vecinătate a rigidizării pe care este fixat timbrul T9.

Măsurarea săgeților în cele 24 de puncte caracteristice din lungul paletelor s-a făcut cu ajutorul unui teodolit pe cale topografică. Citirile s-au făcut pe o riglă gradată din milimetru în milimetru, special amenajată pentru fixare în punctul marcat. Nu s-au utilizat microcomparatoare deoarece deplasările s-au presupus că vor fi mari, mai cu seamă în partea finală a încercării. Iar pentru treapta de încărcare corespunzătoare ipotezei a treia paleta putea prezenta deformări plastice foarte mari.

Traductorii electrici utilizați pentru măsurarea deformațiilor specifice liniare, în vederea determinării tensiunilor normale, au fost de tip G&P-Protokan, fixați cu adeziv normal pentru oțel. Măsurarea deformațiilor specifice liniare s-a făcut pe cale electrotensometrică rezistivă, cu o punte de măsură Huggenberger-CH și cutii de comutare cu echilibrare de aceeași fabricație, cablate în montaj electrorezistiv cu compensare automată de temperatură.

În vederea efectuării încercărilor s-au stabilit treptele de încărcare în conformitate cu cele trei ipoteze de încărcare, descrise în capitolul 2 și 4.

Pentru încărcarea din greutatea proprie nu au fost înregistrate deformațiile. Toate citirile de zero au fost făcute după montarea paletelor în stare. În această poziție deformată sub efectul greutății proprii, au fost făcute citirile de zero și pentru deplasările punctuale.

Treptele de încărcare teoretică s-au stabilit ca valoarea funcției de ipoteza de încărcare în dreptul fiecărei diafragme (tabelul 5.1) și pe întreaga paletă. Prima treaptă de încărcare corespunde încărcării din ipoteza I-a și este egală cu ( $P_T = 204,24 \text{ daN}$ ). Treapta de încărcare realizată practic, prin încărcarea paletelor cu saci de nisip (de 3 daN, de 7,5 daN și cu greutăți de fontă mai mari sau egale cu 2,5 daN) este de ( $P = 206,4 \text{ daN}$ ). Diferența între treapta de încărcare teoretică și cea realizată se datorește faptului că încărcarea totală ( $P_T$ ), care a fost repartizată în dreptul fiecărei diafragme de la ( $D_1 + D_{12}$ ) cu scopul respectării distribuției teoretice a încărcării aduse de vânt în lungul paletelor, nu a putut fi realizată exact. Pe întreaga paletă s-a realizat o încărcare mai mare decât cea teoretică cu 2,16 daN. Încărcarea corespunzătoare ipotezei a treia a fost realizată în treapta notată cu a, b, și c, în tab. 5.1.

Tabelul 5.1.

Nr. secțiunii	Încălzirea de colțul și tensiunile de încălzire constantă -				
	la temperatura normală în timpul încălzirii				
	I [daN]	II [daN]	III [daN]		
			a	b	c
D <sub>1</sub>	6,78	11,4	25,5	38,6	52,2
D <sub>2</sub>	9,5	28,1	52,7	77,3	101,9
D <sub>3</sub>	8,45	31,8	34,03	76,26	98,49
D <sub>4</sub>	12,88	36,6	56,5	76,4	96,3
D <sub>5</sub>	15,85	39,1	57,3	75,2	93,1
D <sub>6</sub>	19,78	41,8	58,66	74,32	90,58
D <sub>7</sub>	23,4	42,8	57,36	71,92	86,48
D <sub>8</sub>	25,5	41,7	55,3	68,9	82,5
D <sub>9</sub>	26,3	38,7	50,4	62,1	73,8
D <sub>10</sub>	24,2	35,6	45,23	54,86	64,49
D <sub>11</sub>	22,8	29,3	36,46	43,52	50,78
D <sub>12</sub>	19,6	15,4	20,26	25,12	29,98
TOTAL	$P_{T1} = 2204,24$	$P_{T2} = 3592,6$	$P_{T3a} = 598,6$	$P_{T3b} = 744,6$	$P_{T3c}$

Efectuarea încercărilor experimentale a început imediat ce paleta a fost fixată în stea, au fost lipite timbrele tensometrice și s-a întărit adhezivul de lipire al acestora.

Timbrele tensometrice au fost legate la puntea de măsură și în cutiile de echilibrare în scopul că apoi a fost pus în stație și s-au făcut citirile de nulă.

Pe toate aparatele au fost făcute citirile de zero în toate punctele de măsurare și au fost înregistrate aceste citiri. Paleta a fost încărcată cu o sarcină de 100 daN și s-au făcut citirile pe aparate după care paleta a fost descărcată și s-au reluat toate citirile.

După aceste operații pregătitoare paleta a fost încărcată în ordinea treptelor de încălzire precizate în tabelul 5.1.

După fiecare treaptă de încălzire au fost măsurate deformațiile specifice liniare și deplasările punctuale pentru toate punctele marcate de-a lungul bazei de atac și a bordului de fugă. Aceste măsurători sînt prezentate în figura 5.2 și tabelul 5.3. Cu ajutorul valorilor deformațiilor specifice obținute electrotensometric s-au calculat valorile forțelor unitare normale în toate punctele de măsurare. Aceste valori sînt prezentate în

tab. 5.2.

Tabelul 5.2

Ipoteza	Baza de calcul eforturilor unitare	Valorile eforturilor unitare din punctele caracteristice												Punctul de lucru
		1	2	3	4	5	6	7	8	9	10	11	12	
I	măsurat experiență	3	21	42	153	84	14	98	0	378	196	252		P=250,4
	calcul autocentrat	24	204	378	153	14		196	-	352	208	247		P=244,24
	e%	6,67	9,52	9,02	10,45	16,67	14,29	14,29		6,88	9,71	1,98		
II	măsurat experiență	5	34	68	239	126	21	147	0	587	304	387		P=396,7
	calcul autocentrat	40	354	371	200	135	32,4	158		561	278	371		P=392,6
	e%	8,1	7,9	5,45	4,18	7,14	26,67	7,5		6,0	5,7	9,3		
III	măsurat experiență	8	53	115	620	250	22	209	42	1260	587	580		P=923,7
	calcul autocentrat	7,5	57	131	370	266	45	323	40	1210	507	580		P=920,6
	e%	6,2	7,5	5,2	4,1	5,0	21	8	4,7	3,5	5,3	3,17		0,35%
IV	măsurat experiență	21	147	252	1360	420	14	632	105	2250	240	1550		P=1494,3

Sev în figura 5.2 este dată starea de variație a eforturilor unitare, determinându-se valorile unitare de calcul: pentru ipoteza a I-a (fig. 5.2.1); pentru ipoteza a II-a (fig. 5.2.2); pentru ipoteza a III-a (fig. 5.2.3).

Pe diagramele de încălzire prezentate în figura 5.2 sunt trecute valorile treptelor de încălzire teoretice stabilite din încălzirea teoretică (tab. 5.2) și valorile realizate pentru aceste trepte de încălzire. Prin urmare sunt marcate valorile de încălzire efectivă care au fost realizate. Sunt prezentate și diagramele deplasărilor după încălzirea teoretică și după încălzirea efectivă. Deplasările punctelor s-a făcut pe baza rezultatelor obținute după fiecare treaptă de încălzire. Componentele verticale ale deplasărilor (săgețile

dăte în fig. 5.2) au fost stabilite prin nivelament geometric. Valorile componentelor orizontale au rezultat din diferența de poziție a punctelor de verificare (palata încălzită-palata de încălzire). Valorile deplasărilor orizontale au fost foarte mici, de ordinul erorii de măsurare și nu s-au luat în considerare.

5.3. Caracterizarea comportării  
structurale

Analiza experimentală  
a stării de solicitare

În ceea ce privește modul de discretizare (modelul fizic de calcul) a fost discutat pe larg în paragraful 4.4.

Rezultatele calculului numeric, efectuat cu programul SAP 5M, sînt date în figura 5.1 și 5.2 și în tabelul 5.2 și 5.3.

Dia. analiza tensională, prezentată în tabelul 5.2 și fig. 5.1 se pot descrie astfel:

1. Distribuția de tensiuni a indicat valori ale eforturilor unitare, cele de distribuție fiind specifică mădurei apropiate de valorile maxime de calculare; sînt prezentate în fig. 5.1 și 5.2 rezultatele calculului numeric efectuat cu programul SAP 5M, în funcție de secțiunile de echilibru [14]. Aceste valori reprezintă de altfel valorile reale ale tensiunilor.

2. pe înălțimea secțiunii de echilibru (Fig. 5.2) avem un comportament elastic până la apariția crăpăturii (Fig. 5.2) /plasticitate în cazul (Fig. 5.2) au apărut valori ale eforturilor unitare care depășesc cele maxime admise de betonul existent;

3. Deoarece în cazul de față sînt de eforturi unitare a fost posibilă și pe baza rezultatelor obținute după o analiză de discretizare a fiecărui element de echilibru [14], aceeași funcție a eforturilor unitare de calculare sînt deosebit de apropiate de valorile reale ale eforturilor unitare. Într-un caz de solicitare de supraîncălzire, cele două curbe sînt foarte apropiate, ceea ce este în calculul propriu-zis. Aceste valori calculate sînt foarte apropiate de valorile măsurătorilor experimentale și de cele calculate numeric pe baza valorilor admise, sau valorile admise și medii (fig. 5.1).

4. Dacă pe anumite secțiuni sînt prezentate eforturile unitare din punctele (a) și (b) și din punctul de efort unitar (Fig. 4) se obține aproximativ aceeași distribuție a eforturilor unitare prezente pe secțiunile de echilibru și pe cele de calculare;

Prin calculul numeric, o analiză de discretizare și mediere, s-au obținut curbele eforturilor unitare care sînt prezentate prin curba

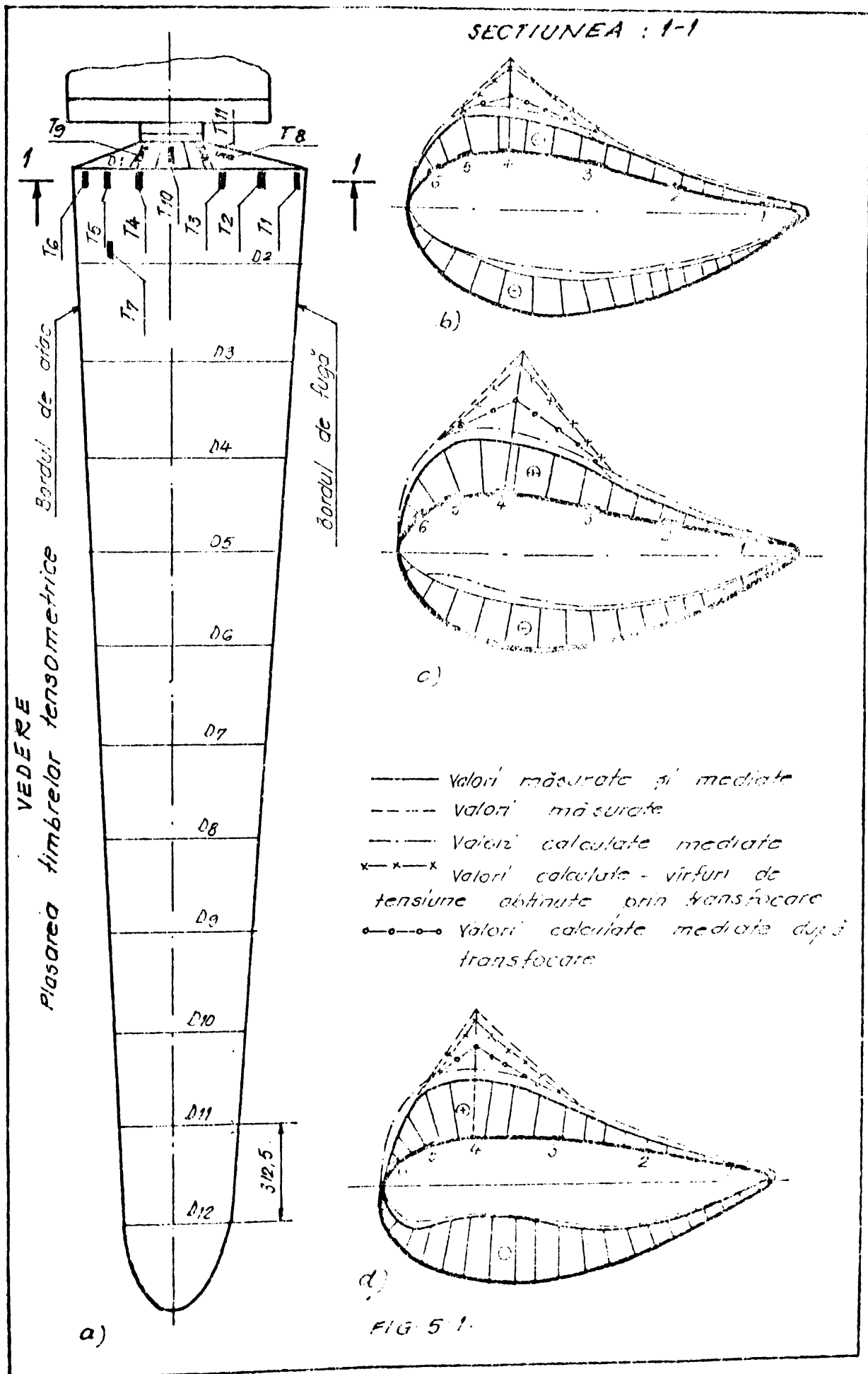
linie punct. Aceste valori sînt date și în tabelul 5.2. Se poate constata o bună concordanță între valorile eforturilor unitare calculate și cele rezultate din măsurătorile experimentale. Excepție de la aceasta face punctul (4) unde vârful de tensiune este prins în calculul numeric abia după transforare. Diferențele între eforturile unitare reale (cele calculate pe baza măsurătorilor experimentale) și eforturile unitare furnizate de calculator pe modelul fizic după transforare se încadrează în erori cuprinse între (0%-15%).

6. din analiza diagramei de deplasări fig.5.2 și a valorilor date în tabelul 5.3. se desprinde concluzia că modelul fizic obținut prin discretizare este mai rigid decît structura. Buna concordanță a deplasărilor obținute prin cele două investigații confirmă încă o dată buna concordanță a eforturilor unitare prezentate mai înainte. De asemenea rezultă că modelul fizic ales este corect și modelază foarte bine structura reală;

7. din analiza datelor din tabelul 5.3 se desprinde concluzia că efectul torsionării pentru încărcările corespunzătoare ipotezei I și II este nesemnificativ. În ipoteza a treia de încărcare efectul torsionării este sensibil. Ultima treaptă de încărcare la care s-au făcut măsurători de deplasări punctuale a corespuns forței totale ( $P = 1247,7 \text{ daN}$ ), apoi paleta a-a încărcat pînă la treapta de încărcare egală cu ( $P=1494,3 \text{ daN}$ ). La această ultimă treaptă de încărcare s-au măsurat doar deformațiile specifice și s-au calculat tensiunile. Aceste valori sînt prezentate în tabelul 5.2; de menționat că nivelul tensiunilor a rămas în domeniul elastic; în fig.5.3 și 5.4 se prezintă aspecte din timpul încărcării paletei SK 1-ARAD;

8. din datele obținute atât pe baza măsurătorilor experimentale cît și a calculului automat, efectuat după terminarea execuției structurii, rezultă că aceasta a fost supradimensionată. Supradimensionarea se datorează și unor modificări cerute de uzină din lipsa de aprovizionare cu unele sortimente de laminate. Obs. Calculul și dimensionarea acestei palete s-a făcut inițial aplicînd teoriile clasice ale Rezistenței materialelor. În calcul s-au luat în considerare, ca elemente principale de rezistență, axul și lonjeroanele. Diafragmele au rolul de a lega rigid axul și lonjeroanele în vederea conținutării lor. Invelitoarea și lisele au fost considerate că au doar rol secundar de preluare locală a încărcării din vînt și de a transmite către diafragme și apoi





DEPLASAREA BORDULUI DE FUGĂ

Scara(A)2:1

D1 D2 D3 D4 D5 D6 D7 D8 D9 D10 D11 D12 x

( $P_T = 204,24$ )

I  $P = 206,4 \text{ daN}$

II  $P = 396,7 \text{ daN}$

( $P_T = 392,6$ )

( $P_T = 920,6$ )

III  $P = 923,75$

$\Delta$  [mm]

a)

DEPLASAREA BORDULUI DE ATAC Scara 2:1

1 2 3 4 5 6 7 8 9 10 11 12 x

( $P_T = 204,24$ )

I  $P = 206,4 \text{ daN}$

( $P_T = 392,6$ )

II  $P = 396,7 \text{ daN}$

( $P_T = 920,6$ )

III  $P = 923,75 \text{ daN}$

----- calculate

————— măsurate

$P_T$  - treapta de încărcare teoretică

$P$  - treapta de încărcare realizată

( $P_T = 920,6$ )

IV  $P = 1247,7 \text{ daN}$

( $P_R = 1494,3 \text{ daN}$ )

$\Delta$  [mm]

b)

Fig. 52

TABELĂ 5.3

DEPLASĂRILE PUNCTUALE MĂSURATE ȘI CELE CALCULATE AUTOMAT (EROAREA PROCENTUALĂ %) [mm]														
	D <sub>1</sub>	D <sub>2</sub>	D <sub>3</sub>	D <sub>4</sub>	D <sub>5</sub>	D <sub>6</sub>	D <sub>7</sub>	D <sub>8</sub>	D <sub>9</sub>	D <sub>10</sub>	D <sub>11</sub>	D <sub>12</sub>		
B-A	Măsură	0,0	0,5	1,0	2,0	3,0	4,1	5,6	6,5	7,5	8,6	10,5	11,6	$P = 206,4 \text{ daN}$
	Calculat	0,01	0,48	0,98	1,95	2,95	4,00	5,4	6,3	7,2	8,2	10,1	11,1	$P_1 = 204,24 \text{ daN}$
	e%	-	4,1%	2%	2,5	3,5	2,5	3,7	3,2	4,2	4,9	3,9	4,5	IPOTEZA I
B.F	Măs.	0,0	0,55	1,0	2,1	3,1	4,2	5,65	7,0	7,6	9,5	11,0	12,0	
	Calc.	0,015	0,49	0,98	1,98	2,9	4,0	5,4	6,7	7,5	9,2	10,6	11,4	
	e%	-	6%	2	6	6,9	5	4,6	4,5	4,4	3,3	3,8	5,3	
B.A.	Măs.	0,0	0,5	1,6	3,0	4,5	6,0	8,0	9,5	11,0	13,0	15,5	18,0	$P = 396,7 \text{ daN}$
	Calc.	0,002	0,48	1,50	2,8	4,4	5,8	7,6	9,0	10,5	12,5	15,0	17,5	$P_2 = 392,6 \text{ daN}$
	e%	-	4%	6,6	7	2	3,5	5	5,5	4,7	4	3	2,9	IPOTEZA II
B.F	Măs.	0,0	0,6	1,6	3,0	4,5	6,0	8,0	10,5	12,0	14,5	16,5	19,0	
	Calc.	0,003	0,55	1,5	2,85	4,3	5,7	8,0	10,0	11,5	13,9	15,9	18,0	
	e%	-	9%	6,6	5,2	4,7	5,3	0	5	4,3	4,3	3,8	5,5	
B.A.	Măs.	0,2	2,0	4,5	7	9,5	12	16	19,5	24	28	33	40	$P = 923,75 \text{ daN}$
	Calc.	0,18	1,8	4,2	6,5	8,7	11,5	15	18,5	22	26	31	37	$P_3 = 920,6 \text{ daN}$
	e%	11,1%	11,1	7,1	7,7	9,2	4,3	6,7	5,4	9	7,1	6,5	8	IPOTEZA III
B.F	Măs.	0,25	3,0	5,8	7,5	10	13,5	18	21	24,5	29	33	37,5	
	Calc.	0,20	2,9	5,6	7,2	9,3	13,0	17	20	23,8	28,0	31,5	38	
	e%	25%	3,5	3,6	4,2	7,5	3,9	5,9	5	3	3,6	4,8	4,2	
BA	măs.	0,5	3	6	9	15	18	25	30	36	41	54	66	$P = 1247,7 \text{ daN}$
BF	măs.	0,65	5,0	8,5	11,5	16	21	27	33	38	45	51	58	$P = 1494,3 \text{ daN}$

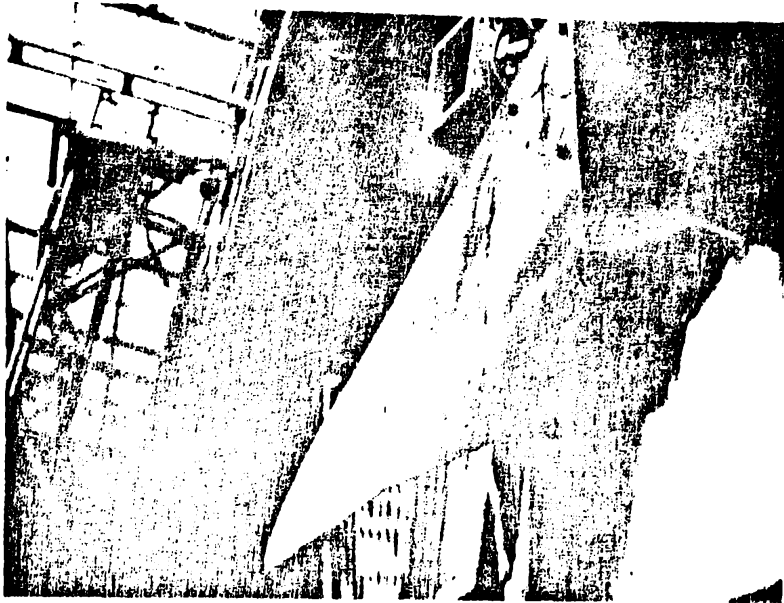


Fig. 5.3

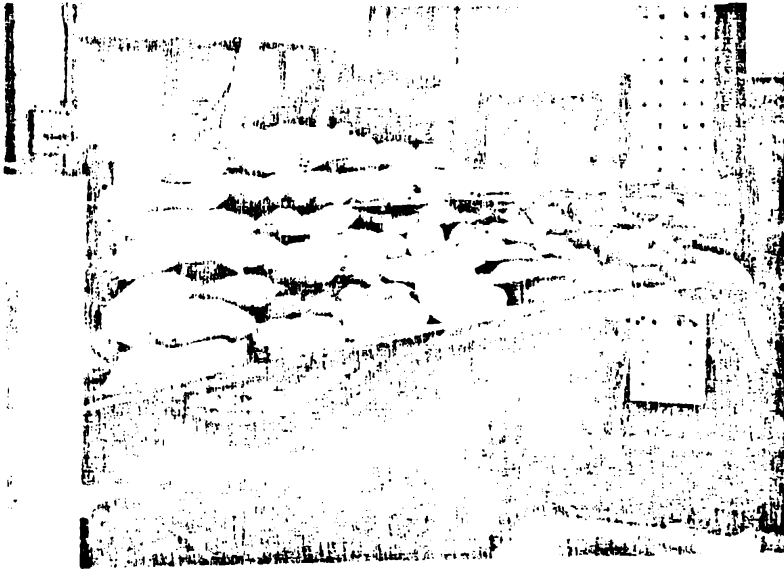
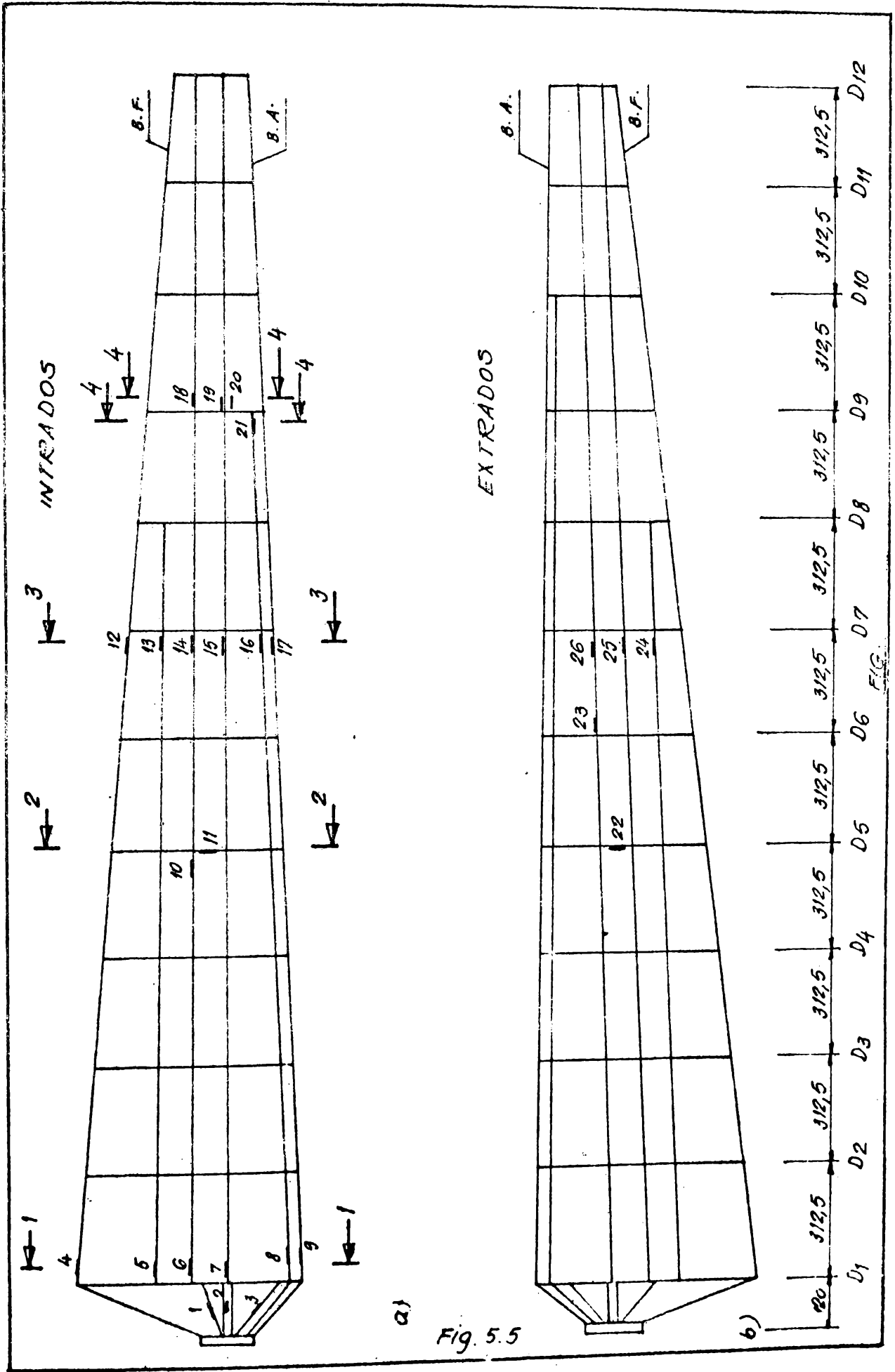


Fig. 5.4



către lonjeroane și ax. Nivelul eforturilor unitare care au fost calculate astfel depășește cu mult nivelul eforturilor unitare obținute prin măsurători. Această diferență apare din următoarele considerente:

- a). în schema de calcul clasic învelitoarea care era prevăzută din tablă cu grosimea de (1 mm) nu s-a luat în considerare;
- b). lișele nu au fost prinse în calculul de ansamblu, ele au fost apreciate că preiau numai sarcinile locale și le predau la diafragme.
- c). în realitate învelitoarea a fost executată din tablă cu grosimea de (2,5 mm) ceea ce a schimbat complet modul de lucru al întregii structuri și în consecință, învelitoarea preia o cantitate însemnată din solicitări. La prelucrare solicitărilor participă și lișele în colaborare cu învelitoarea.

#### 5.4. Incercări experimentale pe paleta SK 1-OM

În urma executării, calculării cu element finit și încercării paletei SK1-AMM a rezultat necesitatea îmbunătățirii structurii și reducerii greutateii paletei.

În consecință, a fost re-proiectată structura (au fost reduse dimensiunile unor elemente din structură (fig.3.1 și fig.3.2)) și executată în cadrul laboratorului Catedrei de construcții metalice. Noua structură, (SK1-OM) foarte ușoară și ușoară a fost calculată cu metoda elementului finit folosind programul de calcul SAP 80 și imediat încercată. Deși programul de calcul semnala pentru ipoteza a treia de încălzire (care reprezintă ipoteză de avarie), că în unele bare s-au depășit limitele admise iar în una din rigidizări și limita de curgere s-a trecut la încercarea efectivă pe structura nemodificată. Acest lucru s-a făcut din considerentul că se dorea să se cunoască situația reală, valoarea reală a încălzirii de cedare și comportarea elementelor structurii. Structura de rezistență a paletei SK1-OM neînvelită a fost montată în standul de încercări statice a Catedrei de construcții metalice.

Pe structura de rezistență au fost lipite timbrele tensometrice și marcate punctele de măsurare a deplasărilor punctuale. Poziționarea timbreilor electrodinamici se vede în fig.5.5 și fig.5.6.

Punctele de măsurare a deplasărilor punctuale au fost alese în dreptul fiecărei diafragme de-a lungul bordului de atac și a

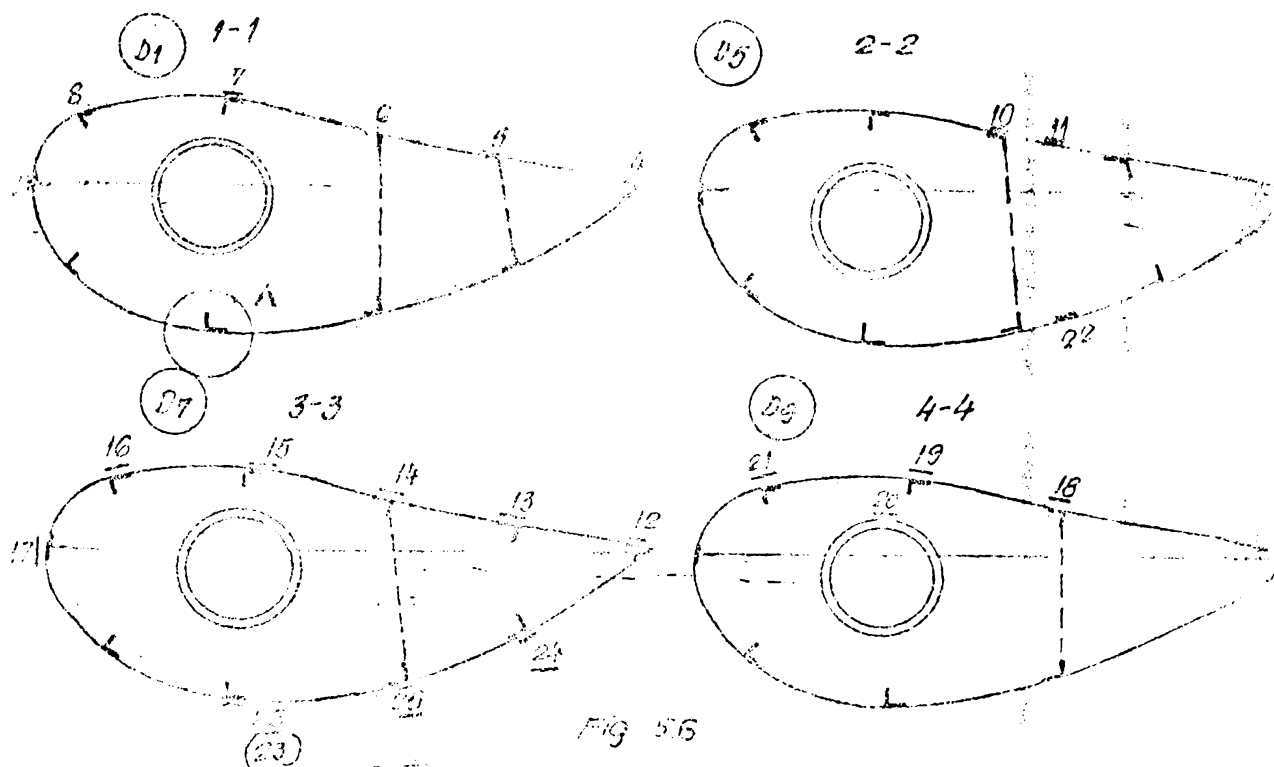


Fig 5.6

bordului de fugă și ele au fost notate cu  $(D_1 + D_{12})$

Transductorii electrici, nivelul de finisaj a lor și aparatură de măsurare sînt aceleași ca valveta SKI-ARAB.

În vederea efectuării încercărilor s-au stabilit treptele de încărcare teoretică care sînt prezentate în tabelul 5.1. După pregătirea încărcării, (cîntărirea șchelețelor cu nisip și a greutateșilor de font) legarea aparatului de măsură la timbrele tensometrice și la cutiile de echilibrare se trece la echilibrarea acestora și la efectuarea cîntărilor de zero.

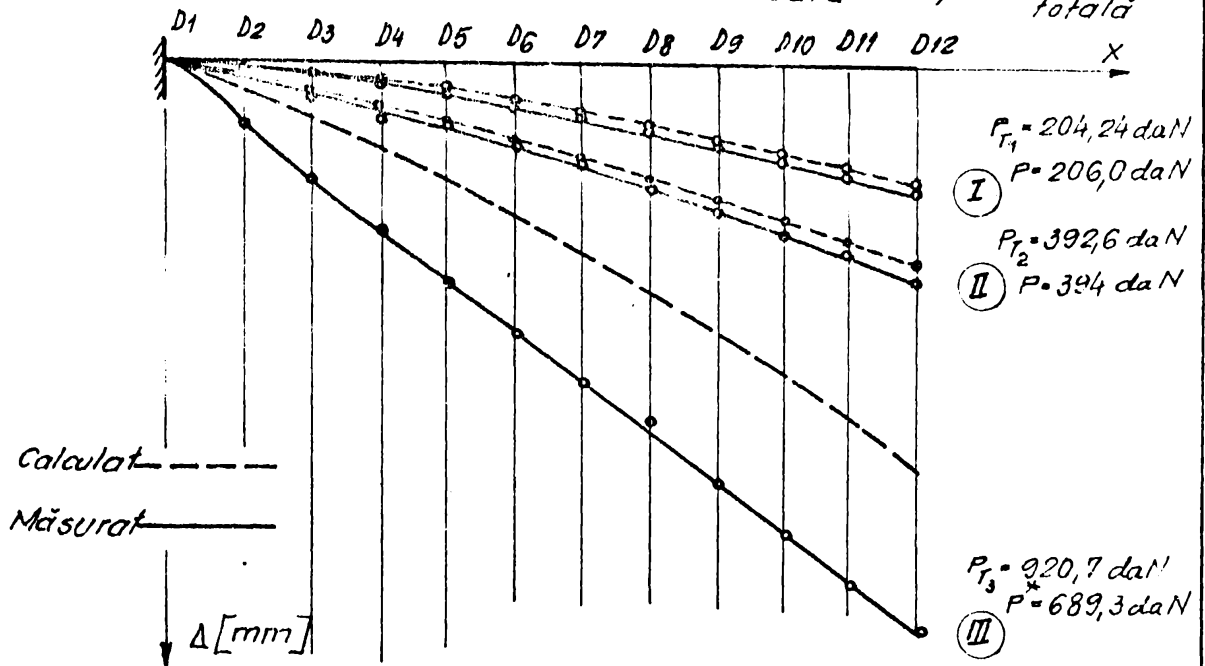
Pentru măsurarea deplasărilor punctuale se instalează aparatul topo, se pune în acțiune și se face citirea de referință, după care se trece la citirea zero pentru fiecare punct de măsură în lungul bordului de atac și a bordului de fugă.

După aceste operații pregătitoare s-a trecut la încărcarea paletelor, în ordine, la treptele de încărcare teoretică stabilite în tabelul 5.1. După realizarea fiecărei trepte de încărcare au fost măsurate deplasările punctuale corespunzător celor 24 de puncte în lungul bordului de atac și a bordului de fugă. Aceste măsurători sînt date în tabelul 5.2 și după producerea au fost reprezentate grafic în figura 5.7. Linia sîmbă reprezentă

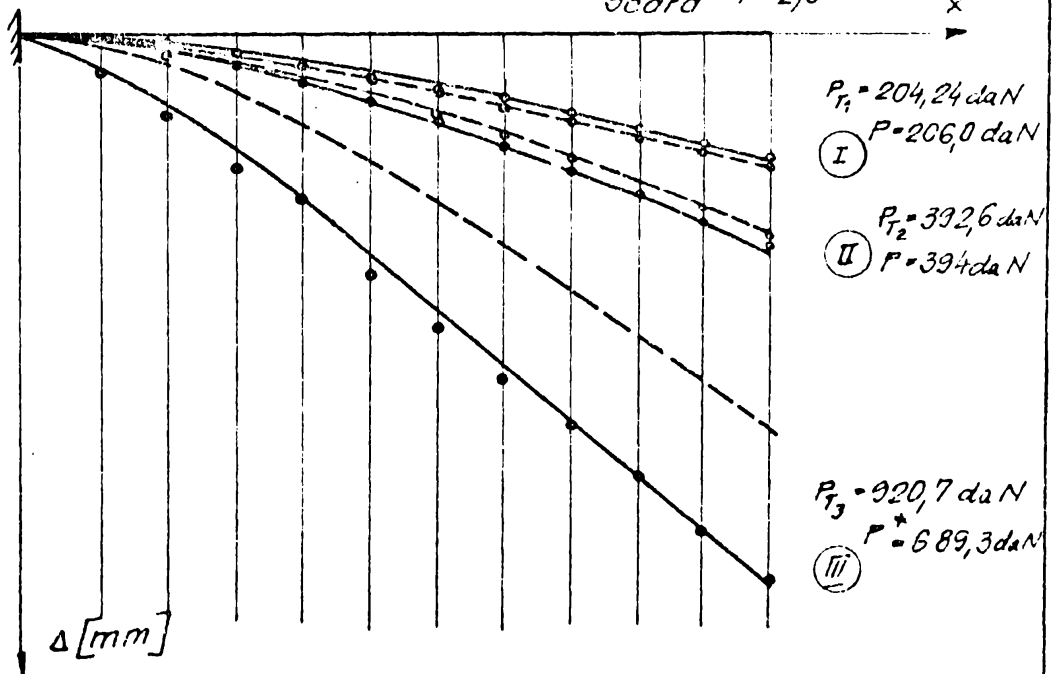


DEPLASAREA BORDULUI DE FUGĂ  
Scara: 1:2,5

Treapta de încărcare totală



DEPLASAREA BORDULUI DE ATAC  
Scara 1:2,5



\* Forța la care s-a produs voalarea (f.ombajul) lanjeronului (A) de la extradosul paletelor FIG. 5.6 și s-a produs curgerea rigidizării de sub firul 1 și 3. fig. 5.5 Timorul 2 este fixat de axul paletelor.

Fig. 5.7



Valorile deplasărilor punctuale furnizate de calculator după prelucrare și mediere sînt prezentate cu linie întreruptă.

Analizînd diagramele deplasărilor punctuale ale scheletului de rezistență pentru prima etapă de încălzire se constată că modelul fizic alus și de data aceasta este mai rigid decît structura reală.

La realizarea ipotezei a treia de încălzire în cei trepte a, b și c s-a urmărit cu atenție specificul comportării celor, lungimilor, diafragma și a rigidităților dintre flexiuni și diafragme (D). La treapta (III-a) încălzirii încălzirii totale  $P = 5000$  daN și s-au observat deforșanții locale semnificative ale elementelor pe care se pun în evidență apariția din lucru a elementului mare.

La realizarea ipotezei a treia se constată la atingerea forței totale  $P = 3000$  daN apar primele deforșanții locale (A) (Fig. 5.4) de la extremitățile laterale.

La realizarea ipotezei a treia deplasările punctuale sînt mai mari decît cele susținute de calculator corectîndu-se treptea a treia.

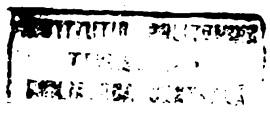
În acest lucru se explică prin apariția diafragmei de încălzire în mai multe etape din structura și deforșanții locali apar din cauza deforșanților și a rigidităților prezente a structurii.

Datele furnizate de calculator reflectă o comportare parțial elastică a structurii în etapele de încălzire, ceea ce este de așteptat.

Deformațiile specifice au fost măsurate electrocrometric și servit la determinarea valorilor caracteristice unitare, valori prezentate în tabelul 5.3 și reprezentate grafic în fig. 5.8.

5.5. Compararea rezultatelor măsurătorilor cu cele ale calculului

Din analiza acestor rezultate sînt prin calcul automat, pe modelul fizic rezolvat cu ajutorul programului, cit și a datelor obținute în urma măsurătorilor efectuate, se constată că încălzirea se desfășoară în două etape. În prima etapă de încălzire (I) din lungimile de încălzire (I) și (II) depășesc efortul unitar admis, iar în rigiitatea de încălzire (I) și (II) se constată că este fixat timbrul (I) de încălzire și diafragma de încălzire (fig. 5.5) și tabelul 5.3.



Punct caracteristic	Valori calculate			Valori măsurate		
	$\sigma_x$	$\sigma_y$	$\sigma_z$	$\sigma_x$	$\sigma_y$	$\sigma_z$
1	100	100	100	100	100	100
2	100	100	100	100	100	100
3	100	100	100	100	100	100
4	100	100	100	100	100	100
5	100	100	100	100	100	100
6	100	100	100	100	100	100
7	100	100	100	100	100	100
8	100	100	100	100	100	100
9	100	100	100	100	100	100
10	100	100	100	100	100	100

Punct caracteristic	Valori calculate			Valori măsurate		
	$\sigma_x$	$\sigma_y$	$\sigma_z$	$\sigma_x$	$\sigma_y$	$\sigma_z$
1	100	100	100	100	100	100
2	100	100	100	100	100	100
3	100	100	100	100	100	100
4	100	100	100	100	100	100
5	100	100	100	100	100	100
6	100	100	100	100	100	100
7	100	100	100	100	100	100
8	100	100	100	100	100	100
9	100	100	100	100	100	100
10	100	100	100	100	100	100

Informația de care  
 este însoțită de  
 (1), (2) și (3),  
 se va înregistrare  
 care este de  
 în tabelul  
 în fig. 5.5 și 5.6.

În fig. 5.8 se dă reprezentarea grafică a  
 tensiunilor calculate cu M.E.F. și calculate în urma măsurătorilor  
 experimentale în dreptul punctelor de măsurare.

Valorile tensiunilor calculate în baza măsurătorilor

Unita de control a sistemului de alimentare cu aer

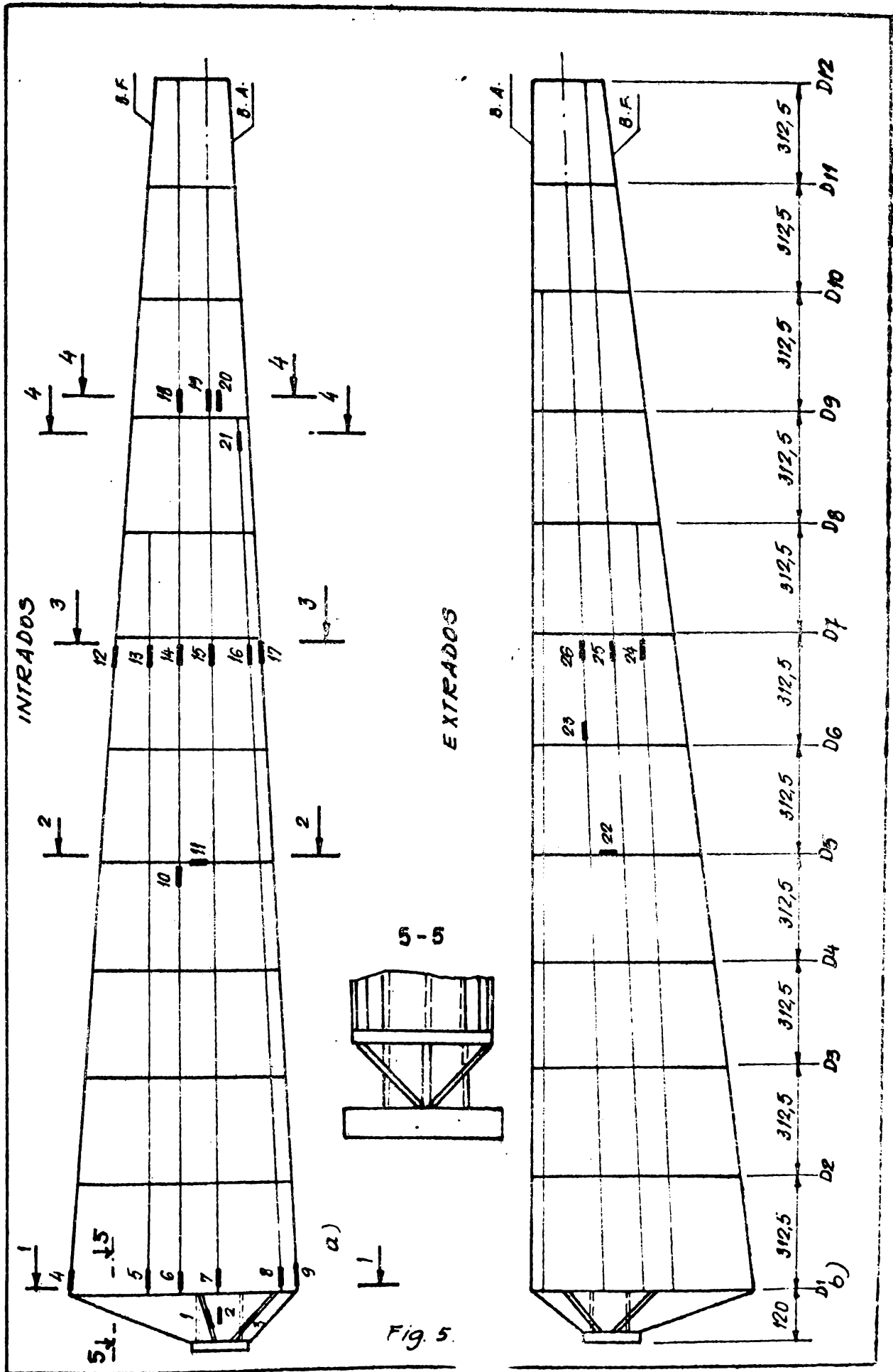
Unita de control a sistemului de alimentare cu aer



Fig 5-8

Unita de control a sistemului de alimentare cu aer

Unita de control a sistemului de alimentare cu aer



2. Lipsește din text  
 în g. 5-10

diviziune în

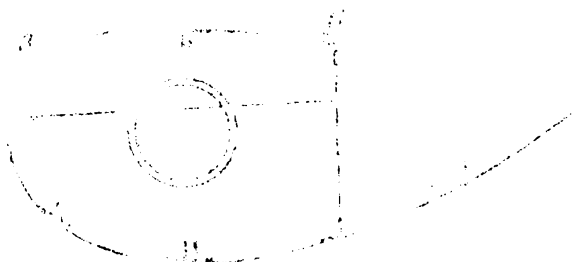
tipurile abstracte (1) și (2)  
 (vezi și Fig. 5-9, pag.

în anexa

anexa

de proiectare

1-1



3-3



3)

(2) au fost dublate (7) (8)

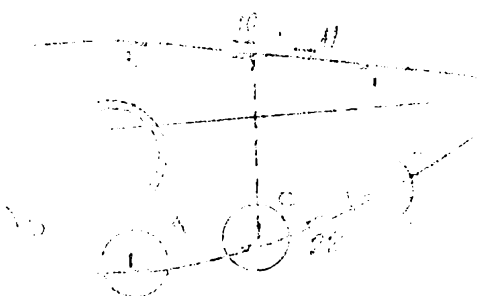
și (9) pe care s-au  
 în tablă cu grosimea

se realizat o

șablon; au fost

au dublate (10) (11)

11-11



11-11

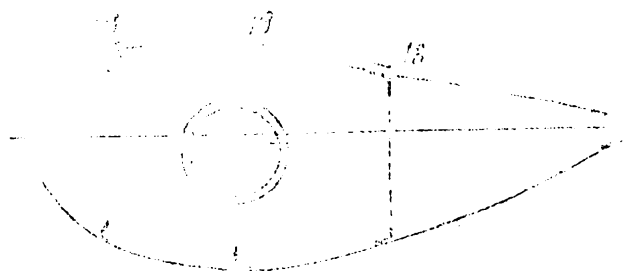


Fig. 5-10

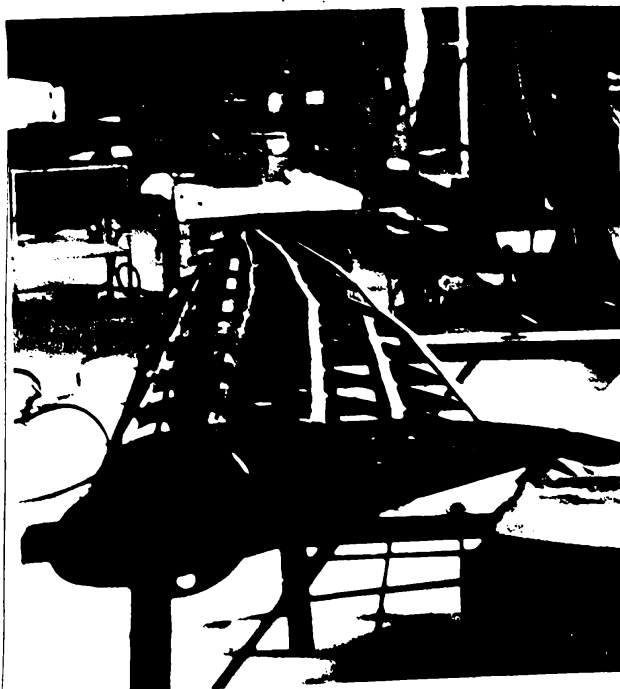


Fig. 5-10

11-11

într-o

buclă de

cu rezistență

tura

s-au făcut

modificări

de mai puțin

de

o

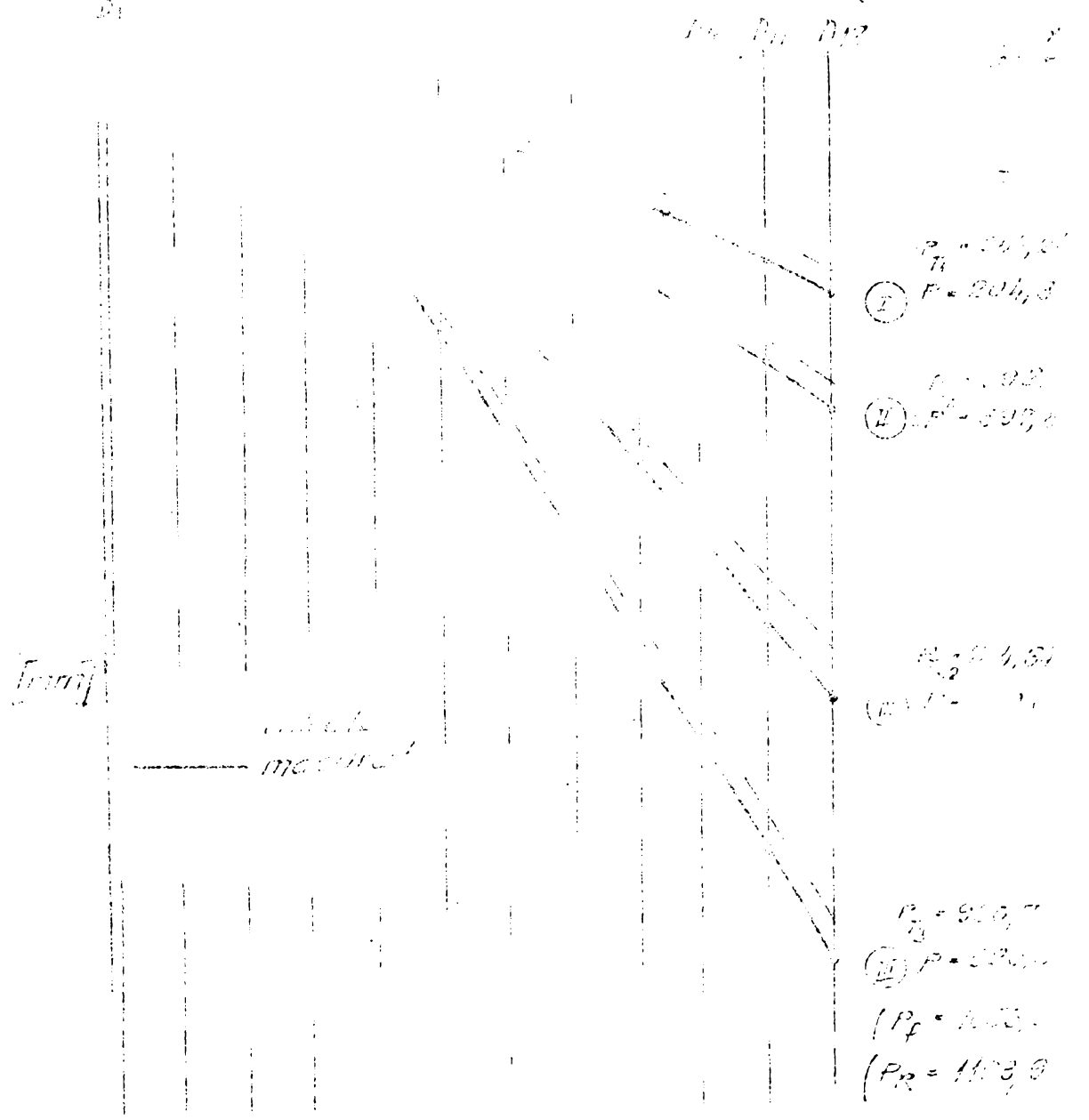
asemenea s-au  
 făcut modificările  
 necesare



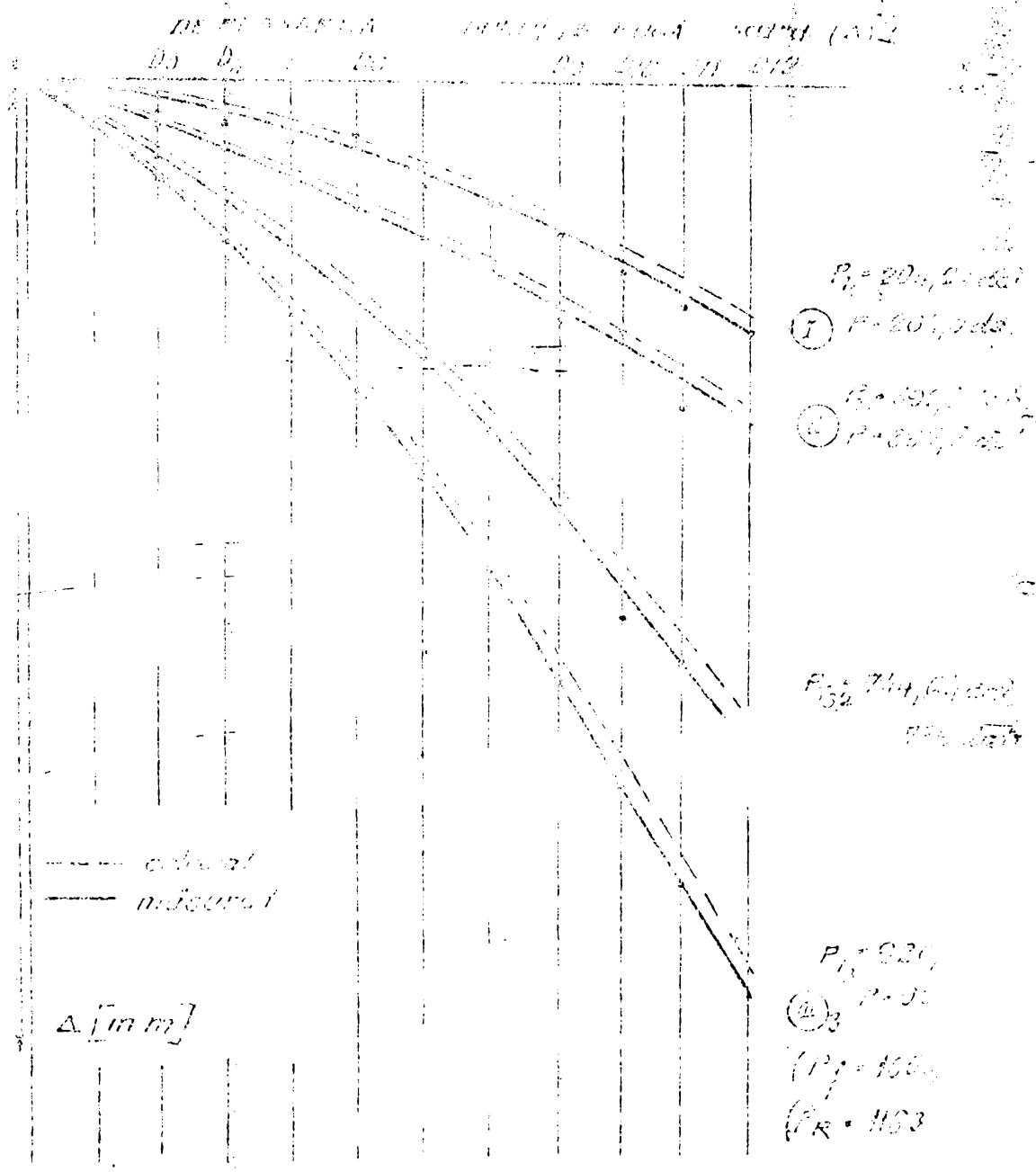


Concluzii: ... din ... respectivă a după ...  
 lor punctuale, ... din care ...  
 1. ... rezistență ...  
 este obținut ...  
 și să se afle ...  
 care spondă ...

DEPLAȘINE BURTELUI DE ATAC scara (A) 1:1



autocor care se aplică la calcularea unor erori admise la rezultatele măsurătorilor care...



3. din valorile calculate a punctelor de pe curbă... state ca rotile prezintă... cativa; formula exacta... te ale distribuției... iar înlocuirea... să se... pe... în...

...to (din accensi... bordul de leg... extindere... la legele... în măsurile... făcut de... dreptul...

Tabelul 58

Categorie	Denumire	Valorile elementelor unitare în puncte exacte									Trecerea de la un nivel la altul
		1	2	3	4	5	6	7	8	9	
I	max. exper.	300	273	400	17	111	607	125	200	80	20,7%
	calc. diferen.	507	269	400	110	100	507	189,0	58,1	204,24%	
	creșterea	16,7%	3,1%	0	2,3%	1	1	6,7%	3,7%	3,2%	4,0%
II	max. exper.	800	400	200	100	50	25	100	350	100	397,00%
	calc. diferen.	507	427	100	107	107	107	107	330	95	592,00%
	creșterea	4,7%	3,1%	0	2,3%	1	1	7,0%	3,3%	5	1,3%
III	max. exper.	1007	1000	100	85	300	100	1000	110	197	920,30%
	calc. diferen.	1	100	100	100	100	100	100	100	100	321,10%
	creșterea	100	2,4%	14	7,5%	2,5%	10	5,0%	2,7%	2,9	0,04%

Tabelul 59

Categorie	Denumire	Valorile elementelor unitare în puncte exacte									Trecerea de la un nivel la altul
		12	13	14	15	16	17	18	19	20	
I	max. exper.	10,5	3	1	2	1,5	35	200	100	200	200
	calc. diferen.	10,9	340	300	700	300	300	300	300	750,0	1,07
	creșterea	4,8%	4	1,7%	4,4%	6,1%	3,5%	6,1%	7,5%	7	7
II	max. exper.	1000	400	100	100	100	100	100	100	100	100
	calc. diferen.	510	300	100	100	100	100	100	100	100	100
	creșterea	5,1%	5,1	5,3	5,2	10	3,5	6,4	5,3	1,3%	1,3%
III	max. exper.	110	100	100	100	5	105	100	100	100	100
	calc. diferen.	110,5	510	100	100	100	100	100	100	100	100
	creșterea	5,5%	6,0	10,1	10,1	10,1	10,1	10,1	10,1	10,1	10,1





Modelul fizic pentru calculul erorii în elementului fizic este fost dezvoltat în cadrul proiectului 44.

1. Modelul fizic pentru calculul erorii în elementului fizic este fost dezvoltat în cadrul proiectului 44. Modelul fizic este dezvoltat în cadrul proiectului 44.

2. Modelul fizic este dezvoltat în cadrul proiectului 44. Modelul fizic este dezvoltat în cadrul proiectului 44.

3. Modelul fizic este dezvoltat în cadrul proiectului 44. Modelul fizic este dezvoltat în cadrul proiectului 44.

4. Modelul fizic este dezvoltat în cadrul proiectului 44. Modelul fizic este dezvoltat în cadrul proiectului 44.

5. Modelul fizic este dezvoltat în cadrul proiectului 44. Modelul fizic este dezvoltat în cadrul proiectului 44.

6. Modelul fizic este dezvoltat în cadrul proiectului 44. Modelul fizic este dezvoltat în cadrul proiectului 44.

7. Modelul fizic este dezvoltat în cadrul proiectului 44. Modelul fizic este dezvoltat în cadrul proiectului 44.

8. Modelul fizic este dezvoltat în cadrul proiectului 44. Modelul fizic este dezvoltat în cadrul proiectului 44.

9. Modelul fizic este dezvoltat în cadrul proiectului 44. Modelul fizic este dezvoltat în cadrul proiectului 44.

10. Modelul fizic este dezvoltat în cadrul proiectului 44. Modelul fizic este dezvoltat în cadrul proiectului 44.

11. Modelul fizic este dezvoltat în cadrul proiectului 44. Modelul fizic este dezvoltat în cadrul proiectului 44.

12. Modelul fizic este dezvoltat în cadrul proiectului 44. Modelul fizic este dezvoltat în cadrul proiectului 44.

13. Modelul fizic este dezvoltat în cadrul proiectului 44. Modelul fizic este dezvoltat în cadrul proiectului 44.



$$\sigma_{ef} = +761,2 + 150,0 + 80,0 + 5,0 = +996,2 \text{ daN/cm}^2 < \sigma_a \text{ (I)}$$

$$\sigma_{ef} = +853,7 + 150,0 + 80,0 + 5,0 = +1088,7 \text{ daN/cm}^2 < \sigma_a \text{ (II)}$$

$$\sigma_{ef} = +1784,3 + 0,0 + 0,0 + 5,0 = +1789,3 \text{ daN/cm}^2 < \sigma_a \text{ (III)}$$

- pentru un punct din lisa comprimată de la extradosul paletei

$$\sigma_{ef} = -770,0 - 150,0 + 80,0 - 5,0 = -845 \text{ daN/cm}^2 < \sigma_a \text{ (I)}$$

$$\sigma_{ef} = -855,0 - 150,0 + 80,0 - 5,0 = -930,0 \text{ daN/cm}^2 < \sigma_a \text{ (II)}$$

$$\sigma_{ef} = -1780,0 - 0,0 + 0,0 - 5,0 = -1785,0 \text{ daN/cm}^2 < \sigma_a \text{ (III)}$$

## 2. Verificarea la oboseală:

- pentru un punct din lisa întinsă (cu timbrul 15) de la intradosul paletei

$$\sigma_{ef} = +761,2 + 150,0 + 80,0 + 5,0 = 996,2 \text{ daN/cm}^2 < \sigma_{a(ob)} = 1210 \text{ daN/cm}^2$$

$$\sigma_{ef} = +853,7 + 150,0 + 90,0 + 5,0 = 1098,7 \text{ daN/cm}^2 < \sigma_{a(ob)} = 1210 \text{ daN/cm}^2$$

- pentru un punct din lisa comprimată de la extradosul paletei.

$$\sigma_{ef} = -770,0 - 150,0 + 80,0 - 5,0 = -845,0 \text{ daN/cm}^2 \leq \sigma_{a(ob)}$$

$$\sigma_{ef} = -855,0 - 150,0 + 80,0 - 5,0 = -930,0 \text{ daN/cm}^2 \leq \sigma_{a(ob)}$$

Obs. Verificarea la oboseală nu se face pentru ipoteza a treia care corespunde situației paletă în drapel rotor oprit.

## 3. Verificarea de stabilitate:

Verificarea se face pentru aceeași lășă din zona comprimată care are următoarele caracteristici  $l=31,0 \text{ cm}$ ;  $A=0,75 \text{ cm}^2$ ;  $i_{\min}=0,26 \text{ cm}$ ; bara se consideră dublu încastrată rezultă  $\eta=0,84$

$$\sigma_{ef} = - \frac{770,0}{0,84} - \frac{150,0}{0,84} + 80,0 - \frac{5,0}{0,84} = -1021,18 \text{ daN/cm}^2 < \sigma_a \text{ (I)}$$

$$\sigma_{ef} = - \frac{855,0}{0,84} - \frac{150,0}{0,84} + 80,0 - \frac{5,0}{0,84} = -1122,38 \text{ daN/cm}^2 < \sigma_a \text{ (II)}$$

$$\sigma_{cr} = - \frac{1780,0}{0,84} - 0 + 0 - 0 = -2119,0 \text{ daN/cm}^2 \approx \sigma_a \text{ (III)}$$

Obs. Rezistența critică limită pentru această liasă dacă se calculează după formulele (4.156+ 4.157) din paragraful 4.4. este ( $\sigma_{cr} = 2620 \text{ daN/cm}^2$ ).

5.6. Realizare și încercări experimentale a panourilor sandwich din învelitoarea paletelor O.P.S. -  $\lambda = 7 - D = 30m/300 \text{ kW}$  [87], [88]

În paragraful 4.3.3.6.3. se discută panourile sandwich cu miez portant (cu miez din tablă ondulată) și se dau relațiile și abacele din care se determină sarcina critică de flambaj.

În toate cazurile forța critică de flambaj este forța de-

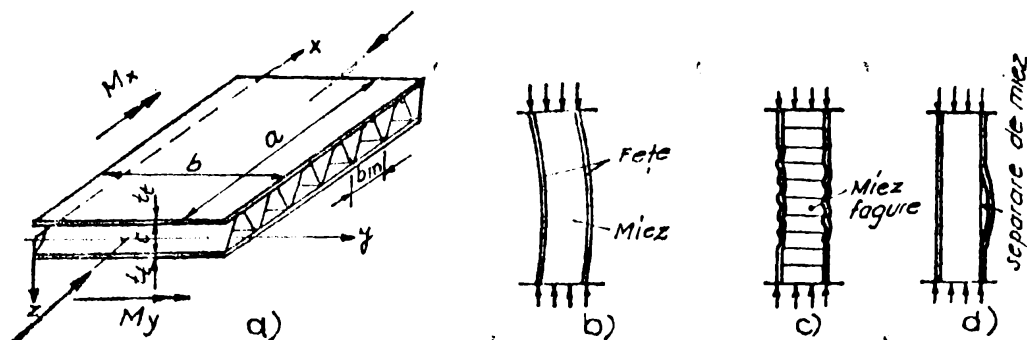
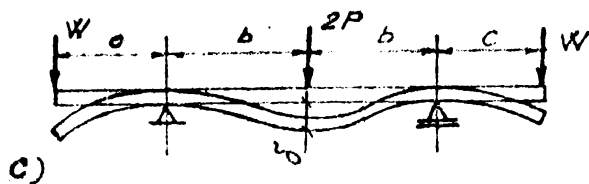


Fig. 5.17

terminată în sens perpendicular pe direcția cutelor tablei ondulate. fig.5.17.

În abacele prezentate în fig.4.38+ 4.41, forța critică este funcție de rigiditățile la încovoiere și forfecare care se determină experimental foarte simplu după schema din fig.5.18. Pentru determinarea rigidităților la încovoiere și forfecare a panoului sandwich se așează panoul sandwich pe două reazeme paralele și paralele cu două din laturile panoului sandwich ca în fig.5.18. Se încarcă apoi panoul sandwich cu forțele P și W. Săgeata ( $\delta$ ) la mijlocul panoului sandwich se determină după relația (5.1). Dacă dorim să determinăm rigiditatea la încovoiere (D) pe o anumită direcție (paralelă cu linia de rezemare) atunci încărcarea  $P=0$ , iar  $W \neq 0$  și rezultă relația 5.4 cu care se determină rigiditatea la încovoiere.

În relația 5.4 săgeata  $\delta$  la mijlocul panoului se măsoară cu ajutorul unui aparat de măsură cât mai precis. Rigiditatea panoului sandwich pe direcția perpendiculară se determină rotind panoul cu  $90^\circ$  după care se încarcă în același mod și se măsoară din nou săgeata  $\delta$  la mijlocul panoului.



c)

$$\delta = \frac{Pb^3}{3D} - \frac{Wcb^2}{2D} + \frac{Pb}{Dq} \quad (5.1)$$

$$P = 30W/(2b); Dq = (P/\delta) \cdot b \quad (5.2+5.3)$$

$$P = 0; D = - \frac{cW}{\delta} \cdot \frac{b^2}{2} \quad (5.4+5.5)$$

Fig. 5.18

s-a ales ca invelitoare, o structura de tip sandwich avind in vedere avantajele cunoscute ale acestor tipuri de structuri. Dar spre deosebire de structurile sandwich cunoscute, pe noi ne interesează o structură cât mai simplă și care să permită o realizare ușoară a suprafeței aerodinamice a paletelor, dar în același timp să asigure finețea necesară și rezistența sporită scontată. În felul acesta s-a ajuns la structura sandwich prezentată în fig.5.21, cu care s-a învelit paleta din fig.5.19 ca în secțiunea din fig.5.20.

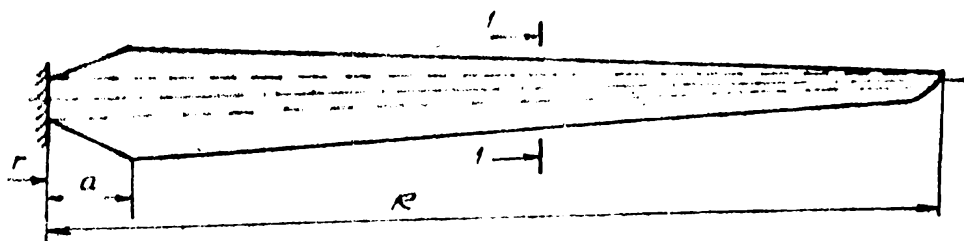


Fig. 5.19

Această structură sandwich are cutele miezului așezate în lungul axei paletelor. Avind în vedere că eforturile normale din secțiunea transversală a paletelor sînt dirijate tot în lungul paletelor, deci în direcția cutelor miezului de la panoul sandwich, ne interesează comportarea panoului sandwich pe această direcție la întindere și compresiune. Cunoașterea comportării panoului sandwich la aceste solicitări este necesară deoarece într-o secțiune transversală prin paletă, invelitoarea lucrează la întindere de o parte a axei neutre și la compresiune de cealaltă parte a axei neutre fig.5.20. Întrucît pentru determinarea forței critice a panoului sandwich conceput pentru paleta

Pentru determinarea rigidității la forfecare ( $D_q$ ) a panoului sandwich pe o direcție dată, paralelă cu linia de rezemare se încarcă panoul cu forța  $P$  și  $W$  în care  $P$  este dată în funcție de  $W$  prin relația 5.2 iar ( $D_q$ ) se calculează cu relația 5.3. Semnificația termenilor din relațiile 5.1+5.5 rezultă din fig. 5.18. Pentru structura paletelor OPS- $\lambda=7-D=30m/300kW$

OPS-  $\lambda = 7-D=30m/300 kW$  nu pot fi folosite abacele din literatura tehnică, a fost necesar să se efectueze încercări experimentale pentru stabilirea limitei de stabilitate ( $\sigma_{cr}$ ). Plecând de la datele stabilite în paragraful 4.3.3.6.3. referitoare la alcătuirea panoului sandwich și de la modul de îmbinare a elementelor care

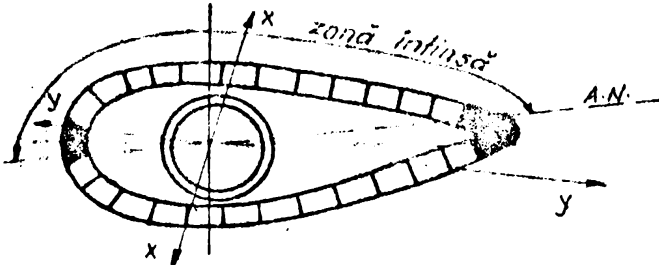


Fig. 5.20

formează panoul (tălpi și miez), îmbinare realizată prin puncte de sudură folosind electronituiră și respectând cerințele menționate mai sus, s-a stabilit să se îmbine tălpile cu miezul prin puncte de sudură (elec-

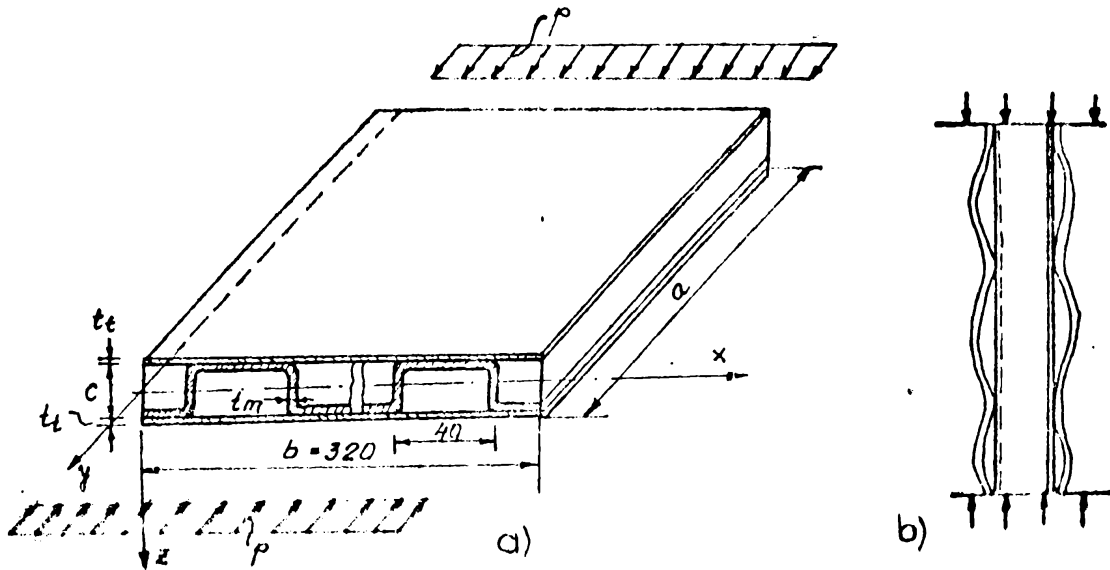


Fig. 5.21

tronituiră) și aceste puncte să se execute la distanța de 35 mm în lungul cutei și câte două pe lățimea unei cute. Execuția primului panou după datele de mai sus a condus la deformații foarte mari care nu se încadrau în toleranțele aerodinamice. În consecință distanța dintre punctele de sudură în lungul cutei a fost mărită la 50 mm și tot două puncte pe lățimea unei cute. Si acest panou executat astfel a prezentat deformații, dar acceptabile pentru respectarea condițiilor aerodinamice.

În această situație s-a hotărât să se realizeze un număr de cinci panouri sandwich care să aibă topologie diferită a punctelor de sudură. Această topologie se poate vedea în figurile 5.24; 5.27 și 5.28.

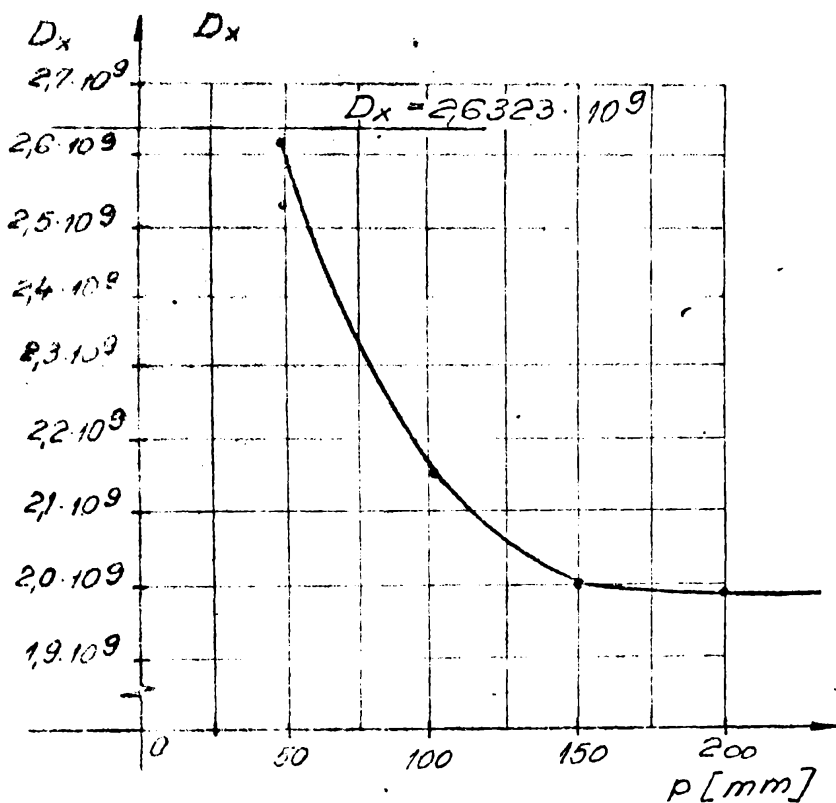


Fig. 5.22

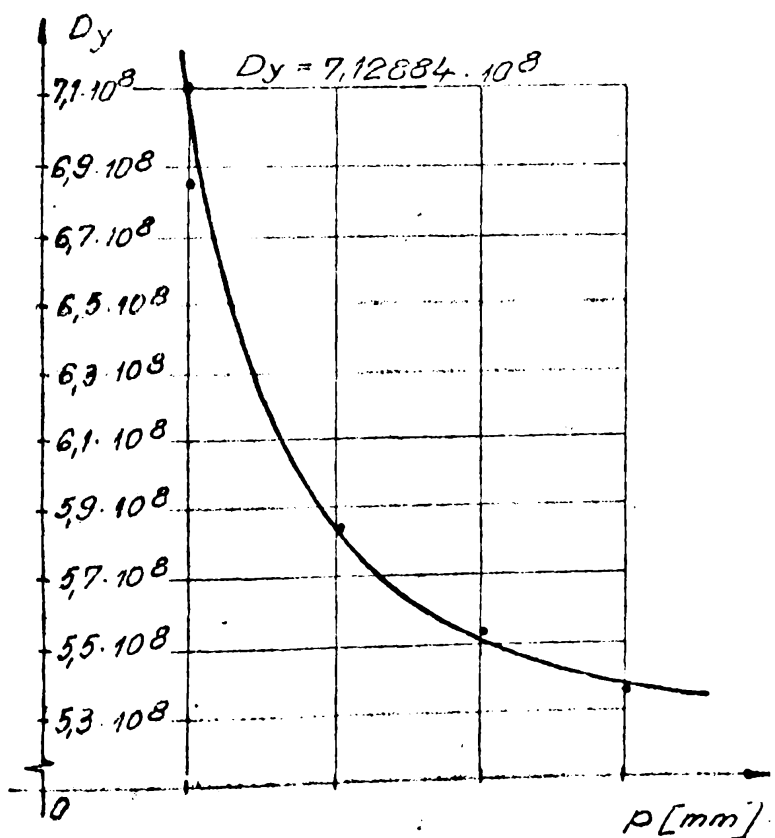


Fig. 5.23

Primul panou sandwich a fost realizat cu două puncte de sudură pe lățimea cutiei la distanța sau pasul ( $p=50$  mm) în lungul cutiei miezului fig.5.27b. Al doilea panou a fost realizat cu un punct de sudură pe lățimea cutiei miezului tot la distanța  $p=50$  mm în lungul cutiei. Al treilea, al patrulea și al cincilea panou s-a executat tot cu un singur punct de sudură pe lățimea cutiei miezului, dar la distanțele ( $p=100$  mm), ( $p=150$  mm) și ( $p=200$  mm) în ordine, iar dispunerea punctelor s-a făcut ca în fig. 5.24 și fig.5.28. Prima problemă care s-a ridicat a constat în determinarea rigidităților la încovoiere după cele două direcții. Aceste rigidități la încovoiere au fost calculate teoretic după teoria generală a plăcilor ortotrope [84],[85] și au fost determinate experimental în conformitate cu preciză-

rile de mai sus. Rezultatele sînt prezentate în fig.5.22 și fig.5.23. Din diagramele prezentate în fig.5.22 și 5.23 se vede clar că rigiditățile la încovoiere sînt substanțial influențate de modul de realizare și de pasul punctelor de sudură. Valoarea rigidităților calculate teoretic este trecută pe fiecare diagramă ca limită superioară. Rigiditatea la încovoiere a panourilor sandwich scade pe măsură ce crește pasul ( $p$ ) dintre punctele de sudură. Comparînd rigiditatea la încovoiere a primelor două panouri cu pasul ( $p=50$  mm) cu un punct de sudură pe lățimea cutei și cu două puncte de sudură pe lățimea cutei a rezultat că panoul cu un singur punct de sudură pe lățimea cutei este mai rigid decît panoul cu două puncte de sudură pe lățimea cutei.

Cea mai importantă problemă care s-a pus a fost stabilirea comportării la compresune a panourilor sandwich și determinarea forței critice. Apoi stabilirea modului de executare a învelitori sandwich a paletelor OPS.  $\lambda = 7-D=30m/300$  kW.

Avînd în vedere modul de prindere a tălpilor panourilor sandwich de miez se pune problema comportării acestora între punctele de prindere (a comportării la voalare a tălpilor) și bine înțeles determinarea efortului unitar critic corespunzător pentru tălpile panourilor sandwich.

Pentru urmărirea acestui fenomen panourile sandwich au fost încercate pe rînd la compresiune critică în standul de încercare la compresiune al Catedrei de construcții metalice. Schema statică a încercării este simbolizată în fig.5.24 și ea este o grindă continuă cu două deschideri egale cu 750 mm. Rezemările panoului sandwich sînt articulate. Această schemă s-a considerat ca fiind cea mai apropiată de comportarea reală a panoului în paletă. În paletă panoul sandwich care formează învelitoarea trece continuu peste diafragme care sînt considerate rigide în planul lor dar cu rigiditate nulă în direcție perpendiculară pe planul lor. Panourile fixate în stand au fost echipate cu fleximetre ca în fig.5.24. Cu ajutorul acestor fleximetre s-au măsurat deplasările punctuale ale suprafețelor libere a tălpilor panourilor sandwich dintre punctele de sudură. Aceste deplasări calculate prin diferențe sînt reprezentate grafic în fig.5.24, fig. 5.25 și fig.5.26. Diagramele deplasărilor punctuale corespund panourilor sandwich la care pasul  $p$  dintre punctele de sudură este egal cu:  $p=100$  mm;  $p=200$  mm și  $p=50$  mm.





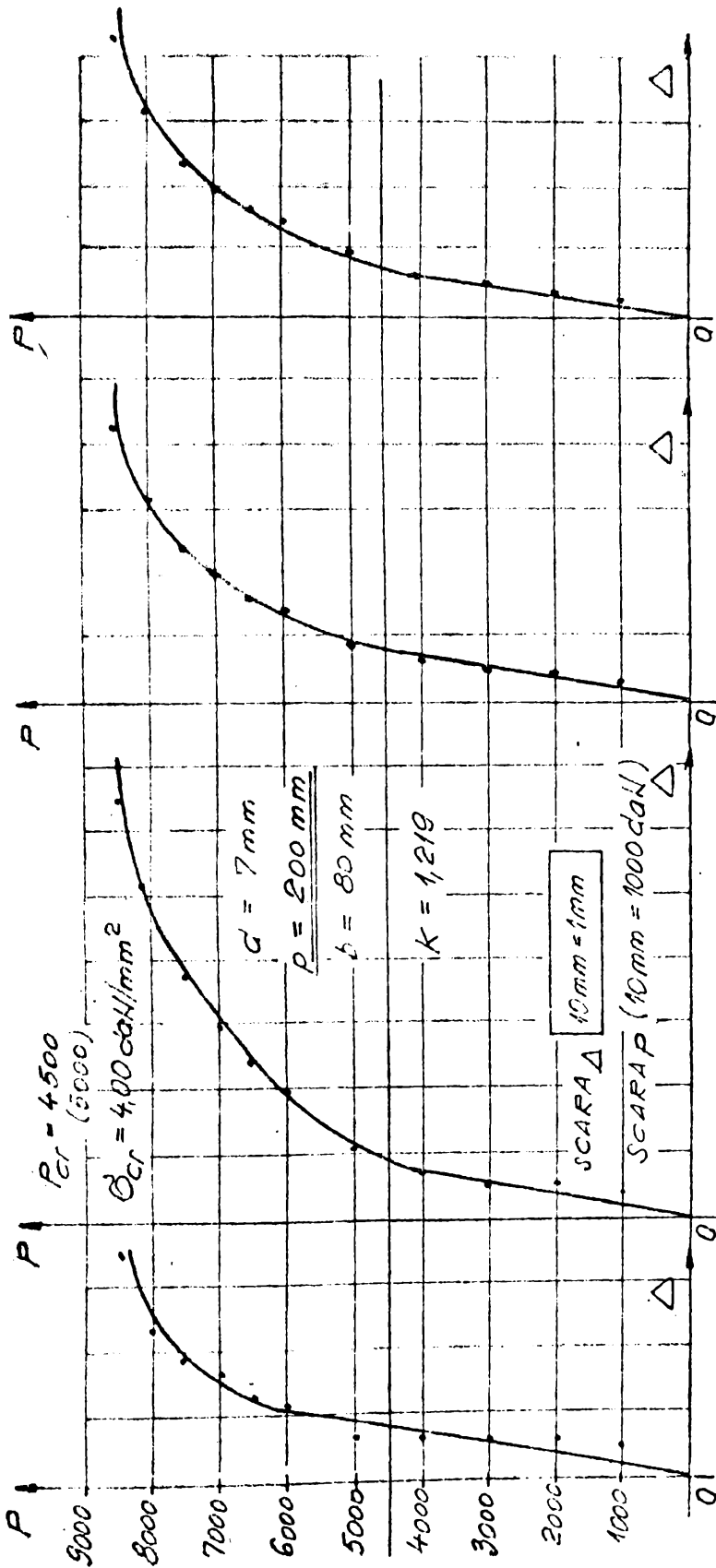


Fig. 5.25

Pe fiecare dia-gramă este tre-cută valoarea forței critice totale la care tălpile panouri-lor au voalat. De asemenea, este trecută distanța (b) dintre punctele de sudură în di-recție perpendicu-lară pe direcția forței și diame-trul punctului de sudură (d). Momentul voalării suprafețe-lor libere ale tăl-pii panourilor sandwich dintre punctele de sudură au fost marcate prin deformațiile măsurate, prin ob-servații vizuale atente și prin zgomotele produse (pocnituri ușoare) din momentul în care panourile de placă au început să voaleze. Deplasări-le punctuale sînt mici la panoul sandwich cu puncte de sudură la dis-tanța  $p=50 \text{ mm}$  și ele cresc odată cu creșterea pasu-lui (p). În schimb forțele critice



acad odată cu creșterea pasului dintre punctele de sudură. Suprafețele libere dintre punctele de sprijinire pot fi considerate ca plăci plane supuse la compresiune și deci se va avea în vedere paragraful 4.3.3.3; paragraful 4.3.3.4 și paragraful 4.3.3.6.1.

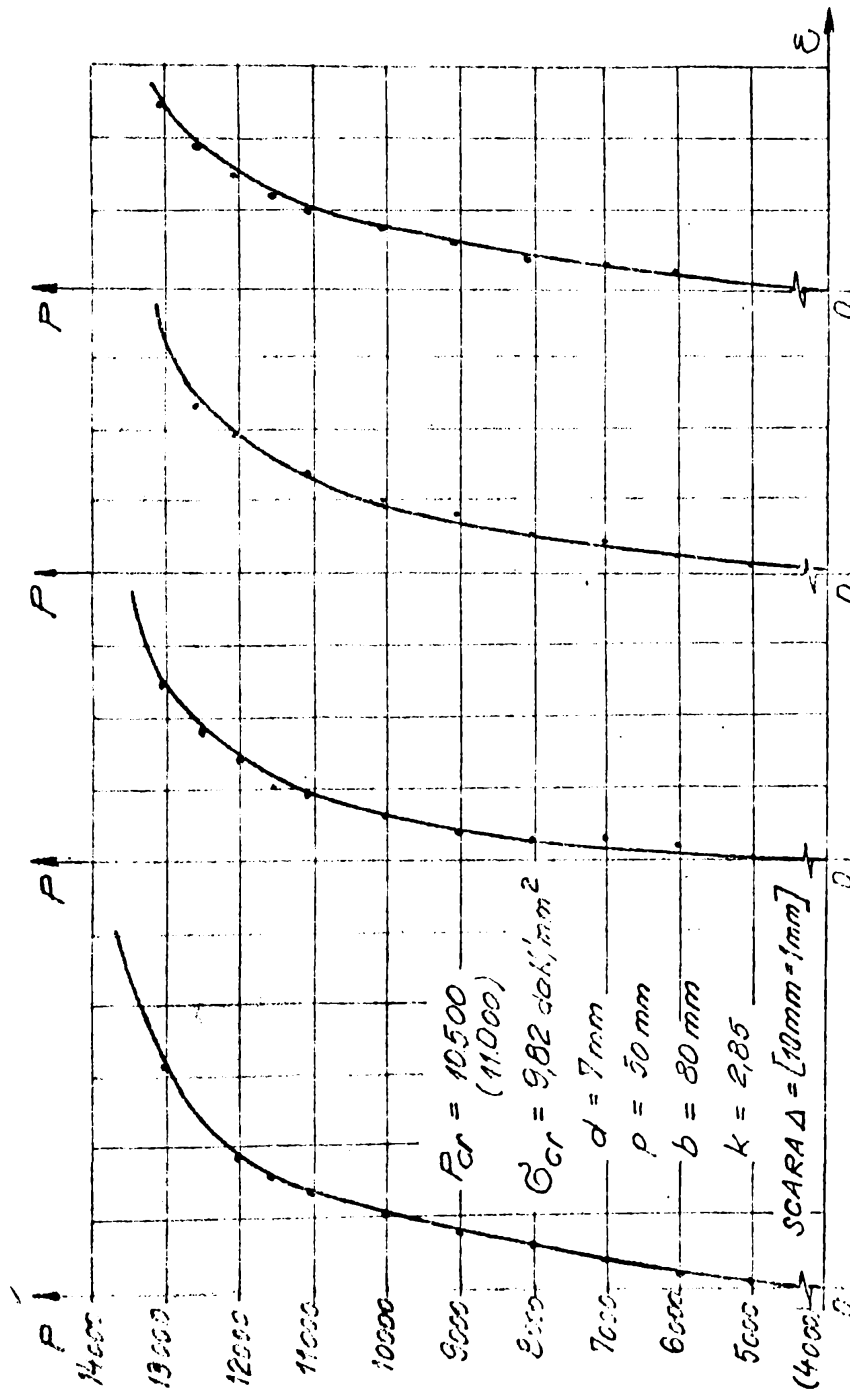


Fig. 5.26

Dacă se analizează topologia punctelor de sudură, respectiv forma plăcilor plane dintre punctele de sudură de pe suprafața tălpilor panourilor sandwich constatăm că avem plăci de formă dreptunghiulară (fig.5.27) și plăci a căror formă este un paralelogram (fig.5.28). Se pune problema să determinăm valoarea efortului unitar critic ( $\sigma_{cr}$ ) al acestor plăci. Dacă se ține seama de precizările paragrafului 4.3.3.6.1. efortul unitar critic se poate determina după relația 5.7, respectiv 4.193, în care pentru  $\alpha$  se recomandă valori cuprinse între 1 și 4 funcție de tehnologia

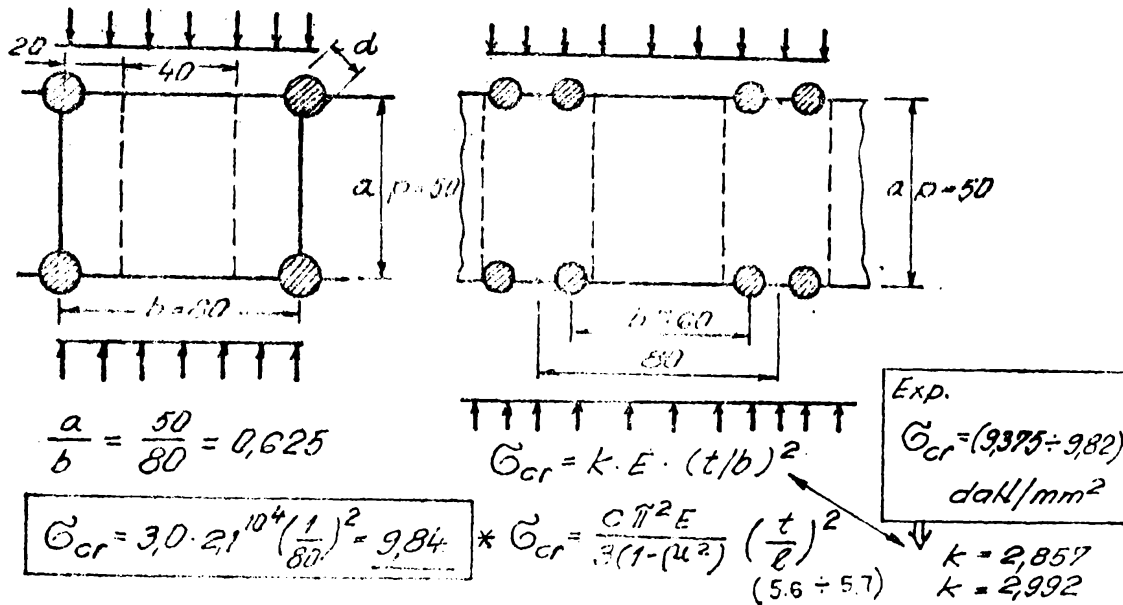


Fig. 5.27

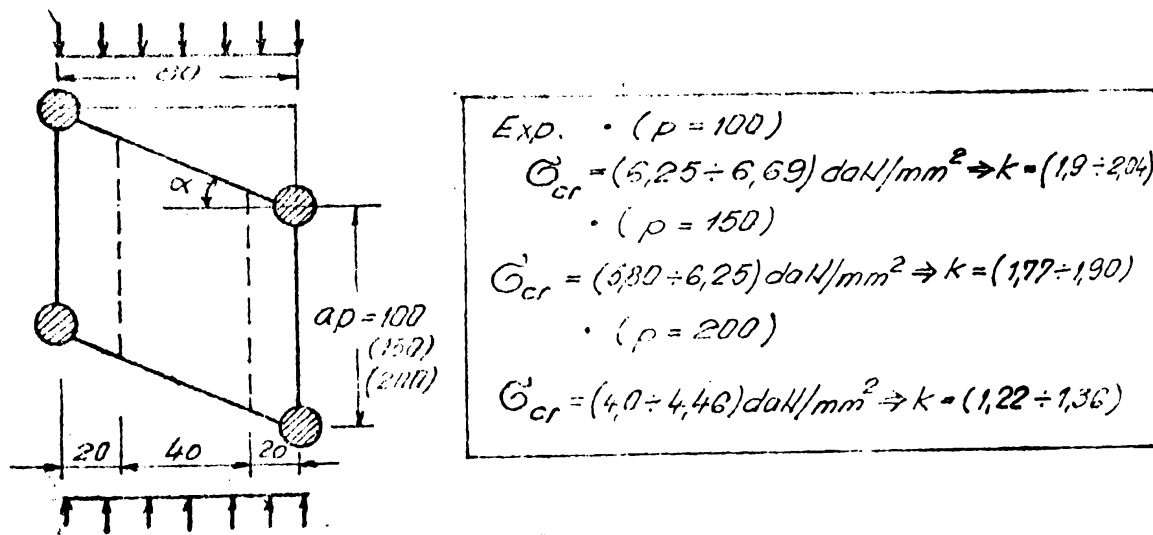


Fig. 5.28

Având în vedere relația 4.200 din paragraful 4.3.3.6.3. sau relația (5.6) care este mai simplă, se tinde spre această relație.

În relația (5.6) coeficientul (k) este funcție de tehnologia de execuție și de pasul punctelor de sudură. Din încercările experimentale efortul unitar critic la care s-a produs voalarea plăcilor plane dintre punctele de sudură funcție de pasul (p) este dat în fig. 5.27 și 5.28. Aceste valori scad cu creșterea pasului (p) dintre punctele de sudură. Dacă pentru calculul efortului unitar critic ( $\sigma_{cr}$ ) se aplică

relația (5.6) atunci ( $k$ ) trebuie să aibă valorile date în fig.5.27 și 5.28 și respectiv variația din fig.5.29. Această variație este dată funcție de pasul ( $p$ ) al punctelor de sudură. Valoarea maximă a acestui coeficient este aproximativ 3,0 ceea ce ar corespunde la fixarea prin simplă rezemare a acestor plăci.

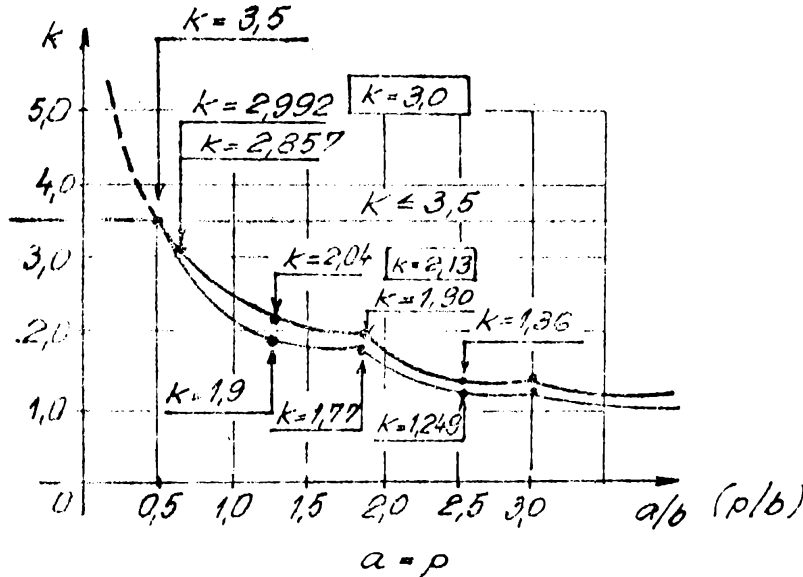


Fig. 5.29

După analizarea și stabilirea comportării tălpilor panourilor sandwich pe suprafețele libere dintre punctele de sudură, ne interesează comportarea de ansamblu a întregii structuri sandwich și stabilirea limitei critice  $(\sigma_{cr})_T$ . În cadrul încercărilor experimentale, s-a măsurat

forța critică  $(P_{cr})_T$  pentru fiecare panou sandwich. Rezultatele

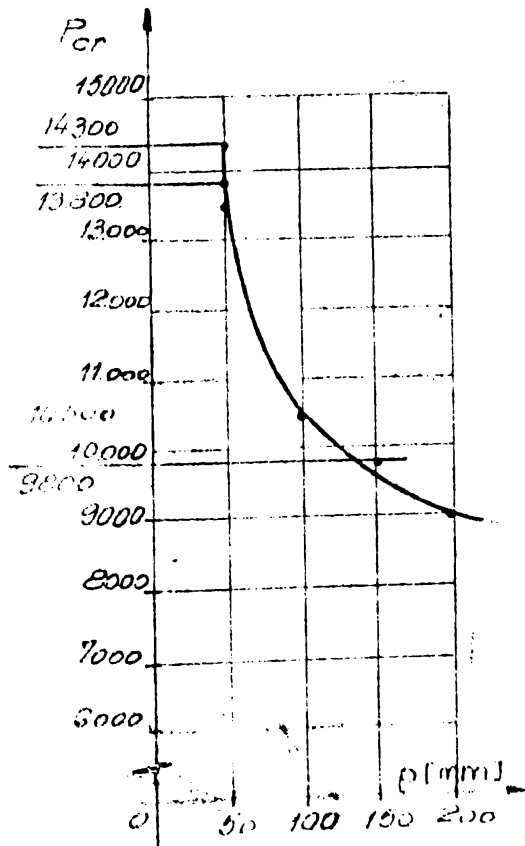


Fig. 5.30

acestor încercări sînt prezentate în fig.5.30 unde și poate constata că și forța critică este influențată substanțial de pasul ( $p$ ) dintre punctele de sudură. Pentru panourile sandwich cu pasul ( $p=50$ mm), dar executate cu un punct de sudură și respectiv cu două puncte de sudură, forța critică maximă, a fost înregistrată la pnoul sandwich cu un singur punct de sudură pe lățimea cutei. Făcînd o analiză amănunțită a celor de mai sus și calculînd tensiunea efectivă  $(\sigma_{ef})$  în fiecare panou atît în momentul în care tălpile își pierd stabilitatea cît și la atingerea forței critice

$(\sigma_{cr})_T$  corespunzătoare pierderii stabilității ansamblului, se constată că  $(\sigma_{cr})_T$  al panourilor sandwich diferă substanțial.

Dacă se consideră că, după pierderea stabilității tălpiilor, întreaga forță este preluată numai de miezul format din tabla cutată, atunci  $(\sigma_{cr})_T$  pentru panourile sandwich la care pasul dintre punctele de sudură este  $(p=50 \text{ mm})$  este mult mai mare decât la celelalte panouri (fig.5.31). Pentru panourile sandwich la care pasul este = 50 mm tensiunea critică este  $(\sigma_{cr})_{TC(p=50)} = 29,8 \text{ daN/mm}^2$  respectiv  $29,1 \text{ daN/mm}^2$ . Pentru panourile la care pasul  $(p)$  crește aceste tensiuni critice au

		[ daN/mm <sup>2</sup> ]			
$p$ [mm]	$P$ [daN]	$\sigma_t$ $(\sigma_{cr})_t$	$\sigma_{TC}$ $(\sigma_{cr})_{TC}$	$\sigma_{ef}$ / PANZU	
50		(9,375)	55		cit lucrează din tălpi cu tabla cutată
	10500	9,375	9,375	9,375	$b_e = 1,9t \sqrt{E/G}$ (5.8)
	11000	9,82	9,82	9,82	$b_e = 30t$ (5.9)
	12000	-	25,0!		$b_{ech} = b_e \sqrt{\frac{\sigma_{cr}(t)}{\sigma(e)}}$ (5.10)
	14000	-	29,1!		$\Rightarrow b_{ech} = 29,16 \approx (30t)$
	14300	-	29,8!		$\sigma_{ef} = 20,0 \text{ daN/mm}^2$
100	7000	6,25	6,25	6,25	
	7500	6,69	6,69	6,69	$P_{cr} = k \cdot \pi^2 D / b^2$ (5.11)
	8000	-	16,67		
	10000	-	20,8		
	10500	-	21,88		$P_{cr(E)} = k_e \frac{\pi^2 EI}{l_p^2}$ (5.12)

Fig. 5.31

următoarele valori:  $(\sigma_{cr})_{TC(p=100)} = 21,88 \text{ daN/mm}^2$ ;  
 $(\sigma_{cr})_{TC(p=150)} = 20,4 \text{ daN/mm}^2$ ;  $(\sigma_{cr})_{TC(p=200)} = 18,75 \text{ daN/mm}^2$ .

În relațiile de mai sus prin  $(\sigma_{cr})_{TC}$  se înțelege tensiunea critică din tabla cutată care ar prelua întreaga forță după ce tabla lisă și-a pierdut stabilitatea. Cele de mai sus nu pot fi adevărate fiindcă se înserează cu aceeași tablă cutată (care

De aici rezultă că la panourile sandwich la care distanța dintre punctele de sudură ( $p$ ) este egală cu 50 mm alături de tabla cutată, a cărei limită de stabilitate locală este  $55 \text{ daN/mm}^2$ , mai lucrează și o parte din tălpile panourilor sandwich. Se pune în trebarea cât lucrează din aceste tălpi? Care este lățimea echivalentă (lățimea care lucrează în jurul girului de puncte de sudură) și cât de mare este efortul unitar la care a avut loc cedarea structurii ținând seama de conlucrarea?

Dacă se are în vedere relația 5.8 în care avem două necunoscute lățimea echivalentă ( $b_e$ ) și efortul unitar efectiv ( $\sigma$ ) prin încercări plecând pentru început de la ( $b_e = 30 \text{ t}$ ) se determină efortul unitar ( $\sigma$ ), iar cu relația 5.8 rezultă ( $b_e = 61,78 \text{ mm}$ ). Această lățime echivalentă a fost redusă ținând seama de modul de realizare a invelitorii după relația 5.10 fig.5.31. În relația 5.10  $\sigma_{cr}(t)$  reprezintă efortul unitar critic pe care-l poate prelua talpa panoului sandwich iar  $\sigma(\ell)$  este efortul unitar din tabla cutată. Efortul unitar  $\sigma_{cr}(t)$  s-a calculat pentru tălpile panoului sandwich după relația 5.6 din fig.5.27. Iar  $\sigma(\ell)$  este efortul unitar din tabla cutată calculat ținând seama de lățimea echivalentă ( $b_e = 30 \text{ t}$ ). În baza relației 5.10 rezultă lățimea echivalentă efectivă ( $b_{ech} = 29,16 \text{ mm} = 30 \text{ t}$ ) - pentru cazul panoului sandwich la care pasul dintre punctele de sudură este ( $p = 50 \text{ mm}$ ).

Efortul unitar efectiv ( $\sigma_{ef}$ ) din panoul sandwich în momentul cedării dacă se ține seama de lățimea de conlucrarea ( $b_{ech}$ ) calculată mai sus este  $\sigma_{ef} = 20 \text{ daN/mm}^2$ .

Acest efort unitar corespunde cu efortul unitar efectiv la care au cedat și panourile celelalte la care pasul ( $p = 100 \text{ mm} + 200 \text{ mm}$ ). Dacă  $\sigma_{ef} = (\sigma_{cr}) \approx 20,0 \text{ daN/cm}^2$

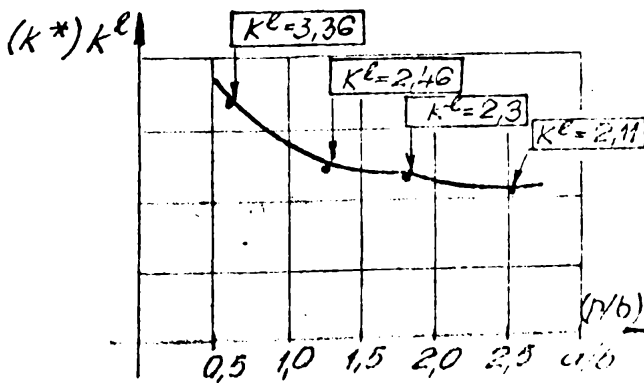


Fig. 5.32

Dacă pentru calculul forței critice, în cazul panourilor încercate, se admite o relație de forma 5.12 și se iau valorile forței critice  $(P_{cr})_T$  cele la care au cedat panourile, rezultă valoarea constantei ( $k^0$ ), valoare reprezentată grafic în fig.5.32. Aceste forțe critice  $(P_{cr})_T$  sînt forțe critice de interacțiune, iar  $(\sigma_{cr})_T$  corespunzător se determină ținând seama de lățimile echivalente ( $b_{ech}$ ) din tălpi care

lucrează împreună cu miezul. Miezul panourilor sandwich format din tablă cutată a fost conceput astfel încît să lucreze cu întreaga secțiune transversală. În fig. 5.33, 5.34 și 5.35 sînt date aspecte din timpul încercării panourilor sandwich. Aceste aspecte corespund diferitelor trepte de încărcare mai mari ca încărcarea la care a avut loc voalarea tălpilor. Din aceste figuri se vede modul de lucru al panoului după cedarea tălpilor

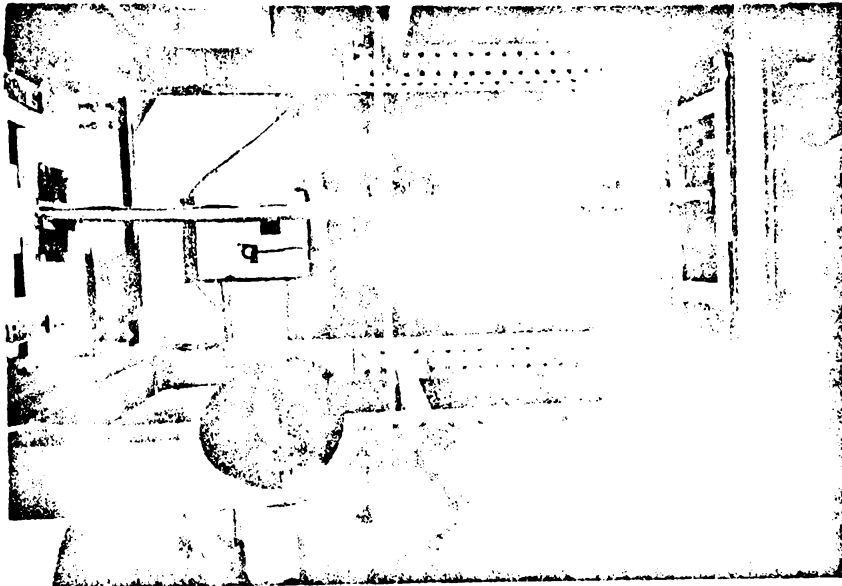


Fig. 5.33

prin voalare (la panourile la care pasul (p) este mai mare decît 50 mm).

Din analiza comportării panourilor sandwich în timpul încercărilor experimentale și în baza rezultatelor acestor încercări se desprind următoarele:

1. panoul sandwich realizat prin electronituitură cu un singur punct de sudură pe lățimea cutei miezului și la distanța (p = 50 mm) în lungul cutei s-a comportat cel mai bine la compresiune centrică;
2. plăcile plane dintre punctele de sudură de pe

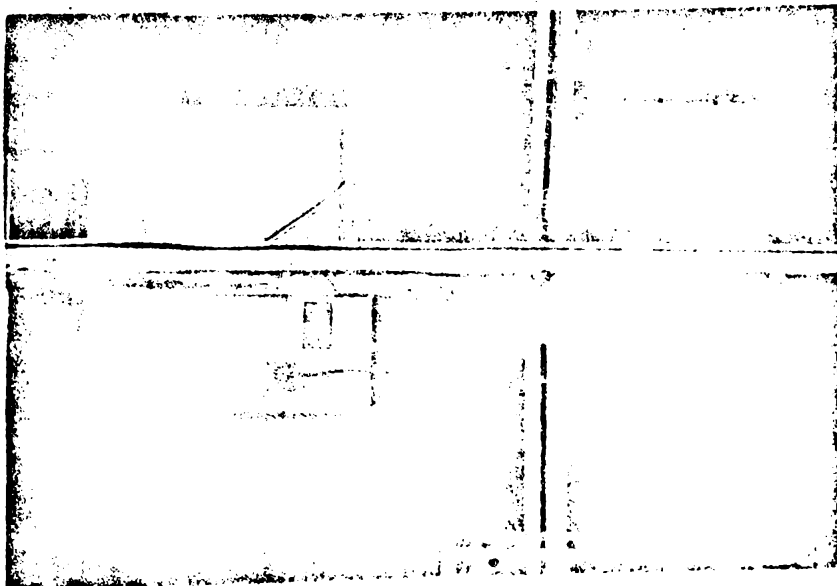


Fig. 5.34

suprafața celor două tălpi lucrează și în domeniul post voalat cu o lățime echivalentă ( $b_{ech}$ ). La panourile la care distanța ( $p$ ) dintre punctele de sudură este egală cu 50 mm ( $b_{ech} = 3ot$ ); pentru alte distanțe dintre punctele de sudură lățimea echivalentă

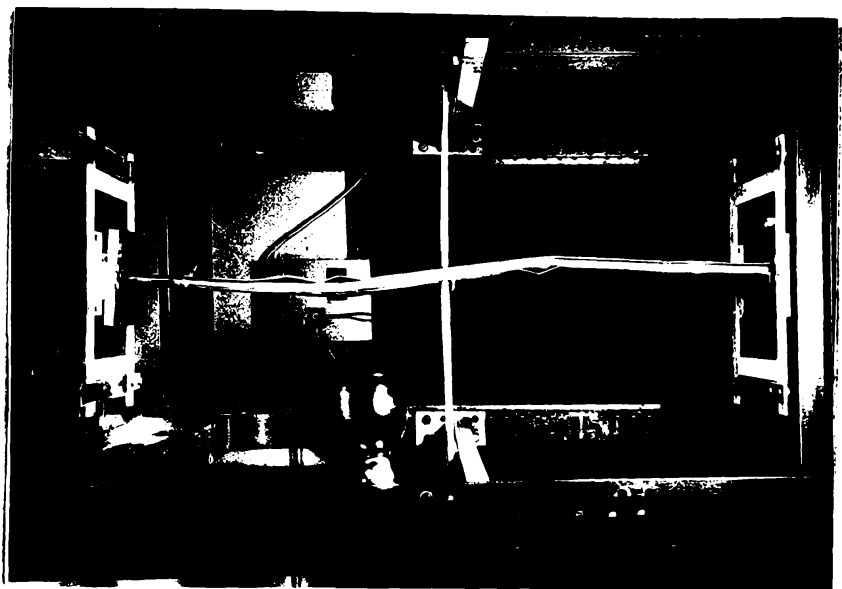


Fig. 5.35

și deci  $(\sigma_{cr})_T$  se determină ținând seama de relațiile (5.8+ 5.10) respectiv relația 5.12 și  $(k^e)$  din fig. 5.32;

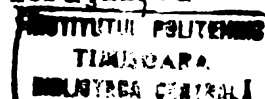
3) privitor la realizarea înveli- torii paletei OPS-  $\lambda = 7-D = 30m/300 kW$  aceasta se execu- tă din pa-

nouri tip sandwich la care distanța dintre punctele de sudură este  $p \leq 50mm$  și un singur punct de sudură pe lățimea cutei miez- ului;

4. pentru verificarea de stabilitate a înveli- torii paletei OPS  $\lambda = 7-D = 30 m/300 kW$  efortul normal unitar va fi limitat la  $\sigma_{cr}(t) = 9,84 daN/mm^2$ , adică la efortul unitar critic de pier- dere a stabilității tălpilor panourilor sandwich. In cazul încăr- cărilor din ipoteza a IV-a se poate admite depășirea efortului u- nitar critic  $\sigma_{cr}(t)$  dar nu se va accepta atingerea efortului u- nitar  $(\sigma_{cr})_T$  la care structura s-ar distruge.

5.7. Cercetări experimentale privind calculul dinamic al paletelor pentru aerogeneratoare cu ax orizontal [86]

Pentru stabilirea pulsațiilor proprii ale structurii paletei și domeniul de frecvență al oscilațiilor proprii s-a așezat pa- leta SK 1-CM pe masa vibrantă fig.5.36 și cu ajutorul a două tra- ductoare de tipul KD 35 (din care unul a fost montat pe suportul de prindere al paletei în masa vibrantă iar celălalt a fost fixat pe paletă în mai multe puncte) s-au măsurat amplitudinile mișcării pe verticală. Traductorul ( $T_1$ ) montat pe masa de vibrații, ca





traductor etalon și traductorul  $T_2$  montat pe paletă ca traductor de măsurare a amplitudinilor mișcării au servit la determinarea frecvențelor de rezonanță a structurii. Frecvențele de rezonanță s-au obținut prin măsurarea gamelor de frecvență de la 3,5 Hz + 60 Hz. Frecven-

țele modurilor proprii de vibrații pentru paleta SK 1 sînt: 4,5 Hz pentru modul unu de vibrație; 12,3 Hz pentru modul doi de vibrație; 23,5 Hz pentru modul trei de vibrație. Aceste frecvențe se aliniază la frecvențele calculate numeric cu programul SAP 051. În cele de mai sus paleta a fost considerată prinsă rigid ca o consolă. Problemele dinamice care urmează să se abordeze în viitor sînt de natura răspunsului dinamic a întregii structuri stîlp de susținere-nacelă-paletă.



## CAPITOLUL 6

CONSIDERATIILE DE VERIFICARE A JUSTITIEI CALCULELOR PALETEI  
SK 3-  $\lambda = 4$ -Mol-D = 30 m/300 kW IN BAZA CERCETARILOR  
EXPERIMENTALE EFECTUATE PE UN MODEL DIN MATERIAL PLASTIC

### 6.1. Necesitatea studiului pe modele si elemente de teoria generală a similitudinii

Utilizarea modelelor în proiectarea și conceperea structurilor s-a dovedit foarte fructuoasă atât în cazul structurilor cu comportare elastică cât și a structurilor realizate din alte tipuri de materiale ale căror proprietăți se îndepărtează de ipotezele mecanicii construcțiilor. Modelarea structurilor cu o configurație complexă și a celor care sînt supuse la un ciclu de solicitări mai puțin uzual este imperios necesară. Studiul pe modele oferă mai cu seamă datorită dezvoltării rapide a tehnicii de măsurare, rezultate care în cele mai multe cazuri au clarificat fenomenele care au dus la avarii, chiar și în construcții, dimensionate în concordanță cu principiile mecanicii construcțiilor. Modelarea structurilor de rezistență conduce la rezolvarea a numeroase probleme, dificil de abordat teoretic, cum ar fi: stabilirea schemelor de distribuție și a mărimilor celor mai probabile ale acțiunilor; calculul eforturilor în diferite secțiuni ale elementelor structurii studiate; stabilirea experimentală a distribuției eforturilor unitare în diferitele secțiuni ale elementelor structurii; stabilirea stărilor limită ale capacității portante și ale exploatareii normale.

Pentru paletele aerogeneratorului cu ax orizontal s-a procedat atât la modelarea directă (scara 1:1) cât și la o modelare indirectă. Modelarea directă constă din aceea că modelul s-a executat din același material cu prototipul. Modelarea indirectă a fost considerată în cazul în care modelul a fost realizat dintr-un material diferit de prototip, [89],[90],[91], de exemplu paleta PAFS [52],[86].

În [86],[89] modelul a fost considerat ca realizat din materiale plastice armate cu fibre de sticlă iar prototipul a fost realizat din oțel.

Modelul de fapt, constituie o paletă cu diametrul  $D=60$  m realizată din poliesteri armați cu fibre de sticlă (PABS).

Legile generale care guvernează studierea structurilor cu ajutorul modelelor sînt date în teoria generală a similitudinii. Similitudinea este caracterizată prin aceea că modelul și prototipul fac parte din același domeniu al fizicii, iar relațiile care descriu fenomenele prototipului și ale modelului sînt identice ca formă. În cadrul similitudinii se definește coeficientul de similitudine ( $\lambda$ ) ca fiind raportul dintre două mărimi geometrice, fizice, mecanice, fizico-mecanice, etc, aparținînd prototipului și respectiv modelului. Acest coeficient de similitudine reprezintă scara de transformare a mărimii de la prototip la model. Condițiile de similitudine pot fi găsite prin aplicarea a două metode: metoda analizei dimensionale și metoda studiului ecuațiilor fizice [91].

#### 1. Metoda analizei dimensionale

Aplicarea metodei analizei dimensionale în teoria similitudinii se bazează pe folosirea a două teoreme ale lui Buckingham [92] [91]. Prima teoremă a lui Buckingham este enunțată astfel: Dacă ecuația

$$F(y_1, y_2, y_3, \dots, y_n) = 0 \quad (6.1)$$

reprezintă o lege a fizicii, atunci cînd se poate forma orice număr de produse exponențiale adimensionale  $E$ , reprezentînd o mulțime de produse, mulțimea este denumită completă dacă fiecare produs al ei este independent de celelalte și orice alt produs depinde de produsele cuprinse în mulțimea completă. O mulțime completă se compune din  $(k)$  produse adimensionale

$$k = n - r \quad (6.2)$$

unde  $(n)$  este numărul variabilelor  $y$ , iar  $(r)$  este rangul matricii adimensionale a mărimilor fundamentale folosite.

A doua teoremă este enunțată în modul următor:

Pentru ecuația (6.1) produsele exponențiale adimensionale care intră în componența unei mulțimi complete, se scriu sub forma:

$$\varnothing (E_1, E_2, \dots, E_{k-1}, E_k) = 0 \quad (6.3)$$

sau în raport cu unul din produsele  $E_k$ :

$$E_k = \phi_1(E_1, E_2, \dots, E_{k-1}) = 0 \quad (6.4)$$

care pentru prototip va avea forma:

$$E_k^P = \phi_1(E_1^P, E_2^P, \dots, E_{k-1}^P) = 0 \quad (6.5)$$

iar pentru model:

$$E_k^m = \phi_1(E_1^m, E_2^m, \dots, E_{k-1}^m) = 0 \quad (6.6)$$

Dacă între model și prototip există relații de similitudine, coeficientul de similitudine va fi:

$$S_{E_k} = \frac{E_k^P}{E_k^m} = \frac{\phi_1(E_1^P, E_2^P, \dots, E_{k-1}^P)}{\phi_1(E_1^m, E_2^m, \dots, E_{k-1}^m)} = \text{const.} \quad (6.7)$$

Condiția 6.7 este întotdeauna satisfăcută dacă produsele  $(E_k)$  satisfac relațiile:

$$E_1^P = E_1^m; E_2^P = E_2^m; \dots; E_k^P = E_k^m; \quad (6.8)$$

din care rezultă că produsele  $E_k$  sînt invariante similitudinii.

## 2. Metoda studiului ecuațiilor fizice

Această metodă pleacă de la considerentul că prototipul și modelul se află într-o anumită stare de comportare și se enunță astfel:

Dacă se consideră prototipul și modelul într-o anumită stare de comportare, atunci ecuațiile care descriu această stare sînt:

$$F(y_1^P, y_2^P, y_3^P, \dots, y_n^P) = 0 \quad (6.9a) \text{ și}$$

$$F(y_1^m, y_2^m, y_3^m, \dots, y_n^m) = 0 \quad (6.9b)$$

Printr-o transformare afină, în baza condițiilor de similitudine, ecuația (6.9a) se poate scrie în funcție de ecuația (6.9b) astfel:

$$F(S_1 \cdot y_1^m, S_2 \cdot y_2^m, \dots, S_n \cdot y_n^m) = 0 \quad (6.9c)$$

unde coeficientul de similitudine este:

$$S_1 = \frac{y_1^p}{y_1^m}; \dots; S_n = \frac{y_n^p}{y_n^m} \quad (6.10)$$

Dacă asupra ecuațiilor (6.95) și (6.9c) se pune condiția de omogenitate, care propune ca cele două ecuații să fie satisfăcute simultan de variabilele ( $y_1$ ) astfel ca:

$$F(S_1 y_1^m, S_2 y_2^m, \dots, S_n y_n^m) = (S_1, S_2, \dots, S_n) F^*(y_1^m, y_2^m, \dots, y_n^m) \quad (6.11)$$

Atunci relația (6.11) poate fi folosită pentru stabilirea condițiilor de similitudine.

## 4.2. Investigarea modelului SK 3- $\lambda$ 4-D 30 m/300 kW și a materialului (PAFS)

Modelul SK 3- $\lambda$  4-D 30 m/300 kW are o structură asemănătoare cu paleta SK 3- $\lambda$  4-D 30 m/300 kW, numai că dimensiunile de gabarit (lungimea cozii, grosimea profilului) sînt mai mari. Date referitoare la dimensiunile geometrice și de gabarit se pot obține din paragraful 4.4.5 și din [2], [35], [41], [52], [54].

Distribuția presiunilor din vînt ( $\Delta p$ ) în lungul paletei și în sens transversal corespunde valorilor prezentate în [73], [54], [52]. Lungimea paletei SK 3- $\lambda$  4-D 30 m/300 kW de la flanșa de prindere pe latucul rotorului pînă la vînt este ( $l = 12400$  mm). Calculul automat cu programul de calcul SAP 091 făcut pentru paleta SK 3- $\lambda$  4-D 30 m a fost prezentat în paragraful 4.4.5. Valorile deplasărilor punctuale și a eforturilor unitare sînt date în fig. 4.52, fig. 4.53 și fig. 4.54.

Modelul experimental PAFS/30 m, este tot o paletă pentru aerogenerator cu profil dublu conex închis prinsă rigid în rotor, [86] situată în condiții de similitudine geometrică, mecanică, aerodinamică și de rezistență în raport cu paleta din oțel, SK 3- $\lambda$  4-D 30 m. Modelul are dimensiuni sensibil mai mici, fapt care înlesnește efectuarea caracteristicilor experimentale. Este alcătuit dintr-o pînă autoportantă închisă, de formă aerodinamică, confecționată din material plastic armat cu fibre de sticlă, cu țesătură de tip mat-rovig. Curba caracteristică a materialului (PAFS) este ușor neliniară (pînă la  $\epsilon = 12$ ) după care urmează o lege plastic liniară. Materialul se pretenză bine la un calcul liniar pînă în apropierea limitei de rupere.

Lungimea modelului este ( $l=3700$  mm), Incărcarea avută în vedere, corespunzătoare diferențelor de presiune cumulate,  $\Delta p$  realizată experimental, variază similar cu încărcarea pe paleta din metal SK3- $\lambda=4-D=30$  m, [54],[86].

Modelul PAFS/D=lom a fost încercat static în laboratorul Catedrei de construcții metalice la 12 trepte de încercare cu următoarele valori ( $P_{mp}^t = 100, 200, \dots, 1200$  daN). Modelarea încărcării a fost realizată cu săculeți cu nisip de greutate corespunzătoare. S-au măsurat electrotensometric deformațiile specifice, în regim static, necesare determinării eforturilor unitare pe o rețea de traductori electrici rezistivi, orientați în lungul convergenței [86].

Eforturile unitare obținute experimental au fost reprezentate grafic pentru toate treptele de încărcare și în toate secțiunile caracteristice. Diagramele de variație și mărimile acestor eforturi sînt prezentate în [86].

Valorile maxime a eforturilor unitare normale apar în secțiunile corespunzătoare raportului,  $z:l = 4560:12400=0,368$ , pentru paleta SK 3- $\lambda=4-D=30$  m/300 kW și respectiv,  $z:l = 1335:3700 = 0,361$ , pentru modelul PAFS. În cele de mai sus ( $z$ ) este distanța de la fața flânșei pînă la secțiunea de verificare, iar ( $l$ ) reprezintă lungimea totală a paletii respectiv a modelului.

Valorile eforturilor unitare normale corespunzătoare acestor secțiuni sînt date în tabelul 6.1, pentru modelul PAFS corespunzător treptei  $P_t = 705$  daN, iar pentru paleta SK3- $\lambda=4-D=30$  m/300kW corespunzător presiunii vîntului cu viteza  $v=16$  m/s.

### 6.3. Criterii și scări de modelare, relații de transformare, considerații asupra justetei calculelor

Pentru concluzionare asupra gradului de aproximare a modului fizic ales și asupra justetei rezultatelor furnizate de calculator ca urmare a fineței de discretizare folosită la paleta SK3- $\lambda=4-D=30$ m/300 kW, aceasta trebuie transformată într-o paletă echivalentă modelului, PAFS/D=lom, încercat experimental. Relațiile de transformare se obțin în baza relațiilor fundamentale, cunoscute, ale Rezistenței materialelor.

$$\sigma = \sigma_{M_x} + \sigma_{M_y} + \sigma_{\bar{\omega}} \quad (6.12)$$

$$\sigma_{M_x} = \frac{M}{I_x} y; \quad \sigma_{M_y} = -\frac{M_y}{I_y} x; \quad \sigma_{\omega} = \frac{B\bar{\omega}}{I_{\omega}} \bar{\omega} \quad (6.13...6.15)$$

Nu se fac referiri la valorile eforturilor unitare tangențiale deoarece mărirea acestora (depistată experimental) este ne semnificativă.

Aplicind relațiile (6.13...6.15) în mod succesiv celor două palete se obțin relațiile de transformare și scările de modelare, necesare interpretării rezultatelor:

- pentru acțiunea momentului încovoietor ( $M_x$ )

$$(\sigma_{M_x})_{mp} = \frac{(M_x)_{mp}}{(I_x)_{mp}} y_{mp} = \frac{(P_y)_{mp} \cdot b_{mp}}{(I_x)_{mp}} \cdot y_{mp}$$

$$(\sigma_{M_x})_o = \frac{(M_x)_o}{(I_x)_o} y_o = \frac{(P_y)_o \cdot b_o}{(I_x)_o} y_o$$

$$\frac{(\sigma_{M_x})_{mp}}{(\sigma_{M_x})_o} = \frac{(P_y)_{mp}}{(P_y)_o} \cdot \frac{b_{mp}}{b_o} \cdot \frac{(I_x)_o}{(I_x)_{mp}} \cdot \frac{y_{mp}}{y_o}; \quad S \sigma_{M_x} = \frac{S_{P_y} \cdot S_b \cdot S_l}{S_{I_x}} \quad (6.1)$$

$$(\sigma'_{M_x})_{mp} = \frac{S_{P_y} \cdot S_b \cdot S_l}{S_{I_x}} \cdot (\sigma'_{M_x})_o = S \sigma'_{M_x} \cdot (\sigma'_{M_x})_o \quad (6.2)$$

Unde indicii "o" și "mp" se referă la paleta din oțel (SK3- $\lambda = 4-D = 30$  m/300 kW) respectiv la modelul din material plastic (PAFS/10cm); termenii  $S_{P_y}$ ,  $S_b$ ,  $S_l$ ,  $S_{I_x}$ ,  $S \sigma_{M_x}$  - sînt scările încărcării rezultante (totale), a brațelor încărcărilor rezultante, a lungimilor, a momentelor de inerție și a eforturilor unitare normale, pentru încovoiere în jurul axei x-x. Aceste scări sînt date de relațiile:

$$S_{P_y} = \frac{(P_y)_{mp}}{(P_y)_o}; \quad S_b = \frac{b_{mp}}{b_o}; \quad S_l = \frac{y_{mp}}{y_o}$$

$$S_{I_x} = \frac{(I_x)_{mp}}{(I_x)_o}; \quad S \sigma_{M_x} = \frac{(\sigma_{M_x})_{mp}}{(\sigma_{M_x})_o} \quad (6.18...6.22)$$

pentru acțiunea momentului încovoietor ( $M_y$ )

$$S \sigma_{M_y} = \frac{S_{P_x} \cdot S_b \cdot S_l}{S_{I_y}} \quad (6.23)$$

$$(\sigma_{M_y})_{mp} = \frac{S_p \cdot S_b \cdot S_l}{S_{I_y}} (\sigma_{M_y})_o = S_{\sigma_{M_y}} (\sigma_{M_y})_o \quad (6.24)$$

unde:  $S_p$ ,  $S_b$ ,  $S_l$ ,  $S_{I_y}$ ,  $S_{\sigma_{M_y}}$  - sînt scările încărcării rezultante, lungimilor, momentelor de inerție și eforturilor unitare normale, pentru încovoierea în jurul axei y-y. Aceste scări, sînt date de relațiile:

$$S_{P_x} = \frac{(P_x)_{mp}}{(P_x)_o}; \quad S_l = \frac{x_{mp}}{x_o}; \quad S_{I_y} = \frac{(I_y)_{mp}}{(I_y)_o}; \quad S_{\sigma_{M_y}} = \frac{(\sigma_{M_y})_{mp}}{(\sigma_{M_y})_o} \quad (6.25...6.28)$$

- pentru acțiunea bimomentului  $B_{\bar{\omega}}$  introdus de răsucirea împiedicată a secțiunii închise, dublu conexe:

$$(\sigma_{\bar{\omega}})_{mp} = \frac{(B_{\bar{\omega}})_{mp}}{(I_{\bar{\omega}})_{mp}} \cdot \bar{\omega}_{mp}; \quad (\sigma_{\bar{\omega}})_o = \frac{(B_{\bar{\omega}})_o}{(I_{\bar{\omega}})_o};$$

$$\frac{(\sigma_{\bar{\omega}})_{mp}}{(\sigma_{\bar{\omega}})_o} = \frac{(B_{\bar{\omega}})_{mp}}{(B_{\bar{\omega}})_o} \cdot \frac{\bar{\omega}_{mp}}{\bar{\omega}_o} \cdot \frac{(I_{\bar{\omega}})_o}{(I_{\bar{\omega}})_{mp}}; \quad S_{\sigma_{\bar{\omega}}} = \frac{S_{B_{\bar{\omega}}} \cdot S_{e_{\bar{\omega}}}}{S_{I_{\bar{\omega}}}} \quad (6.29)$$

$$(\sigma_{\bar{\omega}})_{mp} = \frac{S_{B_{\bar{\omega}}} \cdot S_{e_{\bar{\omega}}}}{S_{I_{\bar{\omega}}}} \cdot (\sigma_{\bar{\omega}})_o = S_{\sigma_{\bar{\omega}}} \cdot (\sigma_{\bar{\omega}})_o \quad (6.30)$$

unde:  $S_{B_{\bar{\omega}}}$ ;  $S_{e_{\bar{\omega}}}$ ;  $S_{I_{\bar{\omega}}}$ ;  $S_{\sigma_{\bar{\omega}}}$  sînt scările bimomentelor coordonatelor sectoriale, momentelor de inerție sectoriale și a eforturilor unitare normale sectoriale.

Aceste scări sînt date de relațiile:

$$S_B = \frac{(B_{\bar{\omega}})_{mp}}{(B_{\bar{\omega}})_o}; \quad S_{e_{\bar{\omega}}} = \frac{\bar{\omega}_{mp}}{\bar{\omega}_o}; \quad S_{I_{\bar{\omega}}} = \frac{(I_{\bar{\omega}})_{mp}}{(I_{\bar{\omega}})_o}; \quad S_{\sigma_{\bar{\omega}}} = \frac{(\sigma_{\bar{\omega}})_{mp}}{(\sigma_{\bar{\omega}})_o} \quad (6.31...6.34)$$

Unuaghterea scărilor (6.18...6.22), (6.25...6.28) și (6.31...6.34), necesită în afara mărimilor ușor calculabile determinarea caracteristicilor geometrice ale secțiunii transversale dublu conexe,  $I_x$ ,  $I_y$ ,  $\omega$ ,  $I_{\bar{\omega}}$ , precum și calculul bimomentelor ( $B_{\bar{\omega}}$ ) atât pentru paleta din oțel, cât și pentru modelul din material plastic. Momentele de inerție  $I_x$  și  $I_y$  s-au calculat numeric, în baza formulelor clasice, cu ajutorul calculatorului electronic.



Coordonata sectorială principală,  $\bar{\omega}$ , s-a calculat după teoria răsucirii împiedicate a profilurilor închise dublu conexe [56], [59] cu pereți subțiri, cu relațiile:

$$\omega = \int_0^s r ds; \quad \theta = \frac{\Omega}{G I_p}; \quad \bar{\omega} = \omega - \theta \bar{\omega}_p \quad (6.35)$$

în care  $\bar{\omega}$  are polul în centrul de răsucire definit prin:

$$\alpha_x = a_x - b_x = \frac{\int \bar{\omega}_p x dA}{I_x}; \quad \alpha_y = a_y - b_y = \frac{\int \bar{\omega}_p y dA}{I_y} \quad (6.36)$$

și ori înca în punctul sectorial nul principal precizat prin:

$$b = \frac{\int \bar{\omega}_p dA}{A} \quad (6.38)$$

- momentul de inerție sectorial principal,  $I_{\bar{\omega}}$ , s-a calculat prin integrare numerică cu formula:

$$I_{\bar{\omega}} = \int \bar{\omega}^2 dA \quad (6.39)$$

- bimomentul  $B_{\bar{\omega}}$  se obține prin integrarea ecuației diferențiale a răsucirii împiedicate (4.135) și are forma (4.139). Din ecuația (4.139), dacă, structurile noastre se asimilează cu o consolă și se pun condițiile de margine expresia bimomentului devine:

$$B_{\bar{\omega}} = \frac{m_t}{E^2 \text{ch}^2 k l} \left[ k l \text{sh } k(l-z) - \text{ch} k l \text{ch} k z \right] = \frac{E I_{\bar{\omega}} m_t}{\gamma \cdot G I_c} \quad (6.40)$$

La calculul caracteristicilor sectoriale de mai sus s-a ținut seama de precizările făcute în paragraful 4.31.

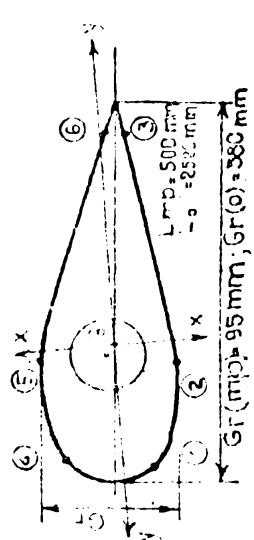
În tabelul 6.1 sînt prezentate sintetic mărimile tensiunilor normale maxime - în secțiunile Z:  $l_{mp} \approx z; l_0$  - obținute prin calculul automat (pentru SK3- $\lambda=4$ -D=30m) și prin măsurători electrotensometrice (pentru PAB-D=10 m), pe rețele de puncte (1,2,...,6). Punctele menționate corespund pe model cu punctele de măsurare a deformațiilor specifice iar pe paleta (SK3- $\lambda=4$ ) aceste puncte au fost alese în funcție de scările de modelare. Valorile eforturilor unitare au fost extrase din diagrama de eforturi unitare normale corespunzătoare și a cărui alătură este similară cu cea din fig.4.52, fig.4.53, și fig.4.54. Secțiunea z= 4560 mm, corespunde unei dintre diafragma(D5) și (D6) vezi fig.4.52. Punctele (1,2,...,6) de pe model, au corespondența pe secțiunea transversală a paletei (SK-3- $\lambda=4$ ), în ordine în vecinătatea punctelor (72), (74), (76-78), (85-87), (84-86), (81), fig.4.53, dar pe secțiunea



$\sigma = 150$   
 $\lambda = 1 - \mu = 20$

(a)	(b)	(c)	(d)	(e)	(f)	(g)	(h)	(i)	(j)	(k)	(l)	(m)	(n)	(o)	(p)	(q)	(r)	
1	100,6	47,0	47,0	47,0	47,0	47,0	47,0	47,0	47,0	47,0	47,0	47,0	47,0	47,0	47,0	47,0	47,0	4,3%
2	100,6	47,0	47,0	47,0	47,0	47,0	47,0	47,0	47,0	47,0	47,0	47,0	47,0	47,0	47,0	47,0	47,0	6,8%
3	100,6	47,0	47,0	47,0	47,0	47,0	47,0	47,0	47,0	47,0	47,0	47,0	47,0	47,0	47,0	47,0	47,0	8,3%
4	100,6	47,0	47,0	47,0	47,0	47,0	47,0	47,0	47,0	47,0	47,0	47,0	47,0	47,0	47,0	47,0	47,0	5,7%
5	100,6	47,0	47,0	47,0	47,0	47,0	47,0	47,0	47,0	47,0	47,0	47,0	47,0	47,0	47,0	47,0	47,0	8,1%
6	100,6	47,0	47,0	47,0	47,0	47,0	47,0	47,0	47,0	47,0	47,0	47,0	47,0	47,0	47,0	47,0	47,0	41,2%

$S_p = 0,147; S_p = 0,146; S_p = 0,115; S_I = 0,028; S_I = 0,34;$   
 $S_{E_x} = 0,012; S_{E_y} = 0,039; S_{E_z} = 0,0671; S_{E_{M_x(1)}} = 0,343; S_{E_{M_y(1)}} = 0,159;$   
 $S_{E_{M_x(2)}} = 0,164; S_{E_{M_x(3)}} = 0,252; S_{E_{M_x(4)}} = 0,303; S_{E_{M_x(5)}} = 0,154;$   
 $S_{E_{M_x(6)}} = 0,343; S_{E_{M_x(7)}} = 0,159; S_{E_{M_x(8)}} = 0,164; S_{E_{M_x(9)}} = 0,216;$   
 $S_{E_{M_x(10)}} = 0,303; S_{E_{M_x(11)}} = 0,154; S_{E_{M_x(12)}} = 0,154; S_{E_{M_x(13)}} = 0,154;$



corespunzătoare dintre (D5) și (D6). Calculele asemănătoare au fost efectuate și în alte secțiuni. Prin compararea coloanelor (n) și (o) rezultă din diagramele de variație ale eforturilor unitare normale, din acțiunea diferențelor de presiune, pe prototip și model au legi de variație similare cu valorile reale, respectiv transpuse-apropiate, cîmășul de dispersie al abaterilor procentuale al tensiunilor înscrinduse de între 11,2 și 3,5 % coloana (r). Abaterile cele mai mari se înregistrează la bordul de fugă. Din compararea eforturilor unitare normale calculate cu sarcinile DAF D51, coloana (f) cu cele utilizate unitate de sarcină orientate cu ajutorul calculatoelor personale, arată pe baza teoriei similitudinii și similitudinii materialelor, coloana (5) are o acuratețe surprinzătoare a rezultatelor. Erorile maxime apar în vecinătatea bordului de fugă, unde (pentru punctul (6) se pare că apare o coagulare de aer). Modelul fizic obținut prin discretizarea structurii este în general mai rigid decât modelul transpus (faci de-aici modelul real, deși din calculele de similitudine nu reiese acest lucru). Cu toate acestea rezultatele obținute pe baza principiilor similitudinii, prin trecerea de la modelul real în modelul PAF, au erori relativ mari, deoarece sunt multăritate și oferă un surplus de încredere în calculul numeric. Erori ne pot datorează unor cauze tehnologice și de execuție pe care modelul PAF-D-10 m/30 BW le are. Aceasta este confirmată de cedare momentară, în zona bordului de fugă și a bordului de atac, prin lucrarea [86] de exemplu scozi a întăritului și extradobului [86]. De asemenea în [93] se specifică că valorile rezistenței de rupere a materialului PAF, din această paletă model, au o împrăștiere relativ mare. Modelul PAF-D-10 m/30 BW a fost încercat cu alte scopuri nu cu scopul verificării paletii metalice SK 3-λ=4, dar așa cum se poate vedea din cele de mai sus s-a făcut o trecere de pe paleta de metal pe cea de PAF în baza principiilor similitudinii. Rezultatele obținute nu fac decât să aducă un surplus de încredere în investigațiile teoretice și în modelul fizic ales pentru calculul automat.

În calculul numeric, efectuat în baza teoriei elementare a Rezistenței materialelor, cu ajutorul calculatoarelor personale AUC, caracteristicile geometrice și sectoriale ale secțiunii transversale au fost approximate cu un contur poligonal circumscris ecarturului aerodinamic transversal. Rezultatele obținute, arată că structura modelată astfel este mai rigidă decât structura reală.

#### 6.4. Concluzii

1. Principiile similitudinii ne permit totdeauna să facem trecere

de la model la structura reală și să ne confirmă sau să ne infirmăm unele ipoteze sau teorii dezvoltate.

2. Pe baza acestor principii generale s-a trecut de la paleta de metal SK3- $\lambda=4$ -D=30m/300 kW la paleta model PAFS-D=10m/30 kW și s-a confirmat justetea calculelor efectuate.

3. Aprecierea caracteristicilor fizice (E și G) pentru materialele PAFS, în baza cîmpului de împrăștiere relativ mare [93] ar putea justifica abaterile mai mari din zona bordului de fugă.



și condițiile tehnice de execuție ale acestora.

În ceea ce privește contribuțiile privind stabilirea acțiunilor, se enumeră următoarele:

- stabilirea modelului de calcul privind prezența și solicitările la care este supusă paleta;
- stabilirea modului de calcul a forțelor contribuibile la greutate;
- stabilirea modului de calcul al efectului de reacție în timp, în funcție de condițiile de încălzire și de distribuția temperaturii în secțiunile [14] și [55].

Pe lângă calculul de rezistență (acțiuni) și prin aceste precizări se asigură de asemenea și o bună structură a paletelor.

În ceea ce privește conceperea și calculul secțiunilor de rezistență ale paletelor, se poate afirma că se poate realiza în cadrul Catedrei de Construcții metalice și de metalurgie din cadrul Universității de Vest din Timișoara, la Catedra de Mecanică și de Mecanică Constructivă de la Universitatea de Vest din Timișoara, în anul 1957 și 1959 și 1967.

Pe lângă calculul de rezistență al structurilor de rezistență se poate realiza și calculul de stabilitate al acestora, ceea ce poate fi vădit din aplicarea în studii de rezistență a acestor structuri.

- stabilirea relațiilor de calcul ale secțiunilor de rezistență ale paletelor, în funcție de condițiile de încălzire și de distribuția temperaturii în secțiunile de rezistență ale paletelor;

- stabilirea modelului de calcul cu metoda elementului finit, pentru toate paletele studiate; prelucrarea și prezentarea rezultatelor calculului.

În ceea ce privește studiul experimental al comportării structurale și compararea rezultatelor experimentale cu cele teoretice se pot realiza:

- studiile efectuate pe paleta SKL-Arad, a căror concluzii, au condus la structura paletelor SKL-CH, care a fost și ea studiată teoretic și experimental și ca urmare a acestor studii, s-a redus greutatea de la 120 kg pentru paleta SKL-Arad la circa 95 kg pentru paleta SKL-CH;

- studiul cazului stării de solicitări sandwich, special concepută ca model și stabilirea limitei critice ( $\sigma_{cr}$ ) ținând seama de influența acestor efecte compozente.

Rezultatele studiilor și condițiilor experimentale și teoretice au fost comercializate în cadrul contractelor de cercetare cu CNPCT-ul, prin intermediul stației de mașini hidraulice, în perioada 1972-1977, realizate prin proiectarea și construirea stației de mașini hidraulice OPS- $\lambda=7$ , precum și proiectarea, fabricarea și executarea în laboratorul stației de mașini hidraulice a paletelor SKI-08 OPS- $\lambda=7$  pe care am realizat, împreună cu colegii mei, lucrările de cercetare, care sunt acum în curs de finalizare.

Am participat activ la activități de lucrare au fost publicate în revistele "Mașini Hidraulice", în cadrul "Conferinței Mașini Hidraulice și Hidrodinamică" Sibiu 1985, Conferința de cercetare "Mașini Hidraulice", Sibiu 1985, Simpozionul "Soluzii noi, sisteme în proiectarea și construirea structurilor" - Sibiu 1985, "Mașini Hidraulice" Sibiu 1985, "Simpozionul de aerodinamică și turbomăcinărie cu participare internațională" Sibiu 1985, în calitate de membru al comisiilor de ordine de importanță, rapoartele prezentate în cadrul sesiunii de "Stabilitatea structurilor" în cadrul stației de mașini hidraulice [17][18] din 1977.

Bibliografia

1. K. Claușescu - raport la cel de-al XIII-lea Congres al Partidului Comunist Român.
2. \* \* \* - studii de necoenergetică pentru construcția agregatelor necolectrice cu ax orizontal - I.P. "Traian Vuia" Timișoara. Contract C.M.T. nr. 143/1977. - motor de mașini hidraulice
3. Kuch Christian Ludwig - Noile de vânt alimentează rețeaua electrică - prisma - Nr. 5/1977. A VIII.
4. Clăușescu Florin - Noile de vânt produc electricitate - a. teza nr. 6/1979.
5. H. Almer - Large wind turbine systems seen from the european viewpoint - advances in solar energy - American solar energy society - New York - 1982.
6. Vînt Albe; László Almási; Stefan Bedelcu; Dan Borzasi; Blăscu Ionuț; Gábor Leckó - Utilizarea energiei vîntului - Editura Tehnică București - 1984.
7. L. P. G. G. - Windenergie in Theorie und Praxis. Ed. G. Müller Karlsruhe, 1978.
8. V. Vite - Economia energetică ( vol. II ). Ed. tehnică București 1982.
9. I. Prode - Centrale hidroelectrice, partea hidroenergetică, vol. I. I.P.T. 1974.
10. H. Almer - Part development of large wind generators in Europe - wind energy workshop Proceedings, NAE/NASA 1979.
11. H. Varet - Le passage de l'eau par éoliennes. La Houille Blanche, sept. 1957.
12. C. G. G. G. - Winds and wind system performance. Franklin Institute Press, 1973.
13. H. Varet - La production d'énergie électrique par éolienne. La Houille Blanche oct. 1956 - jan. febr. 1959.

14. D.Le Courrière: Energie eolienne. Erolles Paris, 1986.
15. B.M. Feteev - Motoare eoliene și utilizarea lor în agricultură. Editura Tehnic, 1949-1953.
16. E.M. Feteev - Motoare eoliene și utilizarea lor în agricultură. Maghiz 1952 - URSS.
17. A.V. Karmagin - Vântul și motorul eolian. Editura cultura 1952- URSS.
18. S.B. Kerli - Motoare eoliene rapide. Gosenergoizdat 1951-URSS
19. V.M. Andrianov - Centrale electrice eoliene. Comerțindat 1961 - URSS.
20. L. Vadot - Etude synoptique des différents types d'éoliennes. La Houille Blanche nr.2/1957. Franța.
21. L. Vadot - La pompage d'eau par éoliennes la Houille Blanche nr.4/1957 - Franța
22. L. Vadot - La production d'énergie électrique par éoliennes. La Houille Blanche nr.5/1958-Franța.
23. R. Bonnefille - Les réalisations d'Electricité de France concernant l'énergie éolienne. La Houille Blanche nr.1/1979 - Franța.
24. Geithel - L'Énergie éolienne. La Recherche Nr.109/1980. Franța.
25. R. Bonnefille - Quel avenir pour l'énergie éolienne? Science et Vie, 1979 Hors-série. Energie. Franța.
26. \* \* - Energiequellen für morgen? Sub redacția M. Meliss Ed. Unischon Frankfurt am Main 1976/R.F.G.
27. VDI - Berichte, Nr.224/1974 - Anwendung nichtkonventioneller Primärenergiequellen S.M. Scala: Betrachtungen über die Nutzanwendung der Sonnenenergie. paragraful 5 Windenergie /R.F.G/.
28. A. Urbach, - Energie von Wind Energie Jahrg. 29, Nr.9 sept. 1977 / R.F.G/.
29. I.P. Molly, Windenergie in Theorie und Praxis Ed. C.F. Müller Karlsruhe 1978 /R.F.G/.



30. G. Rosemier, - winddruchprobleme bei Bauwerken. Ed. Springer, 1976/R.F.G./.
31. Camba I., ș.a. - Construcții pentru producerea, captarea și utilizarea energiei - I.P. "Tr. Vuia" Timișoara, 1986.
31. \* \* \* - Colegere de articole (S.K.Rice) /S.U.A./
32. R. Hamilton - Can we Harness The Wind? Național Geographic Vol.148, Nr.6, 1975 decembrie. S.U.A.
33. R.H. Taylor - Wind power research and development in the U.S. Electronics and Power, Iulj 1979, Anglia.
34. Anton, I. Gyulai, P. - Optimizarea construcției agregatelor de vânt echipate cu turbine cu ax orizontal. Conferința de Științe Hidraulice și Hidrodinamică Timișoara 1985.
35. \* \* \* - Studii comparative ale parametrilor agregatelor realizate în alte țări. Studii bibliografice. Contract CNSRF Nr.143 - I.P. "Tr. Vuia" Timișoara 1982. Catedra de Științe Hidraulice.
36. Prada, I. - Adeverarea unor distribuții teoretice pentru celele aerodinamice. Conf. de Științe Hidraulice și Hidrodinamică Timișoara, 1975.
37. Prada, I. - Discuția gradului de detaliere a datelor aerologice pentru evaluări energetice. Conf. de Științe Hidraulice și Hidrodinamică Timișoara, 1985.
38. Prada, I. - Ectimarea curenților produși de o turbină eoliană în condiții necăte. Conf. de Științe Hidraulice și Hidrodinamică Timișoara, 1985.
39. Prada, I. - Caracteristicile tehnice principale ale unei turbine eoliene într-un amplasament dat. Conferința de Științe Hidraulice și Hidrodinamică Timișoara, 1985.
40. Popa, G. - Asupra dimensiunii paletelor de rotoare eoliene. Conferința de Științe Hidraulice și Hidrodinamică Timișoara, 1985.
41. Kusman, A.F; Sincak E, - Seria de palete pentru turbine eoliene cu ax orizontal SK-1, SK-2, SK-3, și SK-PD,

Conferința de Mecanică Hidraulică și Hidrodinamică, Timișoara, 1985.

42. Sirta Ewertz      s. Safety of wind energy conversion systems with localized loads (HAMICS)-P.F.A.- Stockholm 1981.
43. \* \* \*      proiectarea a două rotoare eoliene-contract C.E. 143- I.P. "Tr. Voina"
44. \* \* \*      dinamica plantelor inclusiv calculul forțelor cauzate de solicitările palatelor -Metoda Portanței - contract C.E. 143- I.P. "Tr. Voina" Timișoara 1981.
45. \* \* \*      proiectarea unei palete reacționare pentru turbina de vânt cu diametrul de 60 m și 10 m utilizând metoda C.E. Contract ICMMENERG nr. 146/1981.
46. Gyulai      metoda de aplicarea metodei portanței în calculul turbinelor eoliene. Conferința de Mecanică Hidraulică și Hidrodinamică Timișoara 1985.
47. Popa G.      calculul de rezistență al palețelor de profile aerodinamice. Conferința de Mecanică Hidraulică și Hidrodinamică Timișoara 1985.
48. Grosu I., - Calculul și construcția avionului V I. E.E.S., București 1982.
49. Hăbeș      proiectarea și calculul rotorului, câștigul și pierderile în funcție de viteza vântului în construcția de tipul Hăbeș 1972.
50. Holcuș K. V; Pleșac M, Fincelac, O; Naprstek J;- Wind Effects on Civil Engineering Structures. Arad 1983.
51. Măceșanu D, Ciocbe I.- Construcții metalice, calculul și proiectarea elementelor din oțel- Editura tehnică București 1980.
52. \* \* \*      proiecte de construcție de turbine, variante construcție metalice (D=100m; D=30m) Contract C.E. nr. 143 A 1/1981-I.P. "Tr. Voina" Timișoara.
53. \* \* \*      turbine electrice 1500 kW- Contract ICMMENERG- București, nr. 148/1981-I.P. "Tr. Voina" Timișoara.

54. \* \* \* Agregate aerodiscurice de 30 kW; 300 kW și 150 MW.  
Contract CNSR nr. 143 1/1982. I.P. "Tr. Voia"  
Timișoara.
55. Law, H; Faust, H.A.; Cooper, R.J.; Power control systems for  
the Conroy wind-turbine generators. GEC.  
MWH BSR100, Mass-1984.
56. Anghel I. Ion, - Valenții aerodinamice de aviație, Editura  
tehnică, București, 1984.
57. Kolibrenov, G.F; Galov, M, Torsion in Structures; York  
1969.
58. Flăgăruș, E.- Rezistența materialilor volumul I, Institutul  
Tehnologic Timișoara, 1979.
59. Argentin, P., Hinrich, Alvanoni - Cere cu pereți subțiri.  
Editura tehnică București 1960.
60. \* \* \* Journal aeronautical Science, IAS. 1946.
61. \* \* \* Aeronautique- 1947.
62. Vlăscov, V.Z.- Tensiunile în pereții statorului. Gosud. Izd. Fiz.  
Matemat., Mosc., 1959.
63. Ciocan V, Ivan M;- Instabilitatea structurilor din plăci curbe  
subțiri. Ed. Tech. Buc.-1978.
64. Ivan M.- Bazele calculului liniar al structurilor. Ed. Tech.  
1982.
65. Ciocan V.; Ivan M; - Bazele calculului structurilor la stabi-  
litate. Editura Științ. 1983.
66. Ciocan V., Ivan M;- Teoria comportării critice și postcritice  
a structurilor elastice. Editura Academiei RSR,  
București, 1984.
67. \* \* \* Teoria stabilității structurilor din plăci subțiri  
și curbe. Bul. I.P. Timișoara,  
seria Construcții, tom. 23, nr. 1/1978.
68. Matheson D., Ivan M; - Conducta rotativă circulară cu diame-  
trul mare. Editura tehnică. București. 1985.
69. Alexandra Gheorghiu;- Concepte moderne în calculul structuri-  
lor. Ed. tehnică - București 1975.

70. ... .. Metode, stabilitatea și direc-  
 șia construcțiilor etc., Editura didactică și Pedago-  
 gică, București, 1962.

71. ... .. Metode de finisare percepției aplicații. Editura mi-  
 stărească 1971. București.

72. ... .. Methods Structural Analysis in-  
 ... .. New York, 1968.

73. ... .. Techniques of finite elements.  
 ... .. New York-Toronto etc.

74. ... .. An element for finite ... ..  
 ... .. Bucharest 1968.

75. ... .. Metode ... .. experimentale ... ..  
 ... .. metodele elementelor finite ... ..  
 ... .. în proiectarea ... ..  
 ... .. și execuția structurilor" Simi-  
 ... ..  
 ... ..

76. ... .. Metode ... .. metodele ... ..  
 ... .. metodele ... ..  
 ... .. metodele ... ..  
 ... .. metodele ... ..

77. ... .. Metode ... .. metodele ... ..  
 ... .. metodele ... ..  
 ... .. metodele ... ..

78. ... .. Metode ... .. metodele ... ..  
 ... .. metodele ... ..  
 ... .. metodele ... ..

79. ... .. Metode ... .. metodele ... ..  
 ... .. metodele ... ..  
 ... .. metodele ... ..

80. ... .. Metode ... .. metodele ... ..  
 ... .. metodele ... ..  
 ... .. metodele ... ..

81. ... .. Metode ... .. metodele ... ..  
 ... .. metodele ... ..  
 ... .. metodele ... ..

82. ... .. Metode ... .. metodele ... ..  
 ... .. metodele ... ..  
 ... .. metodele ... ..

1. Dăbâc, Ion Dr. 1977.

84. 2. Analiza dinamică a structurilor (prin metoda elementelor finite).

85. 3. Teoria elasticității, teoria plăcilor curbe subțiri. Ed. Enciclară 1973.

86. 4. Ele, v. 1. Mecanica elastică. Ed. Enciclară 1973.

87. 5. Sisteme de calcul numeric. Ed. Enciclară 1973.

88. 6. Metode de calcul numeric. Ed. Enciclară 1973.

89. 7. Metode de calcul numeric. Ed. Enciclară 1973.

90. 8. Metode de calcul numeric. Ed. Enciclară 1973.

91. 9. Metode de calcul numeric. Ed. Enciclară 1973.

92. 10. Metode de calcul numeric. Ed. Enciclară 1973.

93. 11. Metode de calcul numeric. Ed. Enciclară 1973.

tații de rezistență a materialelor plastice armate  
cu fibre de sticlă. Al III-lea simpozion național  
de tensometrie cu participare internațională -  
- 28 septembrie 1985.

C U P R I N S U L

Introducere, obiectul lucrării..... 1

CAPITOLUL I. CONSIDERENȚII GENERALE CU PRIVIRE LA  
CAPTAREA ENERGIILOR SOLARE

1.1. Generalități ..... 3

1.2. Aspecte generale ale captării și utilizării  
energiei solare..... 7

1.2.1. Tipul de captare solară..... 7

1.2.1.1. Variantele captării..... 7

1.2.1.2. Bazele optice ale captării..... 10

1.2.1.3. Bazele fizice ale captării energiei solare..... 11

1.2.1.4. Factorii de putere ai instalațiilor solare..... 13

1.2.1.5. Raportul de suprafață a razei solare..... 15

1.2.1.6. Viteza periodică a razei solare..... 16

1.2.1.7. Raportul de putere al surselor regenerabile..... 16

1.2.1.8. Indici de eficiență solară de la sol..... 17

1.2.1.9. Bazele specifice ale elementelor componente ale  
sistemelor electrice..... 17

1.2.1.10. Concluzii..... 18

APENDICE 1. METODE DE CAPTARE A ENERGIILOR SOLARE  
AVANȚATE (SISTEME DE CAPTARE SOLARĂ)

2.1. Generalități..... 19

2.2. Metode de stabilizare a sistemului de supra  
fațelor..... 21

2.2.1. Metode de stabilizare proprie..... 23

2.2.1.1. Metode de stabilizare proprie..... 23

2.2.1.2. Metode de stabilizare proprie..... 25

2.2.1.3. Metode de stabilizare proprie..... 28

2.2.2. Metode de stabilizare din afară..... 29

2.2.2.1. Metode de stabilizare din afară..... 29

2.2.2.2. Metode de stabilizare din afară..... 31

2.2.2.3. Metode de stabilizare din afară..... 33

2.2.3. Metode de stabilizare din afară..... 35

2.2.4. Metode de stabilizare din afară..... 37

2.2.5. Metode de stabilizare din afară..... 39

2.2.6. Metode de stabilizare din afară..... 41

2.3. Metode de stabilizare din afară..... 43

2.4. Metode de stabilizare din afară..... 45

2.5. Metode de stabilizare din afară..... 47

CAPITOLUL 2. METODE DE CAPTARE A ENERGIILOR SOLARE  
AVANȚATE (SISTEME DE CAPTARE SOLARĂ)

3.1. Principii generale de funcționare..... 54

3.2. Funcționarea sistemelor de captare solară regenerabilă de  
putere mică (10-100 kW)..... 55

3.3. Funcționarea sistemelor de captare solară regenerabilă de  
putere mare (100-1000 kW)..... 56

3.4. Concluzii..... 57

CAPITOLUL 4.7. CALCULUL PALETELOR FERME AEROGENERATOARE CU AX ORIZZONTAL

4.1. Considerații generale privind calculul paletelor pentru aerogeneratoarele cu ax orizontal.....	68
4.2. Calculul structurii de rezistență a paletelor fără înălțare portantă.....	75
4.3. Calculul structurii de rezistență a paletelor cu înălțare portantă.....	96
4.3.1. Calculul de rezistență al paletelor în ipoteza de paroi suport.....	100
4.3.1.1. Calculul de rezistență al paletelor în ipoteza de paroi cu pereți subțiri cu profil deschis.....	100
4.3.1.2. Calculul de rezistență al paletelor în ipoteza de paroi cu pereți subțiri, bare cu profil închis.....	106
4.3.1.3. Considerații generale privind aplicarea teoriei barilor cu pereți subțiri în calculul paletelor pentru aerogeneratoarele cu ax orizontal.....	110
4.3.2. Rolul barei de susținere a torțului vertical de susținere.....	115
4.3.3. Rolul barei de susținere a variației de temperatură în secțiunile cu înălțare.....	115
4.3.3.1. Rolul barei de susținere a variației de temperatură.....	116
4.3.3.2. Rolul barei de susținere a variației de temperatură cu pereți subțiri.....	117
4.3.3.2.1. Rolul barei de susținere a variației de temperatură.....	118
4.3.3.2.2. Rolul barei de susținere a variației de temperatură cu pereți subțiri la înălțare.....	119
4.3.3.2.3. Rolul barei de susținere a variației de temperatură cu pereți subțiri sub acțiunea sarcinilor de încălzire.....	121
4.3.3.2.4. Rolul barei de susținere a variației de temperatură cu pereți, profil închis, la înălțare.....	121
4.3.3.3. Rolul barei de susținere a variației de temperatură.....	122
4.3.3.4. Rolul barei de susținere a variației de temperatură și al imperfecțiunilor.....	127
4.3.3.5. Rolul barei de susținere a variației de temperatură și al imperfecțiunilor.....	130
4.3.3.6. Problemele aparute din cauza instabilității locale a paletelor înălțate.....	131
4.3.3.6.1. Rolul barei de susținere a variației de temperatură și al imperfecțiunilor.....	132
4.3.3.6.2. Rolul barei de susținere a variației de temperatură și al imperfecțiunilor.....	134
4.3.3.6.3. Rolul barei de susținere a variației de temperatură și al imperfecțiunilor.....	136
4.4. Calculul structurii de rezistență a paletelor pentru aerogeneratoarele cu ax orizontal folosind metoda elementului finit.....	139
4.4.1. Generalități.....	139
4.4.2. Relațiile fundamentale de elasticitate.....	141
4.4.3. Elemente generale privind discretizarea structurii în elemente finite.....	143
4.4.4. Calculul structurii de rezistență a paletelor pentru aerogeneratoarele de putere mică (AAEIO-11/30 kW) folosind metoda elementului finit.....	145
4.4.5. Calculul structurii de rezistență a paletelor pentru aerogeneratoarele de putere mică (MOD2/300 kW) folosind metoda elementului finit.....	148
4.5. Considerații generale de verificare a paletelor pentru aerogeneratoarele cu ax orizontal.....	151
4.6. Concluzii.....	153



<u>Capitolul 5. MĂGNETIZAREA</u>		10
<u>1. MĂGNETIZAREA</u>		11
<u>1.1. Măgnetizarea</u>		11
1.1.1. Măgnetizarea	cu câmp extern constant.....	154
1.1.2. Măgnetizarea	spec. acicilă cu câmp extern.....	154
1.1.3. Măgnetizarea	acicilă în câmp extern variabil.....	157
1.1.4. Măgnetizarea	acicilă în câmp extern variabil.....	159
1.1.5. Măgnetizarea	acicilă în câmp extern variabil.....	162
1.1.6. Măgnetizarea	acicilă în câmp extern variabil.....	172
1.1.7. Măgnetizarea	acicilă în câmp extern variabil.....	181
<u>1.2. Măgnetizarea</u>		181
<u>1.3. Măgnetizarea</u>		181
<u>1.4. Măgnetizarea</u>		181
<u>1.5. Măgnetizarea</u>		181
<u>1.6. Măgnetizarea</u>		181
<u>1.7. Măgnetizarea</u>		181
<u>1.8. Măgnetizarea</u>		181
<u>1.9. Măgnetizarea</u>		181
<u>1.10. Măgnetizarea</u>		181
<u>1.11. Măgnetizarea</u>		181
<u>1.12. Măgnetizarea</u>		181
<u>1.13. Măgnetizarea</u>		181
<u>1.14. Măgnetizarea</u>		181
<u>1.15. Măgnetizarea</u>		181
<u>1.16. Măgnetizarea</u>		181
<u>1.17. Măgnetizarea</u>		181
<u>1.18. Măgnetizarea</u>		181
<u>1.19. Măgnetizarea</u>		181
<u>1.20. Măgnetizarea</u>		181
<u>1.21. Măgnetizarea</u>		181
<u>1.22. Măgnetizarea</u>		181
<u>1.23. Măgnetizarea</u>		181
<u>1.24. Măgnetizarea</u>		181
<u>1.25. Măgnetizarea</u>		181
<u>1.26. Măgnetizarea</u>		181
<u>1.27. Măgnetizarea</u>		181
<u>1.28. Măgnetizarea</u>		181
<u>1.29. Măgnetizarea</u>		181
<u>1.30. Măgnetizarea</u>		181
<u>1.31. Măgnetizarea</u>		181
<u>1.32. Măgnetizarea</u>		181
<u>1.33. Măgnetizarea</u>		181
<u>1.34. Măgnetizarea</u>		181
<u>1.35. Măgnetizarea</u>		181
<u>1.36. Măgnetizarea</u>		181
<u>1.37. Măgnetizarea</u>		181
<u>1.38. Măgnetizarea</u>		181
<u>1.39. Măgnetizarea</u>		181
<u>1.40. Măgnetizarea</u>		181
<u>1.41. Măgnetizarea</u>		181
<u>1.42. Măgnetizarea</u>		181
<u>1.43. Măgnetizarea</u>		181
<u>1.44. Măgnetizarea</u>		181
<u>1.45. Măgnetizarea</u>		181
<u>1.46. Măgnetizarea</u>		181
<u>1.47. Măgnetizarea</u>		181
<u>1.48. Măgnetizarea</u>		181
<u>1.49. Măgnetizarea</u>		181
<u>1.50. Măgnetizarea</u>		181
<u>1.51. Măgnetizarea</u>		181
<u>1.52. Măgnetizarea</u>		181
<u>1.53. Măgnetizarea</u>		181
<u>1.54. Măgnetizarea</u>		181
<u>1.55. Măgnetizarea</u>		181
<u>1.56. Măgnetizarea</u>		181
<u>1.57. Măgnetizarea</u>		181
<u>1.58. Măgnetizarea</u>		181
<u>1.59. Măgnetizarea</u>		181
<u>1.60. Măgnetizarea</u>		181
<u>1.61. Măgnetizarea</u>		181
<u>1.62. Măgnetizarea</u>		181
<u>1.63. Măgnetizarea</u>		181
<u>1.64. Măgnetizarea</u>		181
<u>1.65. Măgnetizarea</u>		181
<u>1.66. Măgnetizarea</u>		181
<u>1.67. Măgnetizarea</u>		181
<u>1.68. Măgnetizarea</u>		181
<u>1.69. Măgnetizarea</u>		181
<u>1.70. Măgnetizarea</u>		181
<u>1.71. Măgnetizarea</u>		181
<u>1.72. Măgnetizarea</u>		181
<u>1.73. Măgnetizarea</u>		181
<u>1.74. Măgnetizarea</u>		181
<u>1.75. Măgnetizarea</u>		181
<u>1.76. Măgnetizarea</u>		181
<u>1.77. Măgnetizarea</u>		181
<u>1.78. Măgnetizarea</u>		181
<u>1.79. Măgnetizarea</u>		181
<u>1.80. Măgnetizarea</u>		181
<u>1.81. Măgnetizarea</u>		181
<u>1.82. Măgnetizarea</u>		181
<u>1.83. Măgnetizarea</u>		181
<u>1.84. Măgnetizarea</u>		181
<u>1.85. Măgnetizarea</u>		181
<u>1.86. Măgnetizarea</u>		181
<u>1.87. Măgnetizarea</u>		181
<u>1.88. Măgnetizarea</u>		181
<u>1.89. Măgnetizarea</u>		181
<u>1.90. Măgnetizarea</u>		181
<u>1.91. Măgnetizarea</u>		181
<u>1.92. Măgnetizarea</u>		181
<u>1.93. Măgnetizarea</u>		181
<u>1.94. Măgnetizarea</u>		181
<u>1.95. Măgnetizarea</u>		181
<u>1.96. Măgnetizarea</u>		181
<u>1.97. Măgnetizarea</u>		181
<u>1.98. Măgnetizarea</u>		181
<u>1.99. Măgnetizarea</u>		181
<u>1.100. Măgnetizarea</u>		181